



Bodleian Libraries

UNIVERSITY OF OXFORD

This book is part of the collection held by the Bodleian Libraries and scanned by Google, Inc. for the Google Books Library Project.

For more information see:

<http://www.bodleian.ox.ac.uk/dbooks>



This work is licensed under a Creative Commons Attribution-NonCommercial-ShareAlike 2.0 UK: England & Wales (CC BY-NC-SA 2.0) licence.





687. a. 12.

OXFORD MUSEUM.
LIBRARY AND READING-ROOM.

THIS Book belongs to the "Student's
Library."

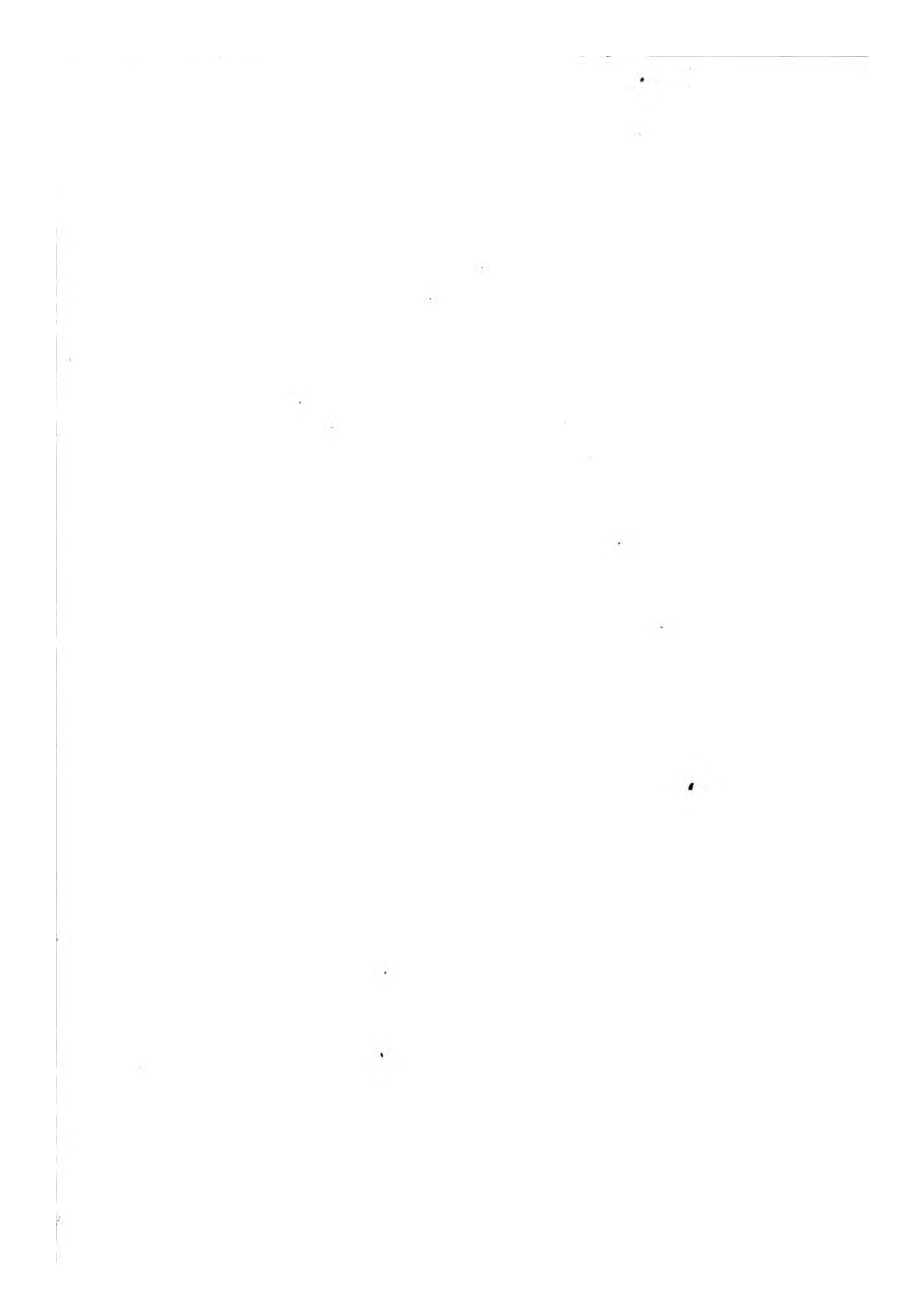
It may not be removed from the
Reading Room without permission
of the Librarian.

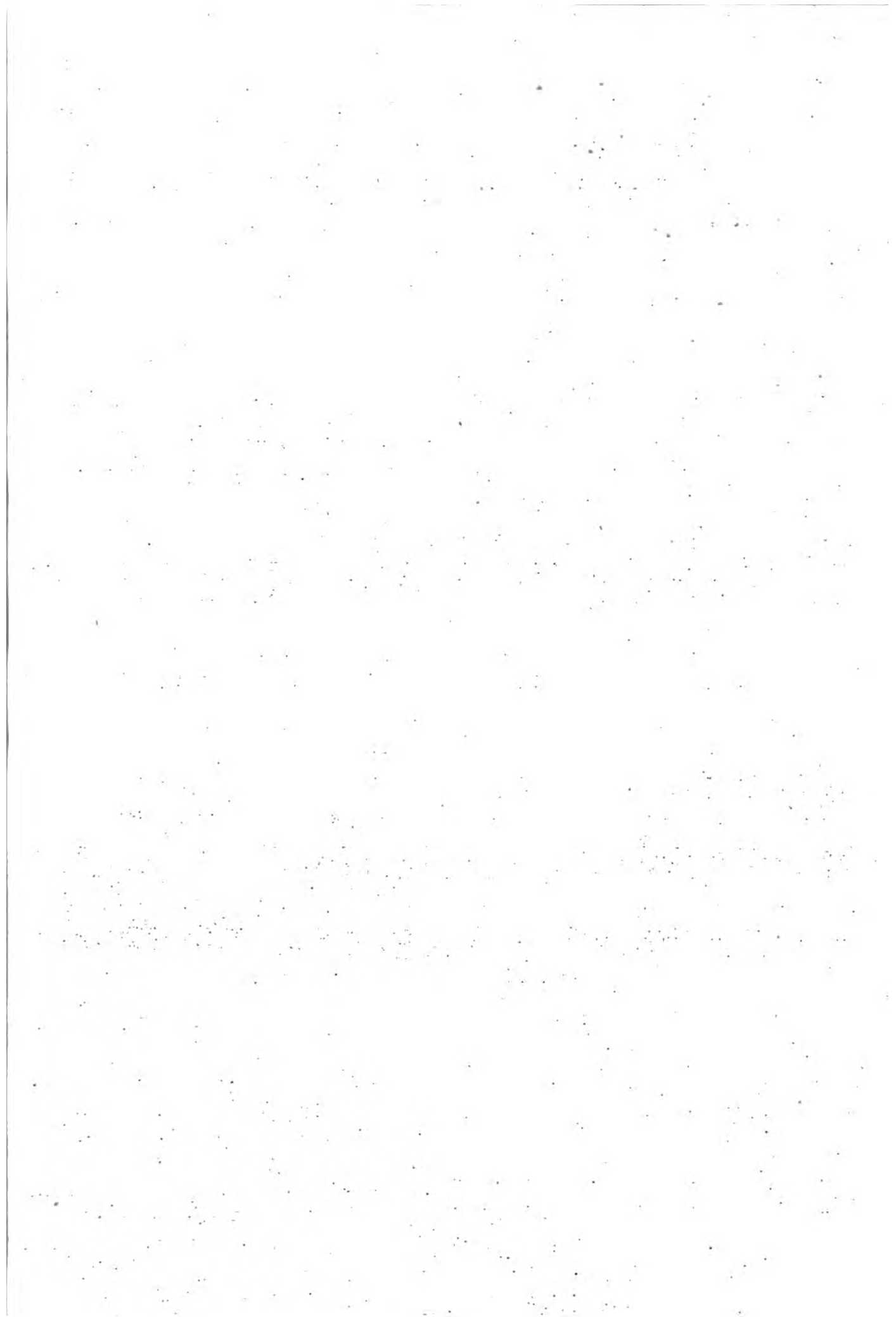
XII. A 11.

1893 d. 195
12











LE

RÈGNE ANIMAL

distribué

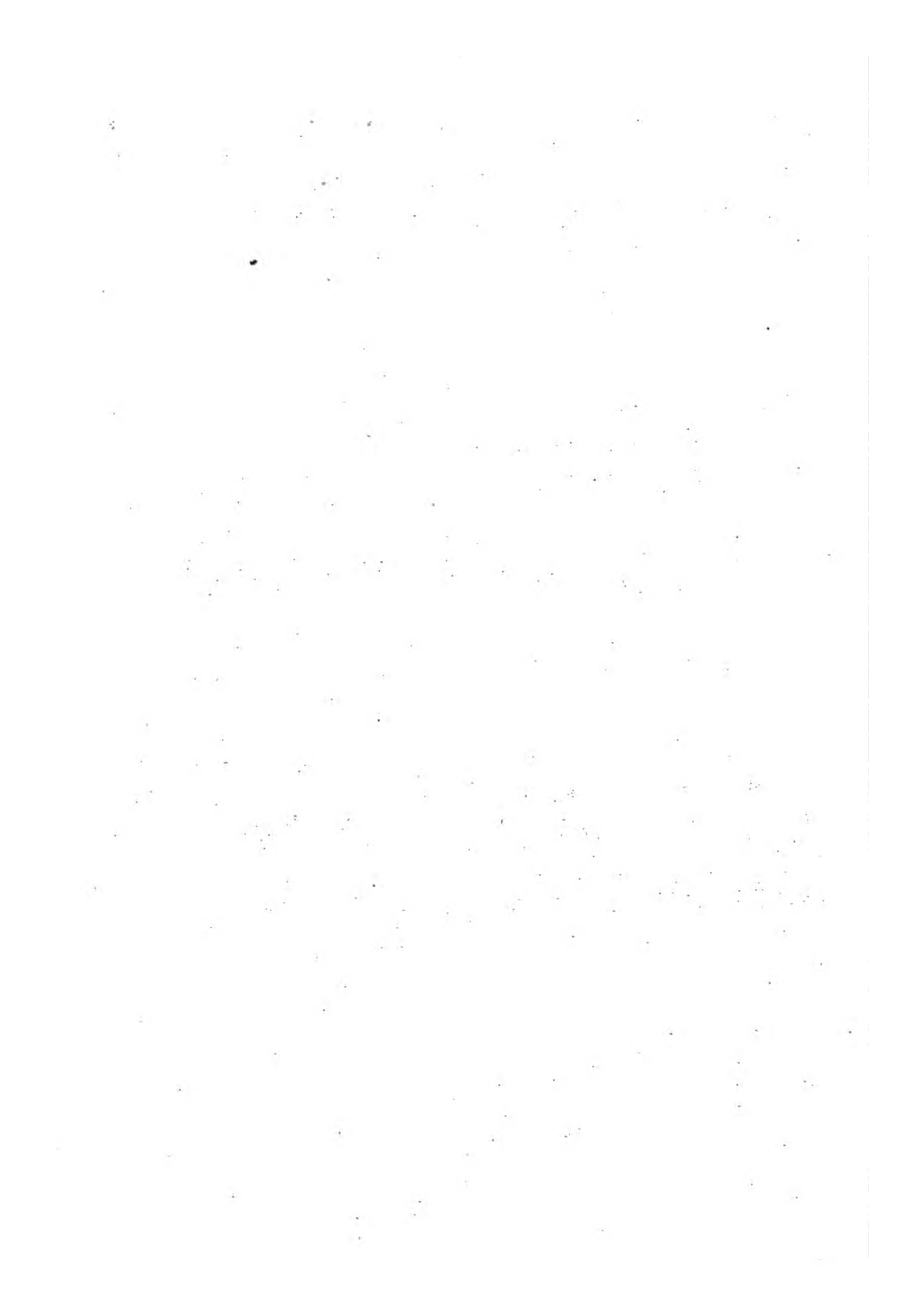
d'après son organisation.



PUBLIÉ PAR

Victor Masson

N. RÉMOND IMP



LE

RÈGNE ANIMAL

distribué

d'après son organisation.



PUBLIÉ PAR

Victor Masson

N. RÉMONL IMP

LE
RÈGNE ANIMAL

DISTRIBUE

D'APRÈS SON ORGANISATION,
POUR SERVIR DE BASE A L'HISTOIRE NATURELLE DES ANIMAUX,
ET D'INTRODUCTION A L'ANATOMIE COMPARÉE,

PAR

GEORGES CUVIER.

EDITION

ACCOMPAGNÉE DE PLANCHES GRAVÉES,

REPRÉSENTANT

LES TYPES DE TOUS LES GENRES,
LES CARACTÈRES DISTINCTIFS DES DIVERS GROUPES ET LES MODIFICATIONS DE STRUCTURE
SUR LESQUELLES REPOSE CETTE CLASSIFICATION;

PAR

UNE RÉUNION DE DISCIPLES DE CUVIER,

MM. Audouin, Blanchard, Deshayes, Alcide D'Orbigay, Doyère, Dugès, Duvernoy, Laurillard,
Milne Edwards, Roulin et Valenciennes.



PARIS

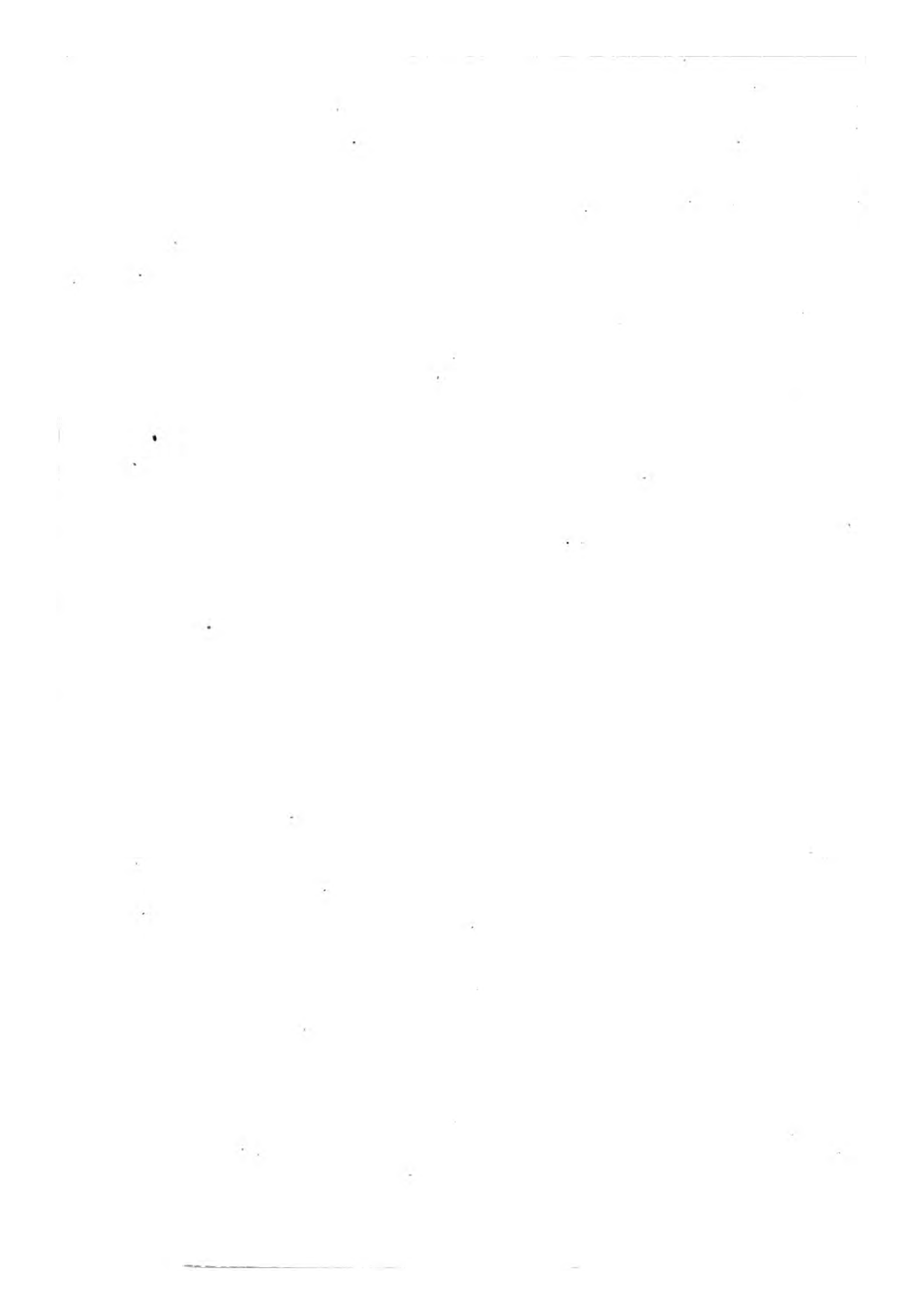
FORTIN, MASSON ET C^{ie}, LIBRAIRES,

Successeurs de Crochard

PLACE DE L'ÉCOLE-DE-MÉDECINE, N. 1.

Imprimé chez Paul Renouard.

Rue Garancière, n. 5.



LES CRUSTACÉS.

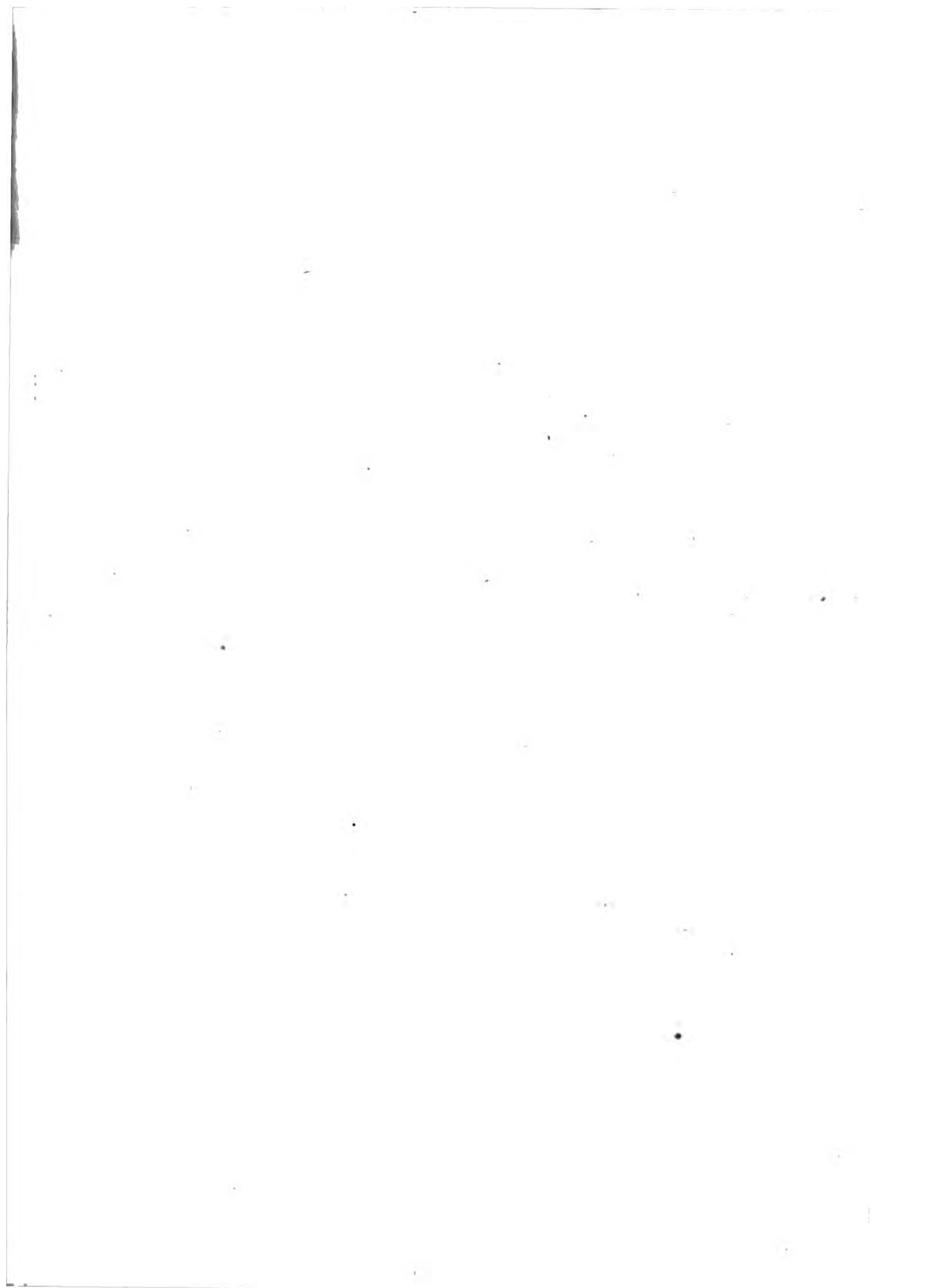


AVEC UN ATLAS,

PAR M. MILNE EDWARDS,

Membre de l'Institut, professeur au Muséum d'Histoire Naturelle.





ANATOMIE.

APPAREIL DE LA CIRCULATION.

Viscères du TOURTEAU. *Cancer pagurus*. Lin. Dessinés d'après nature et réduits d'un tiers.

La portion supérieure de la carapace a été enlevée; du côté gauche on a laissé en place une portion de la membrane tégumentaire *t'*. mais ailleurs elle a été également enlevée pour montrer les parties situées au-dessous.

c. Le cœur situé à la partie supérieure de l'espace compris entre les flancs, on voit sur la face supérieure un faisceau musculaire dont le sommet était fixé à la membrane tégumentaire et quatre fossettes qui suivant quelques anatomistes seraient des trous destinés à l'entrée du sang veineux dans cet organe. L'artère ophthalmique naît du milieu de son bord antérieur. — *a. a.* Artères antennaires dont une grosse branche se porte en dehors sous la membrane tégumentaire et au-dessus des testicules *y*. — *a. ab.* Artère abdominale à l'origine de laquelle on aperçoit la grande artère sternale qui plonge vers la face inférieure du corps. Tous ces vaisseaux sont remplis d'une injection. — *br* Branchies; du côté droit ces organes sont dans leur position naturelle tandis que du côté gauche les quatre derniers sont renversés en dehors et laissent voir la voûte des flancs située au-dessous. — *v a.* Vaisseaux afférens des branchies. — *v. e.* Vaisseaux efférens. — *f.* Appendice flabelliforme de la patte-mâchoire antérieure. — *f'* Fonet de la seconde patte-mâchoire.

e. Estomac. — *m'*. Muscles antérieurs de l'estomac. — *m''*. Muscles mandibulaires, etc. — *a. p.* Appendice, cœcal postérieur de l'intestin. — *y.* Testicules. — *g'*. Canaux efférens. — *g''*. Portion terminale de ces canaux; tous ces organes sont représentés à l'époque où ils sont gorgés de liqueur séminale.

m³. Muscles qui s'étendent du bord supérieur de la voûte des flancs à la carapace et y déterminent les sillons qui séparent les régions branchiales des régions intestinale, cordiale et génitale. — *g^l*. Glande placée sur la partie postérieure de la voûte des flancs.



1870
The following is a list of the names of the persons who were present at the meeting of the Board of Directors of the City of New York, held on the 1st day of January, 1870.

Mayor
Council
Board of Directors

John Jay
Richard D. Webb
James B. Thompson

John A. King
John W. Smith
John C. Jones

John D. Lee
John E. White
John F. Black

ANATOMIE.

SYSTÈME NERVEUX.

Fig. 1. Système nerveux du TALITRE LOCUSTE.

Chez cet animal les divers ganglions et leurs cordons interganglionnaires ne sont pas réunis sur la ligne médiane, et ces ganglions sont également espacés dans toute la longueur du corps.

a. Ganglions céphaliques situés au devant de l'œsophage et donnant naissance aux nerfs des yeux, des antennes, etc. — b. Collier qui entoure l'œsophage. — c. Première paire de nerfs post-œsophagiens.

Fig. 2. Système nerveux d'un CYMORHOË.

Montrant un premier degré de concentration du système nerveux, les deux ganglions d'une même paire étant réunis sur la ligne médiane en une masse unique, tandis que les cordons de communication restent distincts.

a. Ganglions céphaliques. — b. Collier œsophagien. — c. Premier ganglion thoracique. — d. Dernier ganglion thoracique. — e. Ganglions abdominaux.

Fig. 3. Système nerveux du HOMARD.

Ici la concentration des éléments anatomiques de la portion abdominale du système nerveux est portée plus loin que chez les Crustacés précédents, car ses deux moitiés sont complètement confondues sur la ligne médiane, et ne forment plus qu'une seule série de ganglions unis par un seul cordon médian, tandis que dans le thorax les masses nerveuses formées par les diverses paires de ganglions sont unies par un double cordon interganglionnaire.

a. Cerveau ou ganglions céphaliques. — b. Nerfs optiques. — c. Nerfs des antennes internes. — d. Nerfs des antennes externes. — e. Cordon interganglionnaire formant un collier autour de l'œsophage. — e'. Commissure post-œsophagienne de ces cordons. — f. Renglement ganglionnaire d'où naissent les nerfs des mandibules et les nerfs stomato-gastriques qui remontent sur l'estomac, et en se réunissant forment un nerf récurrent médian (g), dont les branches se rendent à ce viscère, à l'intestin, et au foie. — h. Premier centre nerveux post-œsophagien formé par la réunion de plusieurs paires de ganglions et donnant naissance aux nerfs des mâchoires, des pattes-mâchoires, etc. — i. Ganglions d'où naissent les nerfs de la première paire de pattes. — j. Ganglion de l'anneau suivant. — k. Nerfs qui naissent des cordons interganglionnaires et remontent vers les muscles des flancs. — l. Dernier ganglion thoracique. — m. Premier ganglion abdominal. — n. Dernier ganglion abdominal qui paraît formé par la réunion des deux paires de noyaux nerveux appartenant aux sixième et septième anneaux de l'abdomen.

Fig. 4. Système nerveux d'un PALEMON.

La portion abdominale du système nerveux est conformée de la même manière que chez le Homard, mais dans le thorax la centralisation est portée beaucoup plus loin, soit des côtés vers la ligne médiane, soit dans le sens longitudinal.

a. Cerveau. — b. Collier œsophagien. — c. Nerfs récurrents. — d. Nerfs des mâchoires, etc. — e. Masse nerveuse thoracique formée par la réunion de tous les ganglions de cette partie, et présentant vers la partie postérieure une petite ouverture médiane résultant du passage de l'artère sternale entre les deux cordons de communication des ganglions du pénultième et de l'anti-pénultième anneaux thoraciques. — f. Nerfs des pattes de la dernière paire. — g. Cordon unique unissant les ganglions thoraciques postérieurs à ceux du premier anneau abdominal. — h. Dernier ganglion abdominal.

Fig. 5. Portion thoracique du système nerveux de la LANGOUSTE.

a. Portion postérieure du collier œsophagien. — b. Sa commissure. — c. Masse unique formée par la réunion de tous les ganglions thoraciques. — d. Ouverture traversée par l'artère sternale. — e. Origine du cordon ganglionnaire de l'abdomen.

Fig. 6. Portion thoracique et abdominale du système nerveux du HOMOLE FRONT ÉPINEUX.

Ici la concentration des ganglions thoraciques est portée plus loin que chez les Marmorées, et le cordon abdominal ne présente plus de ganglions distincts.

Fig. 7. Système nerveux du CARCIN MÉNADE. *Cancer menas*. Lin.

Dans cette préparation anatomique on a enlevé le dessus de la carapace, tous les viscères, les branchies du côté gauche, et les cellules des flancs du même côté pour montrer les nerfs des pattes.

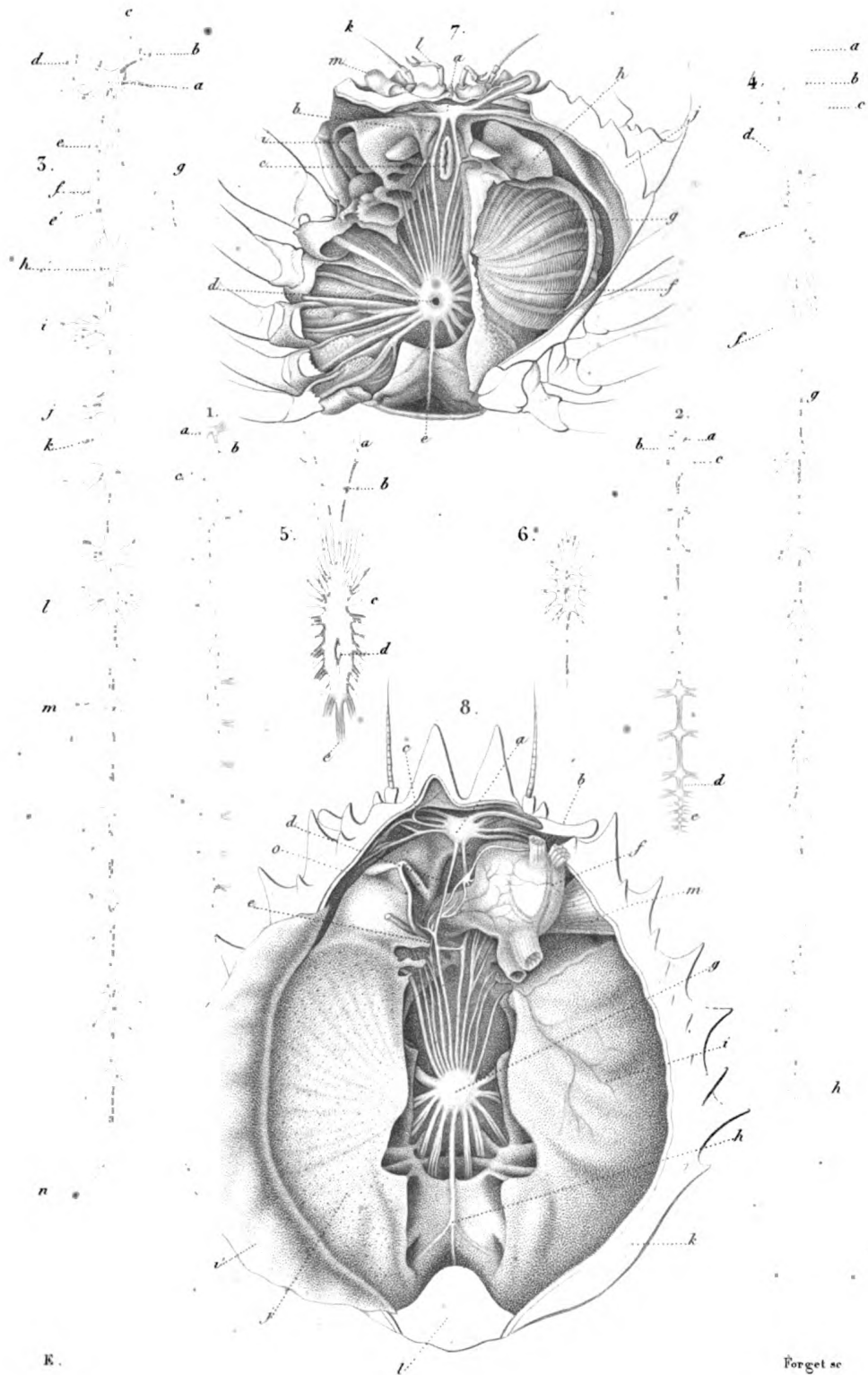
a. Le cerveau. — b. Collier qui entoure l'œsophage (c). — d. Masse nerveuse thoracique formée par la réunion de tous les ganglions thoraciques, et percée au centre pour le passage de l'artère sternale. — e. Cordon abdominal. — f. Branchies. — g. Fouet de la patte-mâchoire antérieure. — h. Appendice valvulaire de la mâchoire de la seconde paire logé dans le canal effluent de la respiration, qui a été ouvert en dessus. — i. Portion de ce canal intact et renfermant cette valvule dont les mouvements déterminent le renouvellement de l'eau nécessaire à la respiration. — j. Carapace. — k. Antennes externes. — l. Antennes internes. — m. Yeux.

Fig. 8. Système nerveux du MAJA SQUINADO.

Chez cet animal la concentration des ganglions est portée plus loin que chez tous les autres Crustacés, car le système nerveux ne se compose plus que de deux centres nerveux, dont le postérieur n'est pas évidé au centre comme chez le Carcin Ménade.

a. Cerveau. — b. Yeux recevant deux paires de nerfs. — c. Nerfs des téguments. — d. Collier œsophagien. — e. Sa commissure. — f. Nerf stomato-gastrique dans sa position naturelle sur l'estomac. — g. Masse nerveuse thoracique. — h. Nerf abdominal. — i. Membrane tégumentaire. — j. Membrane qui tapisse la voûte de la cavité branchiale. — k. Carapace. — l. Abdomen. — m. Muscle des mandibules. — n. Mandibule.

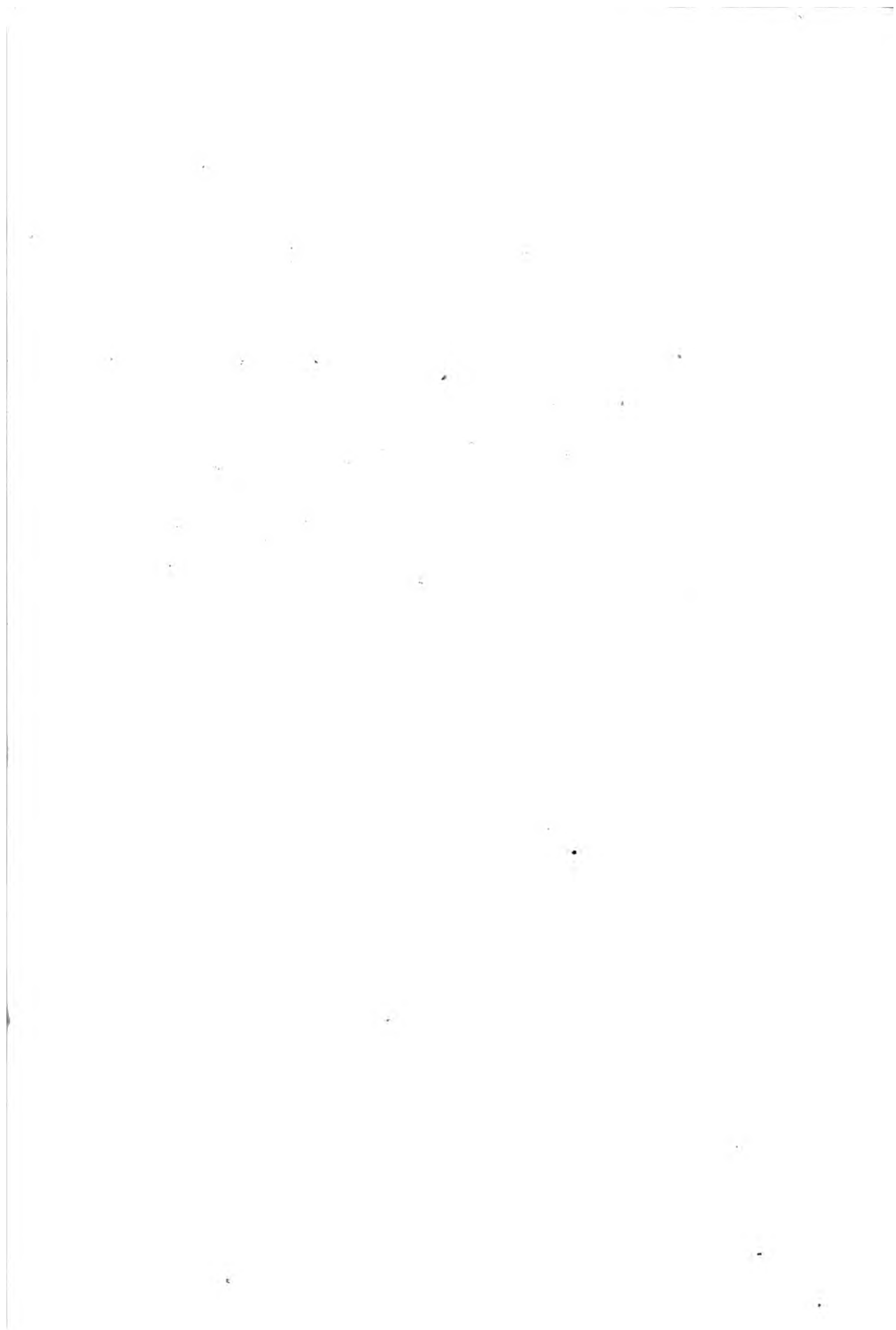
(Toutes ces figures sont dessinées d'après nature; les n^{os} 1, 2, 4, 5 et 8 ont été publiés par MM Audouin et Milne Edwards dans les Annales des Sciences Naturelles, tome 14.)



ANATOMIE.

N. Remond imp





ANATOMIE.

ORGANE DE LA RESPIRATION DES CRUSTACÉS DÉCAPODES.

Fig. 1. Appareil respiratoire de la LANGOUSTE COMMUNE.

a. Carapace dont la portion latérale a été enlevée pour mettre à nu l'appareil branchial. *b.* Yeux. — *c.* Base des antennes. — *d.* Pattes mâchoires externes. — *e.* Palpes des pattes mâchoires. — *f.* Base des pattes. — *g.* Base de l'abdomen. — *h.* Portion de la membrane tégumentaire qui se réfléchit en dedans et en haut pour constituer la voûte de la cavité respiratoire. — *i.* Branchies. — *j.* Appendices flabelliformes. — *k.* Canal efférent de la cavité branchiale. — *l.* Appendice flabelliforme de la patte mâchoire antérieure formant le plancher du canal efférent. — *m.* Valvule qui dépend de la mâchoire et de la seconde paire, et qui par ses mouvemens détermine le renouvellement de l'eau contenue dans la cavité branchiale. — *n.* Ouverture externe du canal par lequel l'eau s'échappe de la cavité branchiale.

Fig. 2 Portion antérieure de la face inférieure du corps d'un *Mata squinado*, pour montrer les orifices afférens et efférens des cavités respiratoires.

a. Carapace — *b.* Yeux. — *c.* Antennes internes. — *d.* Base des antennes externes. — *e.* Sternum. — *f.* Base des pattes antérieures. — *g.* Cadre buccal. — *h.* Patte mâchoire externe du côté gauche appliquée contre la bouche. — *i.* Patte mâchoire externe du côté droit abaissée de manière à ouvrir l'orifice afférent de la cavité respiratoire (*l.*) qui est située à sa base et qui est d'ordinaire fermée par la pièce operculaire (*k.*), formée par l'article basilair de ces pattes mâchoires. — *m.* Portion ptérygostomienne de la carapace formant le plancher du canal efférent de la cavité respiratoire.

Fig. 3. La même, dont on a enlevé diverses pièces de la bouche et le plancher du canal efférent du côté gauche. Les dernières parties sont indiquées par les mêmes lettres que dans la figure précédente.

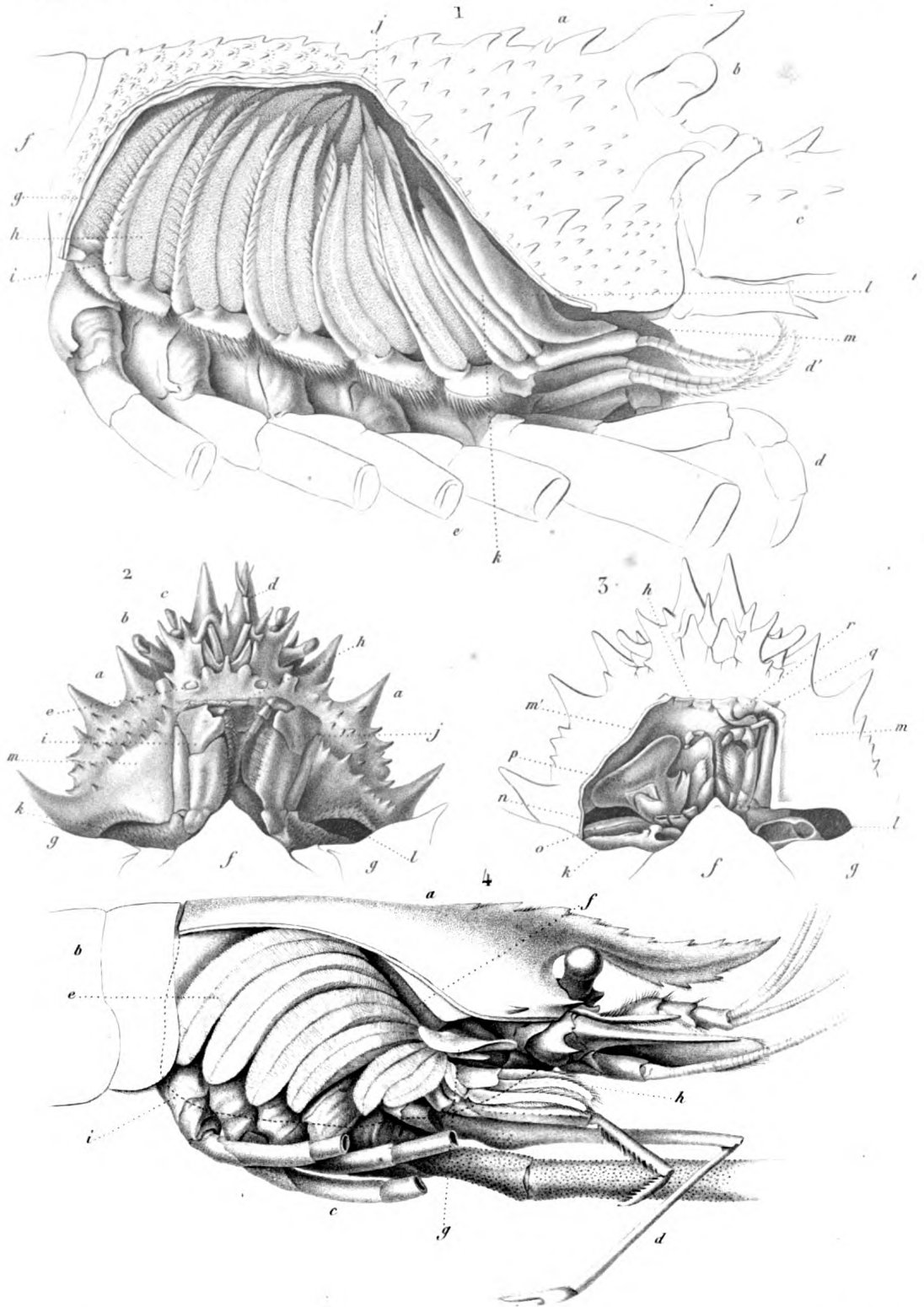
n. Orifice interne du canal efférent. — *o.* Base de l'appendice palpiforme de la patte mâchoire antérieure — *p.* Valvule motrice formée par l'appendice externe des mâchoires de la seconde paire. — *q.* Appendice flabelliforme de la patte mâchoire antérieure, servant à clore la portion antérieure du canal efférent. — *r.* Extrémité antérieure de ce canal.

Fig. 4. Appareil respiratoire du PALÉMON DE LA JAMAÏQUE.

a. Carapace. — *b.* Abdomen. — *c.* Base des pattes. — *d.* Pattes mâchoires. — *e.* Branchies. — *f.* Canal efférent. — *g.* Valvule motrice. — *h.* Palpes des pattes mâchoires. — *i.* Ligne ponctuée indiquant la position du bord latéral de la carapace qui, en s'appliquant contre la base des pattes (*c.*) laisse une fente à travers laquelle l'eau nécessaire à la respiration pénètre dans la cavité branchiale.

On voit, par cette figure, que, chez certains Macroures, la structure des branchies est lamelleuse comme chez les Brachyures, c'est le cas pour tous les anomaux et tous les Salicoques; les branchies en brosse n'existent que chez les Scyllariens, les Langoustes, les Gébies et un petit nombre d'autres Macroures.

(D'après nature.)

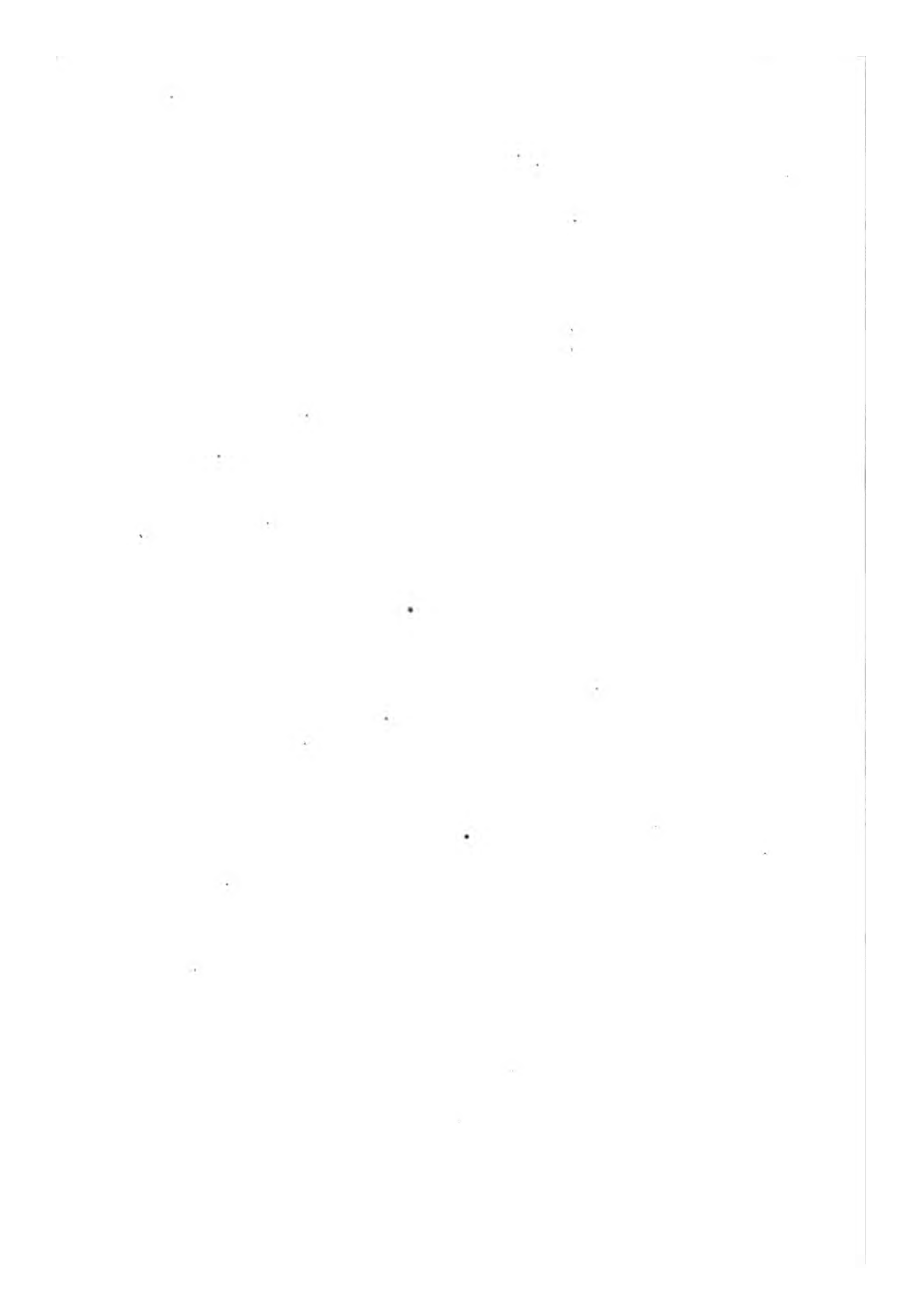


Edw. del.

Forget sculps.

ANATOMIE .

J. Remond imp.



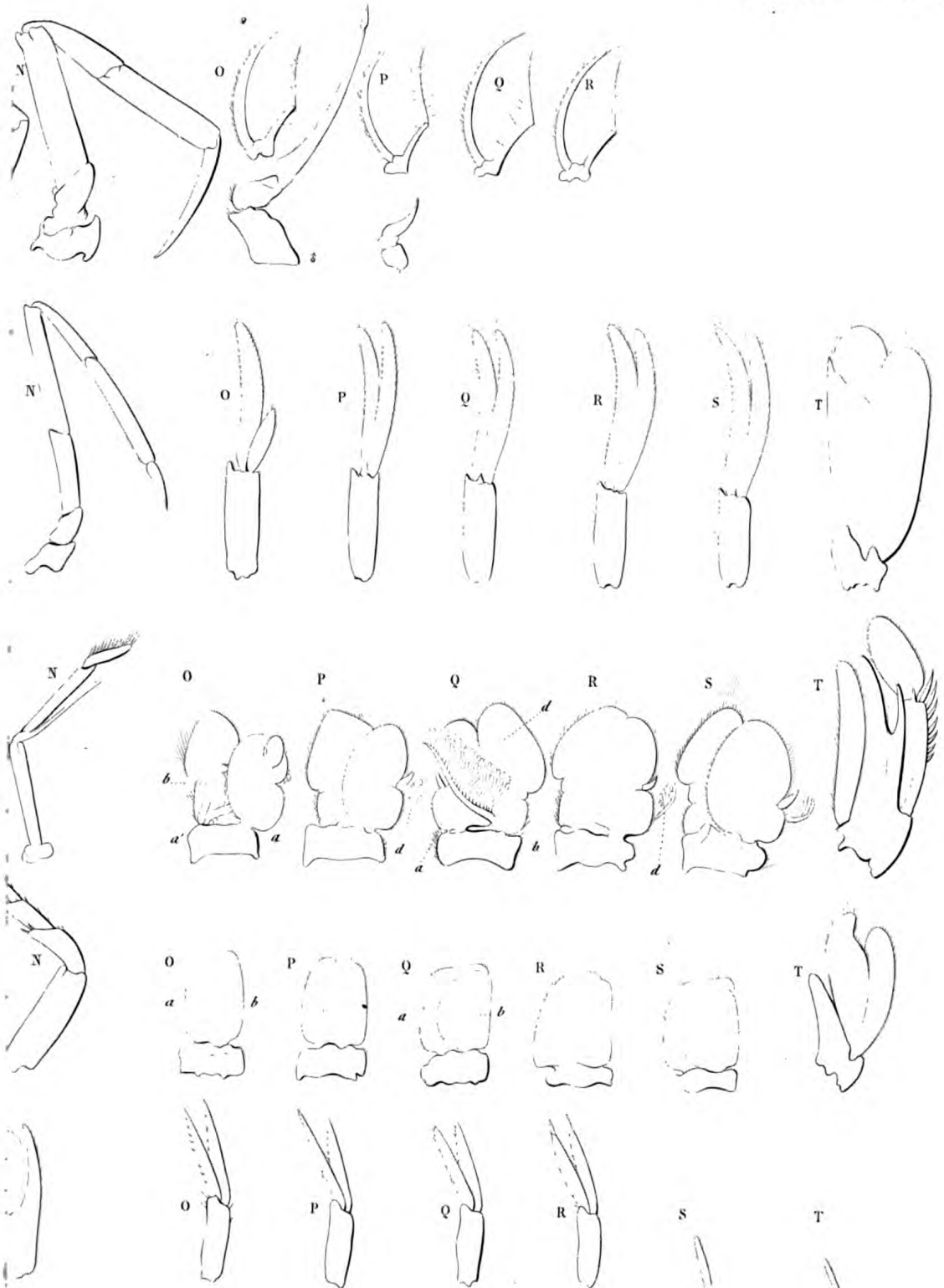
ANATOMIE.

ORGANES APPENDICULAIRES.

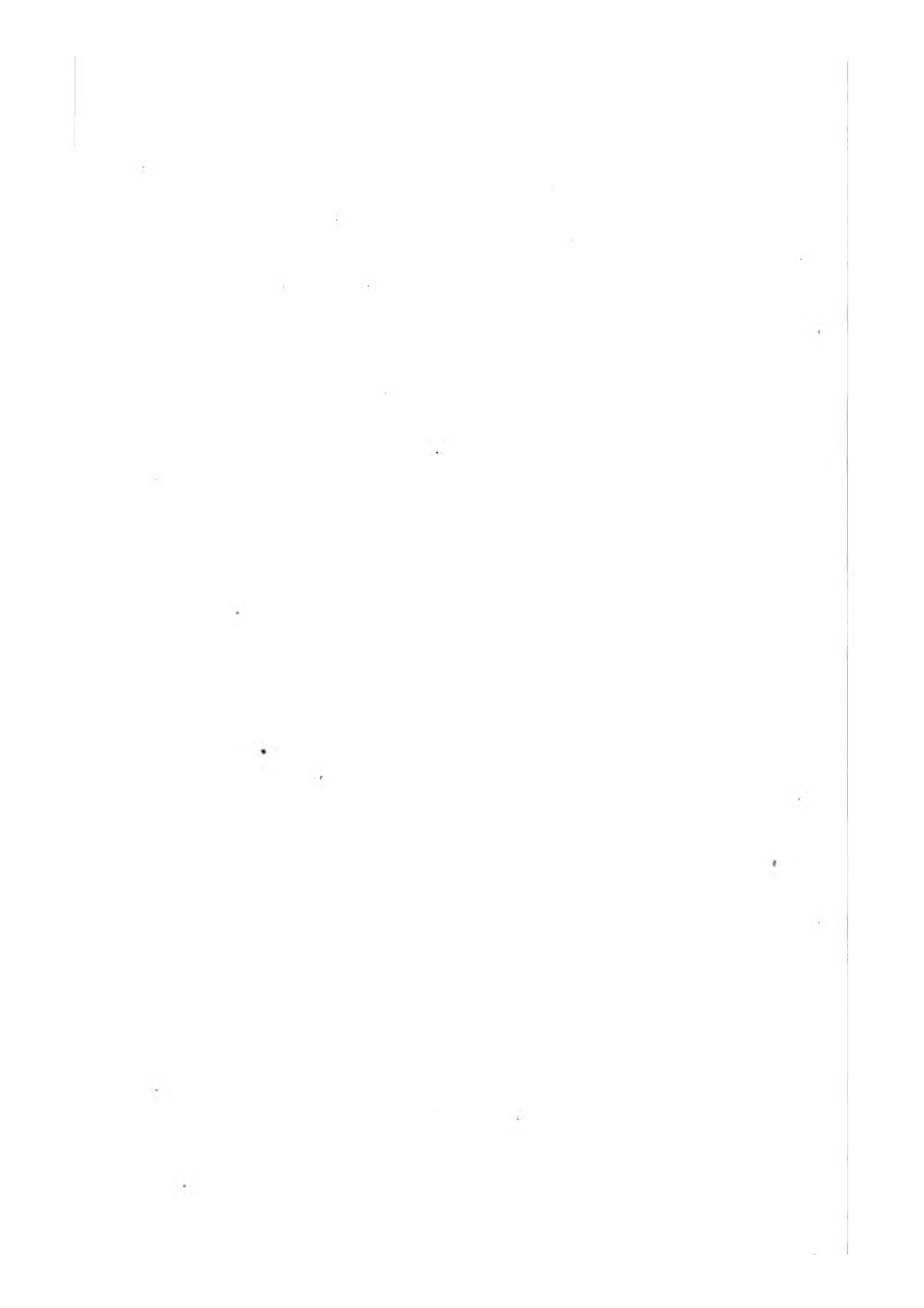
1. Organes appendiculaires d'un DÉCAPODE BRACHYURE, *Le Maja squinado*.
 2. Les mêmes organes chez un DÉCAPODE MACROURE, *Le Palemon squille*.
 3. Les mêmes organes chez un STOMAPODE, *La Squille mantie*.
 4. Les mêmes organes chez un ISOPODE, *l'Ega emarginé*.
 5. Les mêmes organes chez un BRANCHIPODE, *La Nebalie de Geoffroy*.
- Fig. A.* Appendices de la première paire constituant les pédoncules oculaires; ces appendices manquent chez les Isopodes, etc.
- Fig. B.* Appendices de la seconde paire constituant les antennules ou antennes internes.
- Fig. C.* Appendices de la troisième paire ou antennes externes.
- Fig. D.* Appendices de la quatrième paire ou mandibules.
- Fig. E.* Appendices de la cinquième paire ou mâchoires de la première paire.
- Fig. F.* Appendices de la sixième paire ou mâchoires de la seconde paire.
- Fig. G.* Appendices de la septième paire constituant les pattes-mâchoires de la première paire chez les Décapodes et les Isopodes; des organes pédiformes chez les Squilles et les pattes branchiales de la première paire chez les Branchiopodes.
- Fig. H.* Appendices de la huitième paire constituant les pattes-mâchoires de la seconde paire chez les Décapodes, les pattes ravisseurs chez les Squilles, les pattes thoraciques de la première paire chez les Isopodes et les pattes branchiales de la seconde paire chez les Branchiopodes.
- Fig. I.* Appendices de la neuvième paire constituant les pattes-mâchoires externes chez les Décapodes, les pattes subchiliformes de la première paire chez les Squilles, les pattes thoraciques de la deuxième paire chez les Isopodes et les pattes thoraciques de la troisième paire chez les Branchiopodes.
- Fig. J.* Appendices de la dixième paire constituant les pattes thoraciques de la première paire chez les Décapodes, celles de la troisième paire chez les Isopodes, etc.
- Fig. K.* Appendices de la onzième paire constituant les pattes de la deuxième paire chez les Décapodes, les pattes subchiliformes de la troisième paire chez les Squilles, les pattes thoraciques de la quatrième paire chez les Isopodes, et celles de la cinquième paire chez les Branchiopodes.
- Fig. L.* Appendices de la douzième paire constituant les pattes de la troisième paire chez les Décapodes, les pattes natatoires de la première paire chez les Squilles, etc.
- Fig. M.* Appendices de la treizième paire constituant les pattes de l'avant dernière paire.
- Fig. N.* Appendices de la quatorzième paire constituant les pattes thoraciques de la dernière paire.
- Fig. O.* Appendices de la quinzième paire constituant les fausses pattes abdominales de la première paire.
- Fig. P, Q, R, S.* Appendices des seizième, dix-septième, dix-huitième et dix-neuvième paires constituant de fausses pattes abdominales.
- Fig. T.* Appendices de la vingtième paire constituant chez les Décapodes macroures, les Stomapodes, les Isopodes, et les pièces latérales de la nageoire caudale.

Dans ces dernières figures la branche interne ou tige des membres est indiquée par la lettre *a*; la branche moyenne ou palpe par *b*; la branche externe ou fouet par *c*; et les branchies par *d*.

(D'après nature.)



Victor sc



ANATOMIE.

APPAREIL DE LA DIGESTION des Crustacés Décapodes.

Fig. 1. APPAREIL DIGESTIF DU MAÏA SQUINADO, vu en'dessus et de grandeur naturelle.

A. Estomac. — B. Intestin. — C. Foie. — *a.* Portion membraneuse de l'estomac. — *b.* Muscles antérieures de l'estomac. — *c.* Charpente solide de l'estomac mis à nu du côté droit et couvert par la membrane péritonéale du côté opposé. — *d.* Appendices pyloriques de l'intestin. — *e.* Appendice cœcal de l'intestin. — *f.* Les cœcums hépatiques séparés de façon à montrer la structure du foie et la disposition du canal biliaire du côté droit. — *g.* Lobes antérieurs du foie du côté gauche dans leur état naturel. — *h.* Lobe médian couvrant l'intestin grêle. — *i.* Lobe médian inférieur s'avancant dans l'abdomen sous le gros intestin. — *j.* Anus.

Fig. 1 a. Coupe transversale et verticale de l'estomac du même montrant l'intérieur de la portion postérieure de ce viscère.

a. OEsophage. — *b.* Paroi latérale de la portion cardiaque de l'estomac. — *c, c.* Pièces ptérocardiaques. — *d.* Pièce urocardiaque. — *e, e.* Pièce cardiaque latéro-supérieure. — *f.* Pièce cardiaque latérale. — *g.* Pièce cardiaque latérale accessoire. — *g'*. Lame cartilagineuse naissant du bord inférieur de cette pièce. — *i.* Pylore bordé en dessus par le tubercule dentiforme de la pièce urocardiaque, latéralement par les tubercules dentiformes des pièces cardiaques latérales et inférieurement par la pièce cardiaque inférieure. — *h.* Tubercules semi-membraneux faisant l'office de valvules cardiaques (pour plus de détails sur cette charpente stomacale voyez mon Hist. Nat. des Crustacés, T. I, p. 67.).

Fig. 1 b. Coupe verticale et longitudinale de l'estomac du même pour montrer la disposition de l'appareil triturant qui entoure le pylore.

a. OEsophage. — *b.* Portion cardiaque de l'estomac. — *c.* Portion pylorique de l'estomac. — *d.* Origine de l'intestin. — *e.* Muscle antérieur de l'estomac naissant de la pièce cardiaque. — *f.* Pièce urocardiaque occupant la ligne médiane de la paroi supérieure de la portion cardiaque de l'estomac et offrant à son extrémité postérieure, un gros tubercule dentiforme. — *g.* Tubercule dentiforme latéral formé par l'extrémité de la pièce cardiaque latéro-supérieure. — *h.* Pièce cardiaque latérale accessoire allant joindre les petites dents de la pièce cardiaque latérale. — *i.* Plaques cartilagineuses naissant du bord inférieur de la pièce précédente. — *j.* Pièce cardiaque postérieure.

Fig. 1 c. Portion de l'intestin ouvert.

a. Intestin grêle. — *b.* Origine du gros intestin. — *c.* Valvules qui séparent ces deux intestins. — *d.* Portion de l'appendice cœcal. — *e.* Orifice de cet appendice.

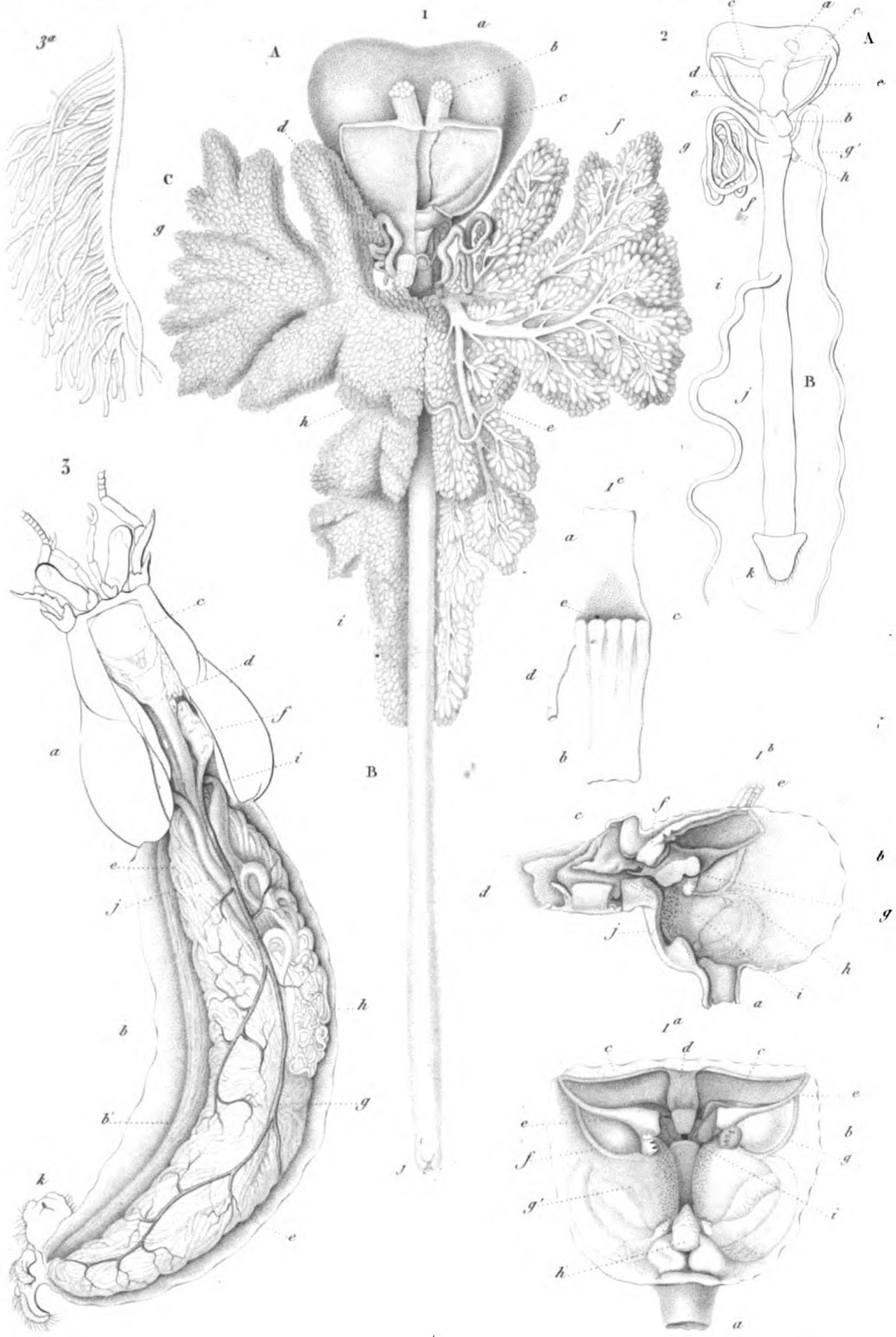
Fig. 2. Tube digestif du Carcin Ménade.

A. Estomac. — B. Intestin. — *a.* L'un des muscles antérieurs de l'estomac. — *b.* Muscle postérieur. — *c, c'*. Les deux pièces ptérocardiaques. — *d.* Pièce urocardiaque. — *e, e.* Pièces cardiaques latéro-supérieures. — *f.* L'intestin grêle. — *g.* L'un des appendices pyloriques de l'estomac dans sa position naturelle. — *g'*. L'autre déroulé. — *h.* Terminaison du canal biliaire du côté droit. — *i.* Appendice cœcal déroulé. — *j.* Gros intestin. — *k.* Dernière plaque abdominale recouvrant l'anus.

Fig. 3. Viscères du Pagure Bernard. Le foie au lieu d'être logé dans le thorax comme chez les autres Décapodes est placé presque tout entier dans l'abdomen.

a. Thorax ouvert. — *b.* Abdomen. — *c.* Estomac. — *d.* Origine de l'intestin. — *e.* Foie. — *f.* Cœur. — *g.* Artère abdominale supérieure. — *h.* Testicule du côté droit; celui du côté gauche se trouve caché entre les deux lobes du foie. — *i.* Canal déférent du côté droit. — *j.* Canal déférent du côté gauche. — *k.* L'anus. — *l.* Muscles de l'abdomen.

(D'après nature.)



E

Schmelz sc

ORGANES DE LA GÉNÉRATION

Fig. 1. Vue de l'ensemble du système reproducteur masculin. 1 - testicules, 2 - épididymes, 3 - vasa deferentia, 4 - vésicules séminales, 5 - prostate, 6 - urethre, 7 - pénis, 8 - glandes bulbourethrales, 9 - glandes de Cowper.

Fig. 2. Vue de l'ensemble du système reproducteur féminin. 1 - ovaires, 2 - utérus, 3 - vagin, 4 - clitoris, 5 - glandes de Skene, 6 - glandes de Bartholin.

Fig. 3. Vue de l'appareil reproducteur masculin. 1 - testicules, 2 - épididymes, 3 - vasa deferentia, 4 - vésicules séminales, 5 - prostate, 6 - urethre, 7 - pénis, 8 - glandes bulbourethrales, 9 - glandes de Cowper.

Fig. 4. Vue de l'appareil reproducteur féminin. 1 - ovaires, 2 - utérus, 3 - vagin, 4 - clitoris, 5 - glandes de Skene, 6 - glandes de Bartholin.

Fig. 5. Vue de l'appareil reproducteur masculin. 1 - testicules, 2 - épididymes, 3 - vasa deferentia, 4 - vésicules séminales, 5 - prostate, 6 - urethre, 7 - pénis, 8 - glandes bulbourethrales, 9 - glandes de Cowper.

Fig. 6. Vue de l'appareil reproducteur féminin. 1 - ovaires, 2 - utérus, 3 - vagin, 4 - clitoris, 5 - glandes de Skene, 6 - glandes de Bartholin.

Fig. 7. Vue de l'appareil reproducteur masculin. 1 - testicules, 2 - épididymes, 3 - vasa deferentia, 4 - vésicules séminales, 5 - prostate, 6 - urethre, 7 - pénis, 8 - glandes bulbourethrales, 9 - glandes de Cowper.

Fig. 8. Vue de l'appareil reproducteur féminin. 1 - ovaires, 2 - utérus, 3 - vagin, 4 - clitoris, 5 - glandes de Skene, 6 - glandes de Bartholin.

Fig. 9. Vue de l'appareil reproducteur masculin. 1 - testicules, 2 - épididymes, 3 - vasa deferentia, 4 - vésicules séminales, 5 - prostate, 6 - urethre, 7 - pénis, 8 - glandes bulbourethrales, 9 - glandes de Cowper.

Fig. 10. Vue de l'appareil reproducteur féminin. 1 - ovaires, 2 - utérus, 3 - vagin, 4 - clitoris, 5 - glandes de Skene, 6 - glandes de Bartholin.

ANATOMIE.

ORGANES DE LA GÉNÉRATION.

Fig. 1. Viscères du CARCIN MÉNADE. *Carcinus menas*. Leach. *Cancer mænas*. Linn. *Portunus mænas*. Latr. Mis à découvert du côté gauche, tandis que du côté droit la carapace a été laissée intacte pour montrer les diverses régions de sa face supérieure, lesquelles ont été délimitées par des lignes ponctuées.

a. Région stomacale. — *b.* Région génitale. — *c.* Région cordiale. — *d.* Région intestinale. — *e.* Région hépatique. — *f.* Région branchiale. — *g.* Estomac. — *h.* Foie. — *i.* Appendice pylorique. — *j.* Appendice cœcal. — *k.* Testicule. — *l.* Branchies. — *m.* Portion de la voûte membraneuse de la cavité branchiale.

Fig. 2. Appareil génital mâle de l'ECREVISSE COMMUNE. *Astacus fluviatilis*. De grandeur naturelle.

a. Testicules. — *b.* Canaux déférens. — *c.* Portion protractile de ces tubes ou pénis. *d.* Orifices extérieurs creusés dans l'article basilaire des pattes de la cinquième paire (*e*).

Fig. 2 a. Parenchyme vésiculaire du testicule vu au microscope.

Fig. 3. Appareil femelle du MAÏA SQUINADE. *Maia squinado*. De grandeur naturelle.

a, a. Cornes antérieures de l'ovaire. — *b.* Portion médiane de l'ovaire. — *c.* Cornes postérieures. — *d, d.* Poches copulatrices. — *e, e.* Orifices correspondans aux vulves creusées dans l'anté-pénultième segment du plastron sternal.

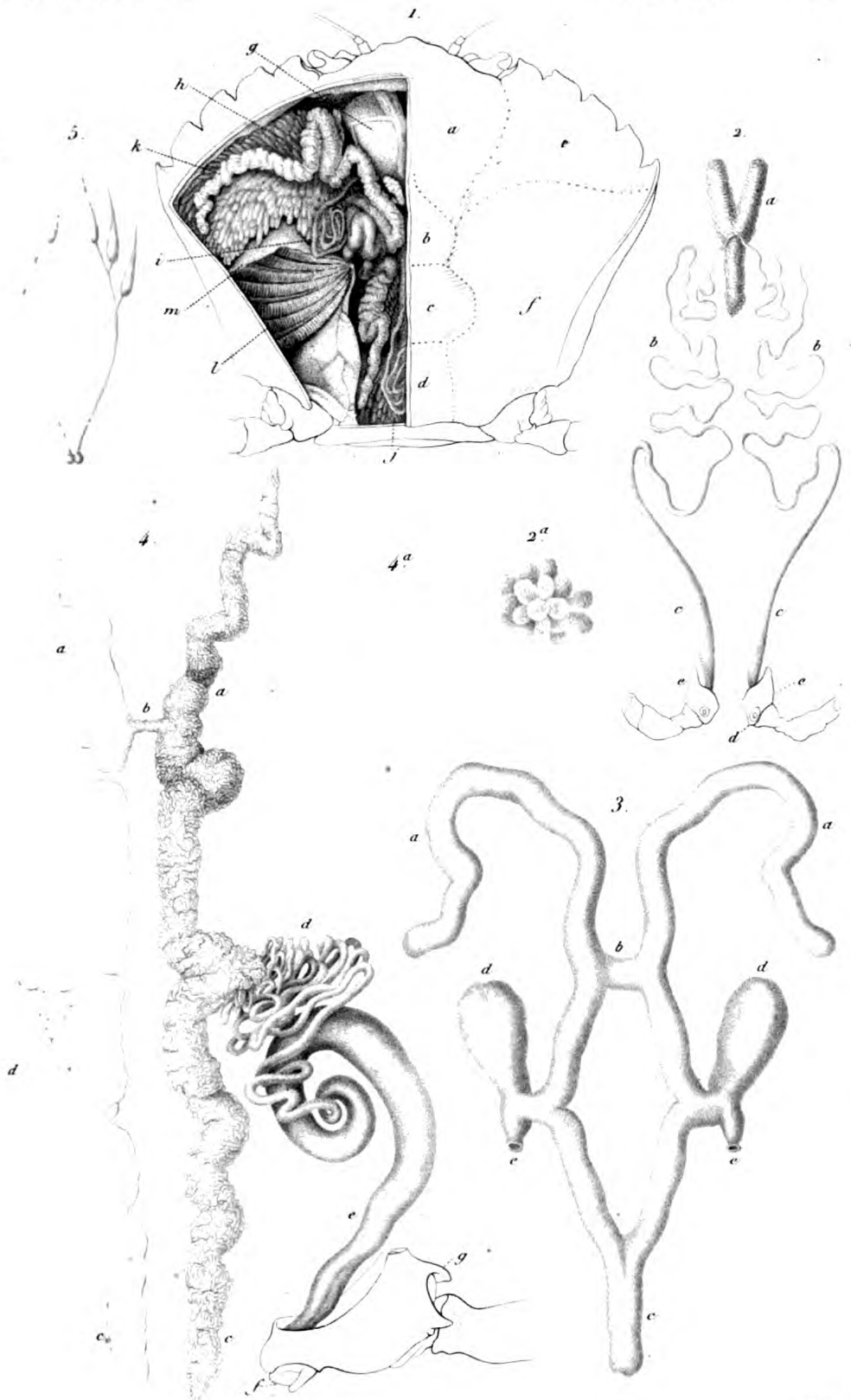
Fig. 4. Appareil mâle de la LANGOUSTE COMMUNE. *Palinurus vulgaris*. De grandeur naturelle.

a, a. Portion antérieure des testicules. — *b.* Portion médiane. — *c, c.* Lobes postérieurs. — *d, d.* Canaux déférens. — *e.* Pénis rétractile. — *f.* Orifice extérieur. — *g.* Article basilaire de la patte postérieure.

Fig. 4 a. Portion de l'un des canaux spermatiques du testicule, vu au microscope.

Fig. 5. Appareil mâle de la LYGIE OCÉANIQUE.

(D'après nature.)



ANATOMIE.

A. Rémond sculp.

Wskazanie na wydziale, w którym
działają jednostki, w których
działają jednostki, w których
działają jednostki, w których
działają jednostki, w których
działają jednostki, w których
działają jednostki, w których
działają jednostki, w których
działają jednostki, w których
działają jednostki, w których

1. Pierwsza część

2. Druga część

3. Trzecia część

DÉCAPODES. BRACHYURES.

NAGEURS.

GENRE MATUTE. *Matuta*. Fabricius.

Fig. 1. MATUTE VAINQUEUR. *Matuta victor*. Fab. Réduit d'un tiers.

Fig. 1 a. Région buccale du même pour montrer la forme triangulaire des pattes-mâchoires externes et la manière dont le cadre buccal se prolonge antérieurement jusqu'à l'origine des antennes internes, mode de conformation qui ne se voit dans aucun des autres genres dont se compose la section des nageurs de Latreille mais est caractéristique des Hepates, des Leucosies et de tous les Brachyures dont nous avons formé la famille des Oxystomes. (Voyez notre *Histoire naturelle des Crustacés*, tome I. page 265.)

Fig. 1 b. Les mêmes parties sans les pattes-mâchoires externes pour montrer la forme du cadre buccal et la manière dont la région prélabiale (a) est recouverte par un prolongement lamellaire des pattes mâchoires antérieures (b) et transformée en un canal par lequel l'eau s'échappe de la cavité branchiale.

Fig. 1 c. Mandibule, grossie.

Fig. 1 d. Mâchoire de la première paire.

Fig. 1 e. Mâchoire de la seconde paire.

a. Portion interne qui représente la tige de ces membres. — b. Portion moyenne qui représente le palpe. — c. Portion externe qui représente le fouet et qui constitue la grande valicule dont l'action détermine la sortie de l'eau contenue dans la cavité branchiale.

Fig. 1 f. Patte-mâchoire de la première paire.

a. Portion externe. — b. Palpe. — c. Fouet qui pénètre dans la cavité respiratoire et balaie la surface des branchies.

Fig. 1 g. Patte-mâchoire de la seconde paire.

a. Tige. — b. Palpe. — c. Fouet.

Fig. 1 h. Patte-mâchoire externe vue par sa face interne pour montrer le mode d'insertion de la tigelle terminale.

a. Portion operculaire formée par les deuxième et troisième articles de la tige. — b. La tigelle formée par les trois derniers articles de la tige. — c. Le palpe dont le sommet ne donne pas insertion, comme d'ordinaire chez les Brachyures, à une tigelle multiarticulée. — d. Fouet ayant à sa base les vestiges d'une petite branchie.

Fig. 1 i. Antennes en place et fortement grossies.

a. Antennes externes. — b. Antennes internes.

Fig. 1 k. Thorax vu en dessus pour montrer la disposition particulière de la voûte des flancs et des cellules.

Fig. 1 l. Sternum et abdomen du mâle.

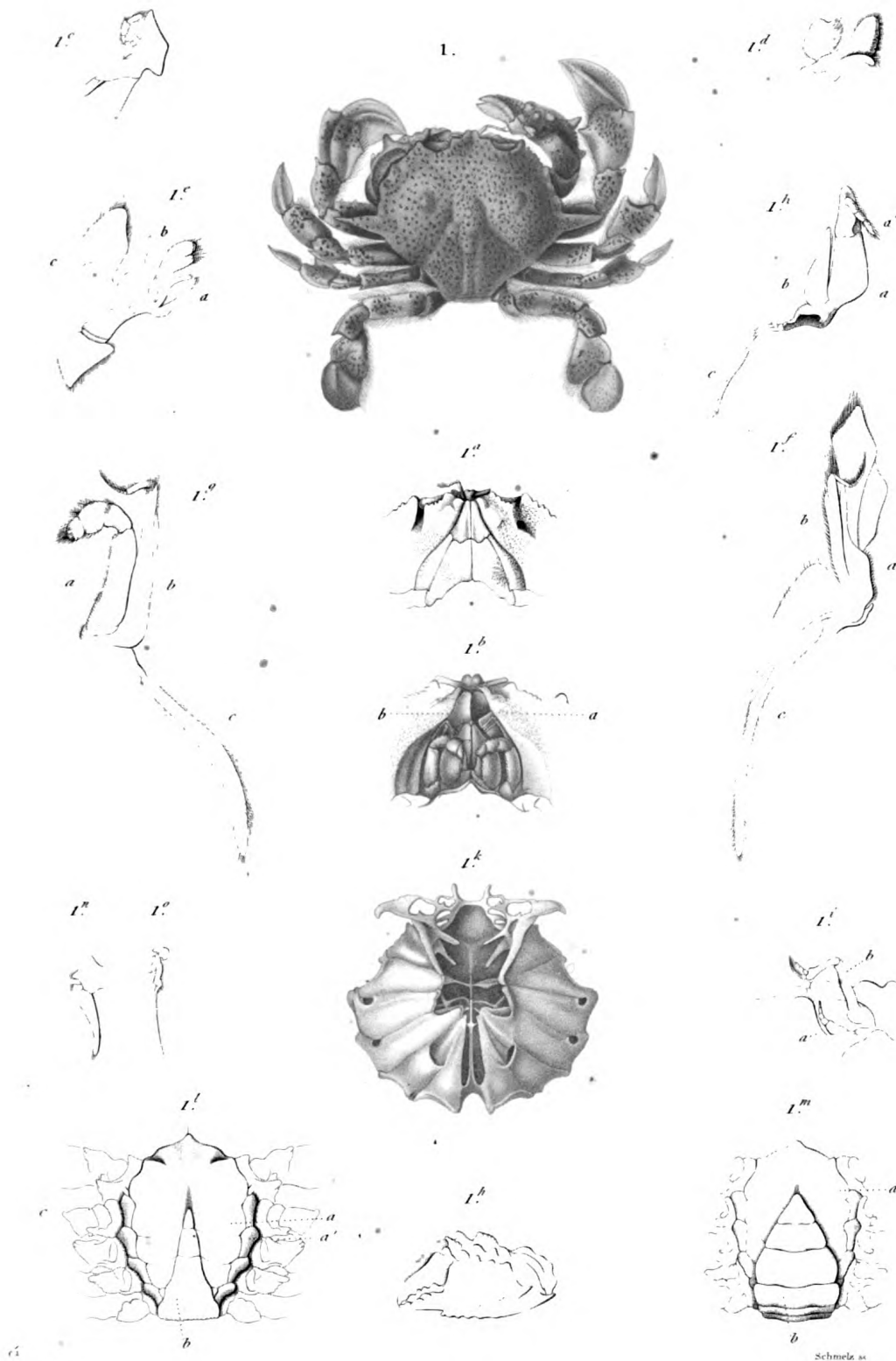
a. Les pièces sternales du plastron. — a'. Les pièces épisternales. — b. Abdomen. — c. origine des pattes.

Fig. 1 m. Les mêmes parties chez la femelle.

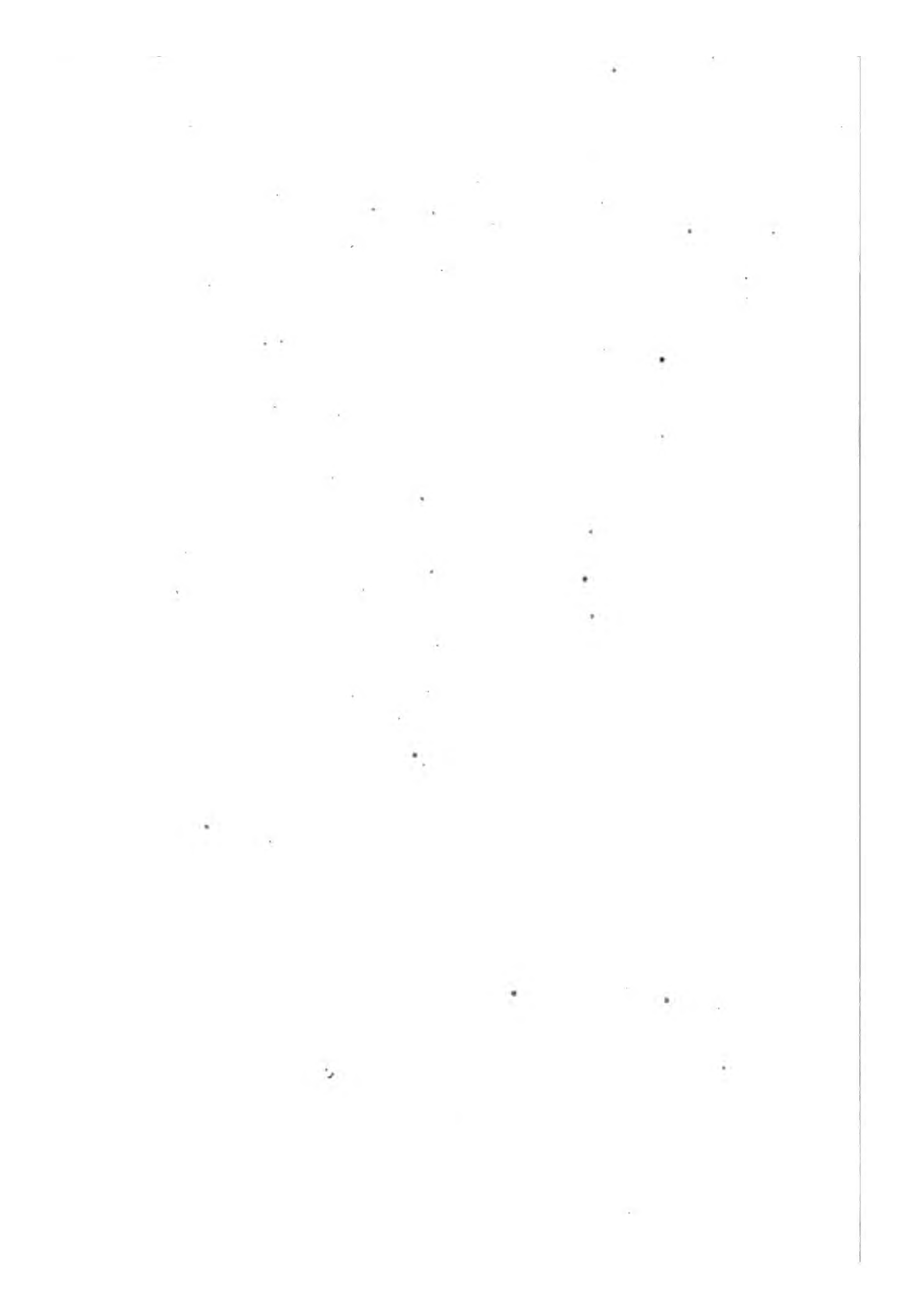
Fig. 1 n. Appendices abdominaux de la première paire chez le mâle.

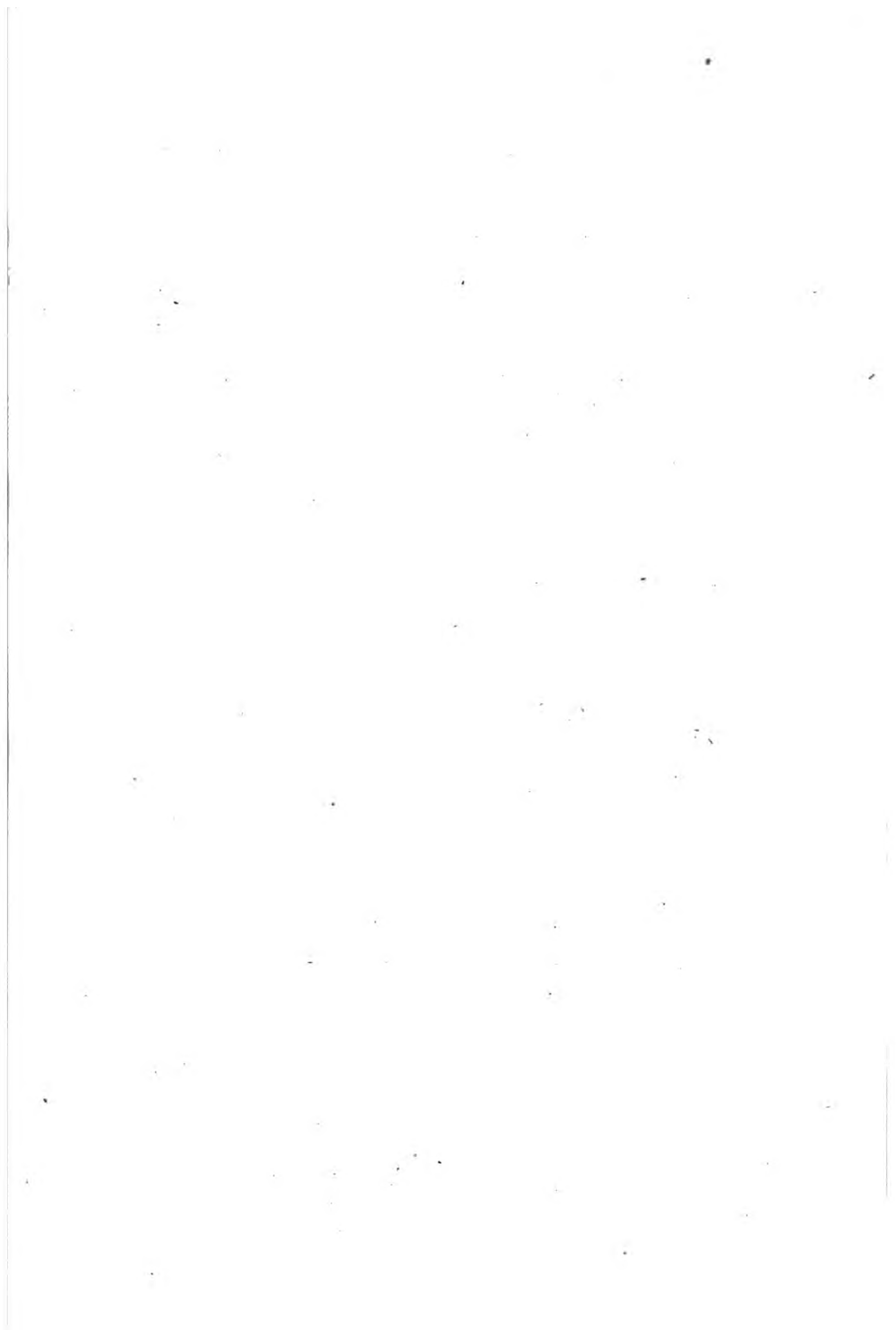
Fig. 1 o. Appendices abdominaux de la seconde paire du même.

Fig. 1 p. Main, vue par la face externe.



1. MATUTE VAINQUEUR. (*Matuta vietor* Fabr.)





DÉCAPODES BRACHYURES.

NAGEURS.

GENRE ORITHYIE. *Orithyia*. Fabricius.

Fig. 1. ORITHYIE MAMELONNÉE. *Orithyia mamillaris*. Fabr. Réduit d'un tiers de la grandeur naturelle.

Fig. 1 a. Portion antérieure du corps, vue en dessous, pour montrer les pattes-mâchoires externes, la conformation singulière du bord antérieur du cadre buccal, la région antennaire, etc.

Fig. 1 b. Main, vue par sa face externe.

Fig. 1 c. Tarse d'une des pattes de la troisième paire.

GENRE POLYBIE. *Polybius*. Leach.

Fig. 2. POLYBIE DE HENSLow. *Polybius Henslowi*. Leach. Réduit d'un tiers.

Fig. 2 a. Partie antérieure du corps, vue en dessous; du côté gauche on a enlevé la patte-mâchoire externe pour montrer la disposition du cadre buccal.

Fig. 2 b. Main.

Fig. 2 c. Plastron sternal (*a*) avec la base de l'abdomen (*b*), et les appendices abdominaux mâles (*c*).

On voit que la suture médiane du plastron en occupe les trois derniers segments.

Fig. 2 d. Abdomen du mâle.

GENRE PLATYONIQUE. *Platyonichus*. Latreille. *Portumnus*. Leach.

Fig. 3. PLATYONIQUE LATIPÈDE. *Platyonichus latipes*. Grossi d'un quart.

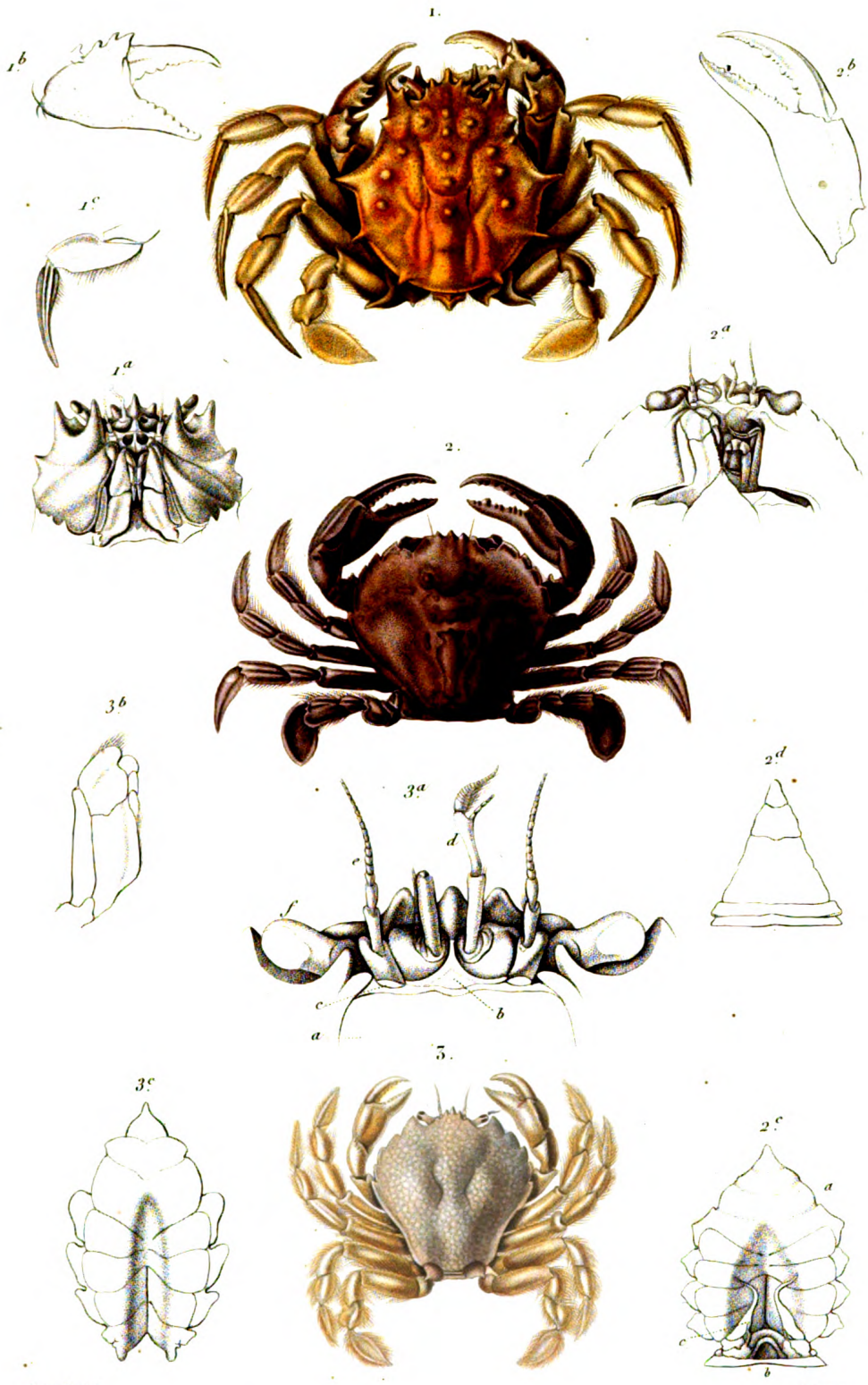
Fig. 3 a. Région antennaire, très grossie.

a. Cadre buccal. — *b.* Epistome. — *c.* Tubercule auditif. — *d.* Antenne de la première paire. — *e.* Antennes de la seconde paire. — *f.* Yeux.

Fig. 3 b. Patte-mâchoire externe, grossie.

Fig. 3 c. Plastron sternal, grossi.

(D'après nature.)

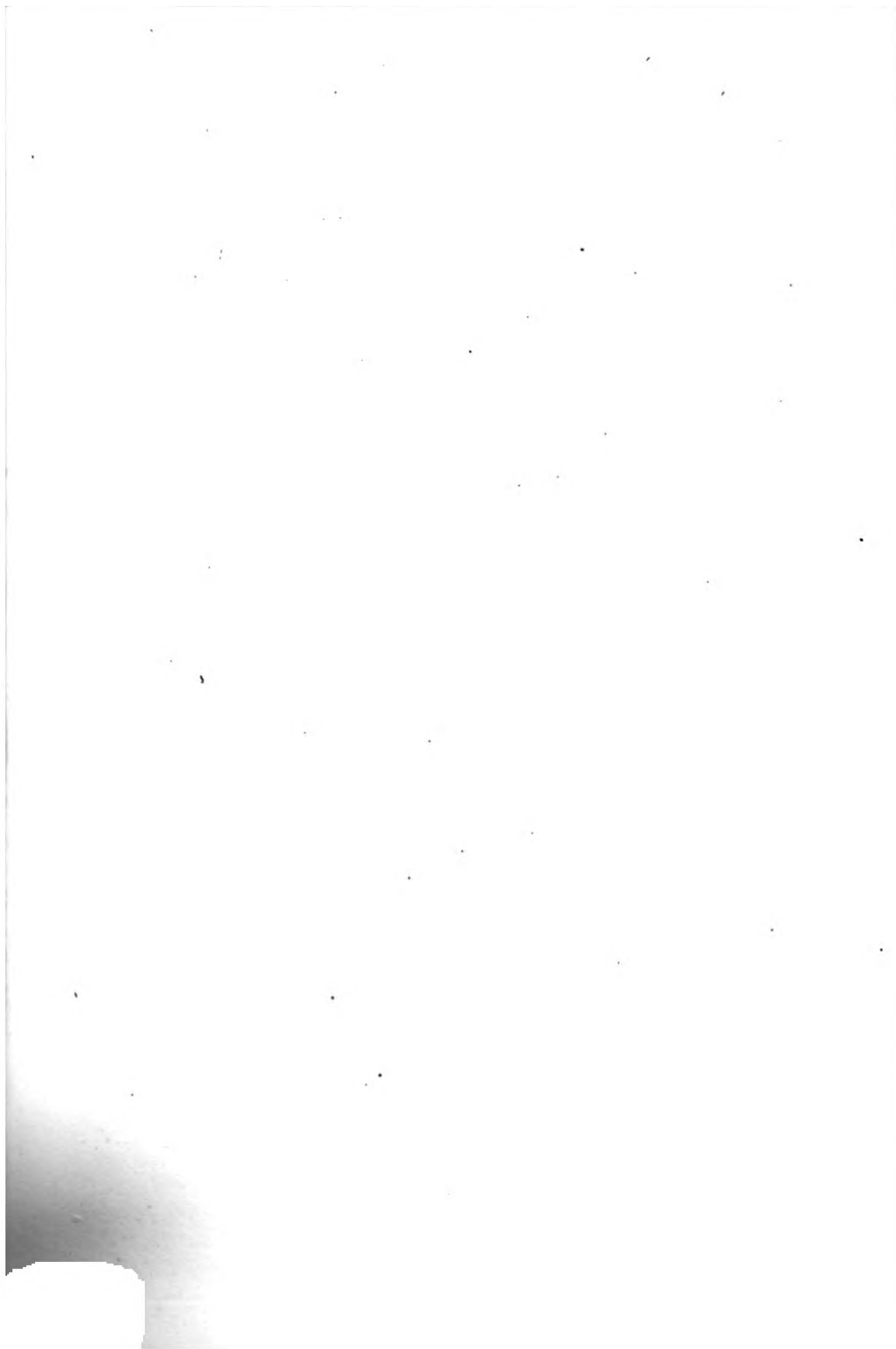


E. et V. del.

Sébin sc.

1. ORITHYIE MAMELONNÉE. (*Orithyia mamillaris*) 2. POLYBIE DE HENSLOW. (*Polybius Henslowii*)

3. PLATYONIQUE LATIPÈDE. (*Platyonichus latipes*.)



THE UNIVERSITY OF CHICAGO
LIBRARY

DÉCAPODES BRACHYURES.

NAGEURS.

GENRE PODOPHTHALME. *Podophthalmus*. Lamarck.

Fig. 1. PODOPHTHALME VIGIL. Podophthalmus vigil. Lamk. Réduit d'un cinquième.

Fig. 1 a. Le corps du même, vu par devant pour montrer la conformation du front (*a*); des antennes (*b* et *c*), des yeux (*d*), des orbites (*e*) de l'épistome (*f*), du cadre buccal, etc.

Fig. 1 b. Patte-mâchoire externe.

Fig. 1 c. Patte-mâchoire de la seconde paire.

Fig. 1 d. Patte-mâchoire de la première paire.

Fig. 1 e. Mâchoire de la seconde paire.

Fig. 1 f. Mâchoire de la première paire.

Fig. 1 g. Mandibule.

Fig. 1 h. Antenne externe.

Fig. 1 i. Extrémité de l'antenne interne.

Fig. 1 j. Pince.

Fig. 1 k. Appendice abdominal de la première paire chez le mâle.

Fig. 1 l. Extrémité du même, grossie.

Fig. 1 m. Appendice abdominal de la seconde paire.

GENRE PORTUNE. *Portunus*. Fabr.S.-GENRE THALAMITE. *Thalamita*. Latr.

Fig. 2. THALAMITE ADMÈTE. Thalamita admete. Latr. *Cancer admete.* Herbst. Réduit d'un quart.

Fig. 2 a. Le corps du même, vu par devant.

Fig. 2 b. Patte-mâchoire externe.

(D'après nature.)



E

Forget sc

1. *PODOPHTHALME VIGIL*. *Podophthalmus vigil*.

2. *THALAMITE ADMÈTE*. (*Thalamita admete*)

A. Rémond imp.



DÉCAPODES BRACHYURES.

NAGEURS.

GENRE PORTUNE. *Portunus*. Fabricius.

S.-GENRE LUPÉE. *Lupa*. Leach.

Fig. 1. LUPÉE SANGUINOLENTE. *Lupa sanguinolenta*. Leach. Réduite de moitié.

Fig. 1 a. Région antennaire et orbites grossis.

Fig. 1. b. et *1. c.* Appendices abdominaux du mâle.

S.-GENRE PORTUNE PROPREMENT DITE. *Portunus*. Leach.

Fig. 2. PORTUNE ETRILLE *Portunus puber*. Fabr. Réduit d'un quart, et dépouillé de son duvet du côté gauche.

Fig. 2. a. Région antennaire.

Fig. 2. b. Patte-mâchoire externe.

Fig. 2. c. Plastron sternal de la femelle.

S.-GENRE CARCIN. *Carcinus*. Leach.

Fig. 3. Croquis de la carapace du CARCIN MENADE. *Carcinus menas*. Leach. Réduit de moitié.

Fig. 3. a. Extrémité de l'une des pattes de la troisième paire.

Fig. 3. b. Patte de la cinquième paire.

Fig. 3. c. Abdomen de la femelle, vu en dessous.

(*D'après nature.*)



E et V.

Annedouche sc.

1. LUPÉE SANGUINOLENTE. (*Lupa sanguinolenta*.)

2. PORTUNE ÉTRILLE. (*Portunus puber*.)

DÉCAPODES BRACHYURES.

ARQUÈS.

GENRE CRABE. *Cancer*. Fabr.

Fig. 1. Région antennaire du CRABE POUPART OU TOURTEAU. *C. Paragus*.
Lin.

a. Antenne externe. — *b.* Article basilaire de cette antenne.

Fig. 1 b. Patte-mâchoire externe.

Fig. 1 c. Abdomen du mâle.

Cette espèce est le type d'un sous-genre établi par Latreille sous le nom de *PLATYCARCINUS*. Voyez Milne Edwards, *Hist. nat. des Crustacés*, tom. I, p. 412.)

Fig. 2. CRABE MACULÉ. *Cancer maculatus*. Fab. *Carpilius maculatus*, Leach. (Réduit d'un tiers.)

Fig. 2 a. Portion antérieure du corps, vue en dessous.

Fig. 3. CRABE BOSSELÉ. *Cancer exaratus*; *Chlorodius exaratus*, Edw., *Op. cit.*, p. 402.

Fig. 3 a. Région antennaire, grossie.

Fig. 3 b. Patte-mâchoire externe, grossie.

Fig. 3 c. Pince grossie.

Le sous-genre Chlorodie se rapproche de beaucoup des Xanthes dont il se distingue par la conformation des pinces qui sont creusées en cuiller.

Fig. 4. CRABE BOSSELÉ. *Cancer anaglyptus*; *Etisus anaglyptus*, Edw., *Op. cit.*, tom. I, p. 411.

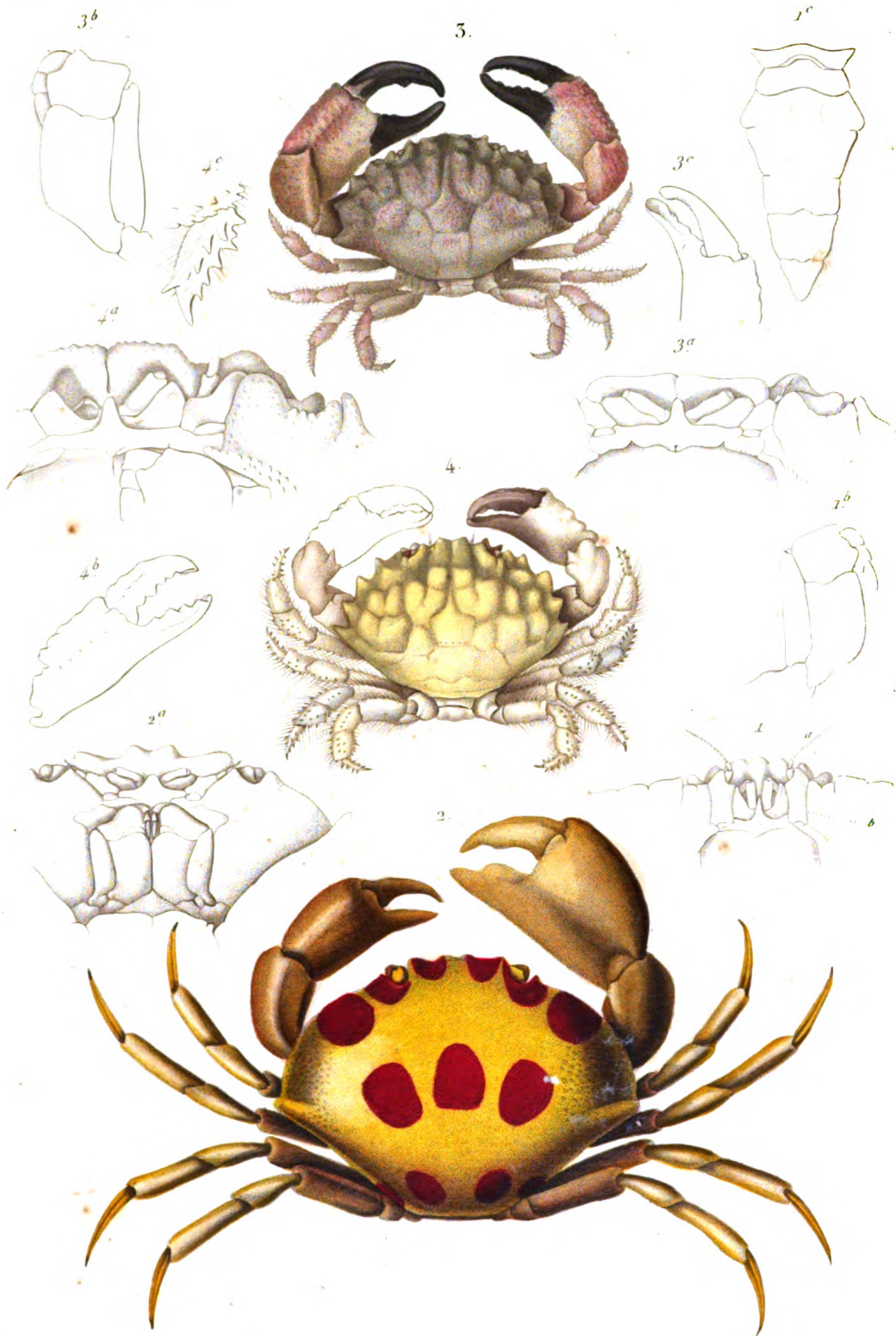
Fig. 4 a. Région antennaire, grossie.

Fig. 4 b. Pince.

Fig. 4 c. Tarse.

Le genre *Etisus* établit, à plusieurs égards, le passage entre les *Platycarcins* et les *Chlorodies*.

(D'après nature.)

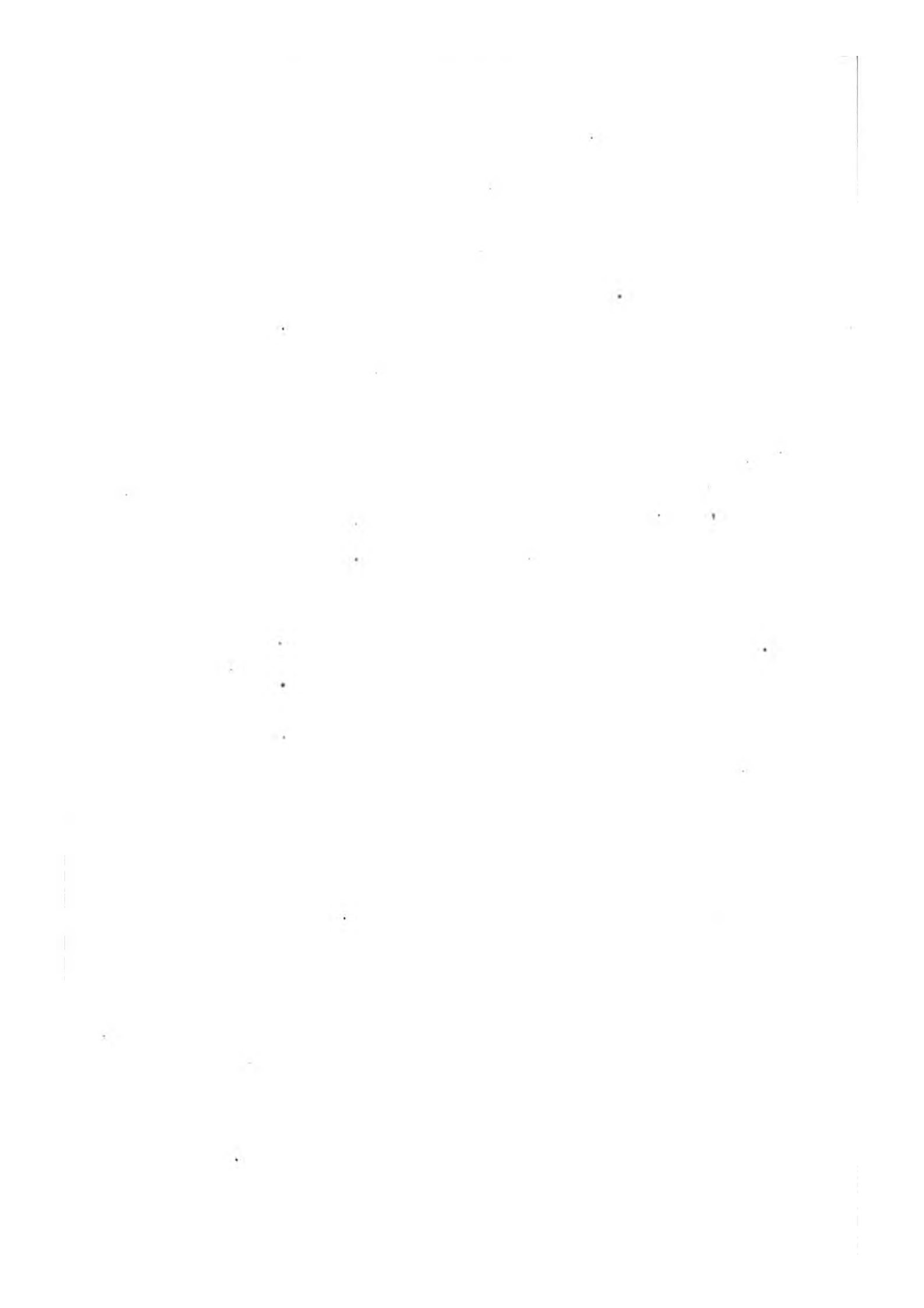


E.

Forget sc.

- 1. CRABE MACULÉ. (Cancer maculatus.)
- 2. ——— LABOUREUR. (—— exaratus.)
- 3. ——— BOSSELÉ. (—— anaglyptus.)

N. Rémond imp.





DÉCAPODES BRACHYURES.

ARQUÉS.

GENRE PIRIMÈLE. *Pirimela*. Leach.

Fig. 1. PIRIMÈLE DENTICULÉE. *Pirimela denticulata*. Leach. De grandeur naturelle.

Fig. 1 a. Région antennaire grossie.

Fig. 1 b. Patte-mâchoire externe grossie.

GENRE ATÉLÉCYCLE. *Atelecyclus*. Leach.

Fig. 2. ATÉLÉCYCLE ENSANGLANTÉ. *Atelecyclus cruentatus*. Desmarest.

Cancer rotundatus. Olivi. De grandeur naturelle.

Fig. 2 a. Région antennaire grossie.

Fig. 2 b. Patte-mâchoire externe grossie.

Fig. 2 c. Patte-mâchoire de la seconde paire grossie.

Fig. 2 d. Patte-mâchoire de la première paire.

Fig. 2 e. Abdomen du mâle.

GENRE THIE. *Thia*. Leach.

Fig. 3. THIE POLIE. *Thia Polita*. Leach, un peu grossie.

Fig. 3 a. Région antennaire et buccale.

Fig. 3 b. Patte-mâchoire de la deuxième paire.

Fig. 3 c. Patte-mâchoire de la première paire.

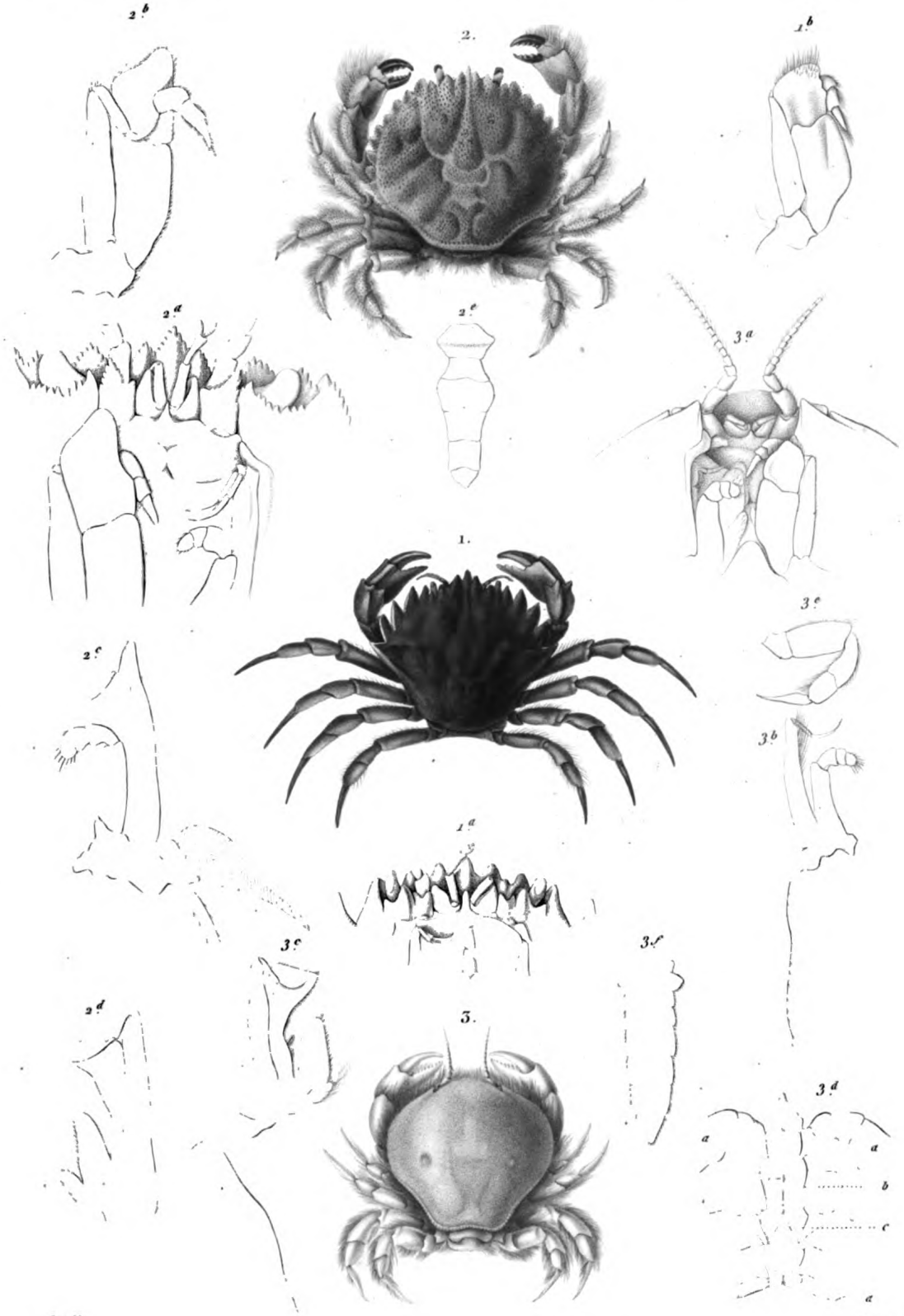
Fig. 3 d. Plastron sternal grossi.

a. Base des pattes antérieures. — *a'*. Base des pattes postérieures. — *b.* Plastron sternal. — *c.* Vulves.

Fig. 3 e. Patte de la troisième paire.

Fig. 3 f. Abdomen de la femelle.

(*D'après nature.*)



E. et V.

Forget sc.

1 *PIRIMÈLE DENTICULÉE.* (*Pirimela denticulata*)

2 *ATÉLÉCYCLE ENSANGLANTÉ* (*Ateleyclus cruentatus*)

3. *THIA POLIE.* (*Thia polita* .)

DÉCAPODES BRACHYURES.

ARQUÉS.

GENRE MURSIE. *Mursia*. Leach.

Fig. 1. MURSIE A CRÊTES. *Mursica cristata*. Latr. Réduit d'un tiers.

Fig. 1 a. Portion antérieure du corps, vue en dessous.

a. Extrémité des canaux efférens de l'appareil respiratoire occupant le sommet du cadre buccal. — b. Pattes-mâchoires de la 1^{re} paire. — c. Pattes-mâchoires externes

GENRE HÉPATE. *Hepatus*. Latr.

Fig. 2. HÉPATE FASCIÉ. *Hepatus fasciatus*. Latr. Réduit de moitié.

Fig. 2 a. Corps du même, vu de face.

Fig. 2 b. Antenne externe.

Fig. 2 c. Antenne interne.

Fig. 2 d. Mâchoire de la première paire.

a. Lame interne. — b. Appendice palpiforme. — c. Pinceaux de soies.

Fig. 2 e. Mâchoire de la deuxième paire.

a. Lame interne. — b. Lame valvulaire formée par l'analogue de l'appendice palpiforme.

Fig. 2 f. Patte-mâchoire de la première paire.

a. Branche interne. — a' Lame terminale de la branche interne servant à compléter le canal efférent de l'appareil respiratoire. — b. Palpe. — c. Fouet.

Fig. 2 g. Patte-mâchoire de la deuxième paire.

a. Branche interne. — b. Palpe. — c. Fouet. — d. Braachie.

Fig. 2 h. Patte-mâchoire externe.

a. Portion operculaire de la branche interne. — b. Portion palpiforme de cette branche. — c. Palpe. — d. Fouet. — e. Braachie rudimentaire.

Fig. 2 i. La même, vue par sa face interne.

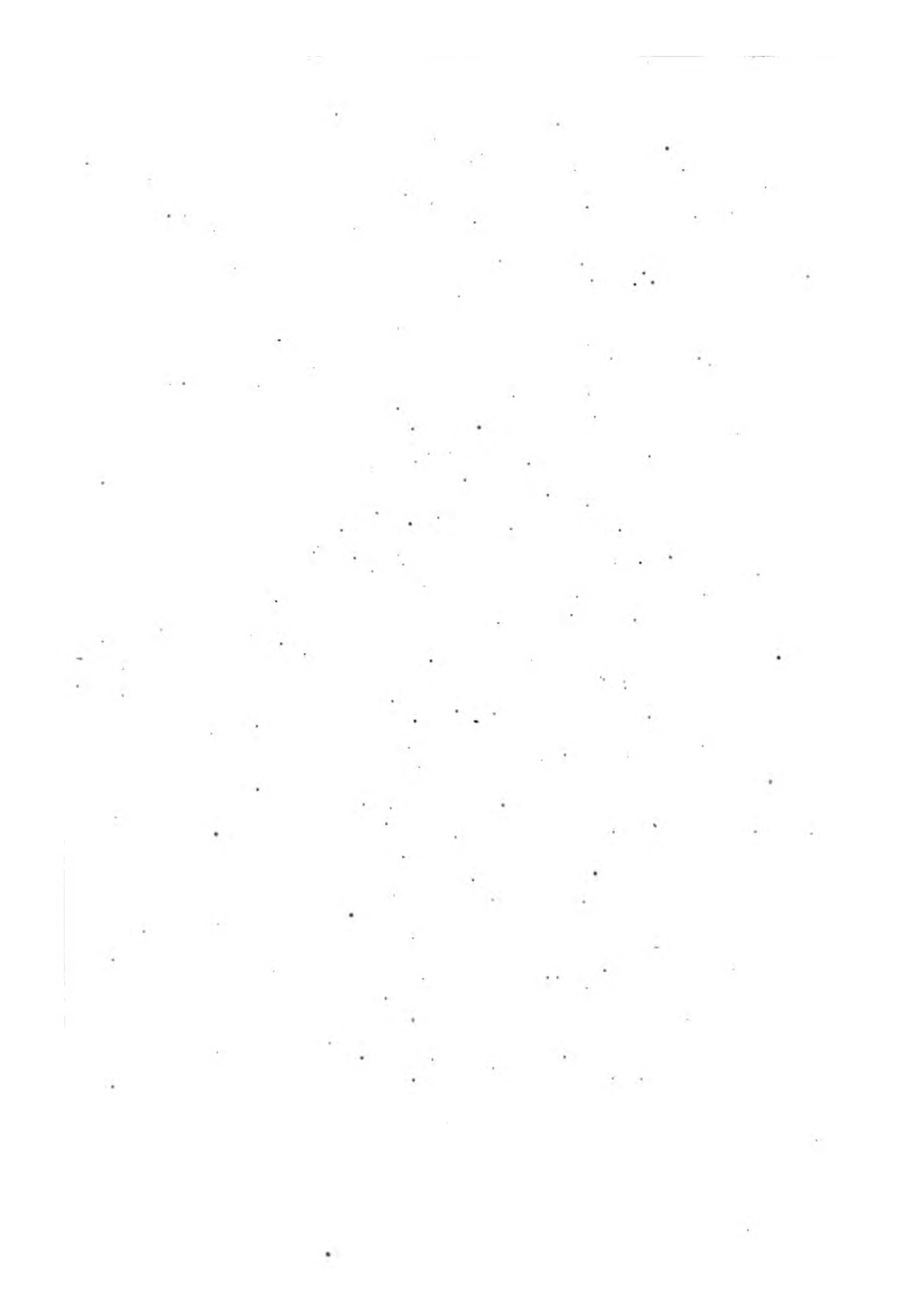
a. Branche interne. — b. Palpe.

(D'après nature.)



1. MURSIE À CRETES. (*Mursia cristata* Latr.)

2. HÉPATE FASCIE. (*Hepatus fasciatus* Latr.)





DÉCAPODES BRACHYURES.

QUADRILATÈRES.

GENRE ERIPHIE. *Eriphia*. Latreille.

Fig. 1. ERIPHIE FRONT-ÉPINEUX. *Eriphia spinifrons*. Latr. Réduit d'un tiers.

Fig. 1 a. Région antennaire. (Grossie.)

Fig. 1 b. Patte-mâchoire externe.

GENRE TRAPÉSIE. *Trapezia*. Latreille.

Fig. 2. TRAPÉSIE FRONT-DENTÉ. *Trapezia dentifrons*. Latr. (De grandeur naturelle.)

Fig. 2 a. Région antennaire. (Grossie.)

Fig. 2 b. Patte-mâchoire externe.

GENRE PILUMNE. *Pilumnus*.

Fig. 3. PILUMNE CHAUVE-SOURIS. *Pilumnus vesperilio*. De grandeur naturelle et dépouillé de ses poils du côté gauche pour montrer la disposition du test.

Fig. 3 a. Région antennaire.

Fig. 3 b. Patte-mâchoire externe.

Fig. 4. PILUMNE CUPULIFÈRE. *Pilumnus cupulifera*. Latr. *Polydectus cupulifera*. Edw. *Hist. nat. des Crust.*, tom. 2, p. 146.

Fig. 4 a. Région antennaire.

Fig. 4 b. Patte mâchoire externe.

Dans la méthode de M. Edwards, le genre *Polydectus*, dont ce crustacé est le type, prend place dans la famille des Oxystomes, et est intermédiaire aux Corystes et aux Thies.

(D'après nature.)

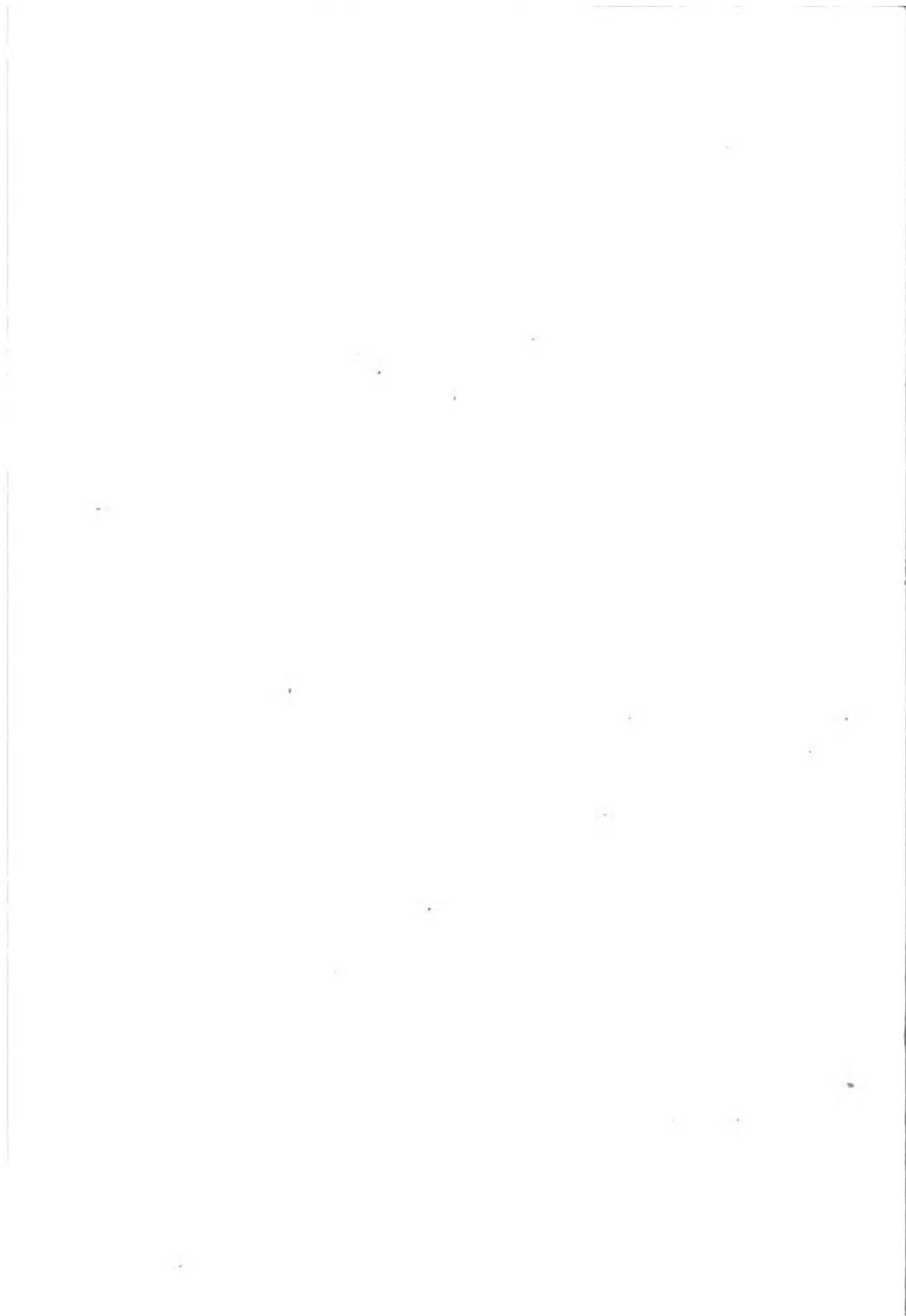


E.

Forget sc.

1. ERIPHIE FRONT-ÉPINEUX. (Eriphia spinifrons)
 2. TRAPEZIE FRONT-DENTÉ. (Trapezia dentifrons.)
 3. PILUMNE CHAUVÉ-SOURIS. (Pilumnus vespertilio.)
 4. ———— CUPULIFÈRE. (———— cupulifera.)

N. Léonard imp.



DÉCAPODES BRACHYURES.

QUADRILATÈRES.

GENRE THELPHUSE. *Thelphusa*. Latr.

Fig. 1. THELPHUSE FLUVIATILE. *Thelphusa fluviatilis*. Réduit d'un quart.

Fig. 1 a. Région antennaire, grossie.

Fig. 1 b. Patte-mâchoire externe.

Fig. 1 c. Portion terminale de l'antenne interne.

Fig. 1 d. Antenne de la deuxième paire.

S.-GENRE TRICHODACTYLE. *Trichodactylus*. Latr.

Fig. 2. TRICHODACTYLE CARRÉ. *Trichodactylus quadratus*. Latr. De grandeur naturelle.

Fig. 2 a. Région antennaire.

Fig. 2 b. Patte-mâchoire externe.

Fig. 2 c. Tarse.

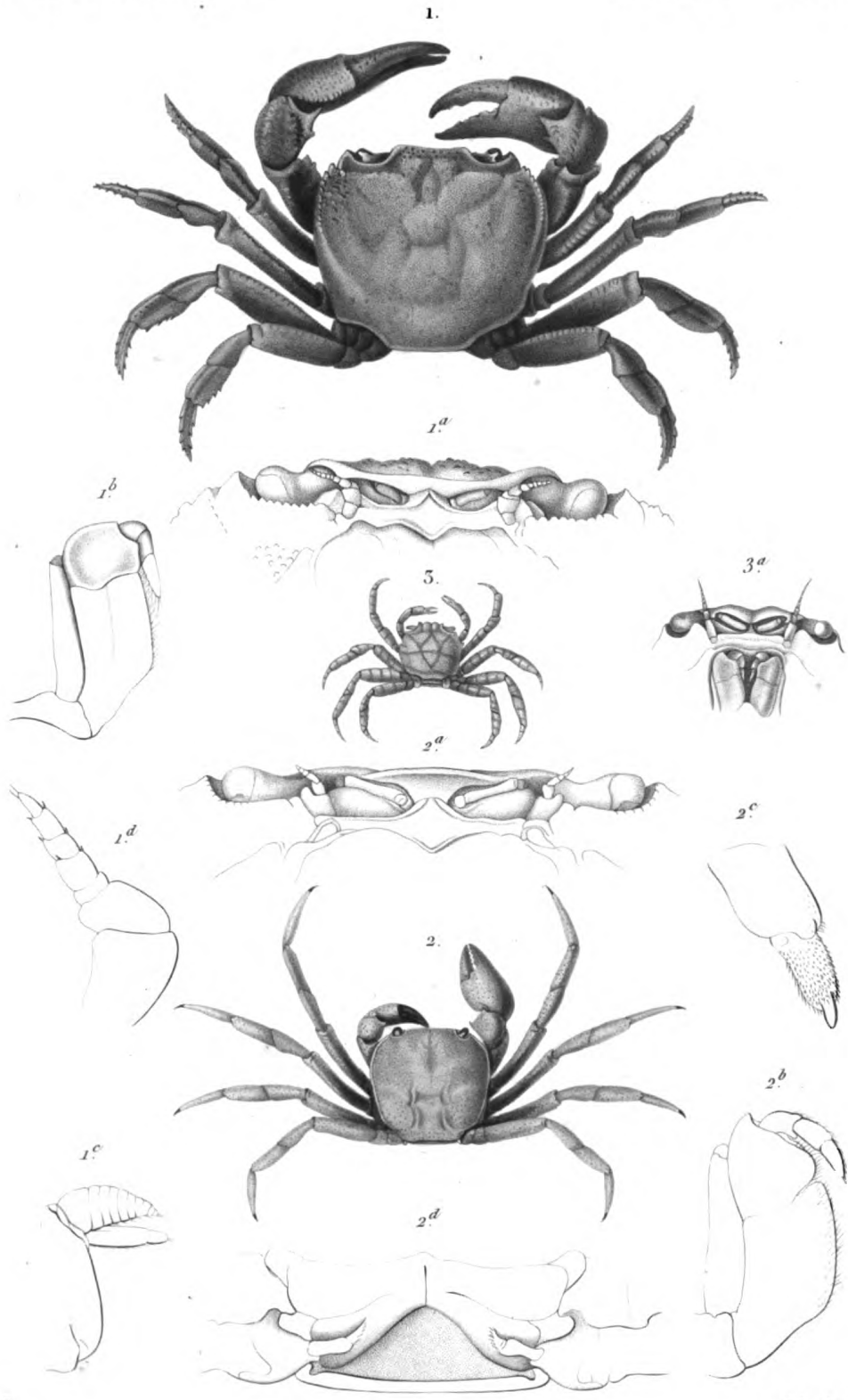
Fig. 2 d. Portion du plastron sternal et de l'abdomen, pour montrer la disposition des verges qui naissent de l'article basilaire des pattes postérieures.

S.-GENRE MÉLIE. *Melia*. Latr.

Fig. 3. MÉLIE DAMIER. *Melia tessellata*. Latr. De grandeur naturelle.

Fig. 3 a. Portion antérieure du corps, vue en dessous.

(D'après nature.)



E.

Schmelz ac

- 1. **THELPHUSE FLUVIATILE** (*Thelphusa fluviatilis*)
- 2. **TRICHODACTYLE CARRÉ** (*Trichodactylus quadratus*)
- 3. **MELIE DAMIER** (*Melia tessellata*)

DÉCAPODES BRACHYURES.

QUADRILATÈRES.

GENRE GONOPLACE. *Gonoplax*. Leach.

Fig. 1. GONOPLACE RHOMBOÏDE. Gonoplax rhomboïdes. Leach. Réduit d'un tiers.

Fig. 1 a. Portion antérieure de la carapace, vue de face pour montrer la forme des fossettes antennaires, la position des antennes externes et la disposition des orbites.

Fig. 1 b. Antenne extérieure grossie davantage.

a Front. — *b.* Fossette antennaire. — *c.* Épistome. — *d.* Base du pédoncule oculaire. — *e.* Tubercule auditif.

Fig. 1 c. Patte mâchoire externe.

Fig. 1 d. Tarse de l'un des pieds ambulateur.

Fig. 1 e. Main des pattes antérieures.

GENRE MACROPHTHALME. *Macrophthalmus*. Latreille.

Fig. 2. MACROPHTHALME TRANSVERSAL. Macrophthalmus transversus. Latr. De grandeur naturelle.

Fig. 2 a. Le corps du même vu par devant.

Fig. 2 b. Antenne externe en place.

a. Front. — *b.* Épistome. — *c.* Fossette antennaire. — *d.* Base du pédoncule oculaire. — *e.* Orbite. — *f.* Base de l'antenne externe.

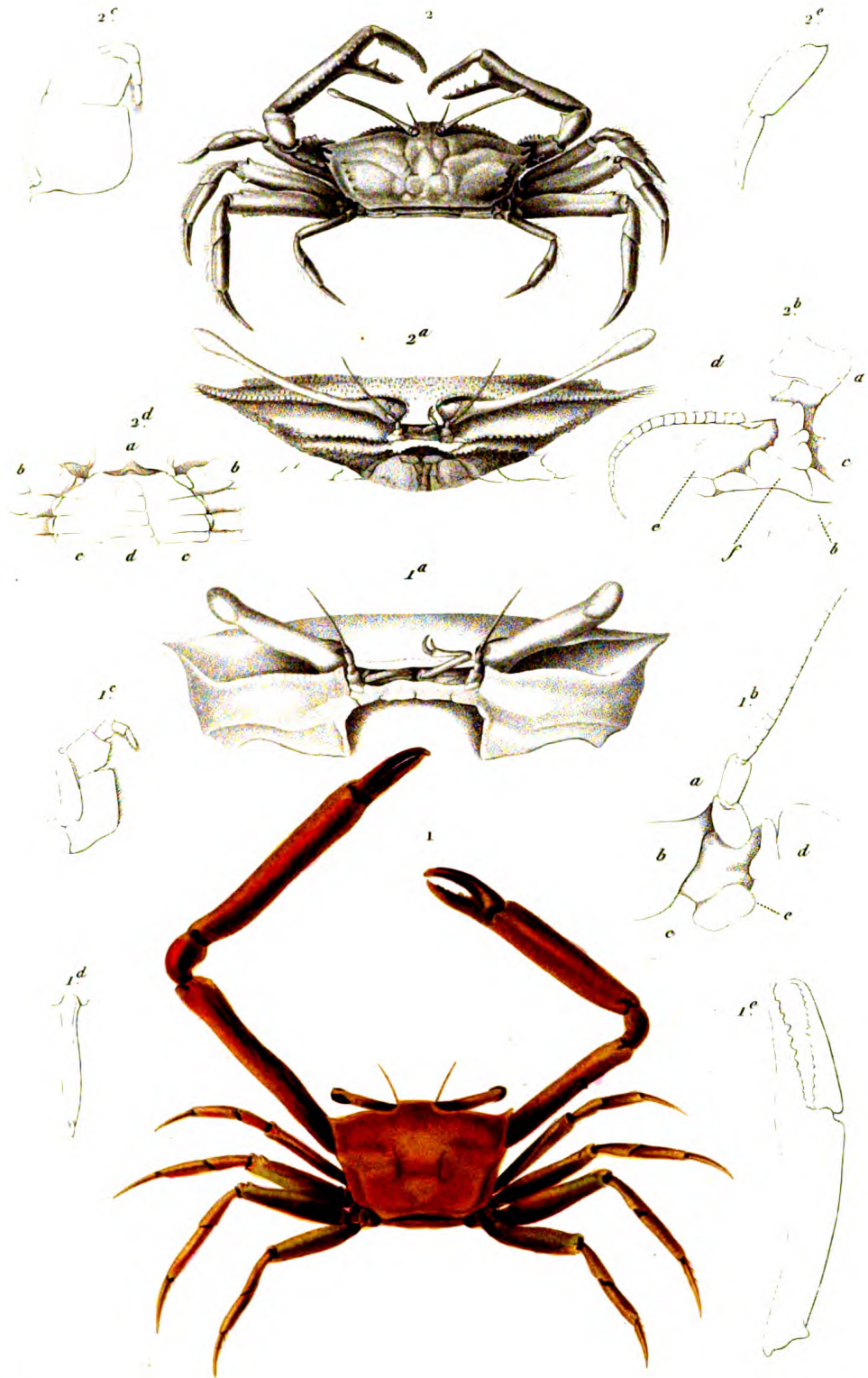
Fig. 2 c. Patte mâchoire externe.

Fig. 2 d. Plastron sternal et abdomen.

a. Base des pattes mâchoires externes. — *b.* Base des pattes. — *c, c.* Plastron sternal. — *d.* Abdomen.

Fig. 2 e. Extrémité de l'une des pattes postérieures.

(D'après nature.)

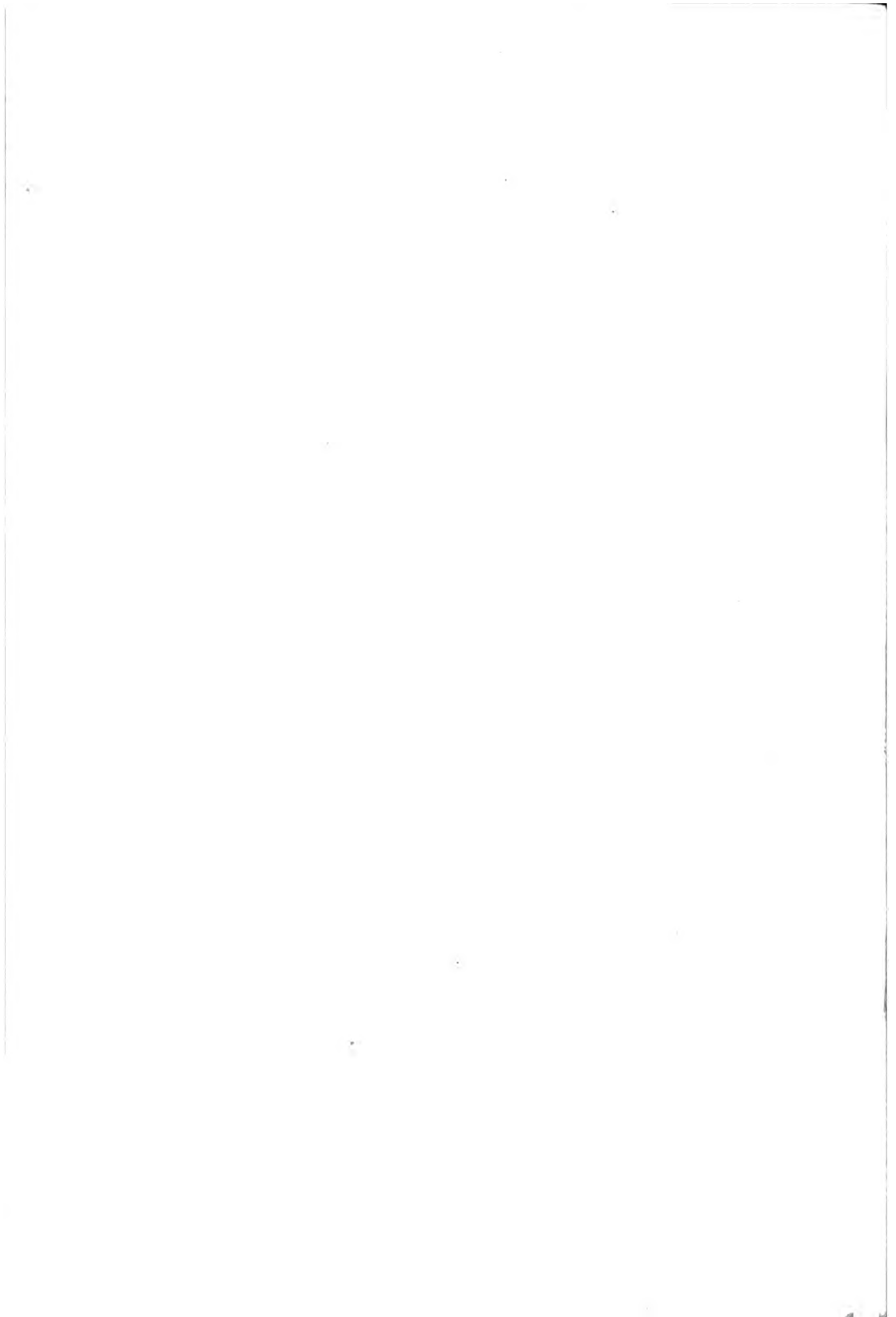


E.

Visto sc

1. *GONOPLAX RHOMBOIDE* (Gonoplax rhomboides.)
 2. *MACROPHTHALME TRANSVERSAL* (Macrophthalmus transversus)

N. Remond imp.



DÉCAPODES BRACHYURES.

QUADRILATÈRES.

GENRE OCYPODE. *Ocypode*. Fabricius.

Fig. 1. OCYPODE CÉRATOPHTHALME. *Ocypode cerathophthalmus*. Fabricius.
De grandeur naturelle.

Fig. 1 a. Corps vu de face pour montrer la disposition du front, des antennes et des yeux.

Fig. 1 b. Antenne interne grossie.

Fig. 1 c. Tige mobile de l'antenne interne grossie davantage.

Fig. 1 d. Antenne externe grossie.

Fig. 1 e. Mâchoire de la première paire.

Fig. 1 f. Mâchoire de la deuxième paire.

Fig. 1 g. Patte-mâchoire interne.

Fig. 1 h. Patte-mâchoire de la deuxième paire.

Fig. 1 i. Patte-mâchoire externe, moins grossie que les figures précédentes.

Fig. 1 j. Plastron sternal pour montrer la position des ouvertures génératrices du mâle qui, au lieu d'être placées comme d'ordinaire dans l'article basilaire des pattes postérieures, sont placées sur le plastron, caractère qui se retrouve dans la plupart des Brachyures quadrilatères.

a. Sternum. — *b.* l'une de ces ouvertures mise à découvert. — *c.* L'autre ouverture garnie d'un petit prolongement corné. — *d.* Base des pattes de la 4^e paire. — *e.* Brosse qui se trouve entre la base des pattes de la 3^e et de la 4^e paire et qui est destinée à faciliter le frottement entre ces organes. — *i.* Sillon qui loge l'abdomen.

Fig. 1 k. Thorax vu en dessus.

a. Voûte des flancs. — *b.* Ouvertures branchiales. — *c.* Branchies. — *d.* Fouet de la patte, mâchoire antérieure. — *e.* Fouet de la patte-mâchoire externe. — *f.* Fouet de la seconde patte-mâchoire. — *g.* Appendice valvulaire de la seconde mâchoire. — *h.* Portion de la voûte du canal afférent de l'appareil respiratoire. — *i.* Appendices de la bouche. — *j.* Glande qui recouvre la partie postérieure de la voûte des flancs. — *k.* Abdomen.

Fig. 1 l. Abdomen du mâle.

Fig. 1 m. Appendices abdominaux de la première paire chez le mâle.

Fig. 1 n. Extrémité de cet appendice grossi et vu en dedans.

(Toutes ces figures sont dessinées d'après nature.)

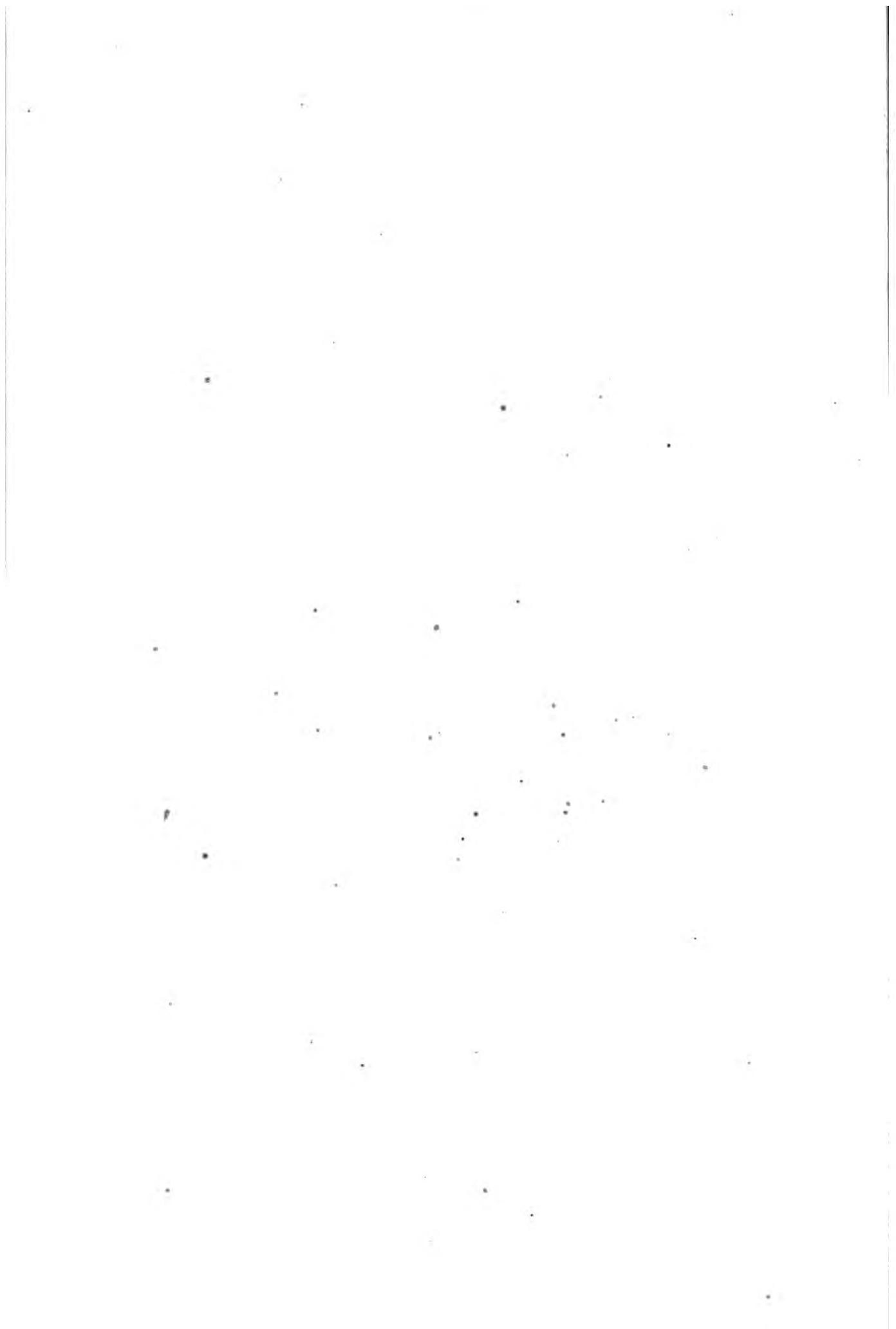


Vaillant del.

Lehrman sc.

OCYROPSIS CERATOPHTHALMA. (Ocyropsis ceratophthalma)

N. Bosc. and cap.





DÉCAPODES BRACHYURES.

QUADRILATÈRES.

GENRE GÉLASIME. *Gelasimus*. Latreille.

Fig. 1. GÉLASIME APPELANT. *Gelasimus vocans*. Latreille. De grandeur naturelle.

Fig. 1 a. La région frontale et l'un des yeux du Gélasime platydactyle, montrant le prolongement styliforme qui, chez ces animaux de même que chez les Ocy-podes, termine quelquefois le pédoncule oculaire.

Fig. 1 b. Région antennaire du Gélasime appelant.

a. Front. — *b.* Épistome. — *c.* Antenne de la première paire. — *d.* Antenne externe. — *e.* Base du pédoncule oculaire.

Fig. 1 c. Patte-mâchoire de la première paire.

Fig. 1 d. Patte-mâchoire externe.

Fig. 1 e. Plastron sternal du mâle.

Fig. 1 f. Abdomen du mâle.

Fig. 1 g. Abdomen de la femelle.

GENRE MICTYRE. *Mictyres*. Latreille.

Fig. 2. MICTYRE LONGICARPE. *Mictyres longicarpis*. Latreille. De grandeur naturelle.

Fig. 2 a. Corps du même vu de face.

Fig. 2 b. Le même vu de profil.

a. Base des pattes. — *b.* Patte antérieure du côté opposé repleyé contre la bouche. — *c.* Patte-mâchoire externe.

Fig. 2 c. Antenne interne grossie.

Fig. 2 d. Tige mobile de cette antenne grossie davantage.

Fig. 2 e. Antenne externe.

Fig. 2 f. Mandibule.

Fig. 2 g. Mâchoire de la première paire.

Fig. 2 h. Mâchoire de la seconde paire.

Fig. 2 i. Patte-mâchoire de la première paire.

Fig. 2 j. Patte-mâchoire de la seconde paire.

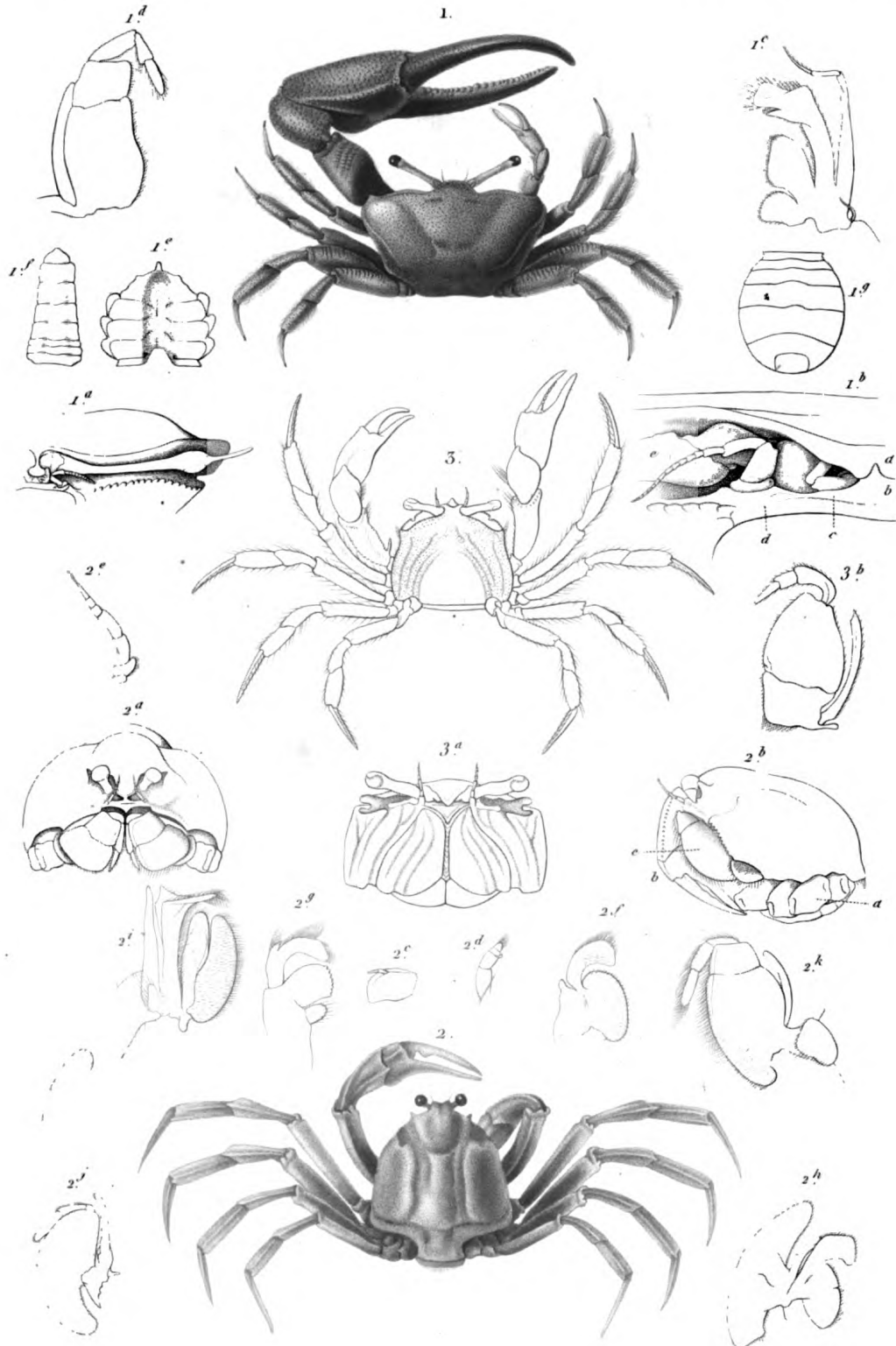
Fig. 2 k. Patte-mâchoire externe.

Fig. 3. MICTYRE SILLONNÉE. *Mictyres sulcatus*. Latreille. *Doto sulcatus*. Dehaan, Edwards. — Croquis d'après une figure grossie donnée par M. Savigny, dans le grand ouvrage sur l'Égypte. (Crust., pl. 4, fig. 4).

Fig. 3 a. Le même vu de face.

Fig. 3 b. Patte-mâchoire externe.

(Toutes ces figures, excepté les n^{os} 3, 3 a et 3 b, sont faites d'après nature).



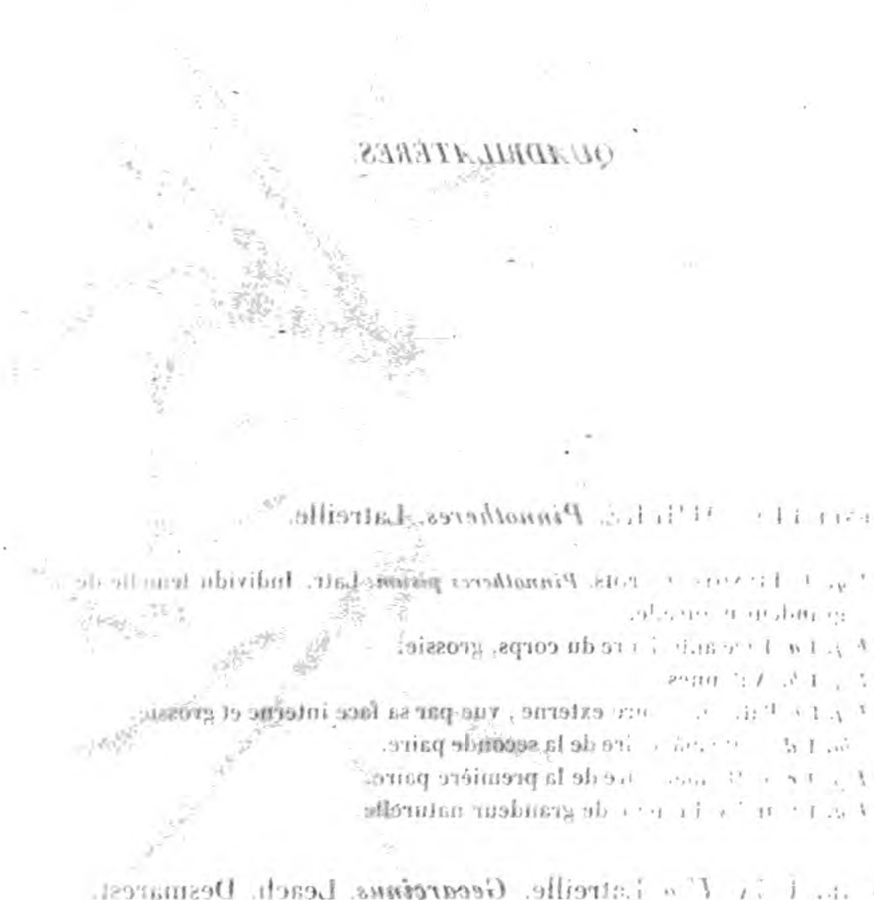
Sébin sc.

E.

1. GÉLASIME APPELANT. (*Gelasimus vocans.*)
 2. MYCTIRE LONGICARPE. (*Myctiris longicarpis*)
 3. ——— SILLONNÉE. (——— *sulcatus.*)

QUADRILATÈRES

QUADRILATÈRES



1. Les points A, B, C, D, E, F, G, H, I, J, K, L, M, N, O, P, Q, R, S, T, U, V, W, X, Y, Z, 1, 2, 3, 4, 5, 6, 7, 8, 9, 10, 11, 12, 13, 14, 15, 16, 17, 18, 19, 20, 21, 22, 23, 24, 25, 26, 27, 28, 29, 30, 31, 32, 33, 34, 35, 36, 37, 38, 39, 40, 41, 42, 43, 44, 45, 46, 47, 48, 49, 50, 51, 52, 53, 54, 55, 56, 57, 58, 59, 60, 61, 62, 63, 64, 65, 66, 67, 68, 69, 70, 71, 72, 73, 74, 75, 76, 77, 78, 79, 80, 81, 82, 83, 84, 85, 86, 87, 88, 89, 90, 91, 92, 93, 94, 95, 96, 97, 98, 99, 100

DÉCAPODES BRACHYURES.

QUADRILATÈRES.

GENRE PINNOTHÈRE. *Pinnotheres*. Latreille.

Fig. 1. PINNOTHÈRE POIS. *Pinnotheres pisum*. Latr. Individu femelle de grandeur naturelle.

Fig. 1 a. Face antérieure du corps, grossie.

Fig. 1 b. Antennes.

Fig. 1 c. Patte mâchoire externe, vue par sa face interne et grossie.

Fig. 1 d. Patte mâchoire de la seconde paire.

Fig. 1 e. Patte mâchoire de la première paire.

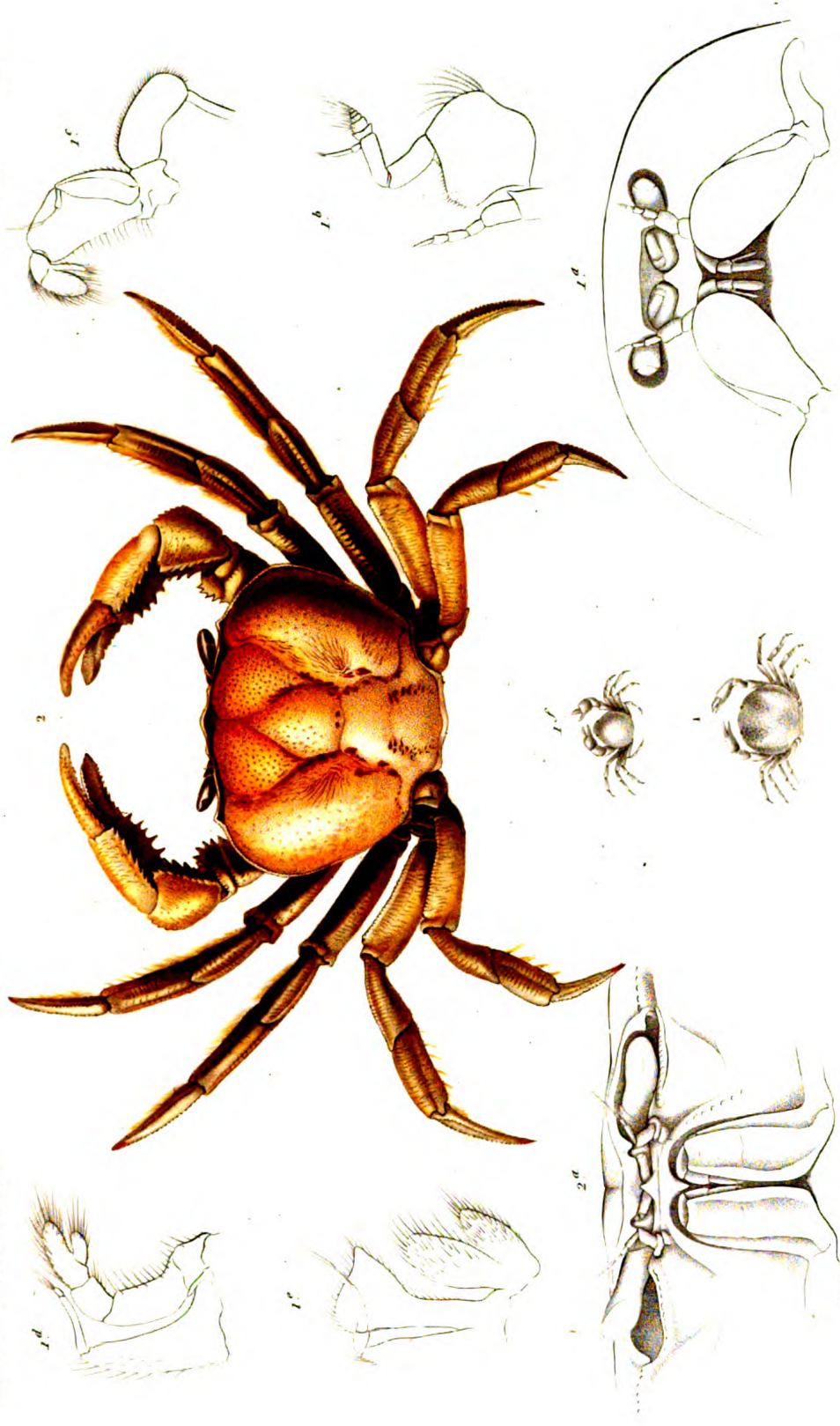
Fig. 1 f. Individu mâle de grandeur naturelle.

GENRE UCA. *Uca*. Latreille. *Gecarcinus*. Leach. Desmarest.

Fig. 2. UCA UNE. *Uca una*. Latr. Réduit d'un tiers.

Fig. 2 a. Face antérieure du corps.

(D'après nature.)



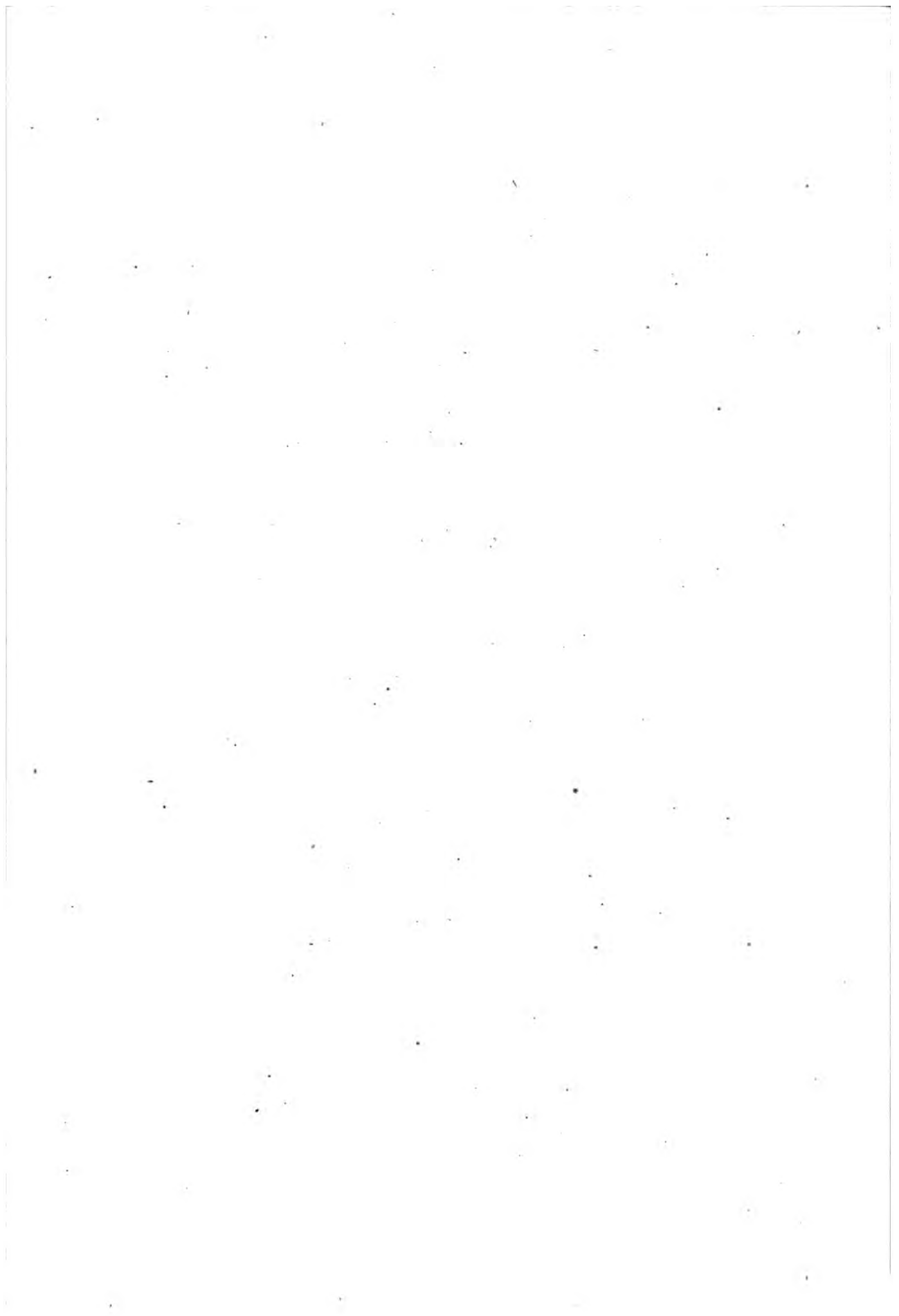
E et V

1 PINNOTHERE POIS (Pinnotheres pois)

2 UCA UNA (Uca una)

Fonges ac.

N. Remond imp.



DÉCAPODES BRACHYURES.

QUADRILATÈRES.

GENRE CARDISOME. *Cardisoma*. Latreille.

Fig. 1. CARDISOME GUANHUMI. *Cardisoma Guanhumii*. Latr. Réduit de moitié, d'après un individu mâle.

Fig. 1 a. Corps du même, vu de face, pour montrer la disposition du front, des antennes, des orbites, etc.

Fig. 1 b. Antenne de la première paire.

Fig. 1 c. Antenne de la seconde paire.

Fig. 1 d. Mandibule, vue en dessus.

Fig. 1 e. Mâchoire de la première paire.

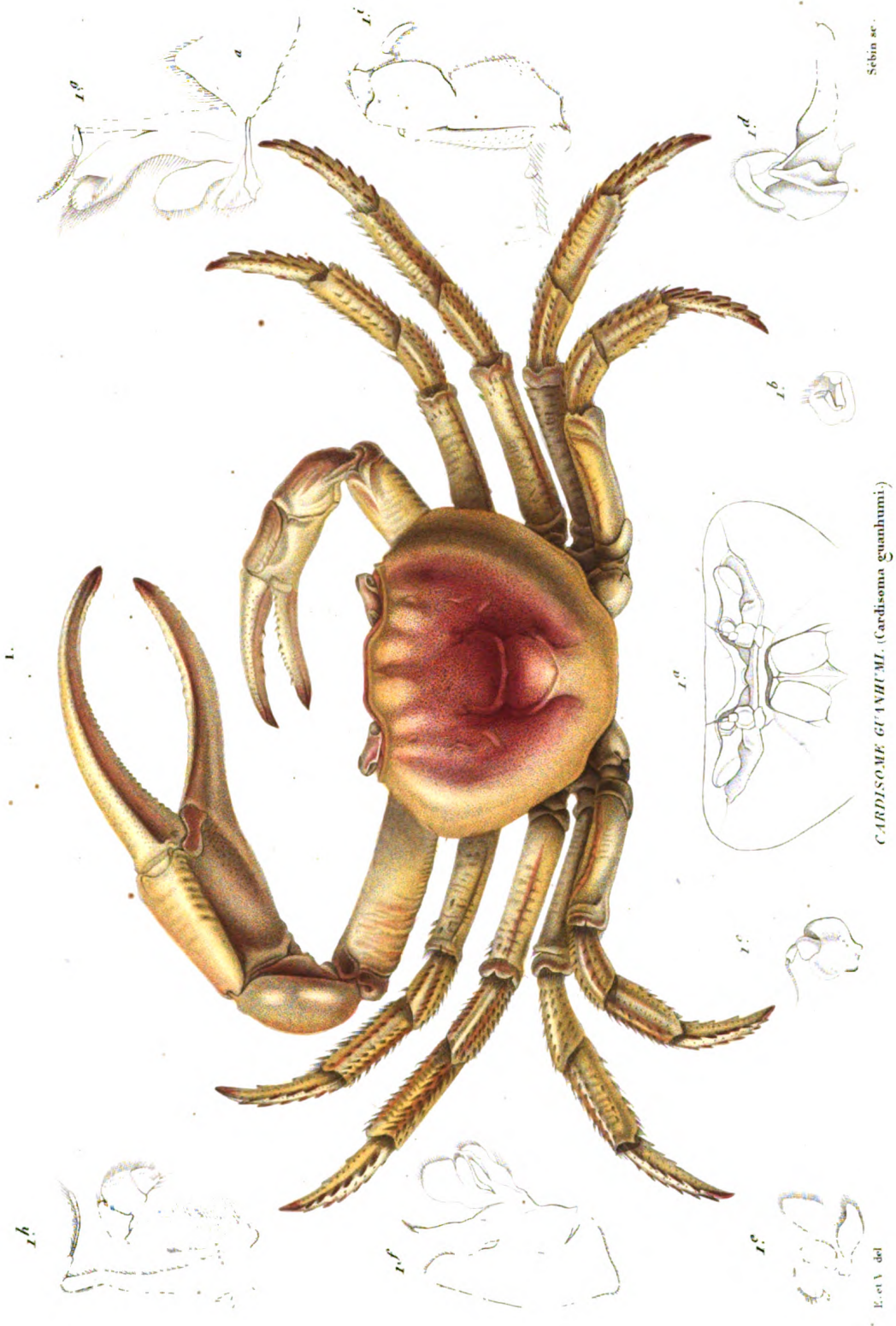
Fig. 1 f. Mâchoire de la seconde paire.

Fig. 1 g. Patte-mâchoire de la première paire dont le fouet (a) a été en partie coupé.

Fig. 1 h. Patte-mâchoire de la seconde paire.

Fig. 1 i. Patte-mâchoire externe.

(D'après nature.)



CARDISOMA GUANHUMI. (Cardisoma guanhumi.)

N. de Meunier imp.

DÉCAPODES BRACHYURES

QUADRILATÈRES.

GENRE GÉCARCIN. *Gecarcinus*. Leach.

Fig. 1. GÉCARCIN RURICOLE. Gecarcinus ruricola. Latr. Réduit d'un tiers.

Fig. 1 a. Le corps du même, vu de face pour montrer l'épaisseur et la forme arrondie de la carapace, le front (*a*); les orbites (*b*), et le haut des pattes-mâchoires externes (*c*).

Fig. 1 b. Portion antérieure du corps, vue en dessous.

a. Sternum. — *b.* Région ptérygostomienne de la carapace. — *c.* Patte-mâchoire externe du côté gauche. — *d.* Patte-mâchoire de la seconde paire. — *e.* Epistome. — *f.* Front. — *g.* Orbites.

Fig. 1 c. Région antennaire grossie.

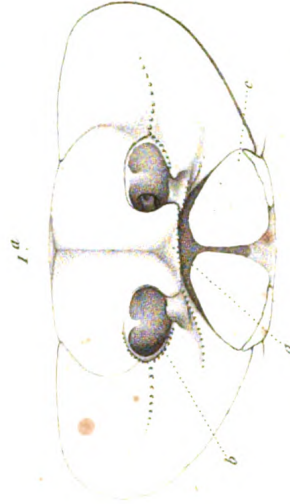
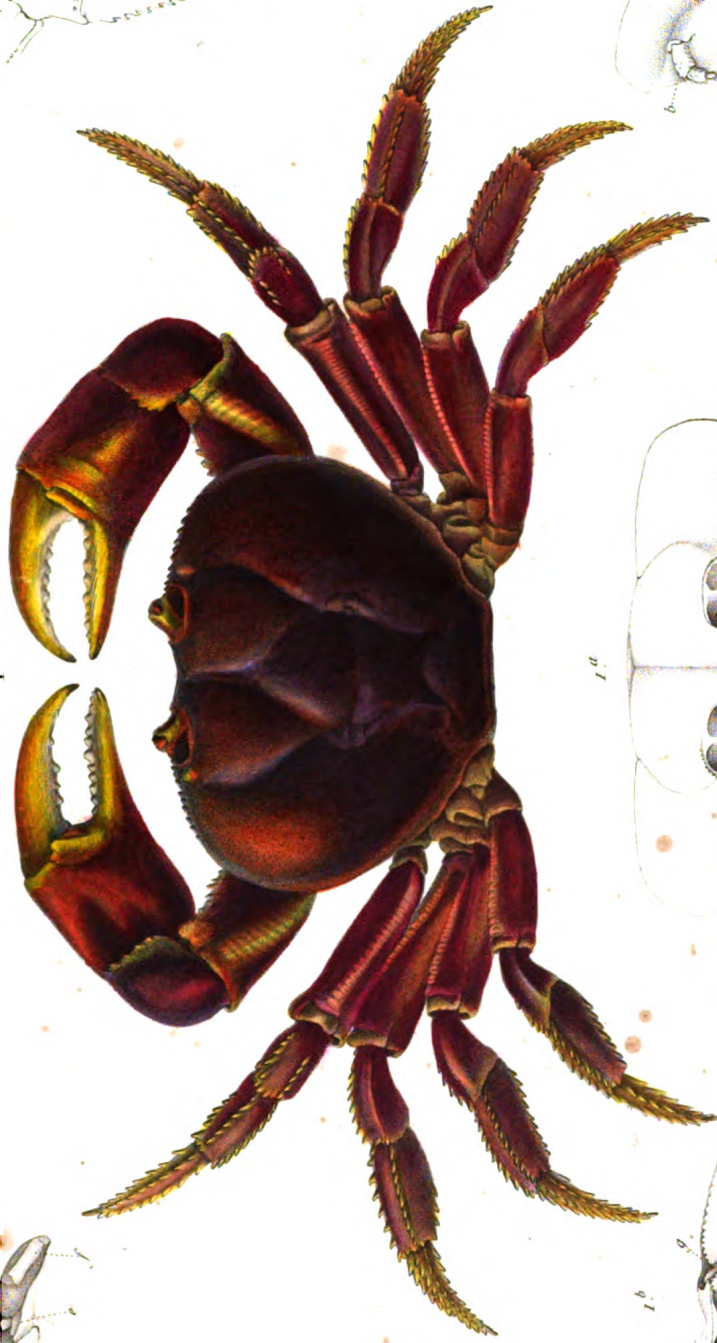
a. Front. — *b.* Orbite. — *c.* Bord inférieur de l'orbite. — *d.* Tubercule auditif. — *e.* Antenne externe. — *f.* Antenne interne.

Fig. 1 d. Patte-mâchoire externe, vue par sa face supérieure.

a. Second article. — *b.* Portion terminale cachée sous le troisième article. — *c.* Palpe.

Fig. 1 e. Extrémité de l'une des pattes ambulatoires.

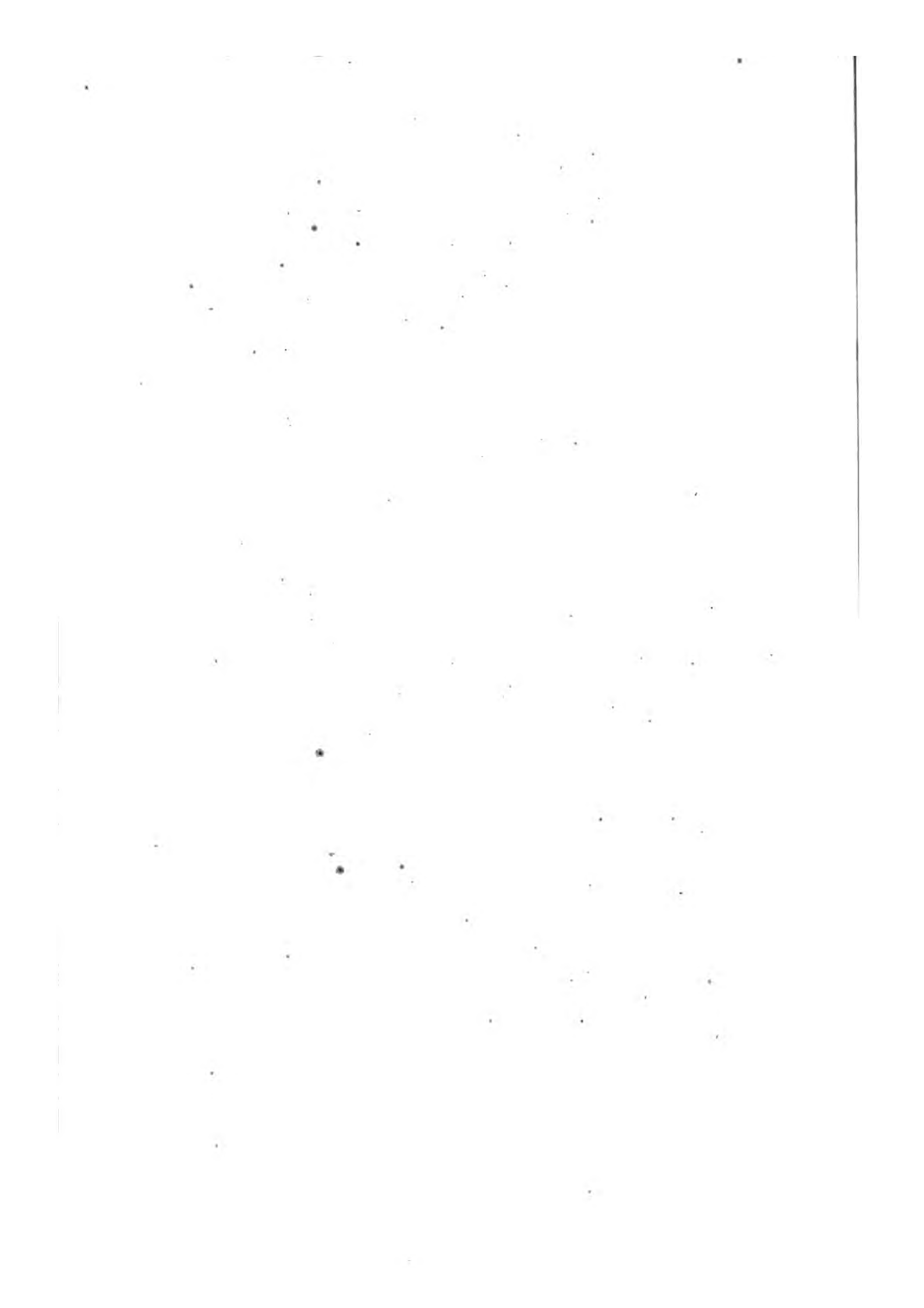
(*D'après nature*).



GECARCINUS RUFICOLLE. (*Gecarcinus ruficollis*)

A. DeKay, del. imp.

Forster sc.



DÉCAPODES. BRACHYURES.

QUADRILATÈRES.

GENRE GRAPSE. *Grapsus*. Lamarck.**Fig. 1. GRAPSE PEINT. *Grapsus pictus*. Lam.**

Réduit aux deux-tiers de la grandeur naturelle. Cette espèce, nommée *Cancer grapsus* par Linné et Fabricius, doit être considérée comme le type du genre Grapse, quelles que soient les réformes que l'on pourra juger nécessaire d'introduire dans les limites de ce groupe.

Fig. 1 a. Le front.

f. Vu de face pour montrer la manière dont il se replie jusque sur l'épistome (*e*).
—*a.* base de l'antenne externe. — *d.* dent de l'extrémité interne du bord inférieur de l'orbite.

Fig. 1 b. Face inférieure de la portion antérieure du corps pour montrer la disposition des pattes-mâchoires externes, de l'épistome et des antennes.**Fig. 1 c. Antenne interne grossie.****Fig. 1 d. Antenne externe grossie.****Fig. 1 e. Mandibule grossie.****Fig. 1 f. Mâchoire de la première paire.****Fig. 1 g. Mâchoire de la seconde paire.****Fig. 1 h. Patte-mâchoire de la première paire.**

a. Lamelle externe de la tige. — *p.* Palpe. — Le fouet est en partie coupé.

Fig. 1 i. Patte-mâchoire de la seconde paire.

p. Palpe. — *f.* Fouet. A sa base on voit une portion du fouet, ainsi que la branchie qui y adhère et qui est placée transversalement sous les branchies thoraciques.

Fig. 1 j. Patte-mâchoire externe.

p. Palpe. — *f.* Fouet. — *b.* Branchie rudimentaire.

Fig. 1 k. Thorax vu en dessus.

Du côté droit les branchies sont en place.

Fig. 1 l. Plastron sternal du mâle pour montrer la position des orifices de la génération (*g*) qui, au lieu d'être placés sur l'article basilaire des pattes postérieures comme d'ordinaire, sont creusés dans le plastron.

m. Appendices abdominaux de la première paire chez le mâle.

Fig. 1 n. L'un des appendices abdominaux de la seconde paire du même.

(Toutes ces figures sont d'après nature.)



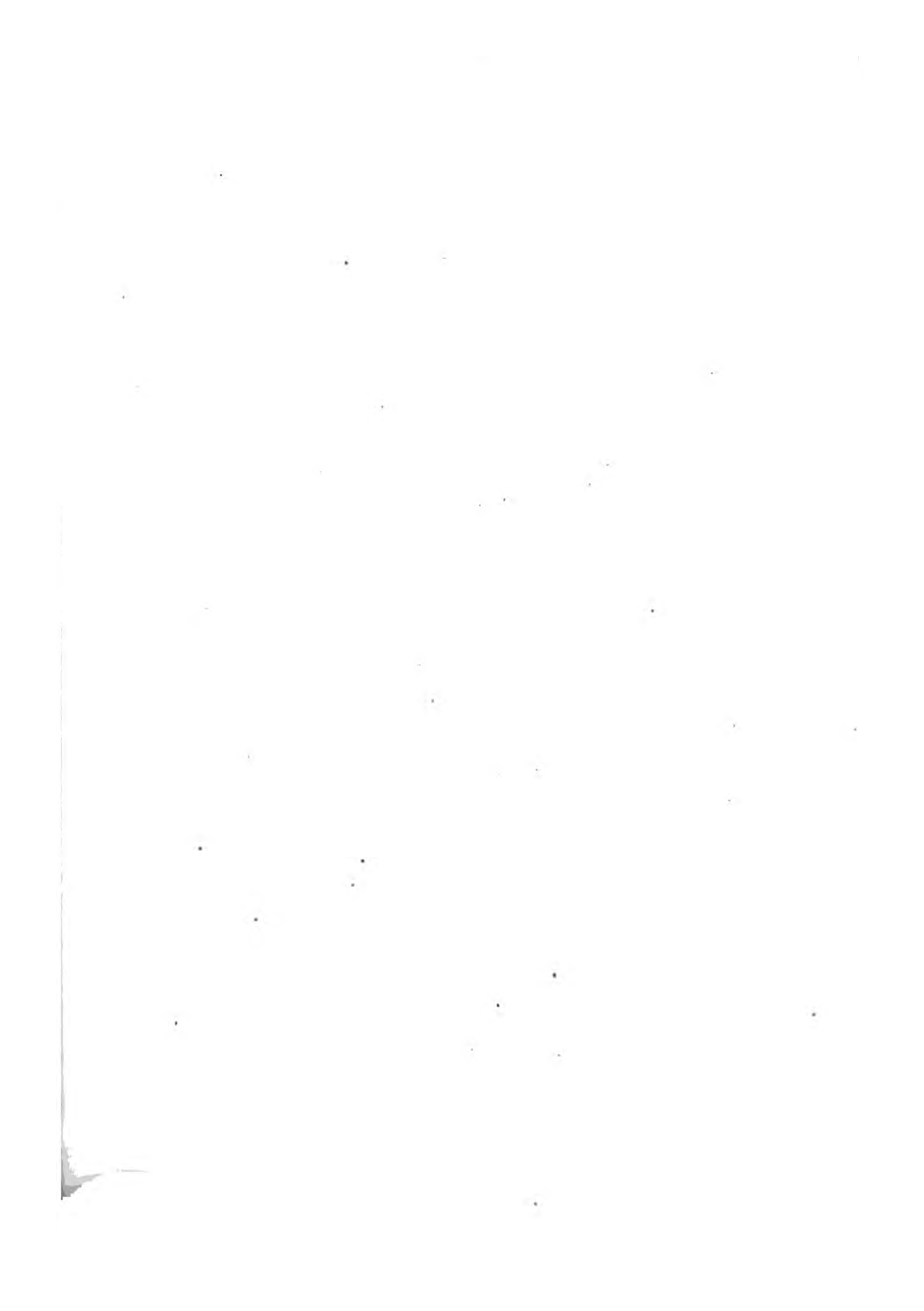
Vauquart del.

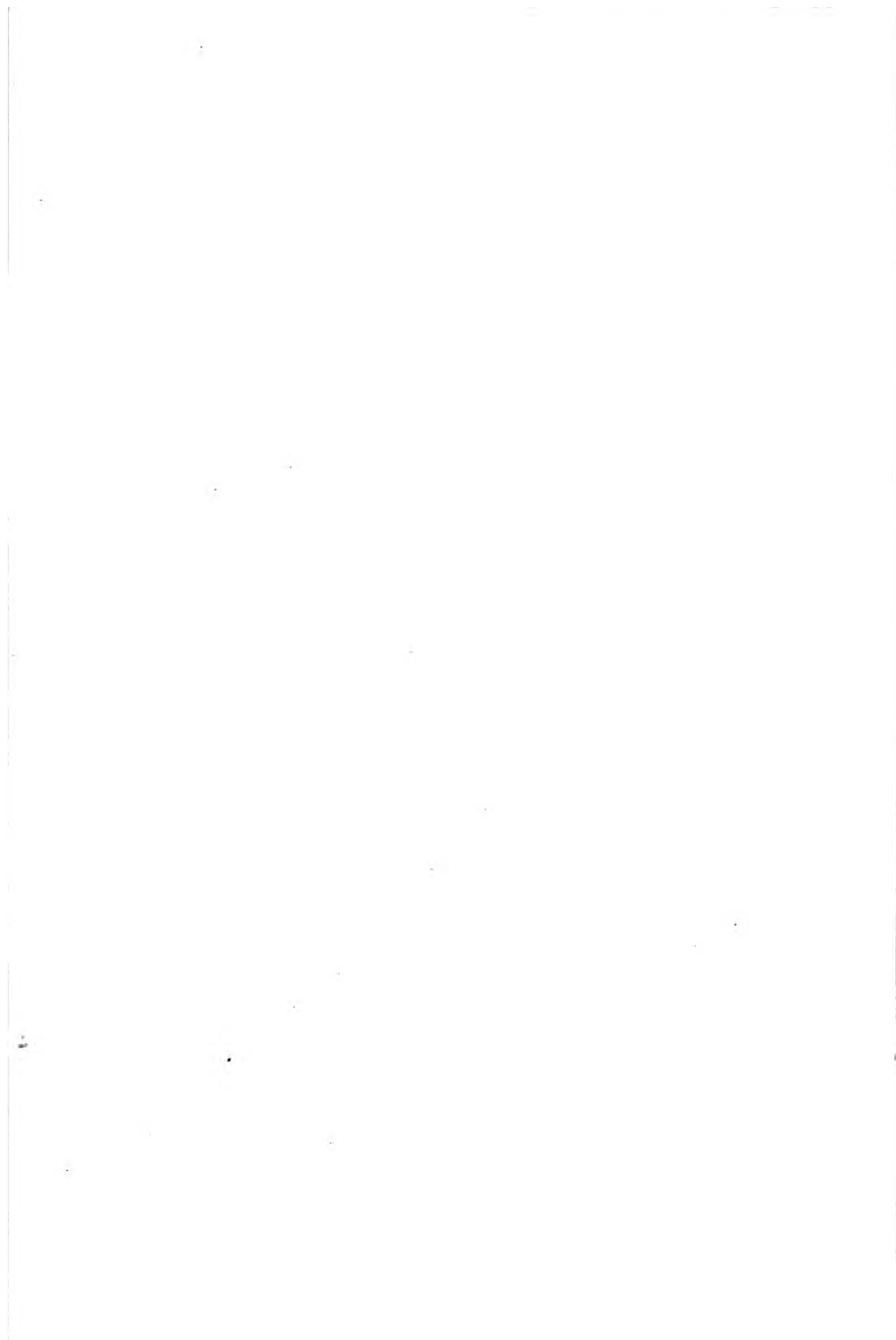
Ferrière sc.

GRAPSE PÉANT

(*Grapsus pictus*, Latr.)

Pl. 22, fig. 1





DÉCAPODES BRACHYURES.

QUADRILATÈRES.

GENRE PLAGUSIE. *Plagusia*. Latreille.

Fig. 3. PLAGUSIE CLAVIMANE. *Plagusia clavimana*. Latr. De grandeur naturelle.

Fig. 3 a. Extrémité antérieure du corps, vue en dessous et beaucoup grossie pour montrer le mode d'insertion des antennes, etc.

Fig. 3 b. Portion de la même partie, vue de face pour montrer la fosse antennaire.

a. Le rostre. — *b.* Epistome. — *c.* Article basilaire de l'antenne interne dont la tige mobile a été enlevée. — *d.* Article basilaire de l'antenne externe. — *e.* Oeil.

Fig. 3 c. Patte mâchoire externe grossie.

Fig. 3 d. Sternum et base de l'abdomen du mâle.

a. Appendice abdominal. — *b.* Orifice de la génération, creusée dans le plastron sternal.

ORBICULAIRES.

GENRE CORYSTE. *Corystes*. Latreille.

Fig. 1. CORYSTE DENTÉ. *Corystes dentatus*. Latr. *Cancer personatus*. Herbst. De grandeur naturelle. (Individu mâle.)

Fig. 1 a. Portion antérieure du corps, vue en dessous pour montrer les pattes mâchoires externes, la position des antennes externes, etc.

Fig. 1 b. Plastron sternal grossi.

Fig. 1 c. Abdomen du mâle grossi.

Fig. 3. CORYSTE OCELLAIRE. *Corystes ocellatus*. Latr. *Nautilocorystes ocellatus*. Milne Edwards.

Cette espèce, rangée par Latreille, dans le genre *Coryste*, en a été séparé par nous et constitue le type du genre *NAUTILOCORYSTE*, division qui se rapproche des *Corystes* par la forme générale, mais s'en distingue par l'existence de pattes postérieures lamelleuses (natatoires ou fouisseuses), comme celles des *Portuniens*, par la conformation des pattes mâchoires externes, etc. (Voyez notre *Hist. Nat. des Crustacés*, t. 2, p. 149).

Fig. 2 a. Patte mâchoire externe grossie.

Fig. 2 b. Base de l'antenne externe (*b*) et pédoncule oculaire (*a*).

Fig. 2 c. Main.

(D'après nature.)



1 *CORYSTE DENTÉ* (*Corystes dentatus*)

2 *CORYSTE OCELLAIRE* (*Corystes ocellatus*)

3 *PLAGUSIE CLAVIMANE* (*Plagusia clavimana*)

DÉCAPODES BRACHYURES.

ORBICULAIRES.

GENRE LEUCOSIE. *Leucosia*. Fabricius.

S.-GENRE IXA. *Ixa*. Leach.

Fig. 1. IXA CANALICULÉE. *Ixa canaliculata*. Leach. De grandeur naturelle.

Fig. 1 a. La partie antérieure du corps, vue en dessous et grossie pour montrer la conformation de la bouche et des antennes.

a. Article basilaire des pattes-mâchoires externes qui, chez les Leucosiens, ne porte pas d'appendice flabelliforme et ne se prolonge pas entre la base des pattes antérieures et la portion ptérygostomienne de la carapace comme chez les autres Brachyures.—b. Second article de la portion principale des pattes-mâchoires externes.—c. Palpe de ces organes.—d. Terminaison du canal par lequel l'eau nécessaire à la respiration pénètre dans la cavité branchiale au lieu d'y arriver par une ouverture située au devant de la base des pattes antérieures.—e. Antennes externes presque rudimentaires.—f. Antennes internes.

S.-GENRE ARCANIE. *Arcania*. Leach.

Fig. 2. ARCANIE HÉRISSEON. *Arcania erinaccus*. Leach. Un peu grossie.

Fig. 2 a. Portion antérieure de la face inférieure du corps.

a. Extrémité antérieure du plastron sternal.—b. Article basilaire des pattes-mâchoires externes.—c. Second article de ces pattes-mâchoires.—d. Leur palpe.—e. Bord latéral du cadre buccal.—f. Antennes internes qui, au lieu de se reposer en dehors comme dans le genre précédent se reploient obliquement en avant.

S.-GENRE ÉBALIE. *Ebalia*. Leach.

Fig. 3. ÉBALIE DE BRAYER. *Ebalia Brayerii*. Leach. Grossie du double.

Fig. 3 a. Portion antérieure de la face inférieure du corps grossie.

a. L'une des pattes-mâchoires externes en place; celle de l'autre côté a été enlevée pour montrer la disposition du canal afférent de la respiration (c)—b. Terminaison de ce canal et articulation de la patte-mâchoire externe.—d. Patte-mâchoire de la seconde paire.—e. Extrémité antérieure de la patte-mâchoire interne recouvrant le canal efférent de la respiration.—f. Terminaison de ce canal.—g. Antenne externe.—h. Antennes internes.

Fig. 3 b. Région antennaire très grossie.

a. Antenne externe.—b. Antenne interne.—c. OEil.—d. Extrémité antérieure du cadre buccal.

Fig. 3 c. L'une des pattes-mâchoires externes grossie, et vue par la face interne.

a. Premier article.—b. Articulation.—c. Deuxième article.—d. Quatrième article.—e. Sixième article.—f. Palpe.

Fig. 3 d. Patte-mâchoire interne, grossie.

a. Lame interne.—b. Lame médiane servant à recouvrir le canal efférent de la respiration.—c. palpe.

Fig. 3 e. Abdomen de la femelle, grossi.

a. Les premiers anneaux.—b. Pièce formée par la soudure de trois anneaux.—c. Dernier article de l'abdomen qui est reçu dans une dépression du plastron sternal et qui paraît avoir échappé à MM. Leach et Desmarest.

Fig. 3 f. Abdomen du mâle.

a. Les deux premiers anneaux.—b. Pièce formée par la soudure de trois anneaux.—c. Sixième anneau.—d. Septième anneau.

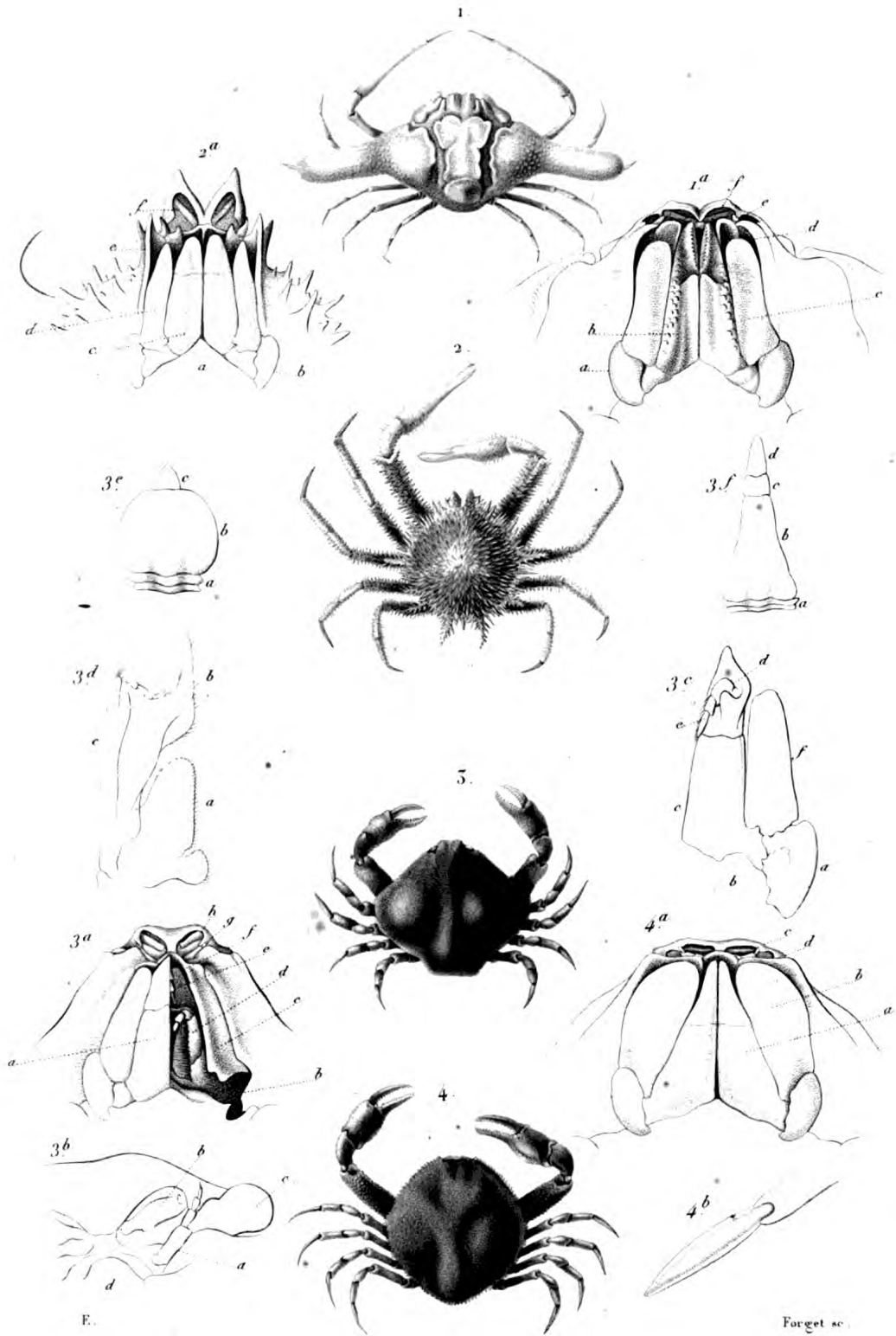
S.-GENRE PHILYRE. *Philyra*. Leach.

Fig. 4. PHILYRE GLOBULEUSE. *Philyra globulosa*. Leach. Grossie de moitié (femelle).

Fig. 4 a. Portion antérieure de la face inférieure du corps, grossie.

a. Tige interne des pattes-mâchoires externes.—b. Palpe (ou tige externe) de ces organes.—c. Antenne interne.—d. Orbites.

Fig. 4 b. Tarse de l'une des pattes-ambulateurs, vu en dessus et grossi.



1 IXA CANALICULÉE. (Ixa canaliculata.)

2 ARCANIE HERISSON. (Arcania erinaceus.)

3 EBALIE DE BRAYER. (Ebalia brayerii.)

4 PHILYRE GLOBULEUSE. (Philyra globulosa.)

V. Bonvallet del.

Forget sc.



DÉCAPODES BRACHYURES.

ORBICULAIRES.

GENRE LEUCOSIE. *Leucosia*. Fabricius.

S.-GENRE LEUCOSIE proprement dit. *Leucosia*. Leach.

Fig. 1. LEUCOSIE URANIE. *Leucosia urania*. Fab. Double de grandeur naturelle.

Fig. 1 a. Portion antérieure du corps, vu en dessous et grossie.

a. Front. — *b.* Antennes internes. — *c.* Yeux. — *d.* Antennes externes. — *e.* Portion terminale du canal afférent de la respiration, borné en dehors par le cadre buccal, et recouvert dans l'état naturel par les pattes-mâchoires externes qui ont été enlevées ici. — *f.* Lame de la patte-mâchoire antérieure recouvrant le canal efférent de la respiration (*g.*). (cette disposition des ouvertures de la cavité respiratoire est un des caractères propres à la tribu des Leucosiens.)

Fig. 1 b. Abdomen de la femelle.

a. Grande pièce formée par trois anneaux soudés ensemble. — *b.* Dernier segment.

Fig. 1 c. Patte-mâchoire de la première paire.

a. Lame interne. — *b.* Lame moyenne recouvrant le canal respiratoire. — *c.* Palpe.

Fig. 1 d. Patte-mâchoire externe.

a. Article basilaire qui ne pénètre pas comme d'ordinaire entre la base de la patte antérieure et la région ptérygostomiennne de la carapace, et ne porte ni fouet, ni branchie. — *b, c.* Second et troisième articles formant la portion operculaire de ces organes. — *d.* Tigelle formée par les trois derniers articles. — *e.* Palpe lamelleux.

S.-GENRE ILIA. *Ilia*. Leach.

Fig. 2. ILIA NOYAU. *Ilia nucleus*. Leach. Grossie au double.

Fig. 2 a. Région antennaire, grossie davantage.

a. Front. — *b.* Antennes internes. — *c.* Antennes externes. — *d.* Yeux. — *e.* Bouche.

Fig. 2 b. Antenne interne.

a. Article basilaire. — *b.* Tige mobile. — *c, d.* Tigelles terminales.

Fig. 2 c. Antenne externe.

a. Article basilaire.

Fig. 2 d. Patte-mâchoire de la première paire.

a. Lame interne. — *b.* Lame moyenne. — *c.* Palpe. — *d.* Appendice terminal du palpe.

Fig. 2 e. Patte-mâchoire de la seconde paire.

a. Tige interne. — *b.* Palpe.

Fig. 2 f. Patte-mâchoire externe.

a. Article basilaire. — *b.* Vestige du fouet. — *c, d.* Second et troisième articles. — *e.* Palpe.

Fig. 2 g. Abdomen du mâle.

a. Premier segment. — *b.* Troisième, quatrième et cinquième segments réunis en une seule pièce. — *c.* Sixième anneau.

Fig. 2 h. Appendice abdominal de la première paire chez le mâle.

Fig. 2 i. Appendice abdominal de la seconde paire chez le même.

S.-GENRE MYRA. *Myra*. Leach.

Fig. 3. MYRA FUGACE. *Myra fugax*. Leach. Un peu grossie.

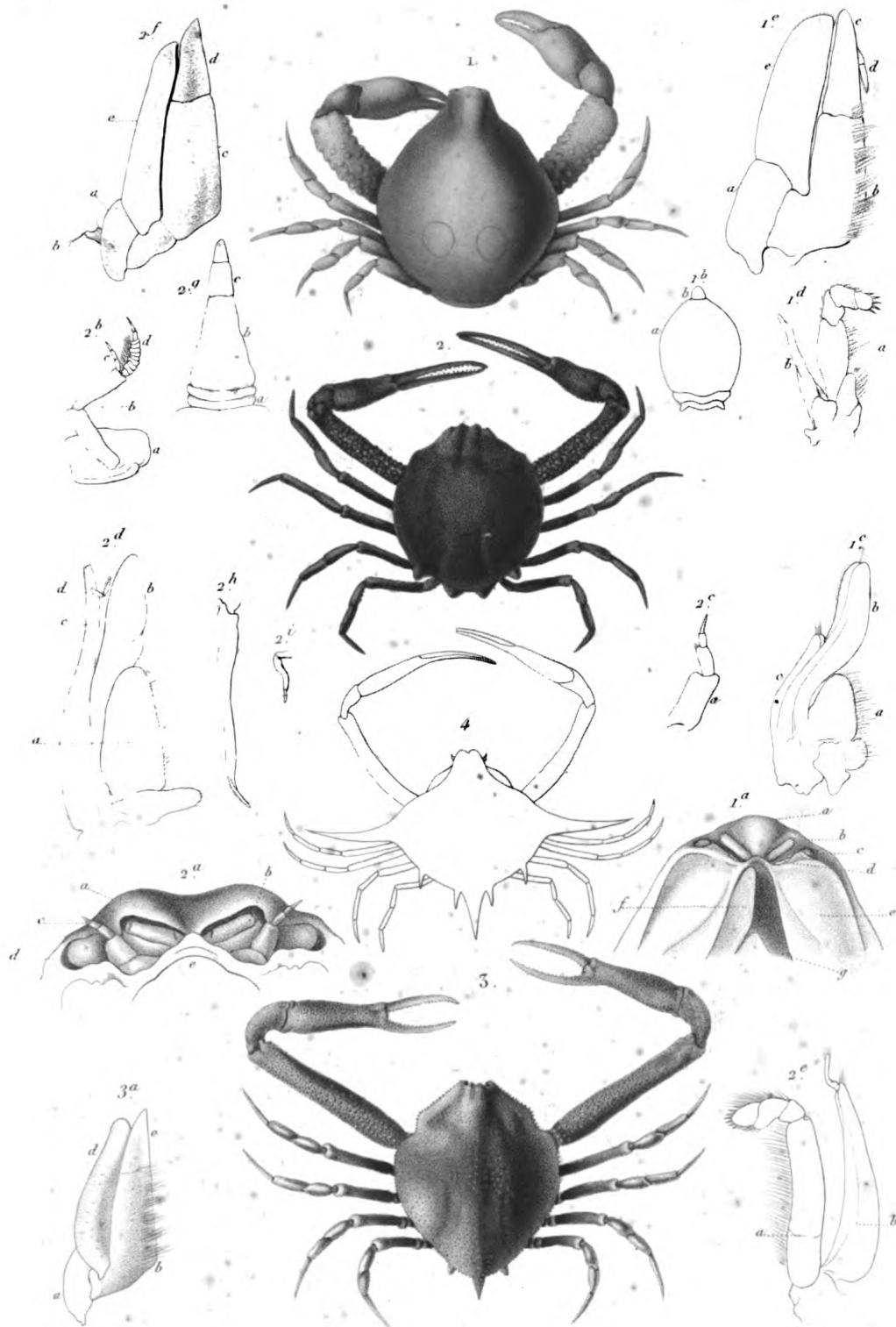
Fig. 3 a. Patte-mâchoire externe.

a. Article basilaire. — *b, c.* Second et troisième articles. — *d.* Palpe.

S.-GENRE IPHIS. *Iphis*. Leach.

Fig. 4. IPHIS A SEPT ÉPINES. *Iphis septemspinosa*. Fait au trait d'après la figure donnée par Herbst.

(Toutes ces figures, à l'exception de la dernière, sont faites d'après nature.)



Edw et Vaillant del.

Oudet sc

1. *LEUCOSIE URANIE*. (*Leucosia urania*.)

2. *ILLIA NOYEAU*. (*Illia nucleus*.)

3. *MYRA FUGAX*. (*Myra fugax*.)



1. 2. 3. 4. 5. 6. 7. 8. 9. 10. 11. 12. 13. 14. 15. 16. 17. 18. 19. 20. 21. 22. 23. 24. 25. 26. 27. 28. 29. 30. 31. 32. 33. 34. 35. 36. 37. 38. 39. 40. 41. 42. 43. 44. 45. 46. 47. 48. 49. 50. 51. 52. 53. 54. 55. 56. 57. 58. 59. 60. 61. 62. 63. 64. 65. 66. 67. 68. 69. 70. 71. 72. 73. 74. 75. 76. 77. 78. 79. 80. 81. 82. 83. 84. 85. 86. 87. 88. 89. 90. 91. 92. 93. 94. 95. 96. 97. 98. 99. 100.

1. 2. 3. 4. 5. 6. 7. 8. 9. 10. 11. 12. 13. 14. 15. 16. 17. 18. 19. 20. 21. 22. 23. 24. 25. 26. 27. 28. 29. 30. 31. 32. 33. 34. 35. 36. 37. 38. 39. 40. 41. 42. 43. 44. 45. 46. 47. 48. 49. 50. 51. 52. 53. 54. 55. 56. 57. 58. 59. 60. 61. 62. 63. 64. 65. 66. 67. 68. 69. 70. 71. 72. 73. 74. 75. 76. 77. 78. 79. 80. 81. 82. 83. 84. 85. 86. 87. 88. 89. 90. 91. 92. 93. 94. 95. 96. 97. 98. 99. 100.

1. 2. 3. 4. 5. 6. 7. 8. 9. 10. 11. 12. 13. 14. 15. 16. 17. 18. 19. 20. 21. 22. 23. 24. 25. 26. 27. 28. 29. 30. 31. 32. 33. 34. 35. 36. 37. 38. 39. 40. 41. 42. 43. 44. 45. 46. 47. 48. 49. 50. 51. 52. 53. 54. 55. 56. 57. 58. 59. 60. 61. 62. 63. 64. 65. 66. 67. 68. 69. 70. 71. 72. 73. 74. 75. 76. 77. 78. 79. 80. 81. 82. 83. 84. 85. 86. 87. 88. 89. 90. 91. 92. 93. 94. 95. 96. 97. 98. 99. 100.

1. 2. 3. 4. 5. 6. 7. 8. 9. 10. 11. 12. 13. 14. 15. 16. 17. 18. 19. 20. 21. 22. 23. 24. 25. 26. 27. 28. 29. 30. 31. 32. 33. 34. 35. 36. 37. 38. 39. 40. 41. 42. 43. 44. 45. 46. 47. 48. 49. 50. 51. 52. 53. 54. 55. 56. 57. 58. 59. 60. 61. 62. 63. 64. 65. 66. 67. 68. 69. 70. 71. 72. 73. 74. 75. 76. 77. 78. 79. 80. 81. 82. 83. 84. 85. 86. 87. 88. 89. 90. 91. 92. 93. 94. 95. 96. 97. 98. 99. 100.

DÉCAPODES. BRACHYURES.

TRIANGULAIRES.

GENRE PARTHENOPE. *Parthenope*. Fabricius.

S.-GENRE LAMBRE. *Lambrus*. Leach.

Fig. 1. LAMBRE LONGIMANE. Lambrus longimanus. Leach. D'après nature.

Fig. 1 a. Région antennaire (ou portion antérieure de la tête vue en dessous), grossie.

Montrant la disposition des antennes externes qui fournit pour la distinction de ce genre des caractères meilleurs que ceux mentionnés par Latreille et tirés du nombre des segmens libres de l'abdomen. En effet chez les Lambres l'article basilaire de ces antennes est très court et ne se soude pas aux parties voisines du test; le second article est au moins aussi long que le premier et atteint à peine le front; enfin le troisième naît dans l'hiatus de l'angle interne de l'orbite.

Fig. 1 b. Patte-mâchoire externe du même, grossie.

S.-GENRE PARTHENOPE PROPREMENT DIT. *Parthenope*. Leach.

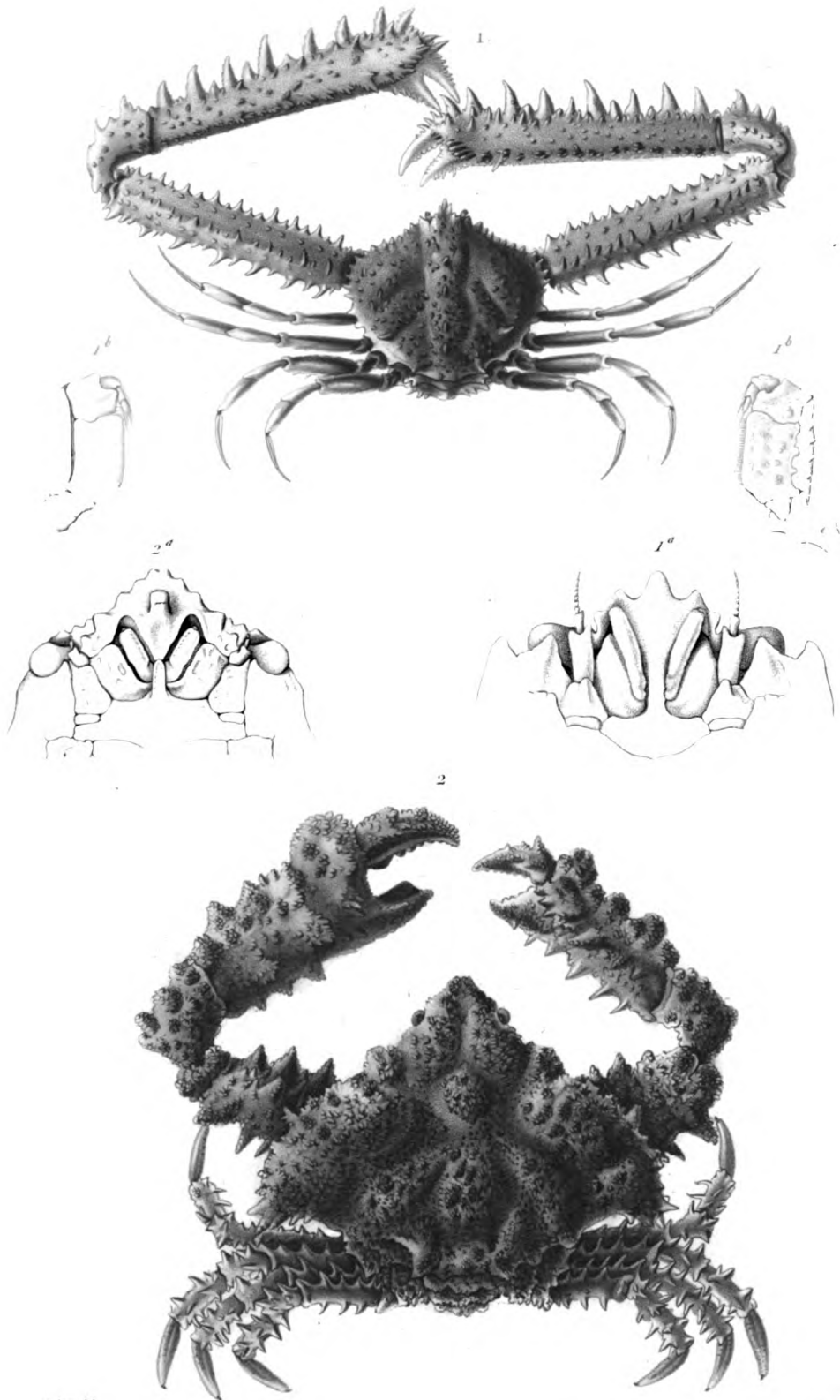
Fig. 2. PARTHÉNOPE HORRIBLE. Parthenope horrida. Fabr. Deux tiers de grandeur naturelle.

Fig. 2 a. Région antennaire grossie.

Dans les Parthénopes proprement dits, de même que dans les Lambres, l'article basilaire des antennes externes n'atteint pas le front et ne se soude pas aux parties voisines du test, et la tige mobile de ces organes naît dans l'hiatus de l'angle interne de l'orbite, mais ici ce premier article est beaucoup plus long et arrive presque au front, tandis que le second est très petit, n'ayant pas la moitié de la longueur du premier. (Voyez mon *Histoire des Crustacés*, tome 1. p. 348.)

Fig. 2 b. Patte-mâchoire externe du même grossie.

(Toutes ces figures sont faites d'après nature.)



1 *LAMBRE LONGIMANE* (*Lambrus longimanus* Leach)

2 *PARTHIENOPE HORRIBLE* (*Parthenope horrida* Fab.)

DÉCAPODES BRACHYURES.

TRIANGULAIRES.

GENRE MITHRAX. *Mithrax*. Leach.

Fig. 1. MITHRAX AIGUILLONNÉ. *Mithrax aculeatus*. Edw. *Cancer aculeatus*. Herbst; réduit au deux tiers.

Fig. 1 a. Portion antérieure du corps, vue en dessous.

Fig. 1 b. Patte-mâchoire externe.

Fig. 1 c. Pince creusée en cuiller.

GENRE ACANTHONYX. *Acanthonyx*. Latr.

Fig. 2. ACANTHONYX LUNULÉ. *Acanthonyx lunulatus*. Latr. *Maia lunata*. Risso; grossi de moitié (d'après le vivant).

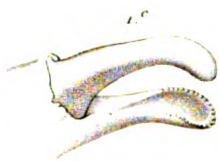
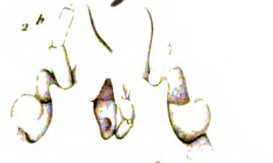
Fig. 2 a. Carapace, vue de côté et grossie pour montrer la conformation de l'orbite, le mode d'insertion des antennes externes, etc. Les yeux ne sont pas susceptibles de se reposer en arrière comme chez la plupart des Brachyures, et l'orbite embrasse exactement leur pédoncule.

Fig. 2 b. Portion antérieure du corps, vue en dessous et grossie davantage; du côté gauche, la patte-mâchoire externe a été enlevée.

Fig. 2 c. Pince.

Fig. 2 d. L'une des pattes ambulatoires beaucoup grossie.

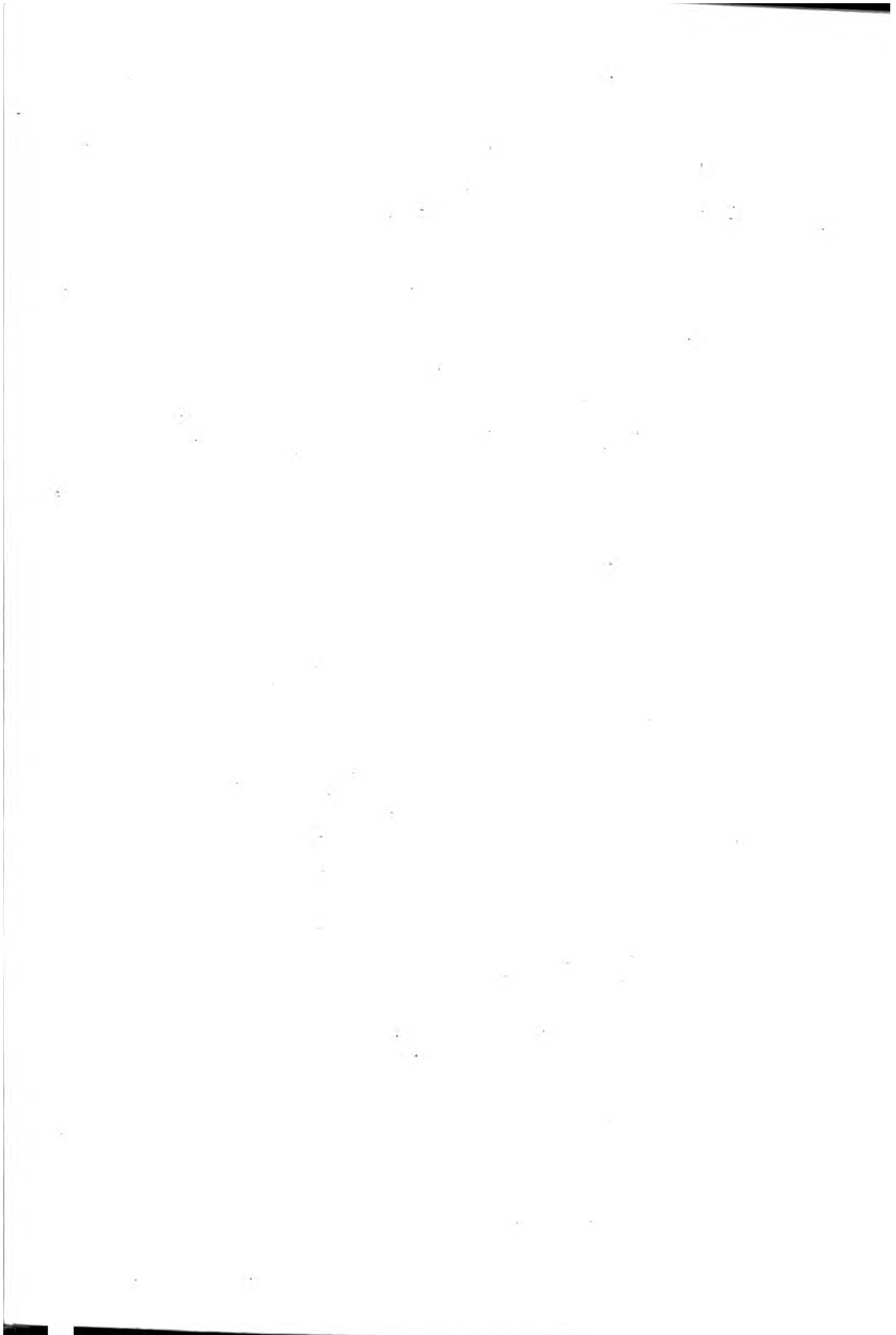
(D'après nature.)



E. et V.

Forget sc.

1 MITHRAX AIGULLONNÉE. Mithrax aculeatus. 2. ACANTHONYX LUVULÉ. Acanthonyx lunulatus.



DÉCAPODES BRACHYURES.

TRIANGULAIRES.

GENRE PISE. *Pisa*. Leach.

Fig. 1. PISE ARMÉE. *Pisa armata*. Latr. De grandeur naturelle.

Fig. 1. a. Région antennaire, grossie.

GENRE HALIME. *Halimus*. Latr.

Fig. 2. Croquis de la carapace de l'HALIME BÉLIER. *Halimus aries*. Latr.

Fig. 2. a. Régions antennaire et buccale du même, grossi.

Fig. 2. b. Extrémité de la patte de la seconde paire.

Fig. 2. c. Extrémité de la patte postérieure.

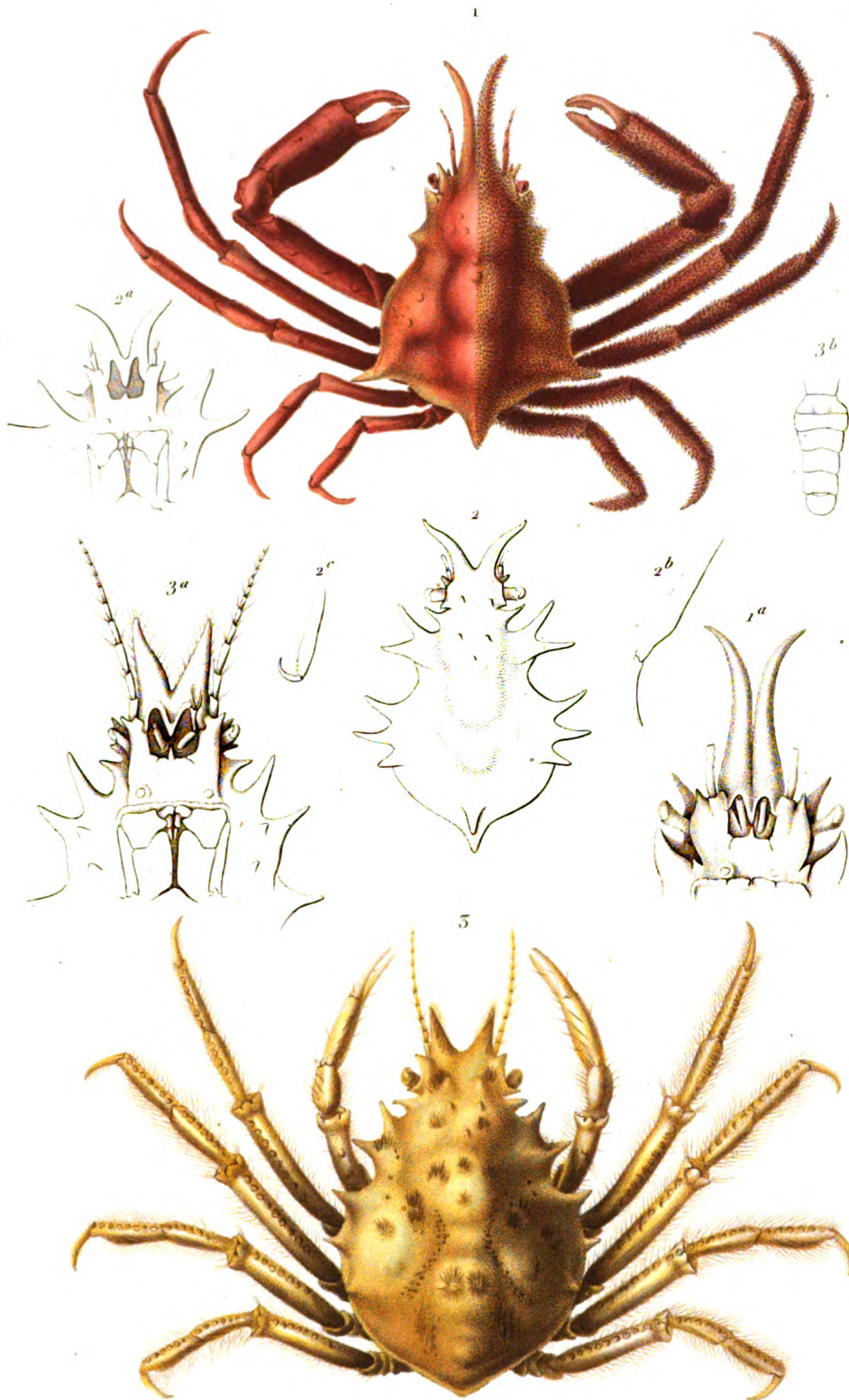
Fig. 3. HALIME OREILLARD. *Halimus auritus*. Milne Edwards. *Pisa aurita*. Latr.

C'est à tort que Latreille range cette espèce dans le genre *Naxie* de Leach; elle n'en présente pas les caractères et appartient évidemment au genre Halime.

Fig. 3. a. Régions antennaire et buccale du même, grossies.

Fig. 3. b. Abdomen du mâle.

(D'après nature.)



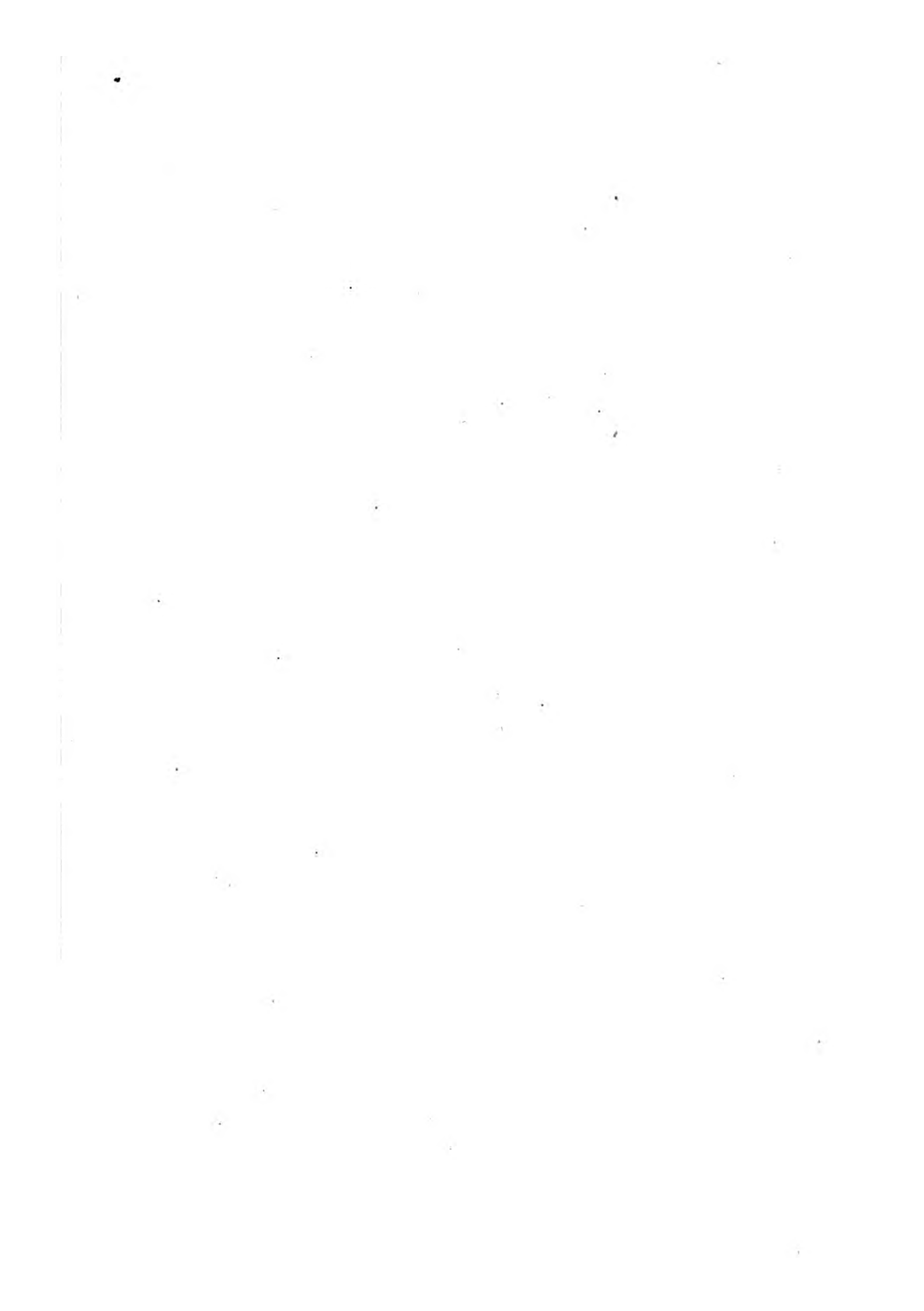
E. et V.

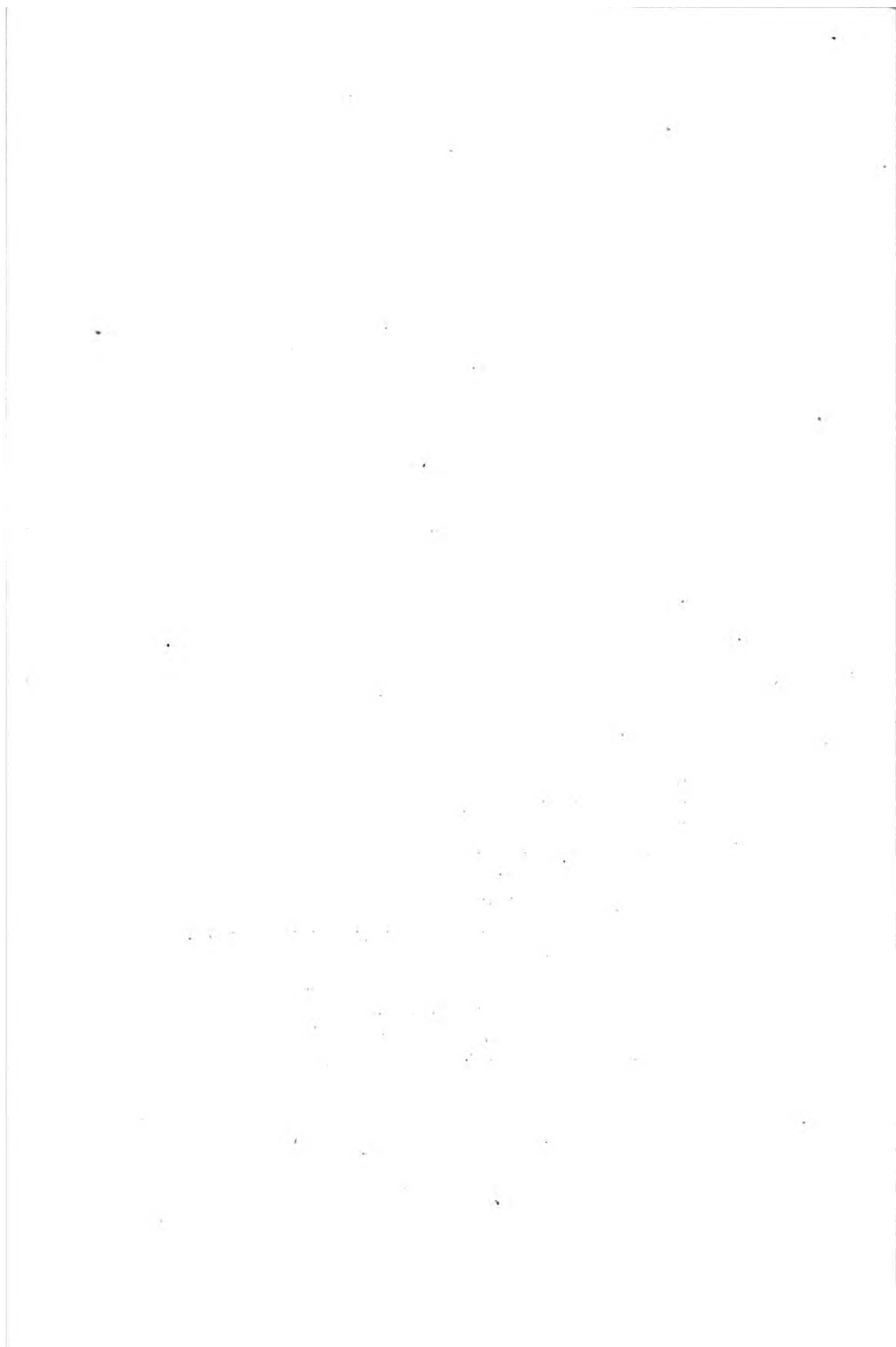
Forget sc.

1. *PISE ARMÉE*. (*Pisa armata*)

5. *HALIME OREILLARD*. (*Halmus auritus*.)

2. Scapula imp.





DÉCAPODES BRACHYURES.

TRIANGULAIRES.

GENRE PISE. *Pisa*.S.-GENRE LISSA. *Lissa*. Leach.**Fig. 1.** LISSA GOUTTEUSE. *Lissa chiragra*. Leach. D'après un individu femelle ; de grandeur naturelle.**Fig. 1 a.** La même vue en dessous.

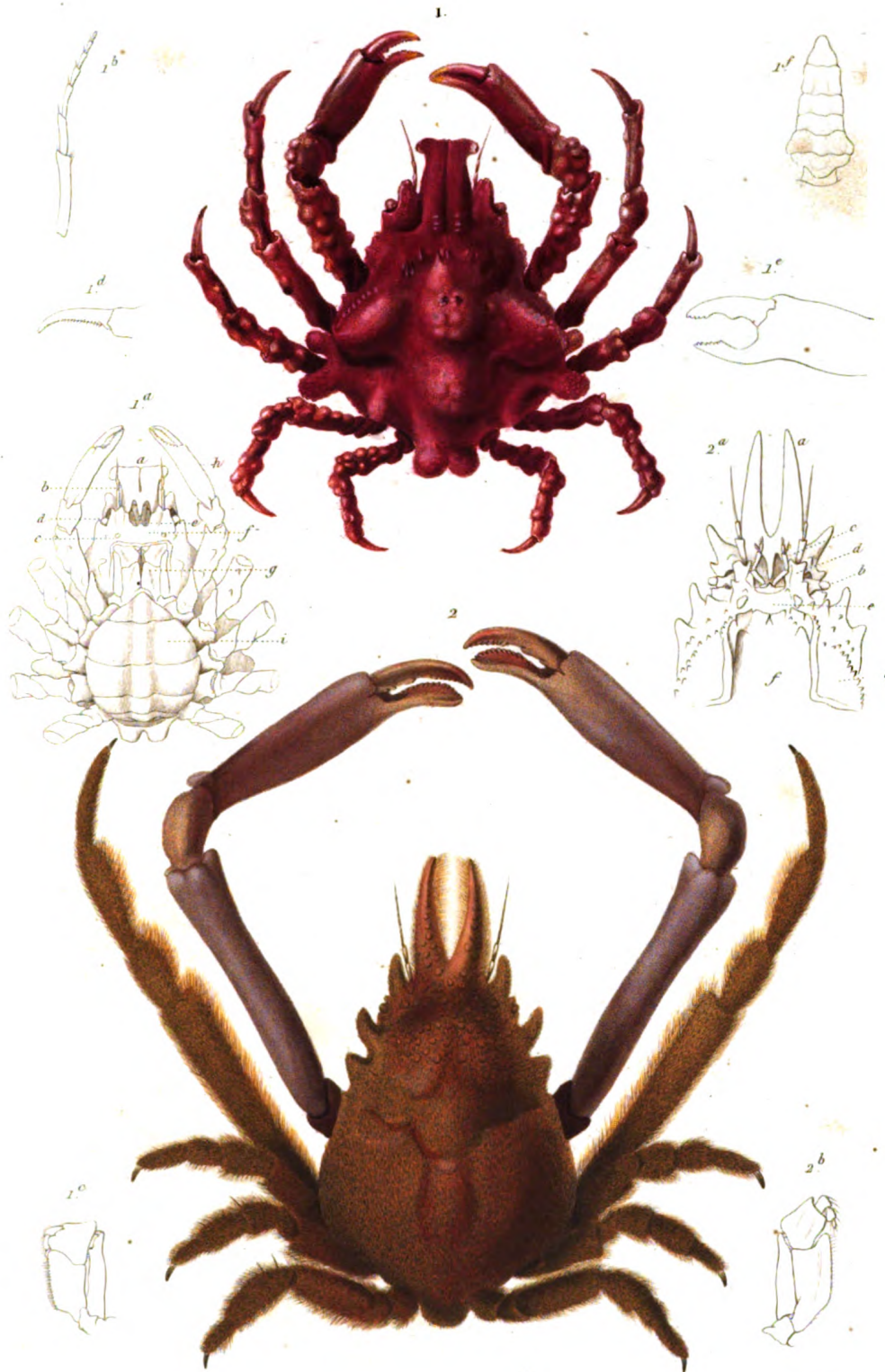
a. Rostre. — *b.* antennes externes. — *c.* tubercule auditif, situé à la base de ces antennes. — *d.* Yeux. — *e.* Antennes internes. — *f.* Epistome. — *g.* Pattes-mâchoires externes. — *h.* Pattes de la première paire; celles des paires suivantes sont coupées près de leur base. — *i.* Abdomen.

Fig. 1 b. Portion mobile de l'antenne externe grossie.**Fig. 1 c.** Patte-mâchoire externe.**Fig. 1 d.** Dernier article de l'une des pattes ambulatoires.**Fig. 1 e.** Pincés du mâle.**Fig. 1 f.** Abdomen du mâle.S.-GENRE CHORINE. *Chorinus*. Leach.**Fig. 2.** CHORINE HÉROS. *Chorinus heros*. D'après un individu mâle ; de grandeur naturelle.**Fig. 2 a.** Portion antérieure du corps vue en dessous.

a. Rostre. — *b.* Yeux. — *c.* Antennes internes. — *d.* Antennes externes. — *e.* Epistome. — *f.* Cadre buccal. — *g.* Régions ptérygostomiennes.

Fig. 2 b. Patte-mâchoire externe.

(D'après nature).



1 *LISSA GOUTRUSE*
(*Lissa chiragra*)

2 *CHORINE HEROS*
(*Chorinus heros*)

L. gouthruse

DÉCAPODES BRACHYURES.

TRIANGULAIRES.

GENRE PÉRICÈRE. *Pericera*. Latreille.

Fig. 1. PÉRICÈRE CORNU. *Pericera cornuta*. Latr. Individu mâle, réduit aux deux tiers de la grandeur naturelle.

Fig. 1 a. Portion antérieure du corps, vu en dessous.

a. Patte-mâchoire externe. — *b.* Tubercule auditif. — *c.* Article basilaire de l'antenne externe, qui est extrêmement large, et contribue à former l'orbite tubulaire dans laquelle l'œil (*d*) se loge. — *e.* Second article de l'antenne externe.

Fig. 1 b. Extrémité antérieure du corps, vue en dessus; la carapace étant coupée de manière à mettre à nu l'anneau ophthalmique (*c*), et les orbites dont l'une (*a*) est restée intacte, tandis que l'autre (*b*) a été ouverte pour montrer le pédoncule oculaire.

Le mode de conformation des orbites et de l'article basilaire des antennes externes, constitue un des principaux caractères du genre Péricère; les yeux, au lieu de se replier en arrière dans des orbites creusées sous la carapace, sont renfermés dans une cavité tubiforme qu'ils dépassent à peine.

GENRE MAIA. *Maia*. Bosc.

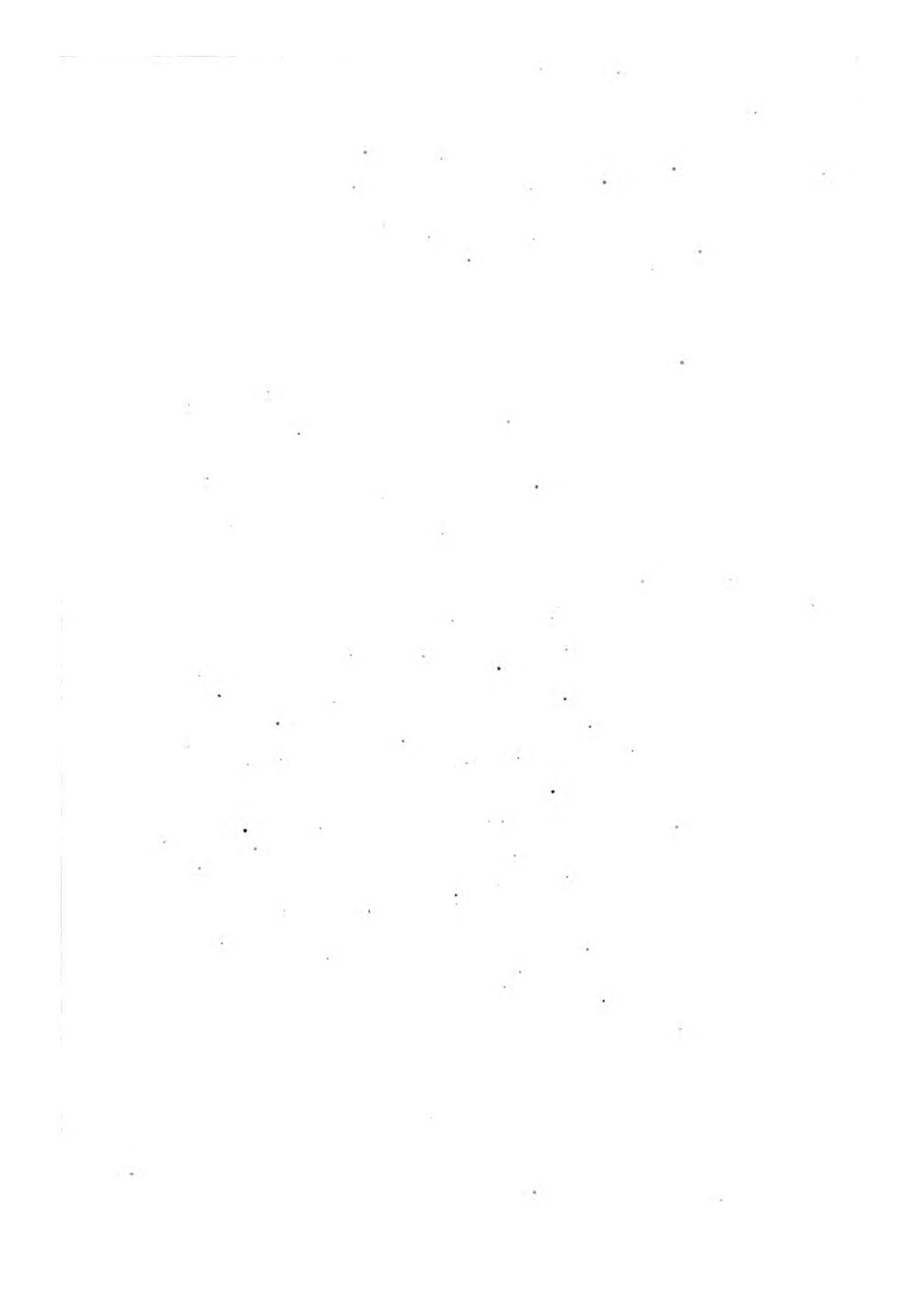
Fig. 2. MAIA SQUINADE. *Maia squinado*. Individu femelle, réduit de moitié.

(D'après nature.)



1. PÉRICÈRE CORNUE (*Pericera cornuta*)

2. MAIA SQUINADE (*Maia squinado*)



DÉCAPODES BRACHYURES.

TRIANGULAIRES.

GENRE STENOCINOPS. *Stenocinops*. Leach.

Fig. 1. STENOCINOPS CERVIRONNE. Stenocinops cervicornis. Latr. Cancer cervicornis. Herbst. De grandeur naturelle. (Individu femelle).

Fig. 1 a. Portion antérieure du corps vue en dessous pour montrer la région antennaire, les pattes mâchoires externes, etc.

Fig. 1 b. Tige mobile de l'antenne externe beaucoup grossie.

Fig. 1 c. Main.

Fig. 1 d. Abdomen de la femelle.

GENRE MICIPPE. *Micippe*. Leach.

Fig. 2. MICIPPE A CRÈTE. Micippe cristata. Leach. De grandeur naturelle.

Fig. 2 a. Front vu de face.

a. Extrémité du rostre. — b. Article basilaire des antennes externes. — c. Tige mobile de ces antennes. — d. Yeux.

Fig. 3. La même partie vue en dessous.

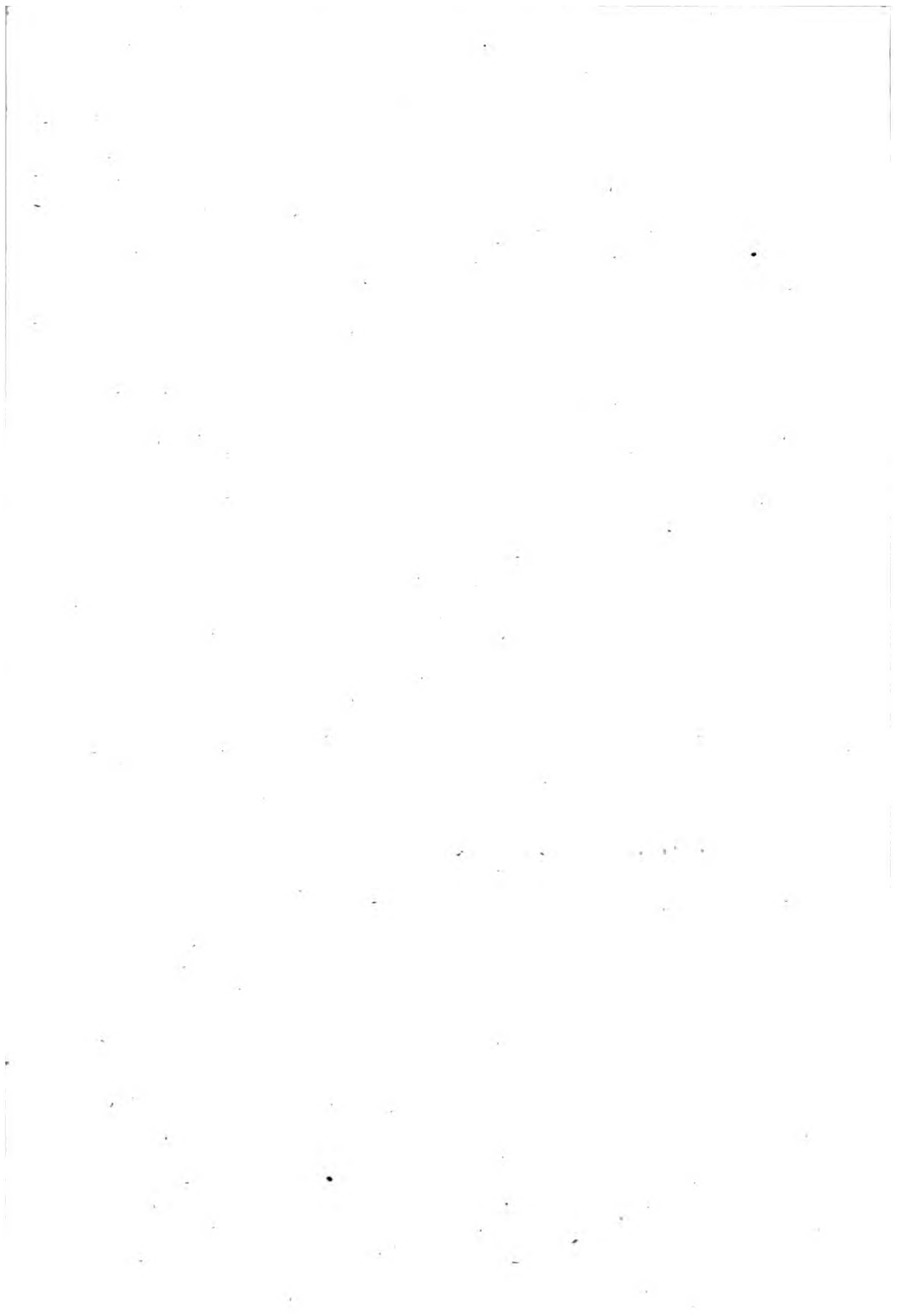
a. Rostre. — b. Article basilaire de l'antenne externe. — c. Fossettes antennaires. — d. pédoncule oculaire.

Fig. 2 c. Patte mâchoire externe.



1 *STENOCINOPS CERVICORNE* (*Stenocinops cervicornis*)

2 *MICIPPE À CRÊTE* (*Micippe cristata*)



DÉCAPODES BRACHYURES.

TRIANGULAIRES.

GENRE CAMPOSCIE. *Camposcia*. Latreille.

Fig. 1. CAMPOSCIE RÉTUSE. *Camposcia retusa*. Latr. De grandeur naturelle. Les poils ont été enlevés d'un côté pour faire mieux voir les formes du squelette tégumentaire.

Fig. 1 a. Portion antérieure du corps, vue en dessous et grossie; on n'a figuré que le premier article mobile des antennes externes.

Fig. 1 b. Patte-mâchoire externe, grossie.

GENRE HYAS ou HYADE. *Hyas*. Leach.

Fig. 2. HYAS ARAIGNÉE. *Hyas aranea*. Leach. Réduit d'un tiers.

Fig. 2 a. Région antennaire.

Fig. 3. Croquis de la carapace de l'HYAS CONTRACTÉE. *Hyas coarctata*. Leach.

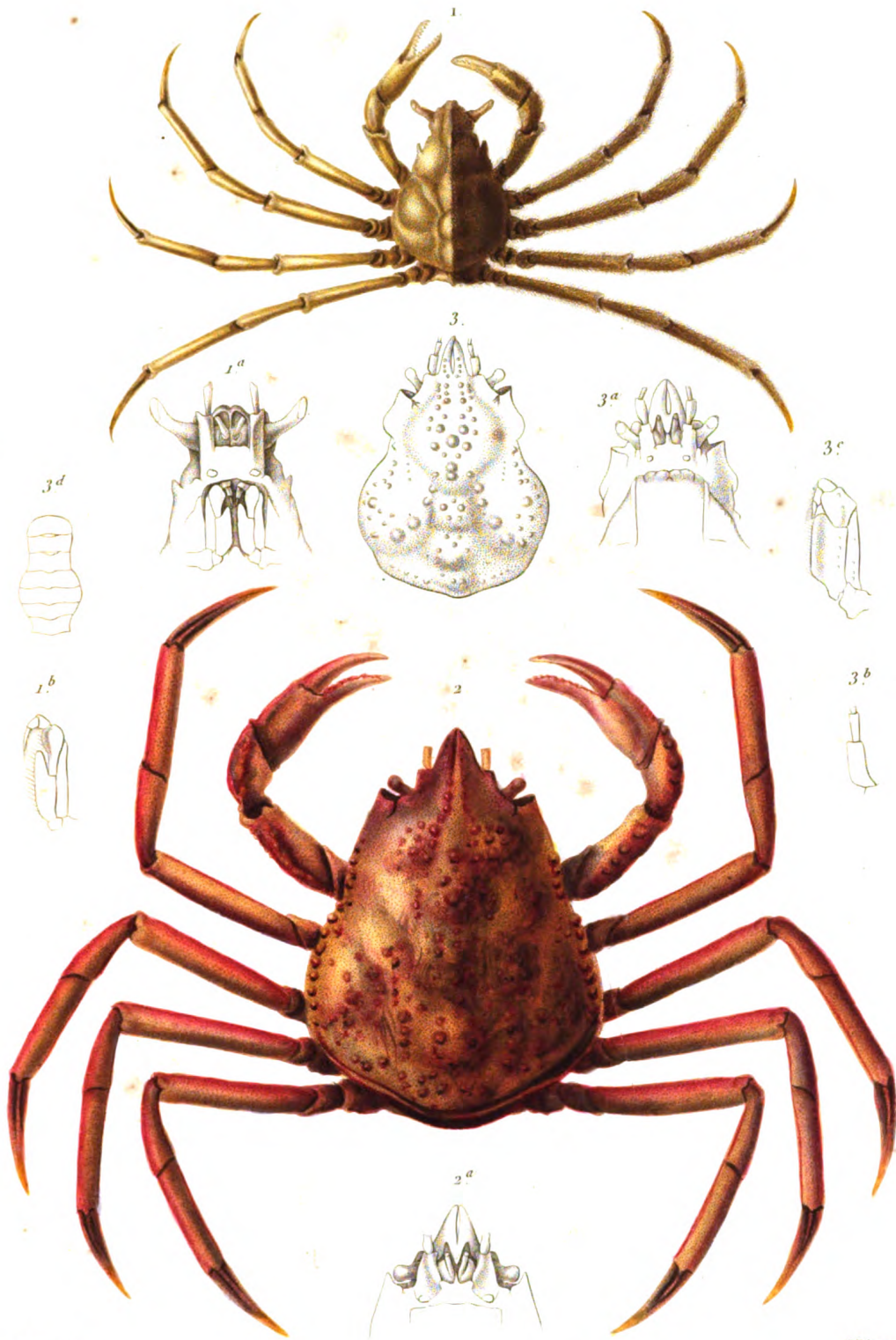
Fig. 3 a. Portion antérieure du corps, vue en dessous.

Fig. 3 b. Base de la portion mobile de l'antenne externe.

Fig. 3 c. Patte-mâchoire externe.

Fig. 3 d. Abdomen du mâle.

(D'après nature.)

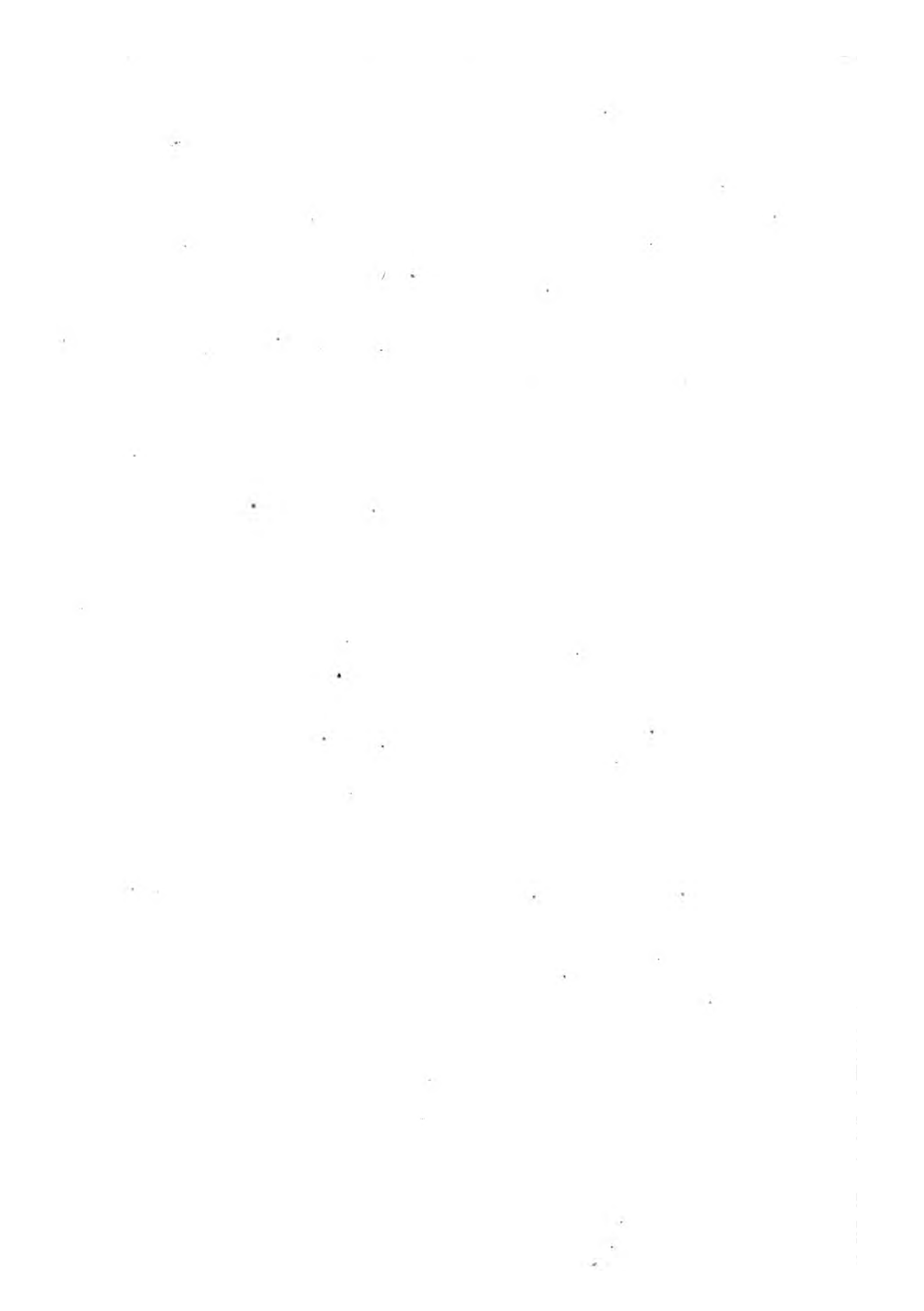


Vaillant del.

Sébin sc

1. CAMPOSCIE RETUSE. (*Camposcia retusa*)
 2. HYAS ARAIGNÉE. (*Hyas aranea*)

X Remond imp



DÉCAPODES BRACHYURES.

TRIANGULAIRES.

GENRE LIBINIE. *Libinia*. Say.

Fig. 1. LIBINIE CANNELÉE. Libinia canaliculata. Say. Réduite d'un tiers, d'après un individu mâle.

Fig. 1 a. Portion antérieure du corps vue en dessous.

a. Rostre. — *b.* Second article des antennes externes (le reste de ces appendices manquant dans tous les individus conservés dans la collection du Muséum, n'a pu être représenté ici.) — *c.* Yeux. — *d.* Pattes-mâchoires externes. — *e.* Base des pattes antérieures. — *f.* Plastron.

Fig. 1 b. La même vue de profil.

S. GENRE DOCLÉE. *Doclea*. Leach.

Fig. 2. DOCLÉE BREBIS. Doclea ovis.

Fig. 2 a. Extrémité antérieure de la carapace vue en dessus et dépouillée de ses poils.

a. OEil. — *b.* orbite dont on a retiré l'œil.

(*D'après nature*).



Forget sc.

1 LIBINIE CANNELÉE
(*Libinia canaliculata*)

2 DOCLÉE BREVIS
(*Doclea ovis*)

N. Bonnard imp.

1870

1870

MEMORANDUM

THE BOARD OF DIRECTORS

TO THE BOARD OF DIRECTORS
FROM THE MANAGER

The following report is submitted to you for your consideration and approval. It contains a summary of the work done during the past year and a statement of the financial position of the company.

Very respectfully,
Your obedient servant,

W. J. [Name]
[Title]

DÉCAPODES BRACHYURES.

TRIANGULAIRES.

GENRE LEPTOPE. *Letopus*. Lamarck. Latreille
Egeria. Edwards. De grandeur naturelle.

*Fig. 1. LEPTOPE LONGIPÈDE. *Letopus longipes*. Latr. *Egeria Herbstii*. Edw.
Hist. nat. des Crust. t. 1. p. 202. (Latreille a confondu sous ce nom
deux espèces distinctes, celle représentée ici, et l'*Egeria arachnoides*.*

GENRE INACHUS. *Inachus*. Fabricius.

*Fig. 2. INACHUS SCORPION. *Inachus scorpio*. Fabr. De grandeur naturelle
et dépouillé de ses poils du côté gauche.*

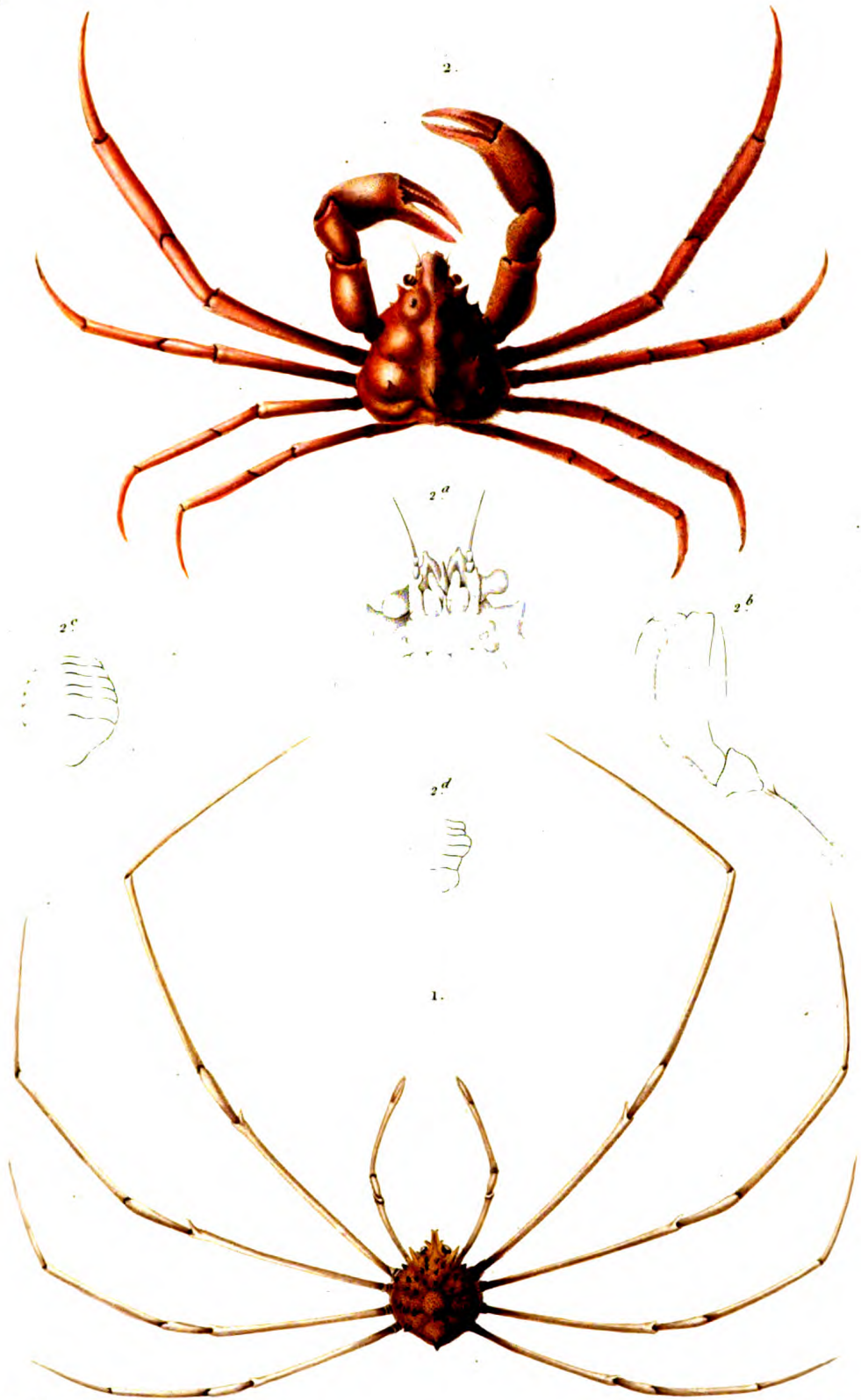
Fig. 2. a. Région antennaire et épistome, grossis.

Fig. 2. b. Patte-mâchoire externe, grossie davantage.

Fig. 2. c. Abdomen de la femelle.

Fig. 2. d. Abdomen du mâle.

(*D'après nature.*)



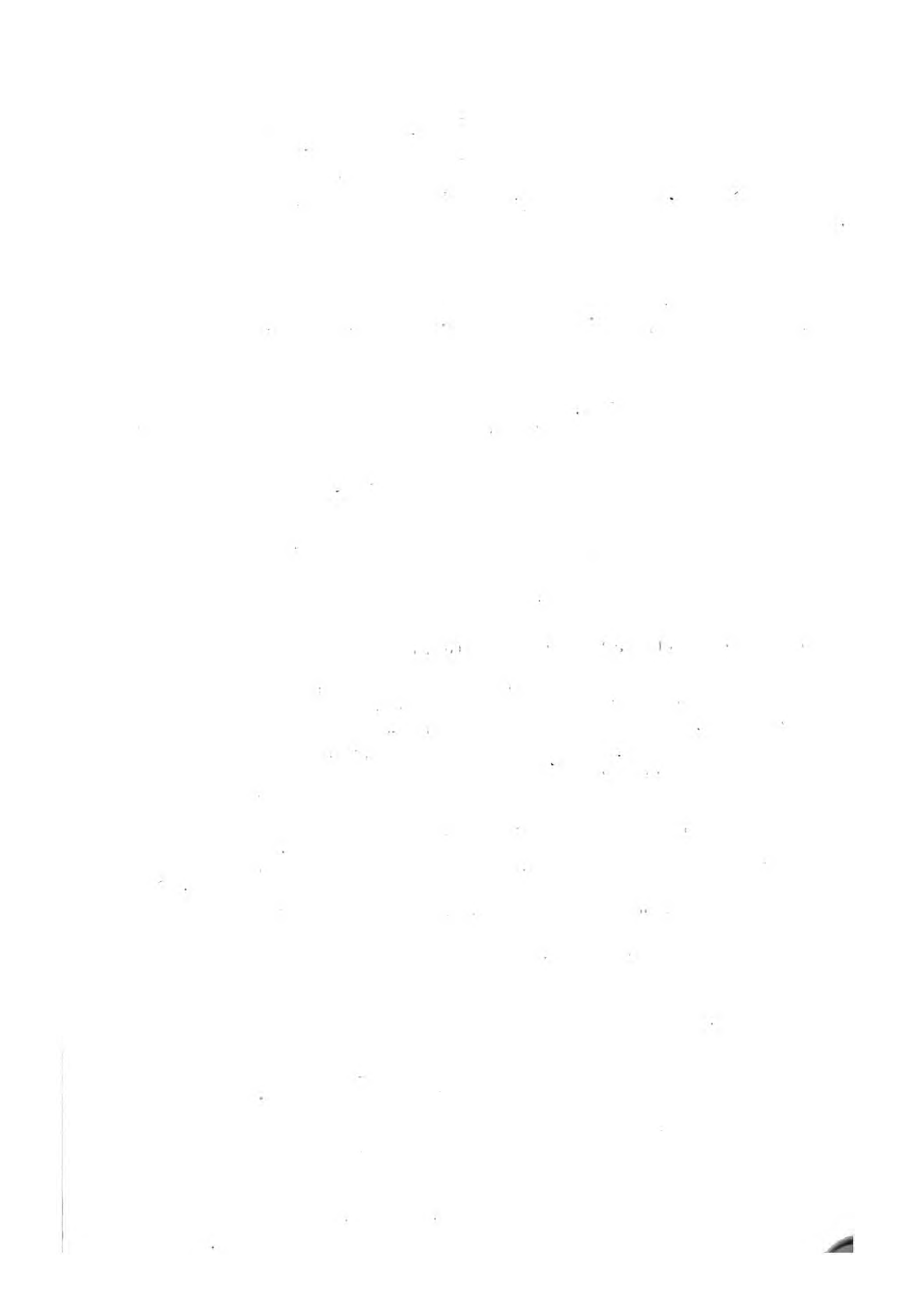
E et V.

Annedouche sc

1. *LEPTOPE LONGIPEDE*. (*Leptopus longipes*.)

2. *INACHUS SCORPION*. (*Inachus scorpion*.)

H. DeMeunier sculp.



DÉCAPODES BRACHYURES.

TRIANGULAIRES.

GENRE EURYPODE. *Eurypodius*. Guérin.

Fig. 1. EURYPODE DE LATREILLE. *Eurypodius Latreillii*. Guérin. Réduit d'un tiers et dépouillé de ses poils du côté gauche.

Fig. 1 a. Portion antérieure du corps, vue en dessous.

Fig. 1 b. La même partie, vue de côté pour montrer la manière dont s'insère le pédoncule oculaire.

GENRE AMATHIE. *Amathia*. Roux.

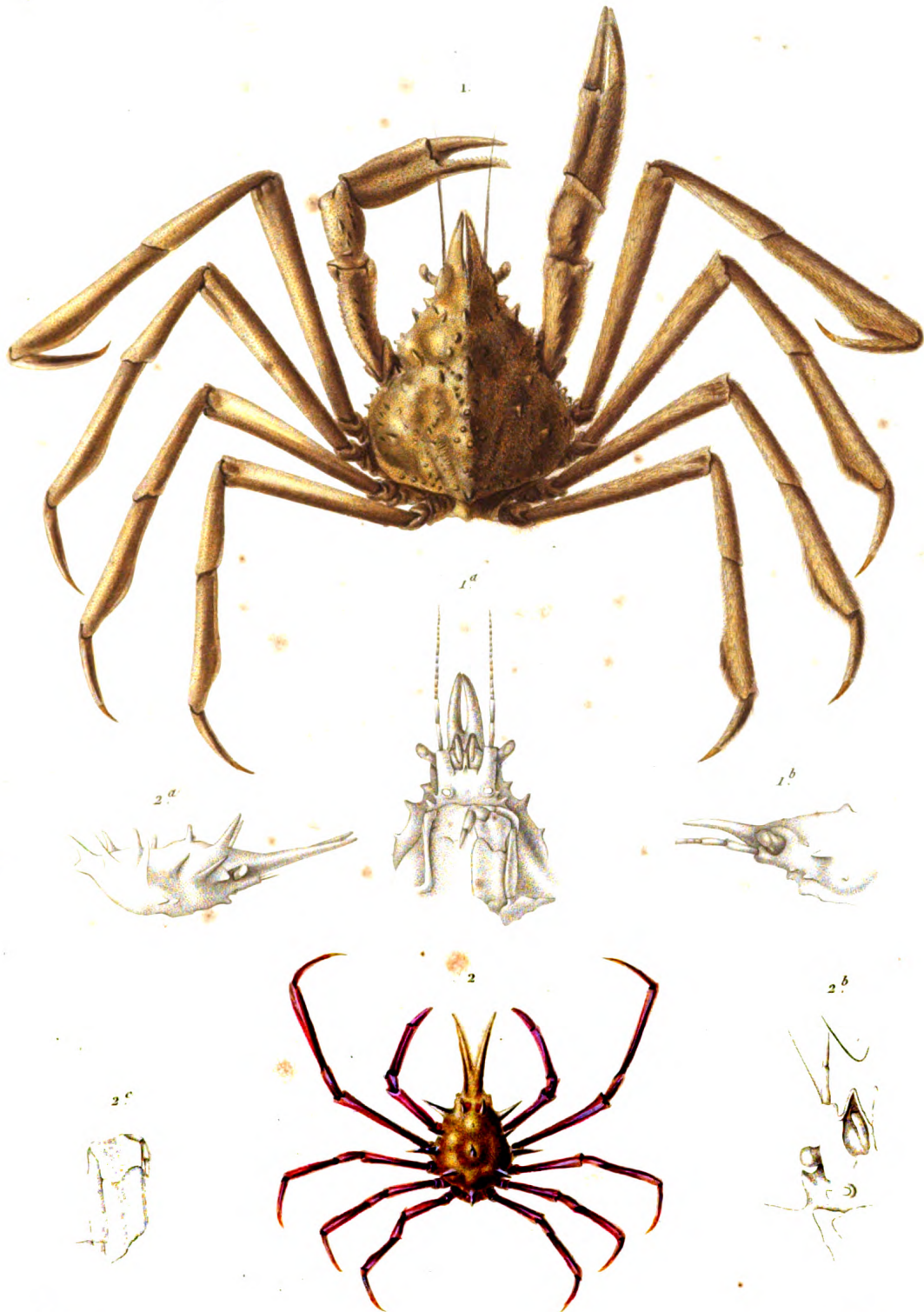
Fig. 2. AMATHIE DE RISSO. *Amathia Rissoana*. Roux. De grandeur naturelle.

Fig. 2 a. Carapace, vue de côté, pour montrer la disposition de l'orbite, etc.

Fig. 2 b. Région antennaire, grossie.

Fig. 2 c. Patte-mâchoire externe.

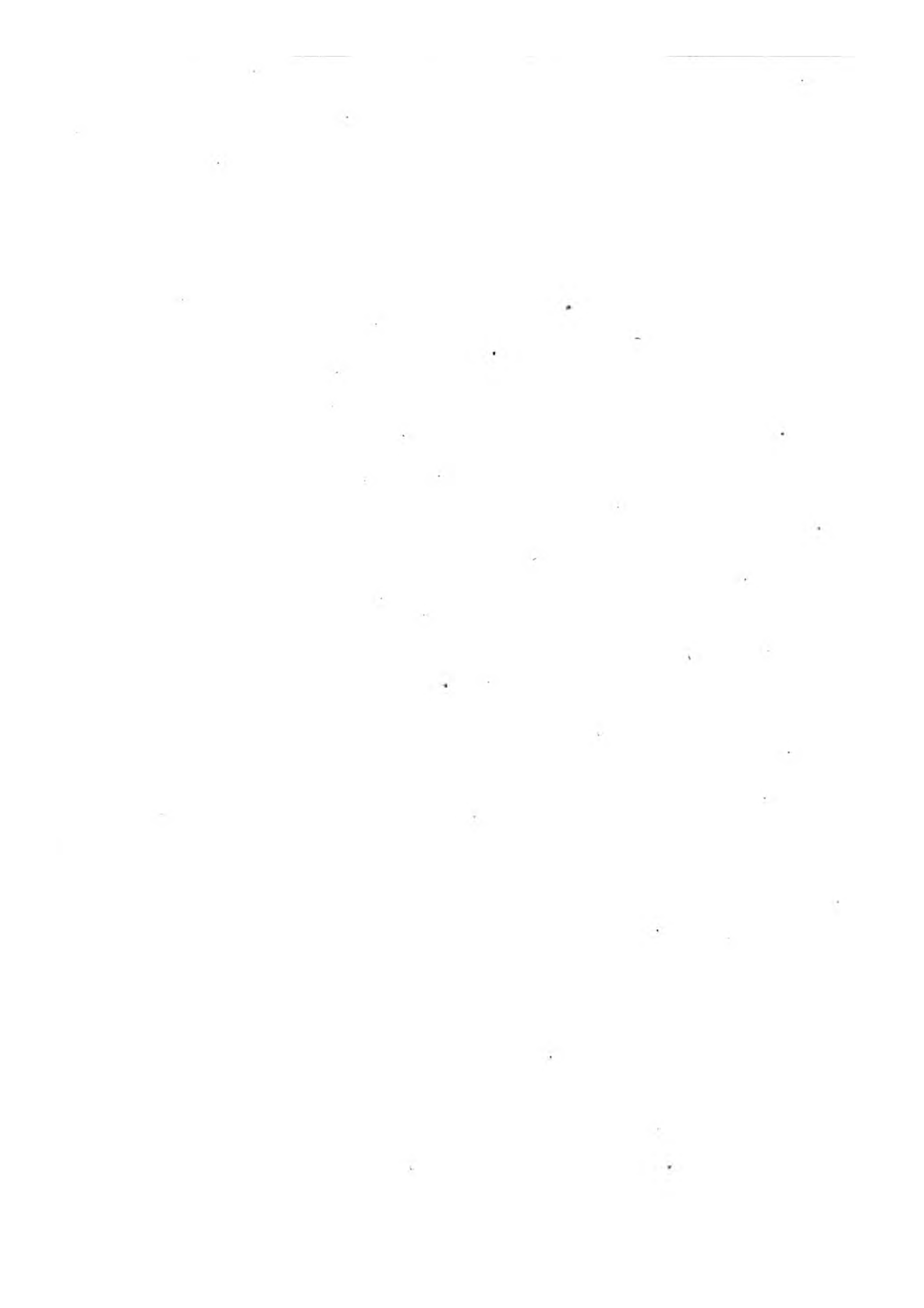
(D'après nature.)

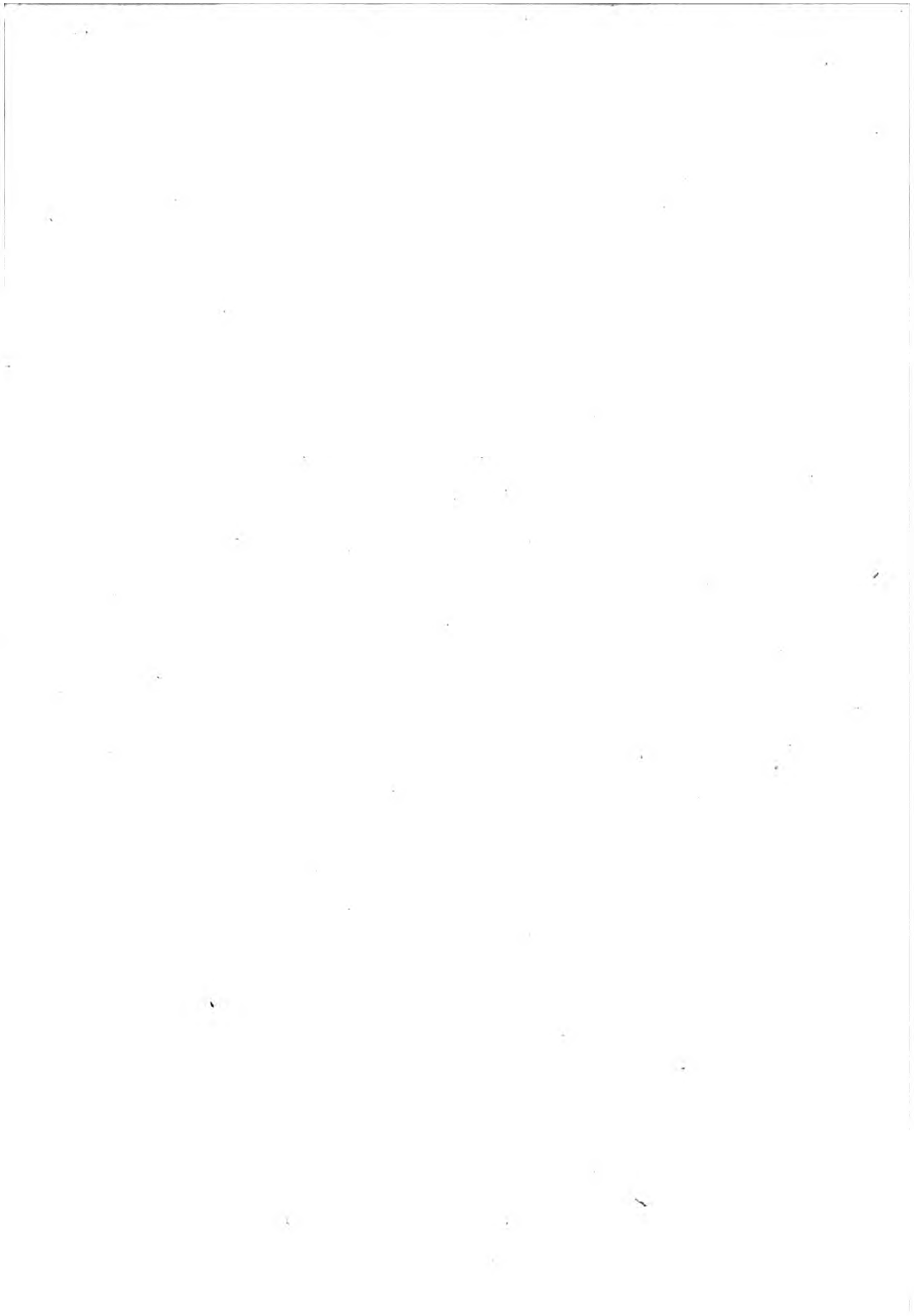


Vaillant del.

Sébin sc.

1. EURYPODE DE LATREILLE. (Eurypodius Latreilli)
2. AMATHIE DE RISSO. (Amathia Rissoana.)





DÉCAPODES BRACHYURES.

TRIANGULAIRES.

GENRE HYMENOSOME. *Hymenosoma*. Leach.

Fig. 1. HYMENOSOME ORBICULAIRE. *Hymenosoma orbiculare*. De grandeur naturelle.

Fig. 1 a. Portion antérieure, vue en dessous.

GENRE ACHÉE. *Achæus*. Leach.

Fig. 2. ACHÉE DE CRANCH. *Achæus cranch*. Leach. De grandeur naturelle (d'après Leach).

Fig. 2 a. Antenne externe.

Fig. 2 b. Pédoncule oculaire.

Fig. 2 c. Patte-mâchoire externe (d'après le même).

GENRE STÉNORHYNQUE. *Stenorhynchus*. Lamarck.

Fig. 3. STÉNORHYNQUE FAUCHEUR. *Stenorhynchus phalangium*. De grandeur naturelle.

Fig. 3 a. Région antennaire.

Fig. 3 b. Région orbitaire, vue de côté.

Fig. 3 c. Antenne externe.

Fig. 3 d. Patte-mâchoire de la première paire.

Fig. 3 e. Patte-mâchoire externe.

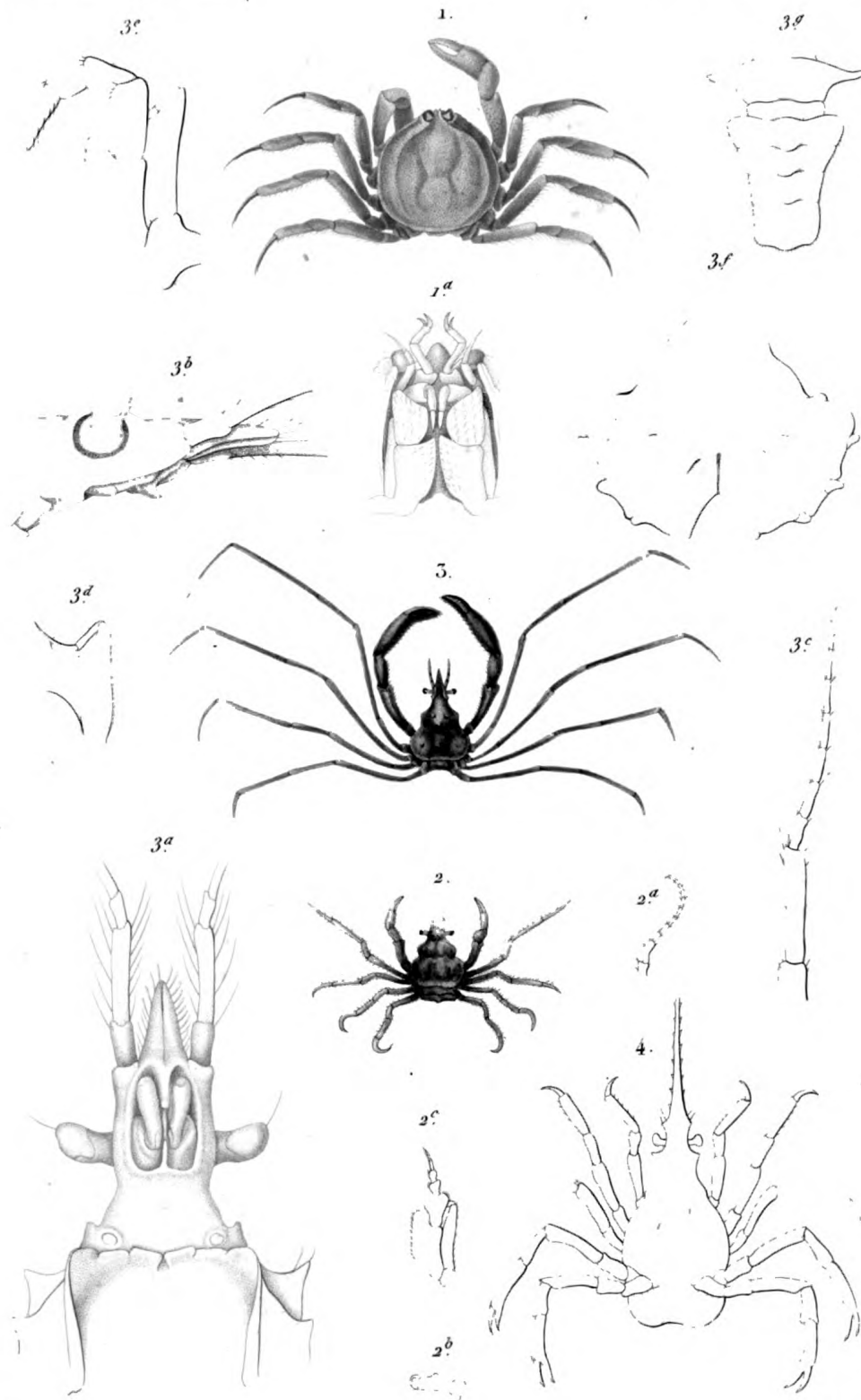
Fig. 3 f. Plastron sternal du mâle.

Fig. 3 g. Abdomen du même.

GENRE PACTOLE. *Pactolus*. Leach.

Fig. 4. PACTOLE DE BOSCH. *Pactolus Boschi*. Leach. Croquis d'après la figure de Leach. Nous avons lieu de penser que les pattes de ce crustacé ne sont pas telles qu'on les a représentées ici, et que l'erreur dans laquelle Leach paraît être tombé, dépendrait de ce que l'individu d'après lequel il a établi ce genre avait été mutilé et ensuite mal raccommo-
dé.

(Toutes les figures, excepté celles relatives à l'achée et au pactole, ont été faites d'après nature.)

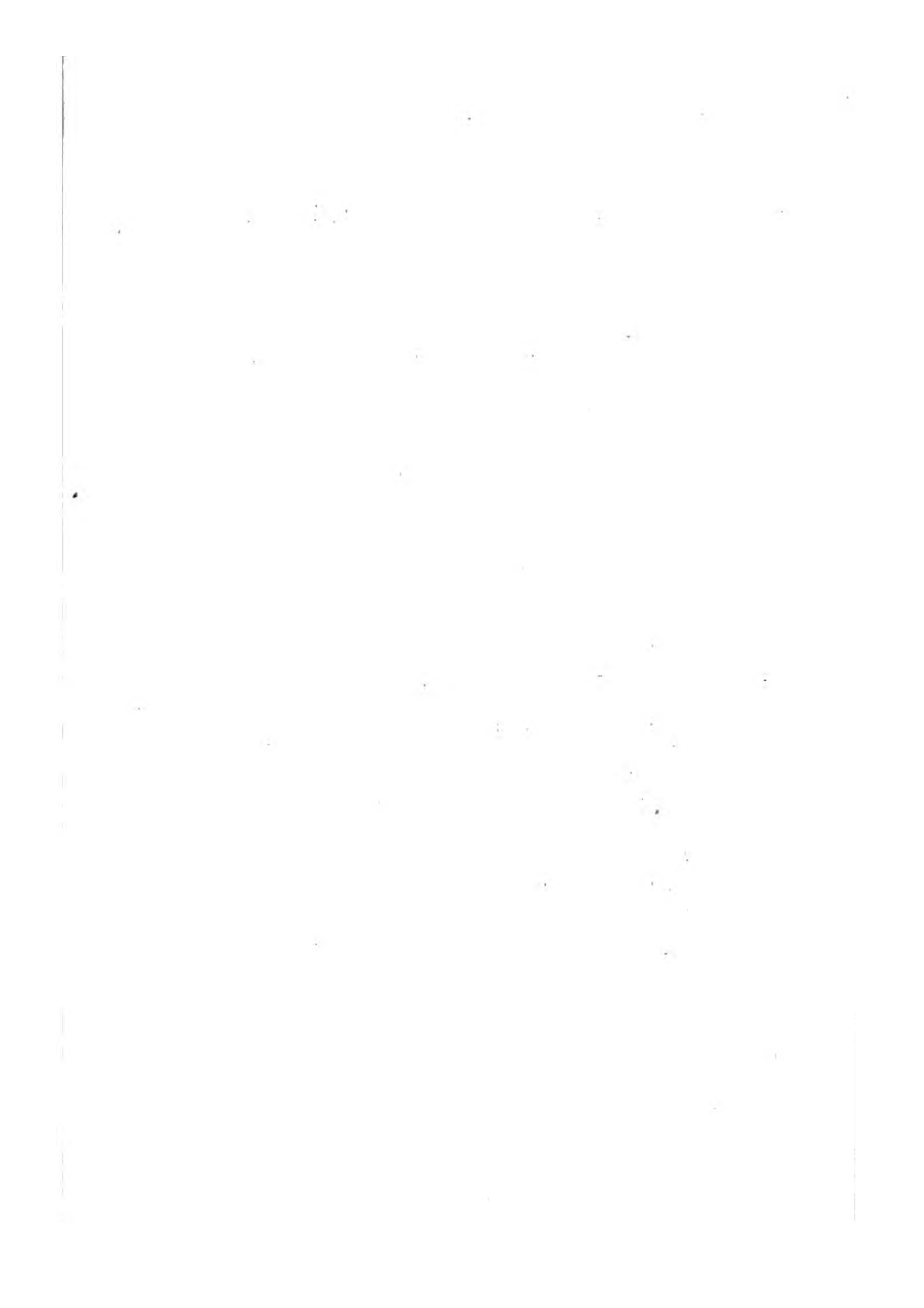


E.

Schmelz sc

1. *HYMÉNOSOME ORBICULAIRE.* (Hymenosome orbiculare.)
2. *ACHÉE DE CRANCH.* (Achaeus cranchii.)
3. *STÉNORHYNQUE FAUCHEUR.* (Stenorhynchus phalangium)
4. *PACTOLE DE BOSCH.* (Pactolus Bosch.)

N Hémond imp.





DÉCAPODES BRACHYURES.

TRIANGULAIRES.

GENRE LEPTOPODIE. *Leptopodia*. Leach.

Fig. 1. LEPTOPODIE SAGITTAIRE. Leptopodia sagittaria. Leach, Latreille, etc. — *Inachus sagittarius*. Fabricius. Réduit d'un tiers.

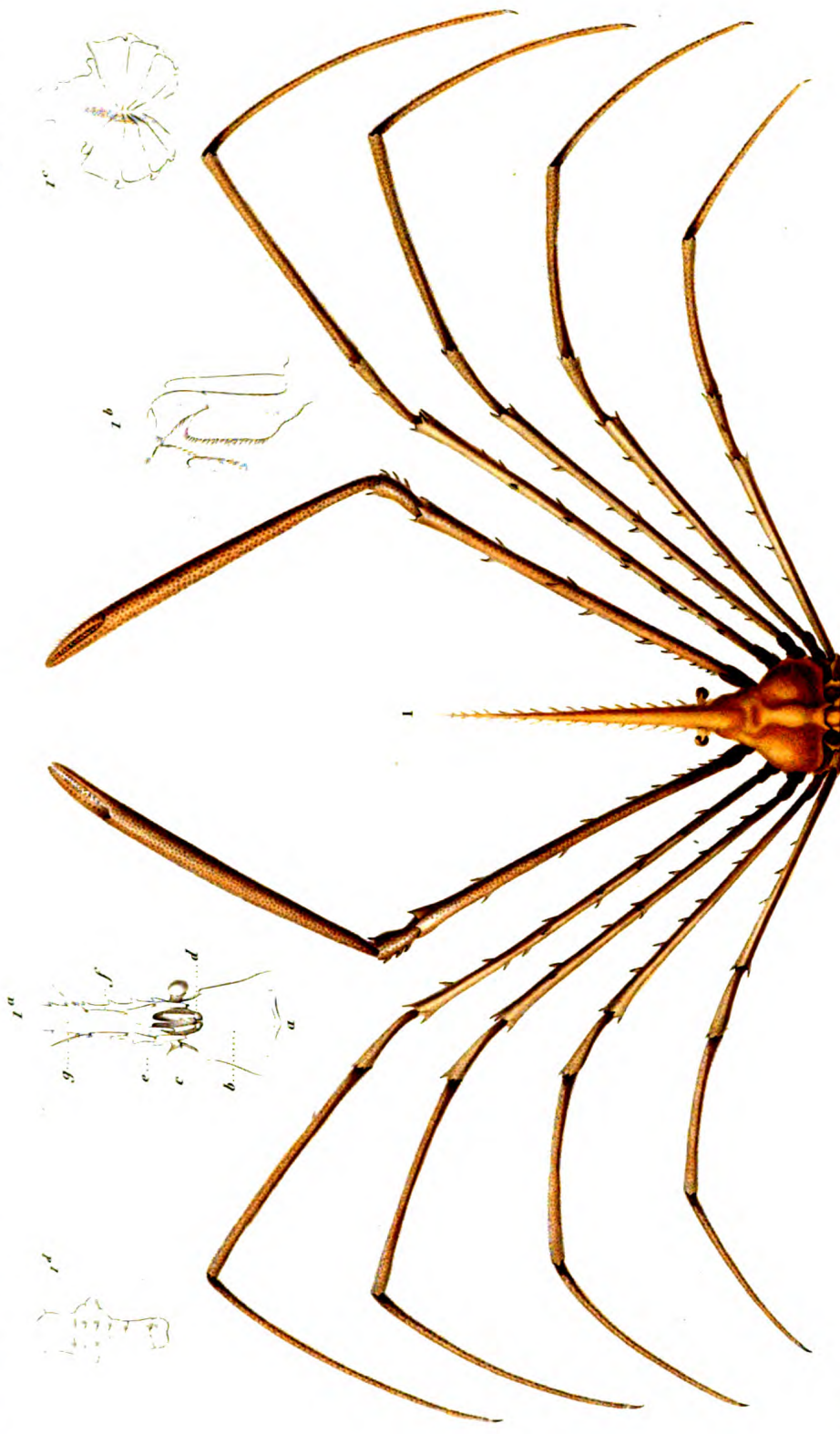
Fig. 1 a. Région antennaire.

a. Bord antérieur du cadre buccal. — *b.* Epistome. — *c.* Yeux. — *d.* Antenne interne repliée dans sa fossette. — *e.* Antenne interne du côté opposé étendue. — *f.* Antennes externes. — *g.* Portion du rostre.

Fig. 1 b. Patte mâchoire externe.

Fig. 1 c. Plastron sternal.

Fig. 1 d. Abdomen du mâle.



L. et V. del.

Forget sculp.

LEPTOPODIE SAGITTARE
Leptopodia sagittaria.

3. Armand imp.

DÉCAPODES BRACHYURES.

TRIANGULAIRES.

GENRE LITHODE. *Lithodes*. Latr.Fig. 1. LITHODE ARCTIQUE. *Lithodes arctica*. Latr.

Réduit au tiers de la grandeur naturelle. La tige terminale des antennes externes, ayant été cassée dans les divers individus dont nous avons pu disposer pour le dessin de cette planche, n'a été représentée qu'au trait.

Fig. 1 a. Extrémité antérieure de la carapace; vue en dessous.

a. Portion des régions ptérygostomiennes qui circonscrivent latéralement le cadre buccal. — b. Espace prélabial qui se continue sans interruption avec l'épistome. — c. Base de l'antenne externe. — c'. cadre articulaire de cet appendice. — d. Antenne interne. — d'. Son cadre articulaire. — e. Les yeux, dont les pédoncules ne s'insèrent pas dans des cavités orbitaires comme chez les Brachyures ordinaires.

Fig. 1 b. Patte-mâchoire externe.

La forme de cet organe rappelle ce qui se voit chez les Macroures.

Fig. 1 c. Mâchoire de la première paire.

Fig. 1 d. Plastron sternal.

a. a. Base des pattes. — b. Échancrure où s'insère l'abdomen.

Fig. 1 e. Patte de la cinquième paire.

Fig. 1 f. Abdomen.

Les *Lithodes* s'éloignent des Brachyures proprement dits par la position des ouvertures externes des oviductes, par la position des yeux, par la forme des pattes-mâchoires, par la disposition des branchies et par plusieurs autres caractères; ils nous paraissent devoir prendre place dans une division intermédiaire entre les Brachyures et les Macroures, division que nous avons établie sous le nom de *Décapodes anomoures*. (Voy. notre Histoire naturelle des Crustacés, t. II, p. 184.)

(D'après nature.)

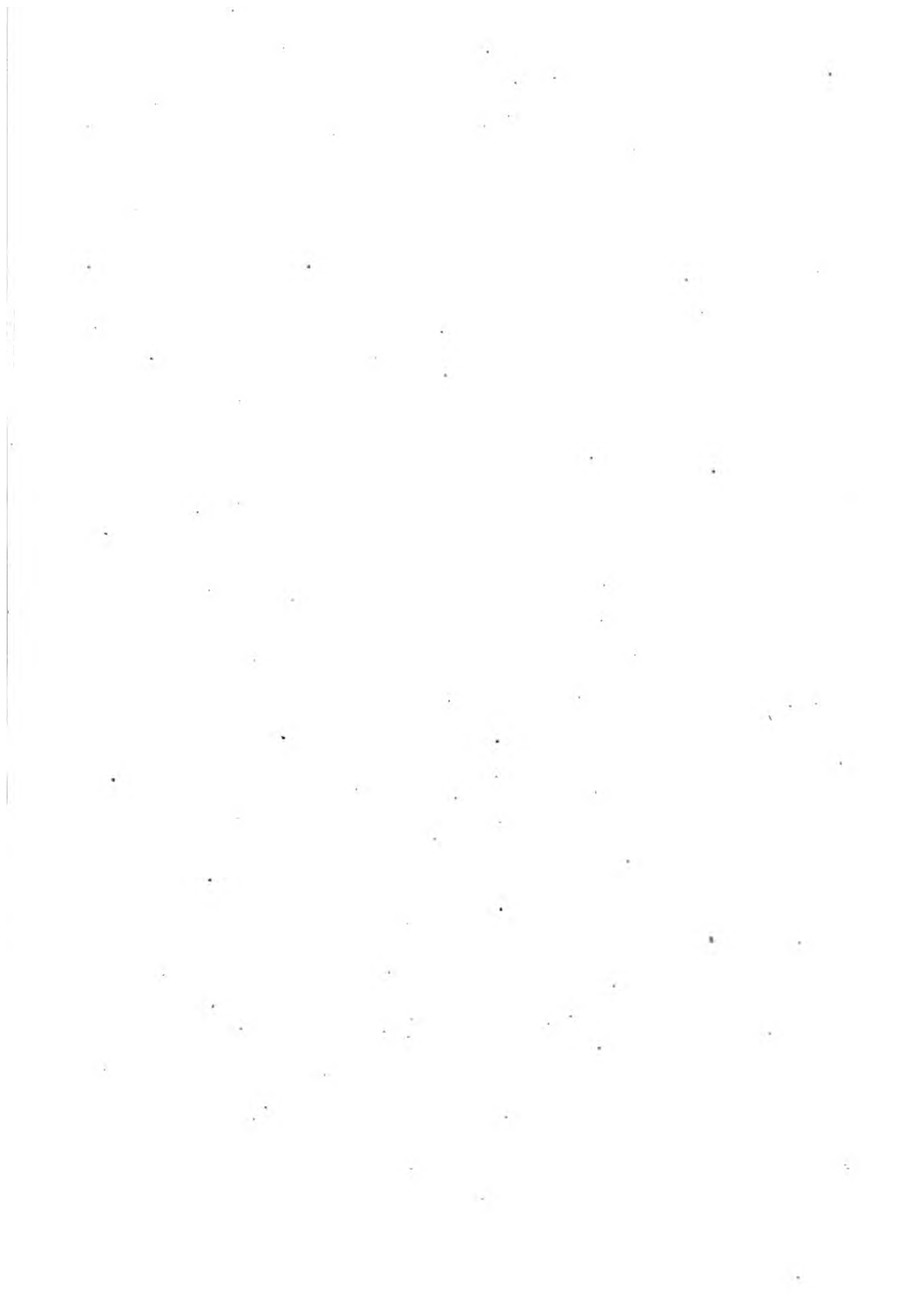


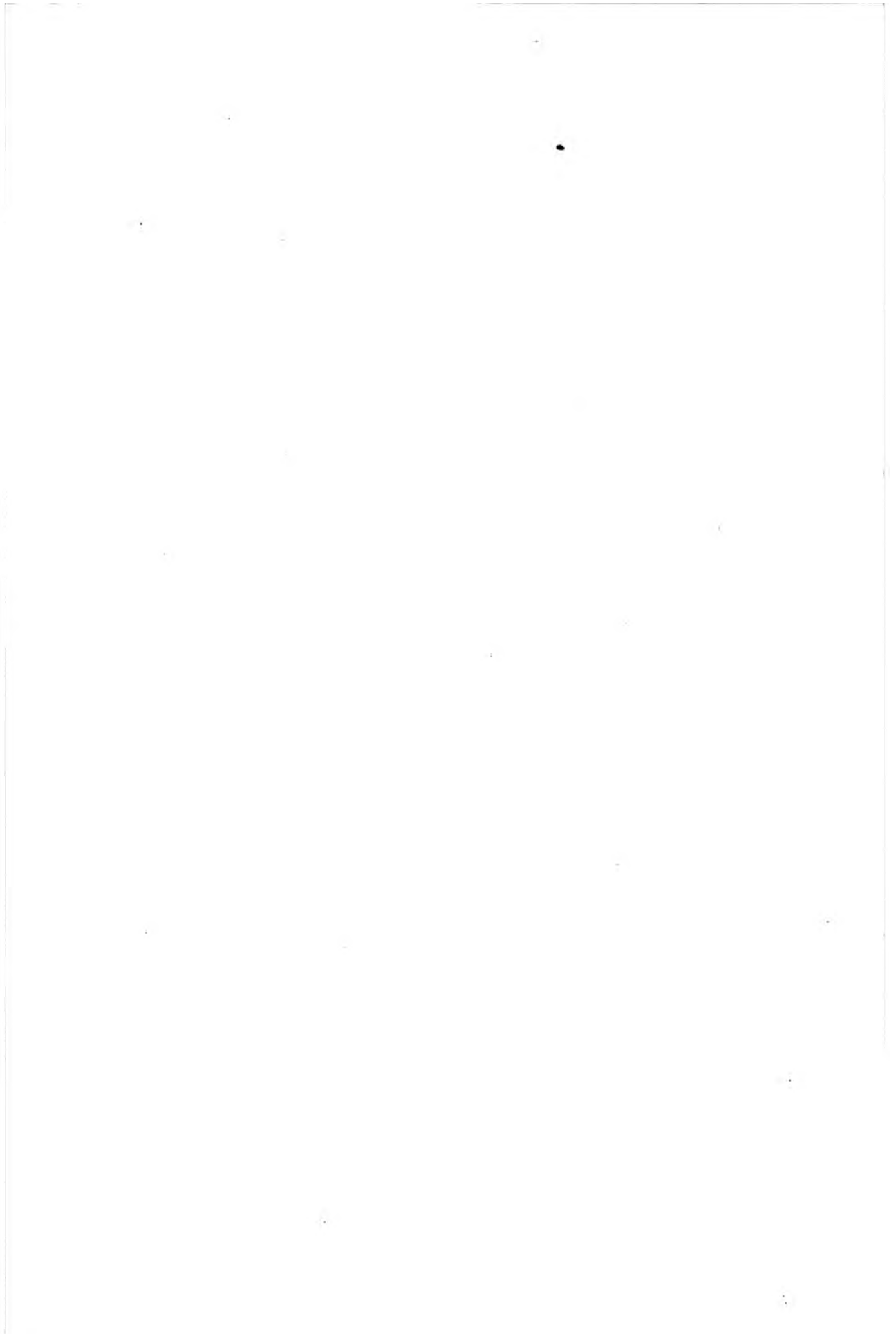
E. CUV.

Forster sc.

LITHODE ARCTICA E. (Lithodes arctica.)

Lithode arctica Forst.





DÉCAPODES BRACHYURES.

CRYPTOPODES.

GENRE CALAPPE OU MIGRANE. *Calappa*. Fabr.

Fig. 1. CALAPPE GRANULEUX. *Calappa granulata* Fabr. Réduit au 3/4 de la grandeur naturelle; la patte antérieure du côté droit est appliquée contre le devant du corps, et se voit à peine.

Fig. 1 a. Régions buccale et antennaire.

- a.* Région ptérygostomienne de la carapace et bords latéraux du cadre buccal. —
b. Espace prélabiale. — *c.* Mandibules et bouche. — *d.* Sillon naissant de l'orbite. —
e. Yeux. — *f.* Antennes externes. — *g.* Antennes internes.

Fig. 1 b. Antennes grossies.

- a.* Antenne interne. — *b.* Antenne externe.

Fig. 1 c. Patte-mâchoire de la première paire.

Fig. 1 d. Patte-mâchoire externe.

Fig. 1 e. Abdomen de la femelle.

Fig. 1 f. Main de l'une des pattes antérieures, vue par sa face externe.

GENRE ÆTHRE. *Æthra* Leach.

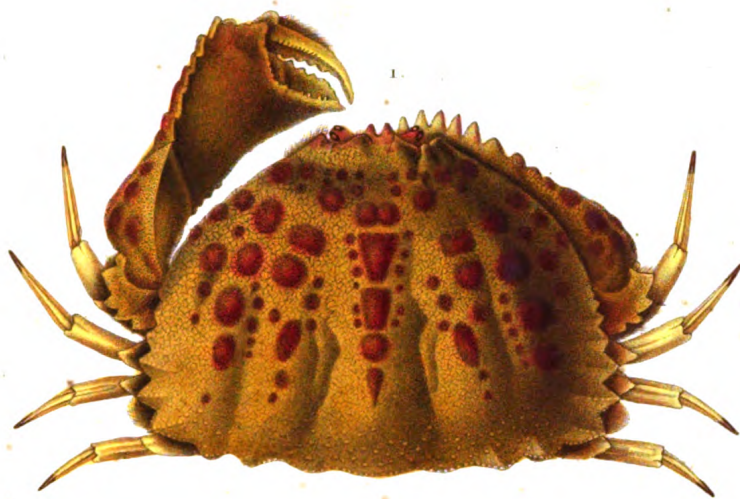
Fig. 2. ÆTHRE RUDE. *Æthra scruposa*. Réduit aux 2/3 de la grandeur naturelle.

Fig. 2 a. Régions buccale et antennaire.

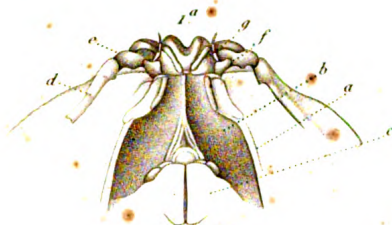
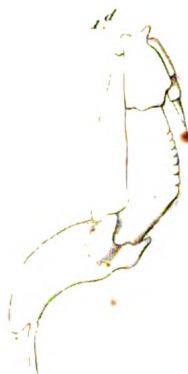
- a.* Pattes-mâchoires externes. — *b.* Échancrure du bord antérieure du cadre buccal. —
c. Antennes externes. — *d.* Antennes internes.

Si l'on compare cette figure avec la fig. 1 a, on verra que la structure de la bouche et de la portion antérieure du corps diffère beaucoup dans les genres Calappe et Æthre; dans le premier de ces groupes, la disposition de ces parties se rapproche beaucoup de ce qui se voit chez les Marsies (pl. 13, fig. 1 a) et les Matutes (pl. 7, fig. 1 a et 1 b), tandis que dans le second, elle est analogue à ce qui existe chez les Parthenopes, etc. (V. pl. 26).

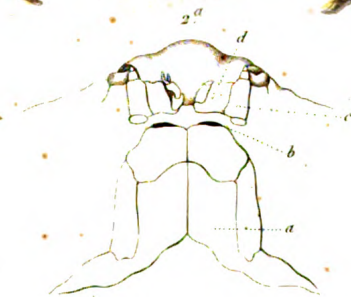
(D'après nature.)



1.



2.



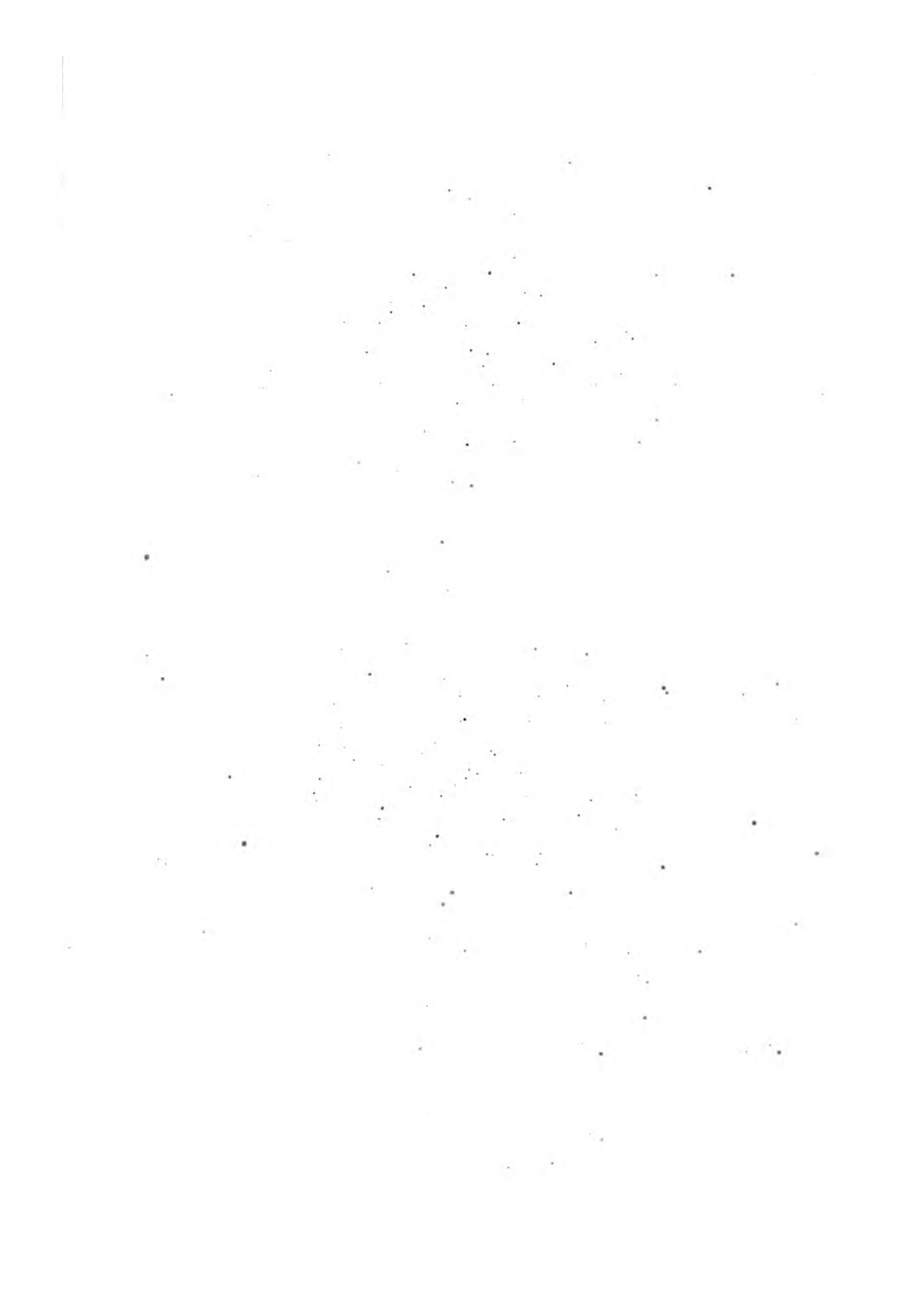
E. et V.

Giraud sc.

1. CALAPPE GRANULEUX. (*Calappa granulata*.)

2. ÆTHRE RUPE. (*Aethra scruposa*.)

Reproduced from





DÉCAPODES BRACHYURES.

NOTOPODES.

GENRE DORIPPE. *Dorippe*. Fabricius.

Fig. 1. DORIPPE LAINEUX. Dorippe lanata. De grandeur naturelle. Les poils ont été enlevés sur la moitié gauche de la carapace.

Fig. 1 a. Portion antérieure de la carapace vue en dessous.

a. Bouche. — *b* Extrémité du canal déférent de l'appareil respiratoire. — *c.* Lame de la patte mâchoire antérieure complétant en dessous ce canal. — *d.* Région ptérygostomiennne. — *e.* Orifice afférent de l'appareil respiratoire. — *f.* Insertion des pattes antérieures.

Fig. 1 b. Pattes mâchoires externes.

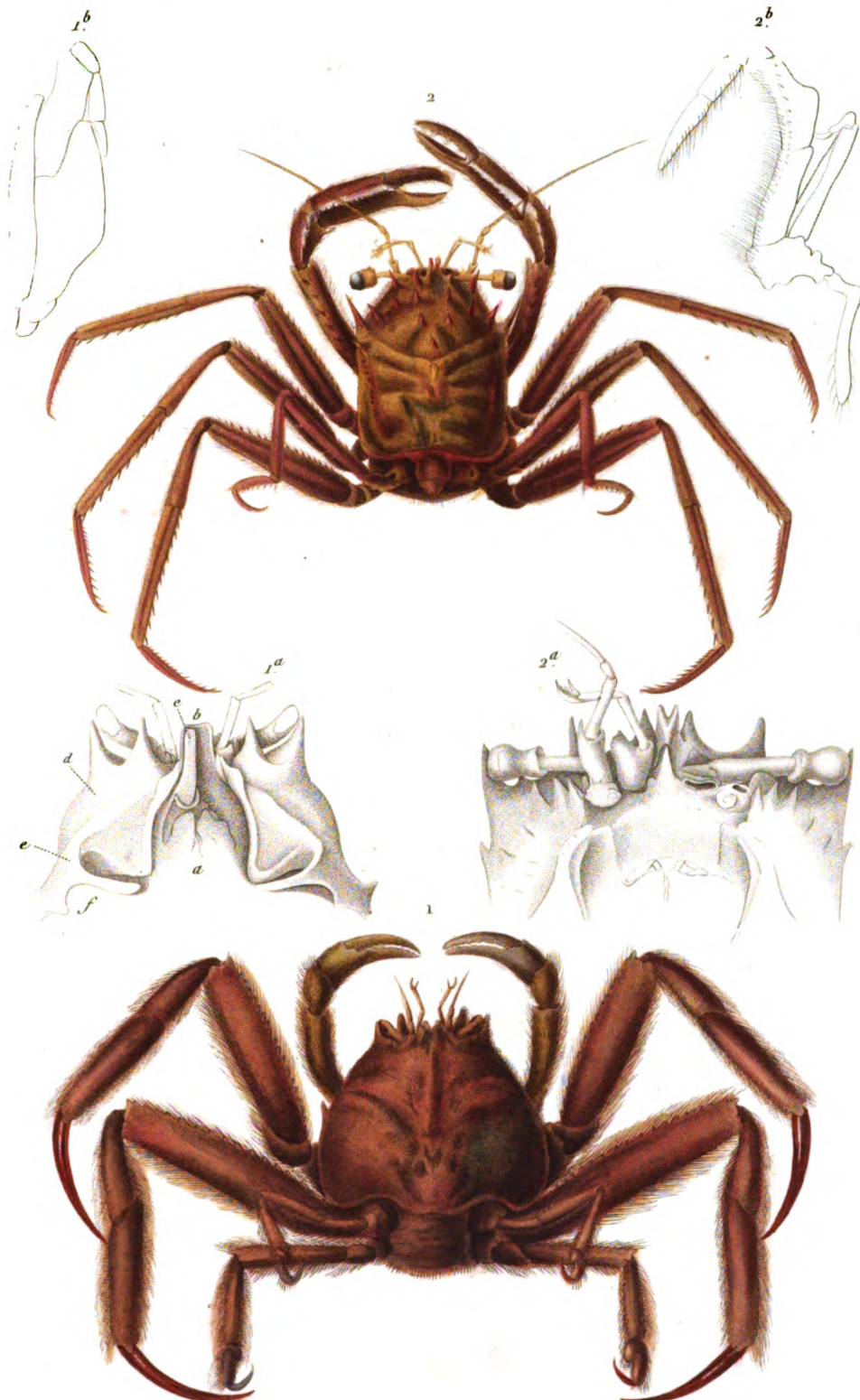
GENRE HOMOLE. *Homola*. Leach.

Fig. 2. HOMOLE FRONT ÉPINEUX. Homola spinifrons. Leach. De grandeur naturelle.

Fig. 2 a. Portion antérieure de la carapace vue en dessous; du côté gauche les antennes ont été enlevées pour faire voir l'insertion du pédoncule oculaire.

Fig. 2 b. Patte mâchoire externe.

(*D'après nature.*)

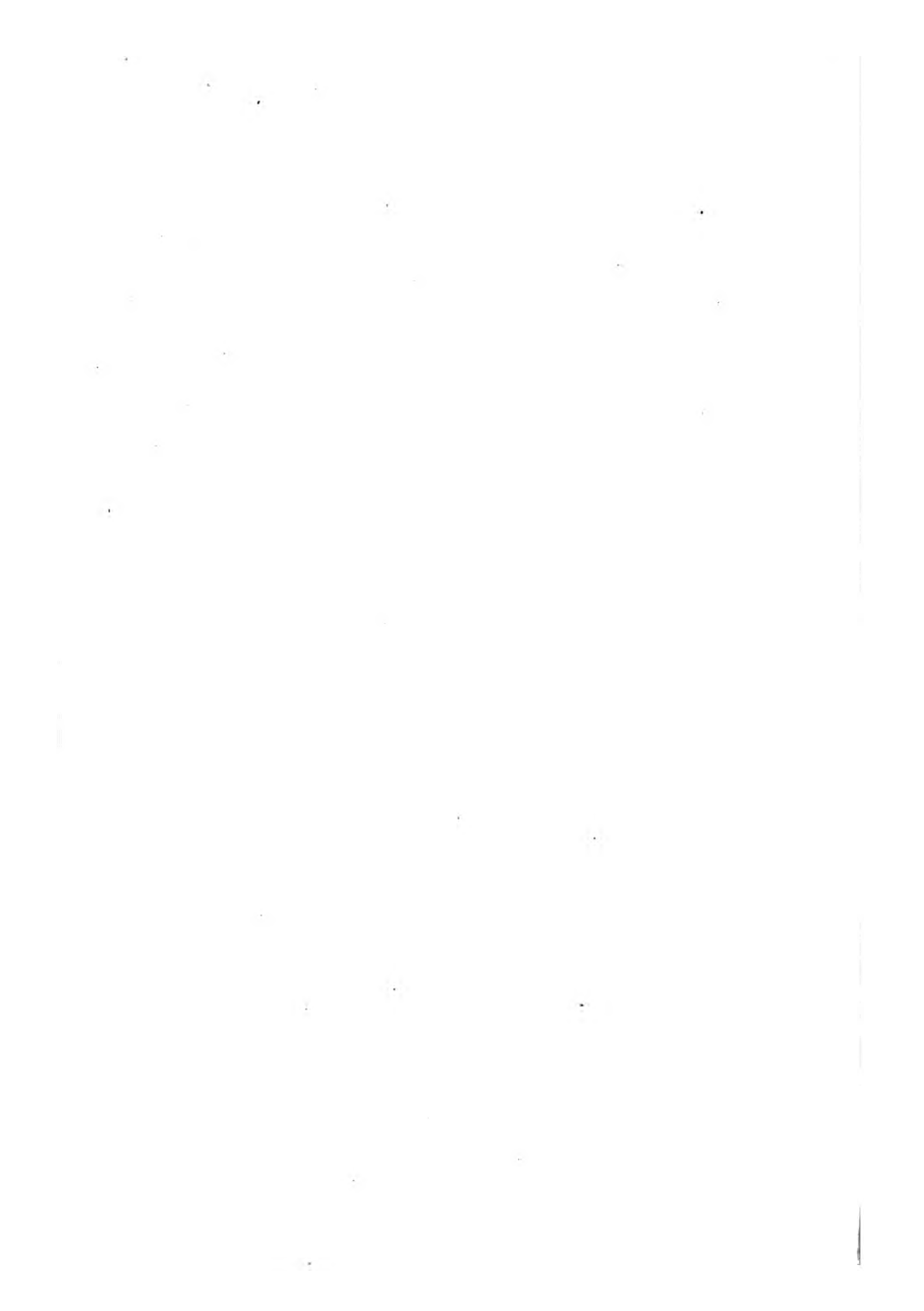


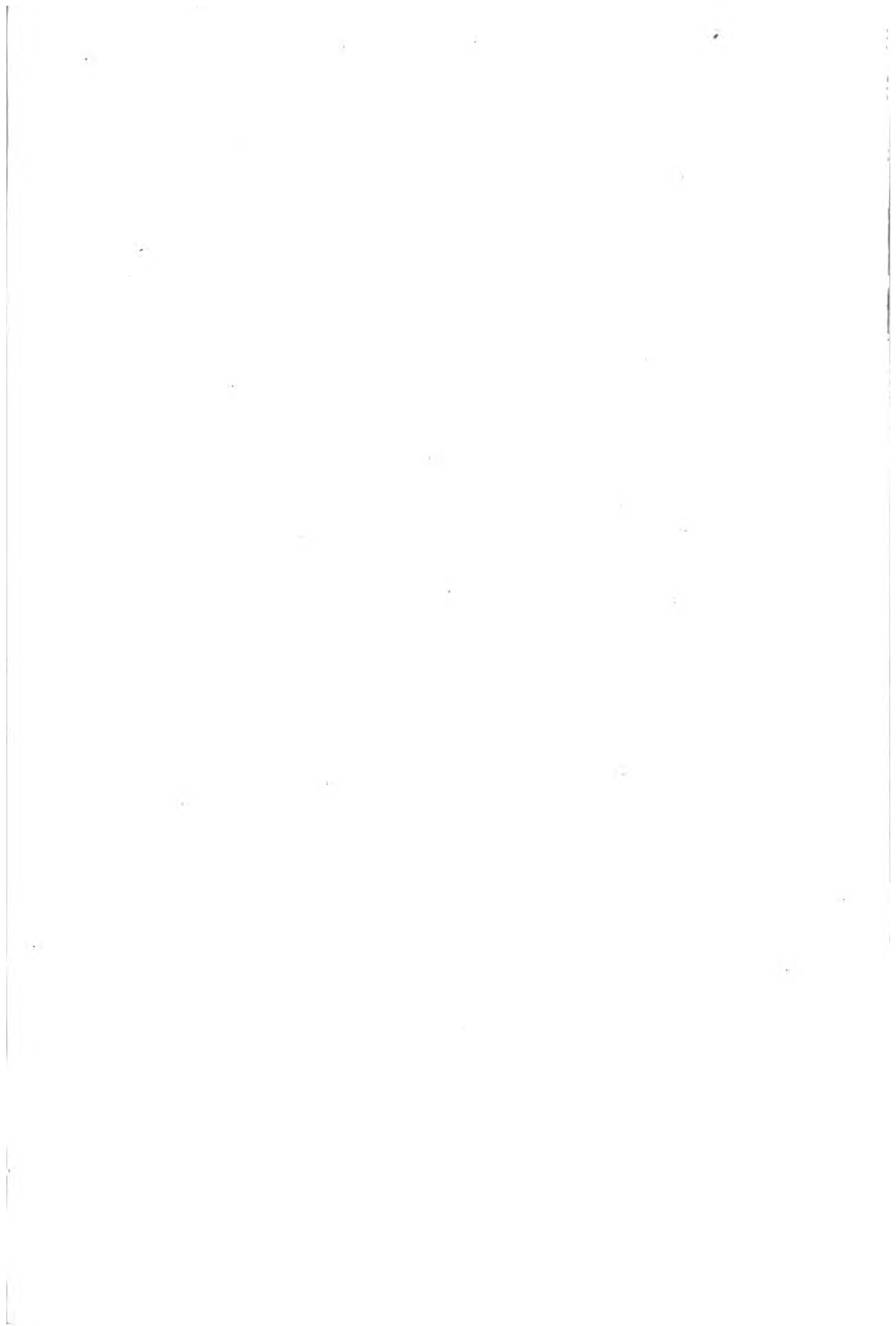
E.

Visto sc

1. *DORIPPE LAINEUX* (Dorippe lanata .)
 2. *HOMOLE FRONT-EPINEUX* (Homola spinifrons)

N Remond imp.





DÉCAPODES BRACHYURES.

NOTOPODES.

GENRE DROMIE. *Dromia*. Fabricius.

Fig. 1. DROMIE COMMUNE. *Dromia vulgaris*, Edw. *Cancer dromia*, Olivi ; *Dromia rumphii*, Lamarck, Desmarest, etc.

Linné, Latreille et plusieurs autres naturalistes paraissent avoir confondu cette espèce avec celle décrite par Rumph, et à laquelle nous conservons le nom de *Dromia Rumphi*. La DROMIE TÊTE DE MORT (*Cancer caput mortuus*. Lin.) paraît être le jeune âge de cette espèce.

Fig. 1 a. Portion antérieure du corps, vue en dessous.

a. Pattes-mâchoires. — b. Tubercule auditif. — c. Tige terminale des antennes externes. — d. Antenne interne.

Fig. 1 b. Mâchoire de la première paire, grossie.

Fig. 1 b' Mâchoire de la seconde paire.

Fig. 1 c. Patte-mâchoire de la première paire dont le fouet est tronqué.

Fig. 1 d. Patte-mâchoire de la seconde paire.

a. Branche interne ou tige principale. — b. Palpe. — c. Fouet. — d. Branchie.

Fig. 1 e. Patte-mâchoire externe.

a. Branche interne. — b. Palpe. — c. Fouet. — d. Branchie rudimentaire.

Fig. 1 f. Thorax, vu en dessous.

a. Plastron sternal. — b. Echancre abdominale. — c, c. Cellules des flancs servant à l'insertion des pattes.

Fig. 1 g. Le même, vu en dessus.

a. Voûte des flancs — b, b, b, b. Trous servant à l'insertion des branchies. — c. Canal sternal. — d. Selle turcique postérieure. — e. Voûte formée par la réunion des cloisons latérales et complétant en avant le canal sternal.

Fig. 1 h. Appareil branchial du côté gauche.

a. Patte-mâchoire externe. — b. Base des pattes. — c. Branchies thoraciques. — d. Branchie de la patte-mâchoire de la seconde paire.

Fig. 1 i. Patte de la troisième paire d'un individu femelle. Les vulves (a), au lieu d'être situées sur le plastron sternal comme chez les Brachyures proprement dits, occupent la base des pattes de la troisième paire comme chez les Macroures.

On voit par les figures précédentes que les branchies sont disposées par faisceaux et sur plusieurs rangs comme chez la plupart des Macroures, caractère qui, de même que la position des vulves et la structure du thorax, contribue à éloigner les Dromies des Brachyures ordinaires, et à les rapprocher des Alburnées les Rémipides et des autres Décapodes dont nous avons formé la section des Anomoures.

Fig. 1 j. Abdomen du mâle, vu en dessous.

a. Appendice de la première paire. — b. Appendice de la seconde paire. — c. Anus. — d. Extrémité supérieure de la cavité abdominale.

Fig. 1 k. Le même, vu de profil.

a. Premier anneau de l'abdomen. — b. Ses appendices. — c. Second anneau. — d. Ses appendices.

Fig. 1 l. Appendice abdominal de la seconde paire.

Fig. 1 m. Extrémité de l'abdomen, vu en dessus, et montrant les vestiges des appendices du sixième anneau (c), situés entre cet anneau (a) et le septième (b).

GENRE DYNAMÈNE. *Dynomene*. Latreille.

Fig. 2. DYNAMÈNE HISPIDE. *Dynomene hispida*. Latr. De grandeur naturelle.

Fig. 2 a. Région antennaire grossie.

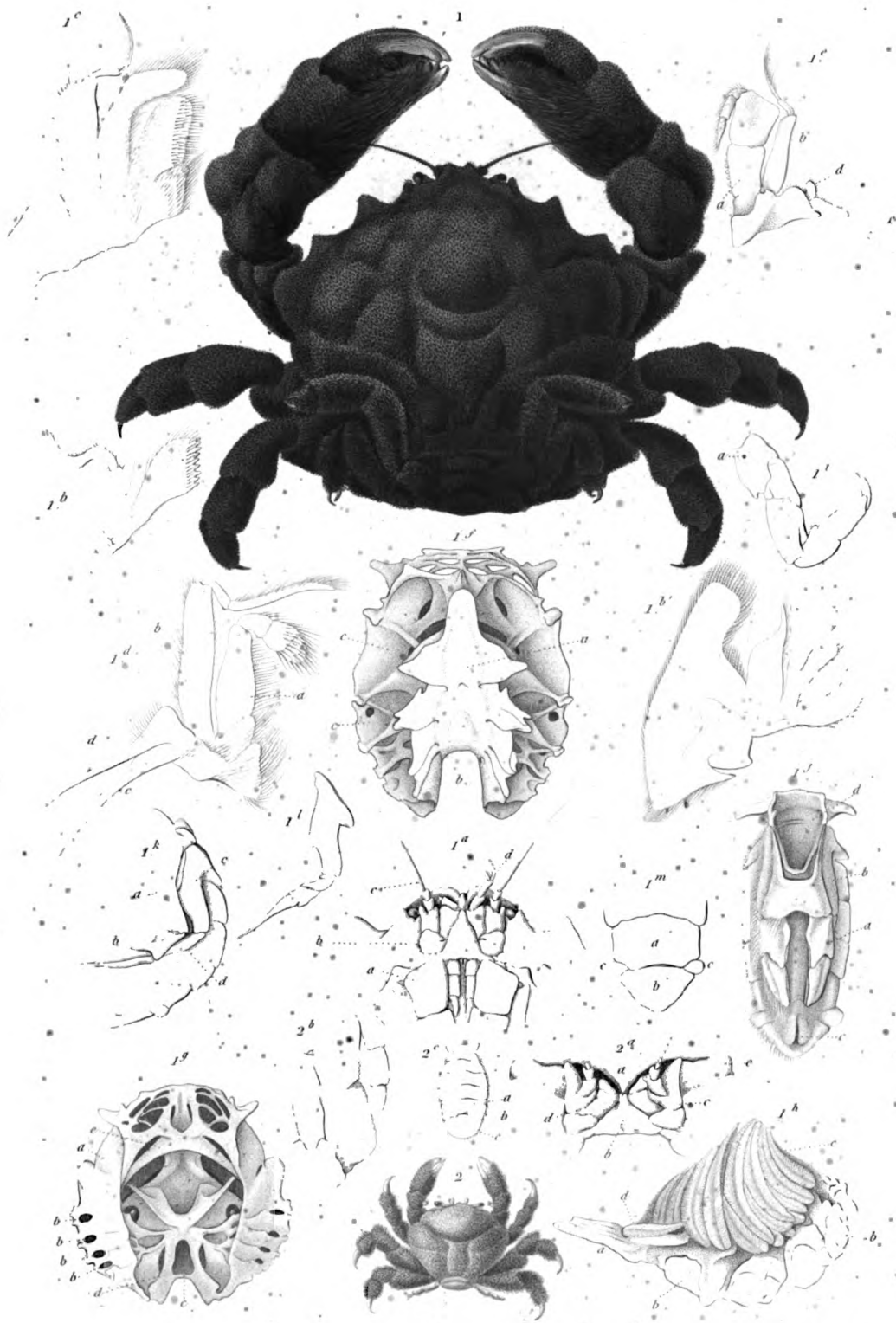
a. Front. — b. Epistome. — c. Antennes externes. — d. Antennes internes reployées. — e. Yeux.

Fig. 2 b. Patte-mâchoire externe grossie.

Fig. 2 c. Abdomen grossi.

a. Sixième anneau. — b. Vestiges de ses appendices. — c. Septième anneau.

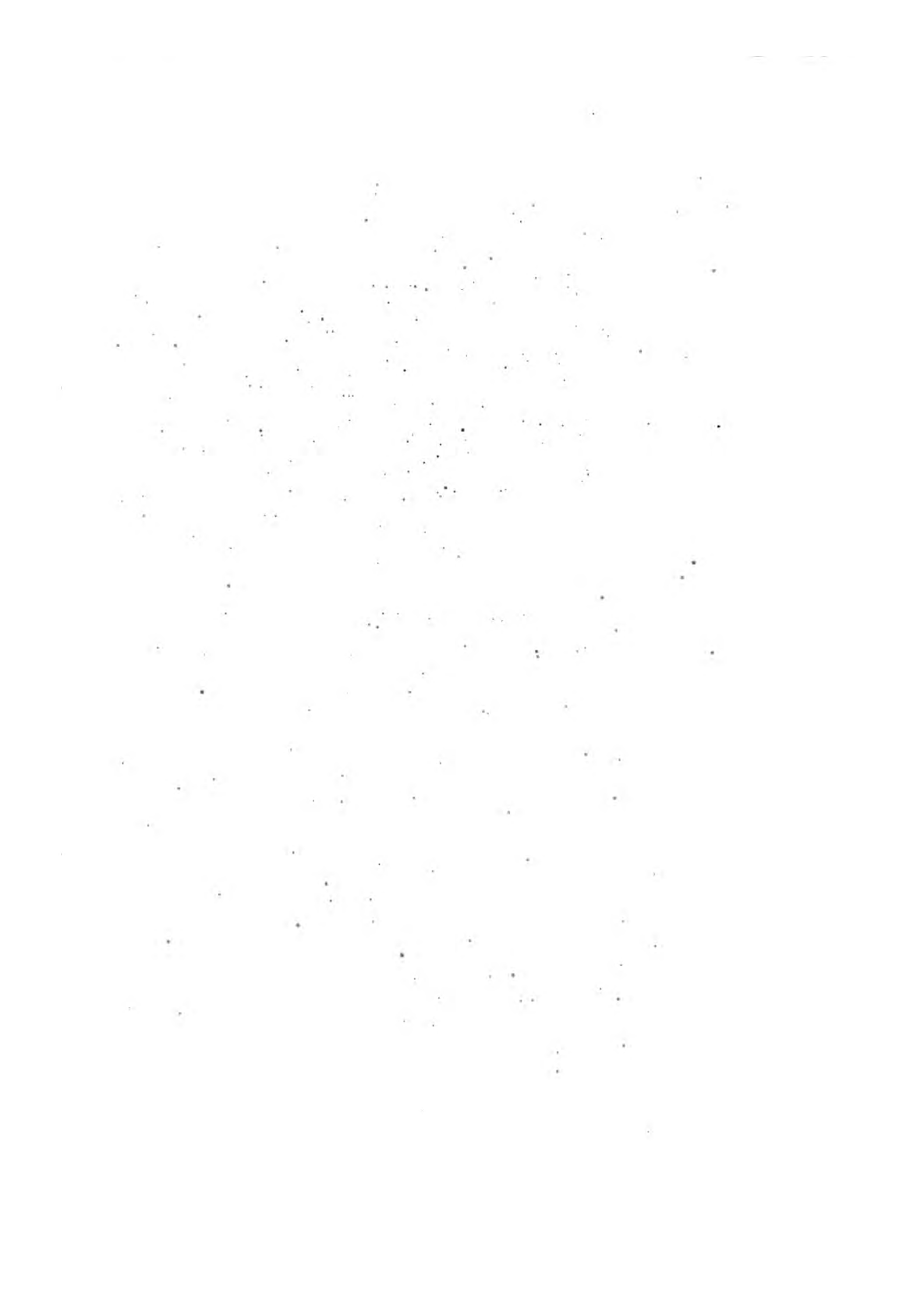
(D'après nature).

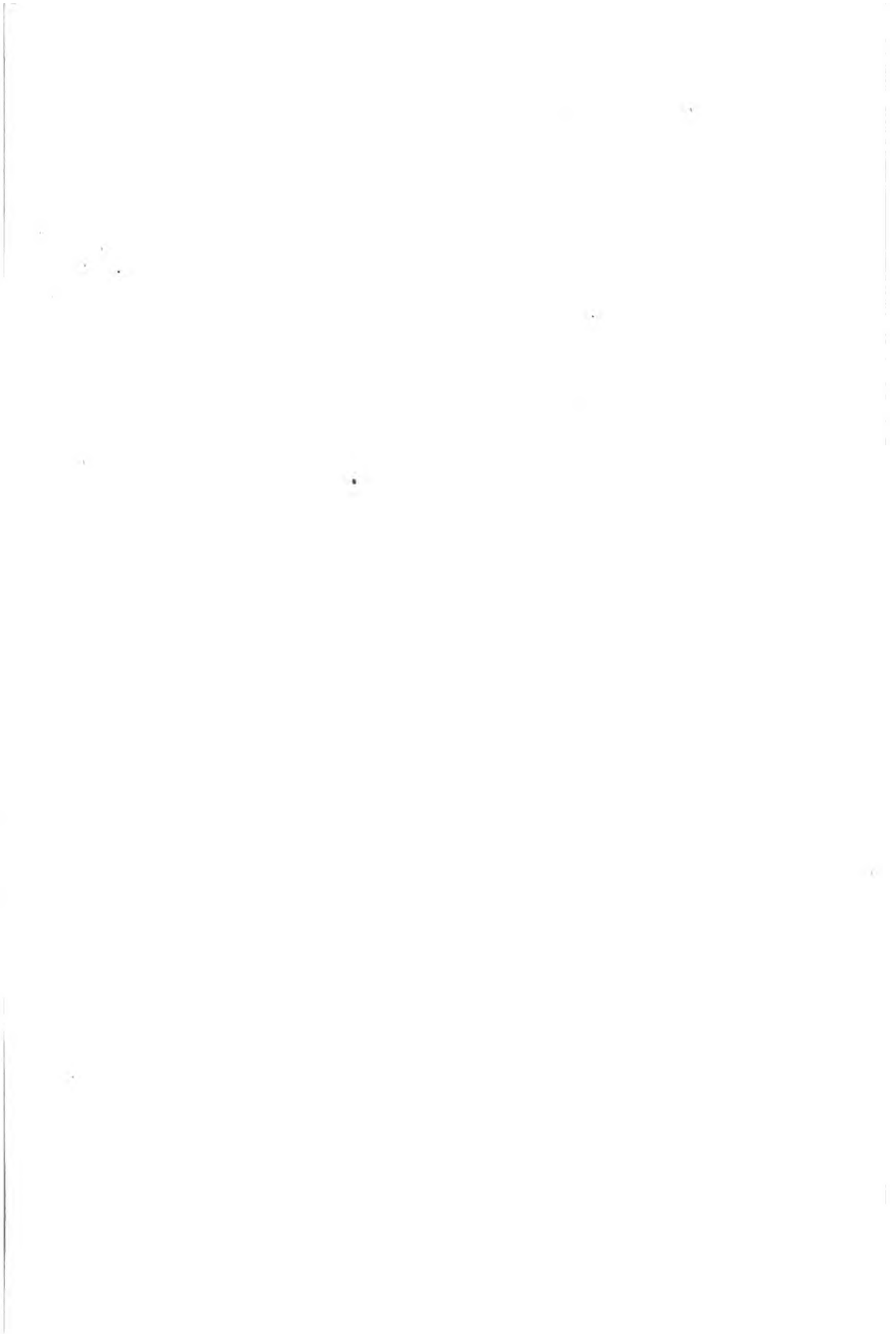


Forget sc.

1. *DROMIE COMMUNE*. (*Dromia vulgaris*)
 2. *DYNAMÈNE HISPIDE*. (*Dynomene hispida*)

Revue scientifique





DÉCAPODES BRACHYURES.

NOTOPODES.

GENRE RANINE. *Ranina*. Lamarck.

Fig. 1. RANINE DENTÉE. *Ranina dentata*. Lamk. Réduit de moitié. (D'après un individu mâle).

Fig. 1 a. Portion antérieure du corps, vue en dessous.

a. Antennes internes. — *b.* Antennes externes. — *c.* Yeux. — *d.* Pattes-mâchoires externes. — *e.* Régions ptérygostomiennes. — *f.* Base des pattes antérieures.

Fig. 1 b. Région antennaire grossie.

a. Antenne interne repliée. — *b.* Antenne externe; du côté opposé on a enlevé ces organes pour montrer la conformation du pédoncule oculaire et de l'orbite.

Fig. 1 c. Antenne interne.

Fig. 1 d. Mandibule vue par la face interne.

Fig. 1 e. Mâchoire de la seconde paire.

Fig. 1 f. Pattes-mâchoires de la première paire.

a. Lame interne. — *b.* Appendice lamelleux représentant le palpe. — *c.* Appendice flabelliforme.

Fig. 1 g. Pattes-mâchoires de la seconde paire.

a. Tige. — *b.* Palpe. — *c.* Fouet. — *d.* Branchie.

Fig. 1 h. Thorax, vu en dessous.

La disposition du thorax est très différente de ce qui existe chez les Brachyures ordinaires; le sternum au lieu d'être très large dans toute sa longueur devient linéaire entre les pattes des quatre dernières paires.

s. Plastron sternal. — *e. e.* Trous qui reçoivent la base des pattes et qui laissent voir les cellules des flancs.

Fig. 1 i. Le même, vu en dessus.

a. Aileron donnant insertion aux appendices de la bouche. — *f.* voûte des flancs. — *c.* Voûte du canal sternal. — *t.* Selle turcique postérieure.

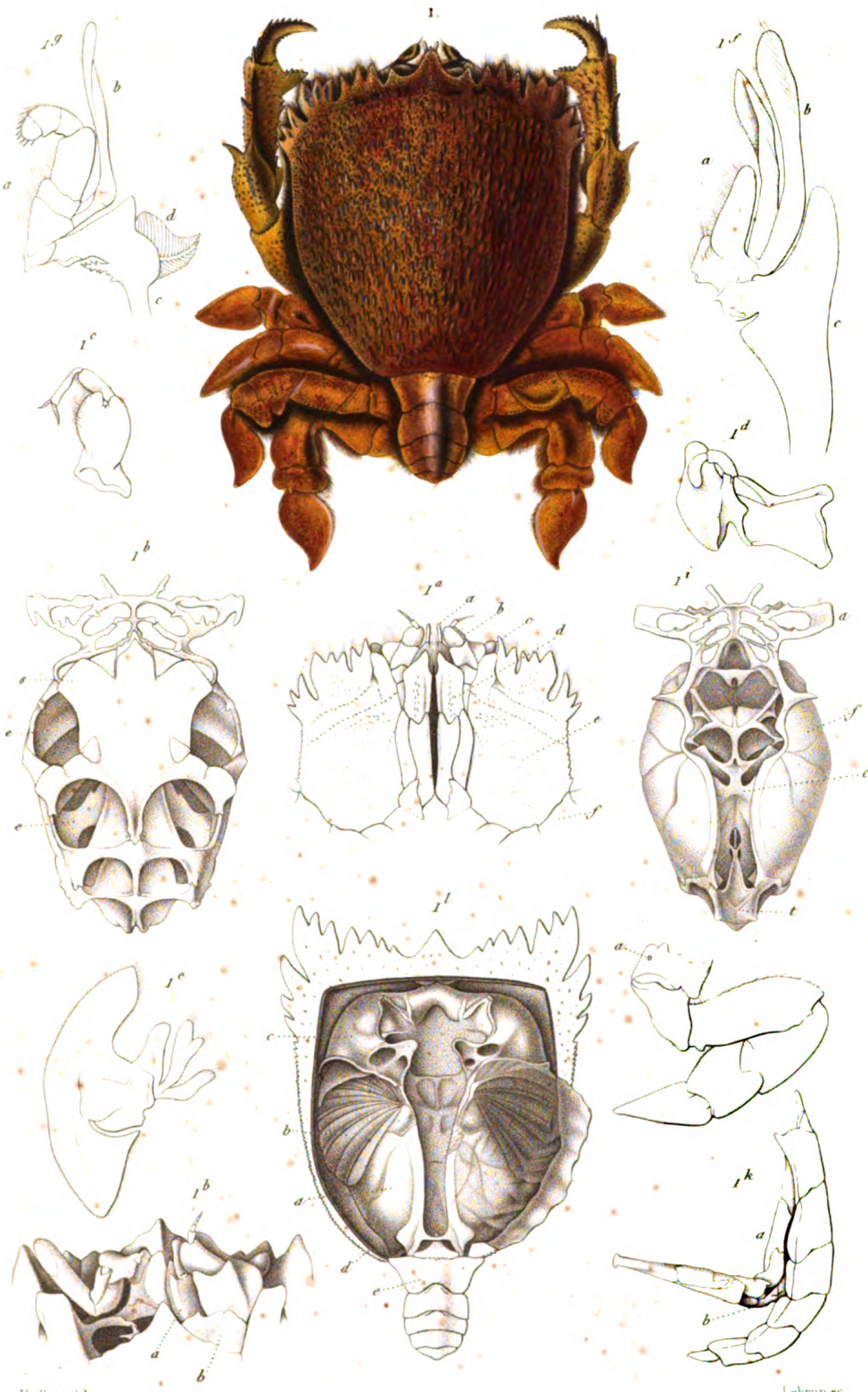
Fig. 1 j. Pattes de la troisième paire chez la femelle pour montrer l'ouverture des oviductes (*a*) qui, au lieu d'occuper le sternum comme chez les Brachyures ordinaires, est placée à la base de la troisième patte comme chez les Macroures, caractère qui est commun à tous les Décapodes dont nous avons formé la division des Anomoures (Voyez les Annales des Sciences Naturelles, tome 25, pag. 298.)

Fig. 1 k. Abdomen du mâle, vu de profil.

a. Appendice de la première paire. — *b.* Sont des appendices de la seconde paire dont l'extrémité est cachée dans la portion tubulaire des appendices de la première paire.

Fig. 1 l. Appareil de la respiration mis à découvert en enlevant la portion supérieure de la carapace et les viscères. Du côté droit on a laissé en place la membrane qui tapisse la voûte de la cavité respiratoire, tandis que du côté opposé on l'a enlevée.

a. Voûte des flancs. — *b.* Branchies. — *c.* Voûte du canal efférent. — *d.* Canal afférent. L'eau nécessaire à la respiration au lieu de pénétrer dans la cavité branchiale par une ouverture située au devant de la base des pattes antérieures comme chez la plupart des Brachyures y arrive par une gouttière (*d*) qui aboutit au dehors sous la base de l'abdomen (*e*).

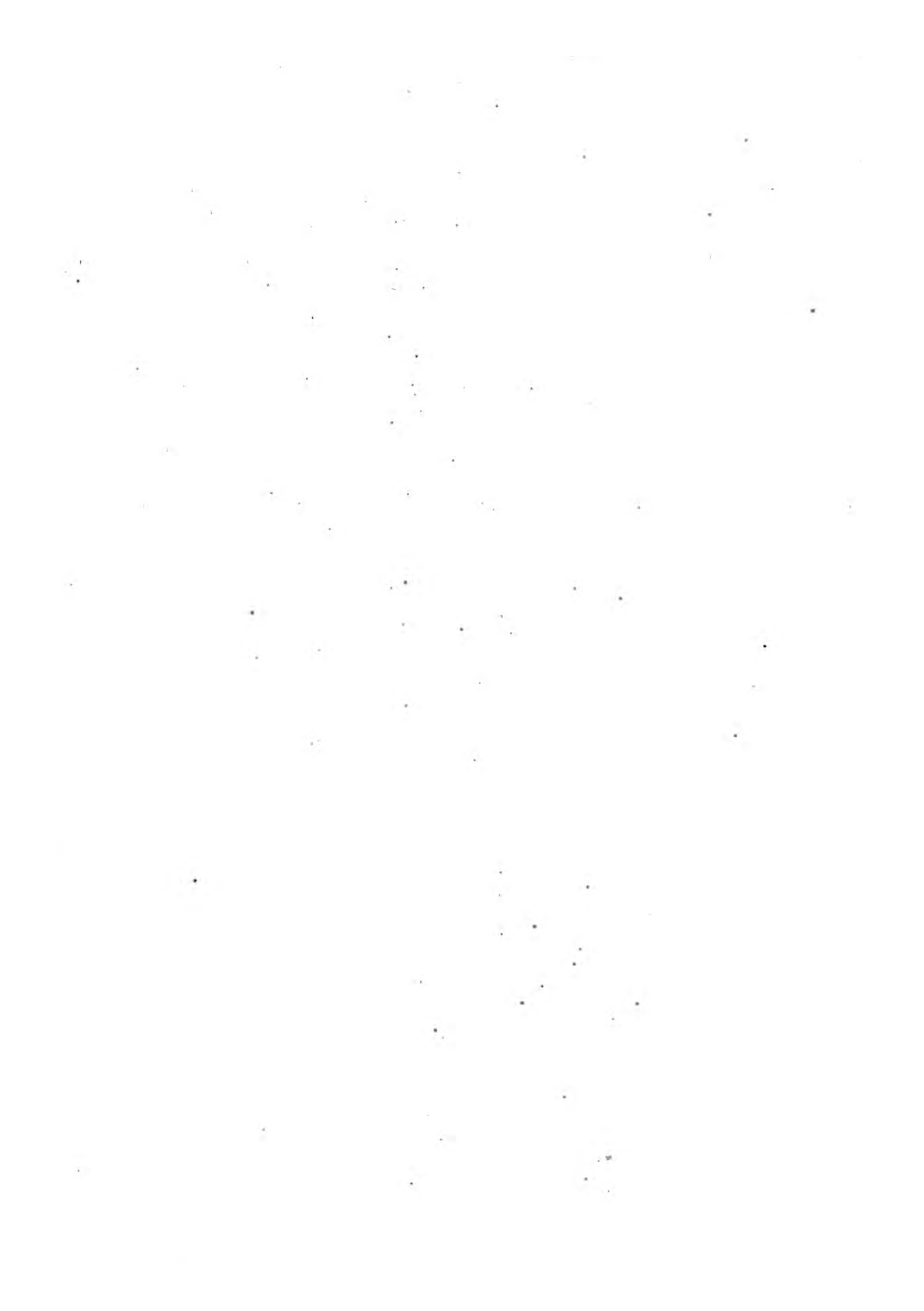


Vallant del.

Lebrun sc.

RANINE DENTÉE (Ranina dentata)

J. Crustacés



DÉCAPODES MACROURES.

ANOMAux.

GENRE RÉMIPÈDE. *Remipes*. Latreille.

Fig. 1. RÉMIPÈDE TORTUE. *Remipes testudinarius*. Latr. De grandeur naturelle. L'abdomen est replié en-dessous dans sa position ordinaire.

Fig. 1 a. La même espèce, vue en-dessous avec l'abdomen étendu.

a. Pattes-mâchoires externes. — *b.* Pattes thoraciques de la première paire. — *c.* Pattes de la seconde paire. — *d.* Pattes de la troisième paire. — *e.* Pattes de la quatrième paire. — *f.* Pattes de la cinquième paire. — *g.* Dernier segment de l'abdomen. — *h.* Appendices du pénultième anneau abdominal.

Fig. 1 b. Antenne de la première paire, ou antenne interne très grossie.

a. Article basilaire. — *b, c.* Second et troisième articles du pédoncule. — *d, e.* Les deux filets multi-articulés qui terminent ces organes.

Fig. 1 b'. Quelques articles de la tige terminale *d* grossis davantage pour montrer la disposition des poils dont ils sont garnis.

Fig. 1 c. Antennes externes, beaucoup plus courtes que les précédentes.

Fig. 1 d. Mandibules (ces organes sont dépourvus d'appendice palpiforme).

Fig. 1 e. Mâchoire de la première paire.

Fig. 1 f. Mâchoire de la seconde paire.

a. Portion interne. — *b.* Lame valvulaire.

Fig. 1 g. Pattes-mâchoires de la première paire.

a. Article basilaire. — *b.* Lame interne. — *c.* Palpe.

Fig. 1 h. Patte-mâchoire de la seconde paire.

Fig. 1 i. Patte-mâchoire externe, moins grossie.

a. Article basilaire. — *b.* Troisième article. — *c.* Quatrième article. — *d.* Dernier article; il n'existe ni palpe ni fouet.

Fig. 1 j. Patte thoracique de la cinquième paire.

Fig. 1 k. Base de cette patte chez les individus mâles.

a. Article basilaire. — *b.* Appendice. — *c.* Portion du troisième article.

GENRE HIPPE. *Hippa*. Fabricius.

Fig. 2. HIPPE ÉMÉRITE. *Hippa emerita*. Fabr. De grandeur naturelle. L'abdomen replié en dessous dans sa position ordinaire.

Fig. 2 a. L'abdomen étendu.

a. Premier article. — *b.* Dernier segment. — *c.* Pédoncule des appendices du pénultième anneau. — *d.* Lames terminales de ces appendices.

Fig. 2 b. Antenne interne grossie.

Fig. 2 c. Patte-mâchoire de la première paire.

a. Lame interne. — *b.* Palpe lamelleux.

Fig. 2 d. Patte-mâchoire de la seconde paire.

Fig. 2 e. Patte-mâchoire externe, de grandeur naturelle.

Fig. 2 f. Patte antérieure.

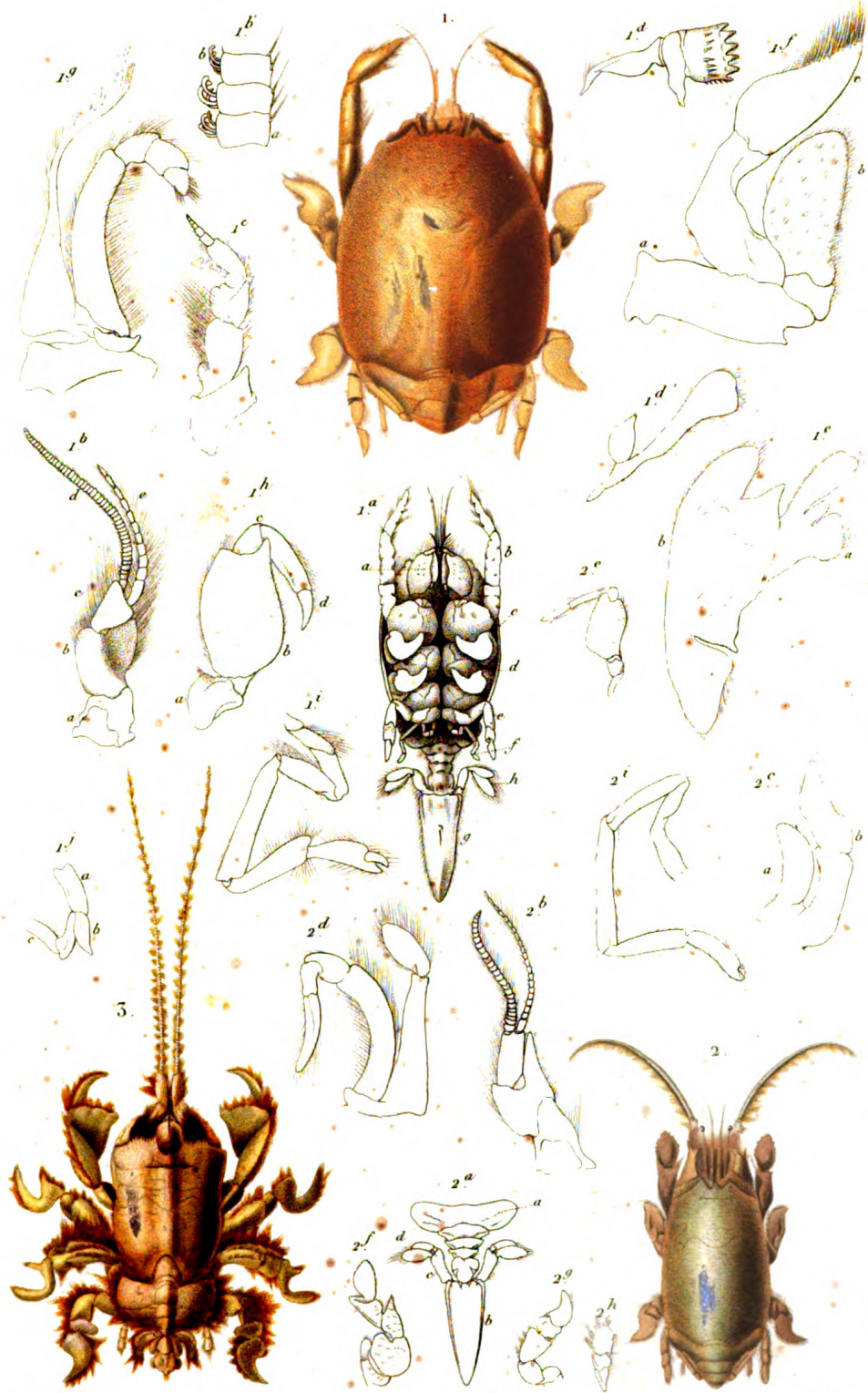
Fig. 2 g. Patte de la deuxième paire.

Fig. 2 h. Patte de la quatrième paire.

Fig. 2 i. Patte de la cinquième paire, grossie.

GENRE ALBUNÉE. *Albunea*. Fabricius.

Fig. 3. ALBUNÉE SYMNISTE. *Albunea symnista*. Fabr. De grandeur naturelle.



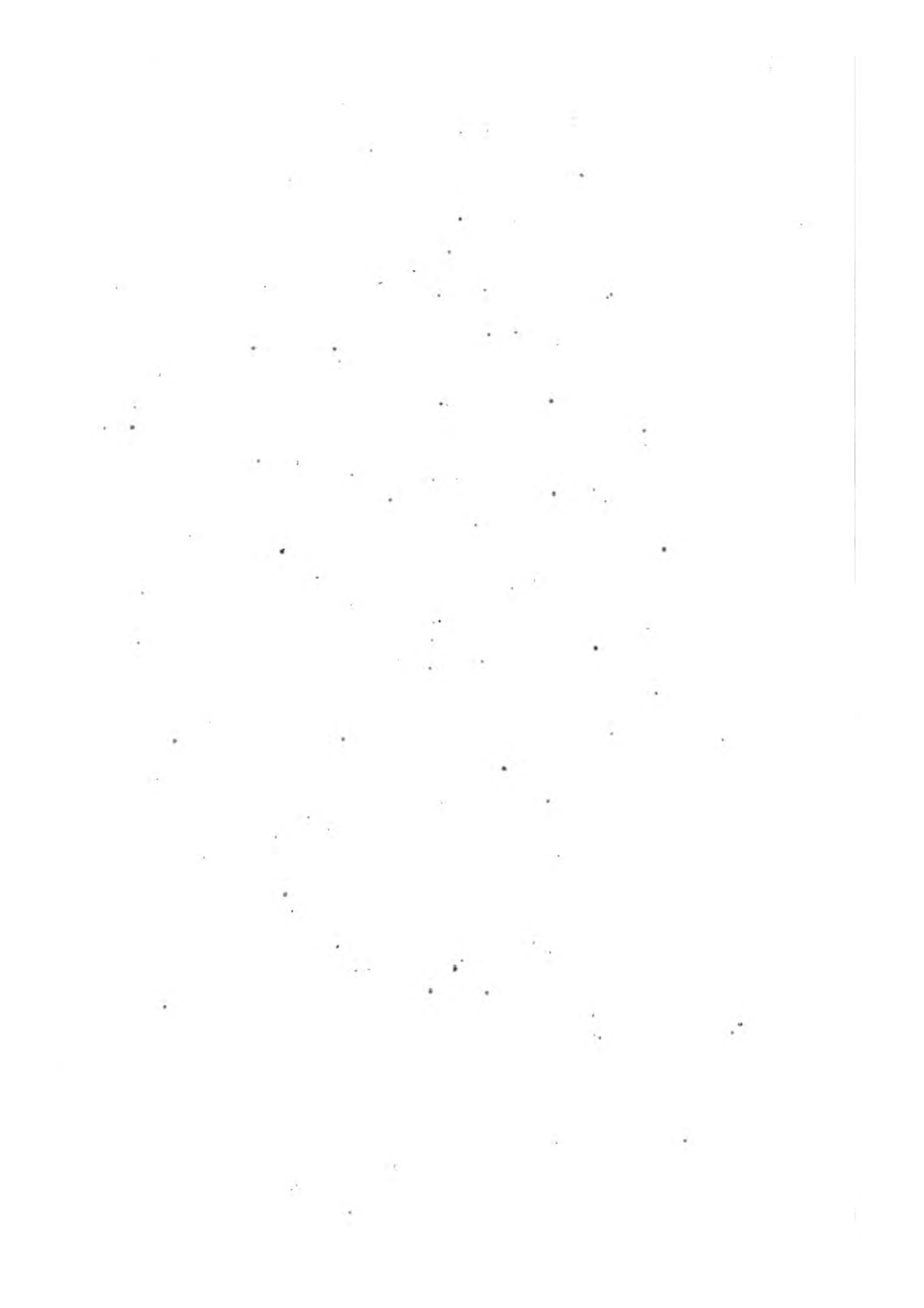
Edw. et Vaillant del.

Ondet sc.

1. REMIPEDE TORTUE (Remipes testudinarius)

2. HIPPE EMERITE. (Hippe emerita)

3. ALBUNÉE SYMNISTE. (Albunea symnista)





DÉCAPODES MACROURES.

ANOMAux.

PAGURIENS.

GENRE BIRGUS. *Birgus*. Leach.

Fig. 1. BIRGUS LARRON. *Birgus latro*. Leach. Réduit au quart de la grandeur naturelle.

Fig. 1 a. Portion céphalo-thoracique du corps, vue de profil.

a. Carapace. — *b.* Yeux. — *c.* Antenne de la première paire. — *d.* Antenne de la seconde paire. — *e.* Patte-mâchoire externe. — *f.* Base des pattes.

Fig. 1 b. Patte-mâchoire externe.

Fig. 1 c. Patte-mâchoire de la seconde paire.

Fig. 1 d. Patte-mâchoire antérieure.

Fig. 1 e. Mâchoire de la seconde paire.

Fig. 1 f. Thorax, vu en dessous.

Fig. 1 g. Abdomen de la femelle, vu en dessous.

a. Base de l'abdomen. — *b.* Septième segment. — *c.* Sixième segment portant une paire d'appendices. — *d.* Appendices impaires des 2^e, 3^e et 4^e segments.

GENRE GLAUCOTHOE. *Glaucothoe*. Edw.

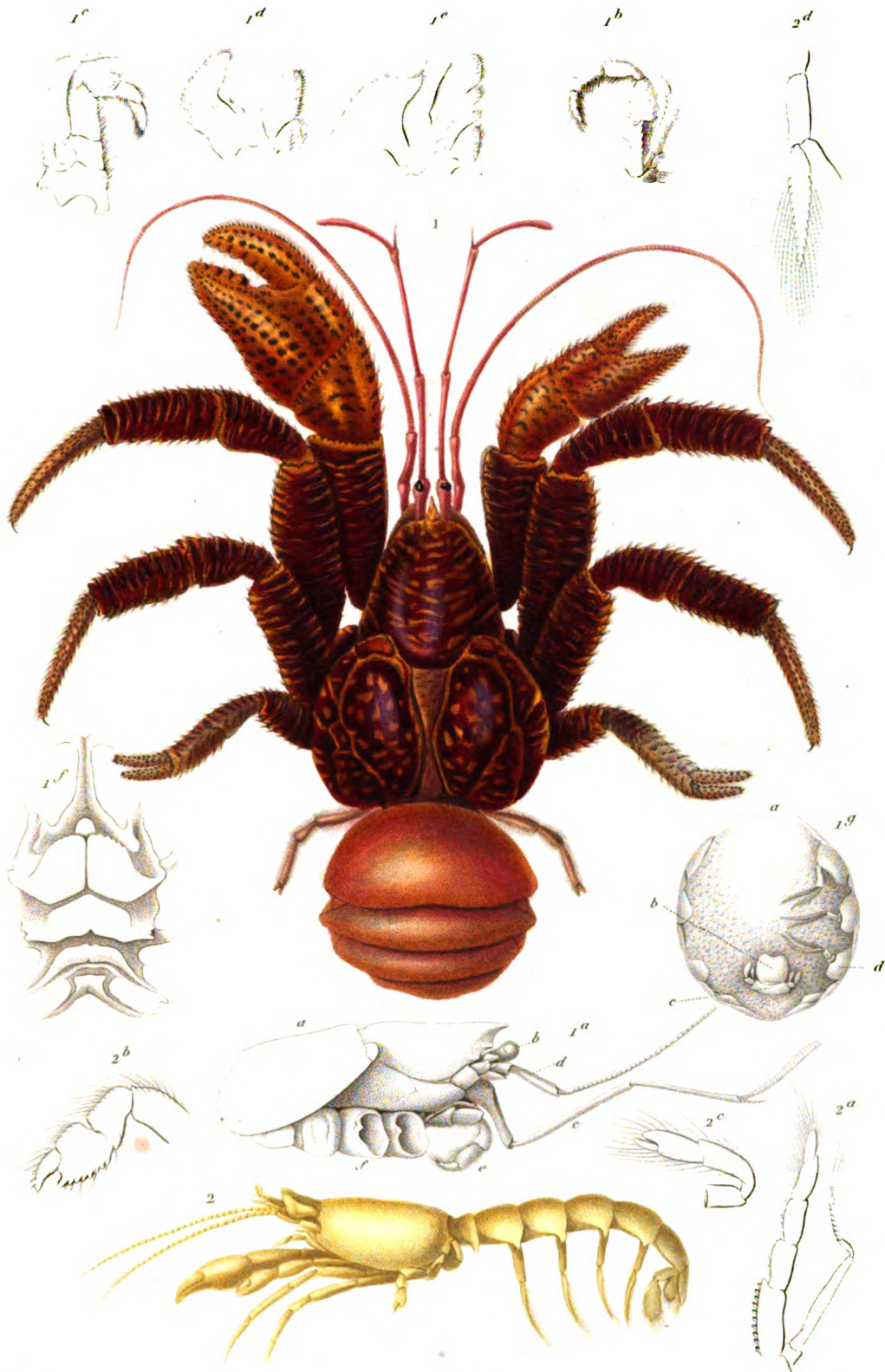
Fig. 2. GLAUCOTHOE DE PERON. *Glaucothoe Peronii*. Grossi cinq fois.

Fig. 2 a. Patte-mâchoire externe.

Fig. 2 b. Patte de la quatrième paire.

Fig. 2 c. Patte de la cinquième paire.

M. Latreille pensait que le genre *Glaucothoe* de M. Milne Edwards ne diffère pas de celui qu'il a établi dans le Règne Animal sous le nom de *Prophylace*, et c'est pour cette raison que nous en donnons ici une figure; mais il est à noter que les caractères assignés à ce dernier groupe de Paguriens ne sont pas applicables aux *Glaucothoés*, lesquels doivent prendre place dans la tribu des Thalassiniens (Voy. Ann. des Sc. Nat., 2^e série, t. VI, et Hist. Nat. des Crustacés, par M. Milne Edwards, t. II, p. 306).



E. et V.

1. *BIRGUS LARRON* (*Birgus latro*)

2. *GLAUCOTHOE DE PERON* (*Glaucothoe Peronii*)

Forget sc.



DÉCAPODES MACROURES.

ANOMAUX.

PAGURIENS. Latr. *Pagurus*. Fabr.

GENRE des HERMITES ou PAGURES.

S.-GENRE des CÉNOBITES. *Cenobita*. Latr.**Fig. 1. CÉNOBITE PERLÉ. *Cenobita perlata*. Edw. De grandeur naturelle.**

Nous avons représenté cette espèce nouvelle, bien qu'elle ne soit pas mentionnée dans le texte du *Règne animal*, parce que nous n'avons pu nous procurer aucun exemplaire en bon état du *Pagurus Clypeatus*. Fabr., cité comme type du genre, et que les figures qu'on en a données sont trop médiocres pour pouvoir être reproduites ici.

Fig. 1 a. Extrémité antérieure de la tête; vue de profil.

a. Carapace. — b. Pédoncules oculaires. — c. Antennes externes. — d. Antennes internes. — e. Pattes-mâchoires externes.

Fig. 1 b. Extrémité d'une patte de la quatrième paire.**Fig. 1 c. Extrémité de l'abdomen.**

a. Portion membranuse de l'abdomen. — b. Plaque cornée représentant le sixième anneau. — c. Article basilaire des appendices de ce sixième segment. — d. d. Articles terminaux de ces appendices. — e. Lame médiane représentant le septième anneau.

S.-GENRE des PAGURES PROPRES. *Pagurus*. Latr.**Fig. 2. PAGURE BERNARD. *Pagurus bernhardus*. Fabr. De grandeur naturelle.****Fig. 2 a. Portion basilaire de l'antenne externe grossie.**

a. Premier article. — b. Pédoncule. — c. Tige multi-articulée. — d. Appendice mobile représentant le palpe ou lame suspédonculaire qui, chez les Salicoques, prend un très grand développement.

Fig. 2 b. Patte-mâchoire externe.**Fig. 2 c. Extrémité de l'abdomen.****Fig. 3. PAGURE FLUTEUR. *Pagurus tibicen*. Latr. De grandeur naturelle, dans sa coquille (a).**

Fig. 4. Portion antérieure de l'abdomen du PAGURE TACHETÉ, vue en dessous pour montrer la disposition que les appendices affectent chez le mâle dans une division de ce genre que nous avons désignée sous le nom de *Pagures appendiculés*. (Voy. Annales des Sciences naturelles, 2^e série, t. VI, p. 265.)

a. Base des pattes de la quatrième paire. — b. Base des pattes de la cinquième paire. — c. Appendices abdominaux de la première paire. — d. Appendices abdominaux de la seconde paire. — e. Appendice abdominal impair représentant la troisième paire.

Fig. 5. Extrémité antérieure de la tête du PAGURE SOLDAT (type de la subdivision des PAGURES ARMÉS, caractérisée par l'existence d'une pièce rostriforme mobile. (Voy. Annales, loc. cit.)

a. Carapace. — b. Plaque rostriforme. — c. Pièce basilaire des pédoncules oculaires (d). — e. Antennes internes. — f. Base des antennes externes. — g. Palpe spiniforme. — h. Tige multi-articulée.

(L'après nature.)



E. et V.

Forêt sc

1. CENOBITE PERLÉ. (Cenobita perlata.)

2. PAGURE BERNARD. (Pagurus Bernhardus.)





DÉCAPODES MACROURES.

LOCUSTES.

GENRE SCYLLARE. *Scyllarus*. Fabr.

S.-GENRE SCYLLARE proprement dit. *Scyllarus*. Leach.

Fig. 1. SCYLLARE OURS. *Scyllarus arctus*. Lin. Cigale de mer. Rondelet.
De grandeur naturelle.

Fig. 1 a. Patte-mâchoire externe.

Fig. 1 b. Patte-mâchoire de la seconde paire.

Fig. 1 c. Fausse-patte abdominale de la troisième paire.

Fig. 1 d. Fausse-patte abdominale de la première paire.

Fig. 1 e. Sternum du mâle.

a. Sternum. — b. Base des pattes de la première paire. — c. Base des pattes postérieurs.

S.-GENRE THÈNE. *Thenus*. Leach.

Fig. 2. THÈNE ORIENTAL. *Thenus orientalis* (*Scyllarus orientalis*. Fabr. *Thenus indicus*. Leach.). Réduit de moitié.

Fig. 2 a. Extrémité antérieure du corps, vue en dessous.

a. Cadre buccal. — b. Tubercules auditifs. — c. Epistome. — d. Antennes internes. — e. Antennes externes.

Fig. 2 b. Patte-mâchoire externe.

Fig. 2 c. Fausse-patte abdominale de la seconde paire de la femelle.

S.-GENRE IBACUS. *Ibacus*. Leach.

Fig. 3. Croquis de l'IBACUS ANTARCTIQUE. *Ibacus antarcticus* (*Scyllarus antarcticus*. Fabr.). Réduit au tiers.

Fig. 3 a. Sternum (a) avec la base des pattes (b-c).

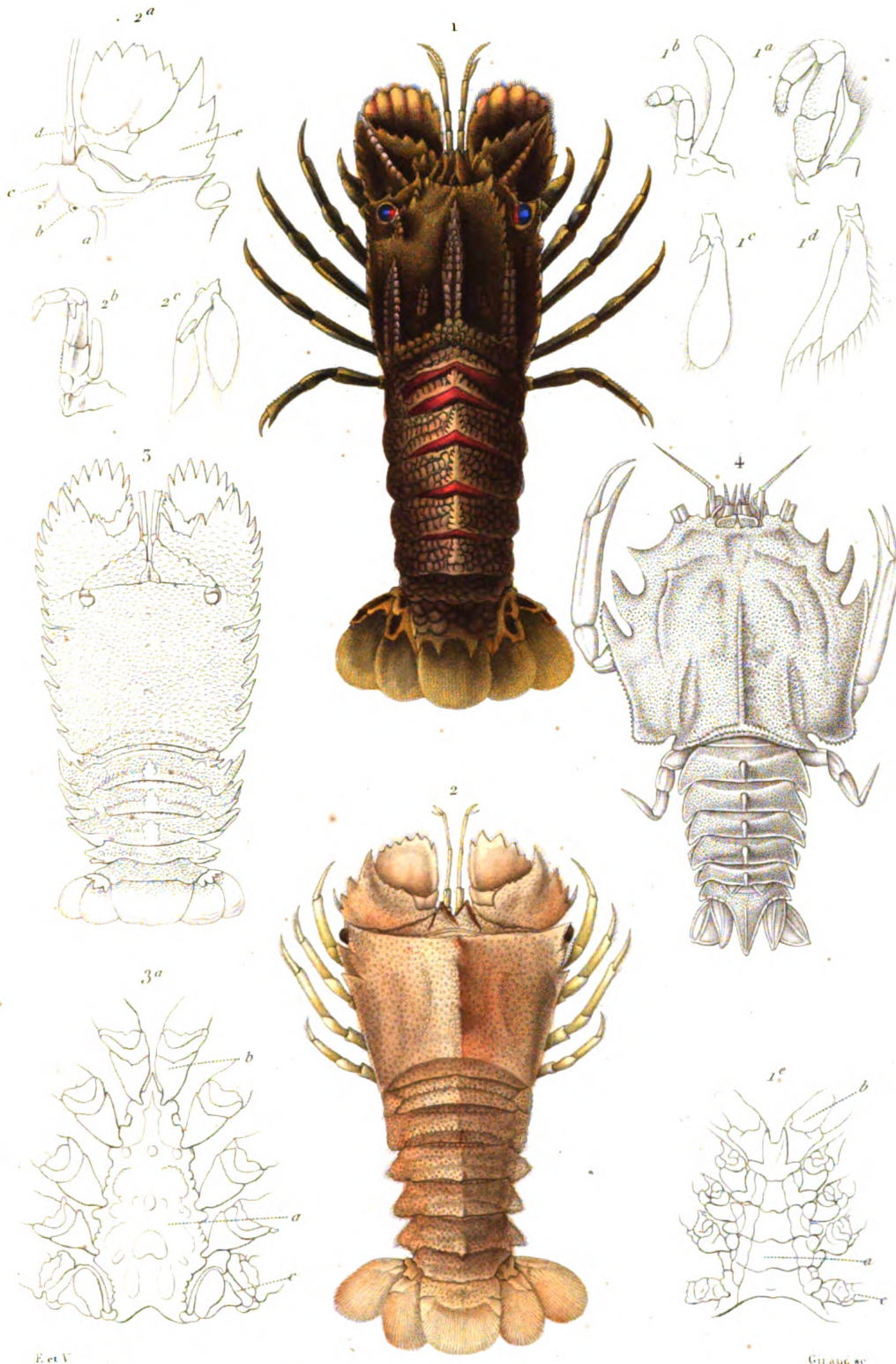
ASTACIENS. *Astacini*. Latr.

GENRE ÉRYON. *Eryon*. Desmarest.

Fig. 4. ÉRYON ARCTIFORME (*Eryon Cuvieri*. Desmarest. *Macrourites arctiformis*. Schlotheim. *Eryon arctiformis*. Bronn.) Fossile calcaire de Pappenheim et Solnhofen, etc. Vu en dessus et réduit au tiers, d'après la figure donnée par M. Bronn dans le *Lethæa geognostica*, pl. 37, fig. 2.

On connaît maintenant plusieurs espèces du genre *Eryon* qui sont toutes fossiles (Voyez les Mém. des Cur. de la Nat. de Bonn, t. 18.).

(Toutes ces figures, excepté la dernière, sont dessinées d'après nature).

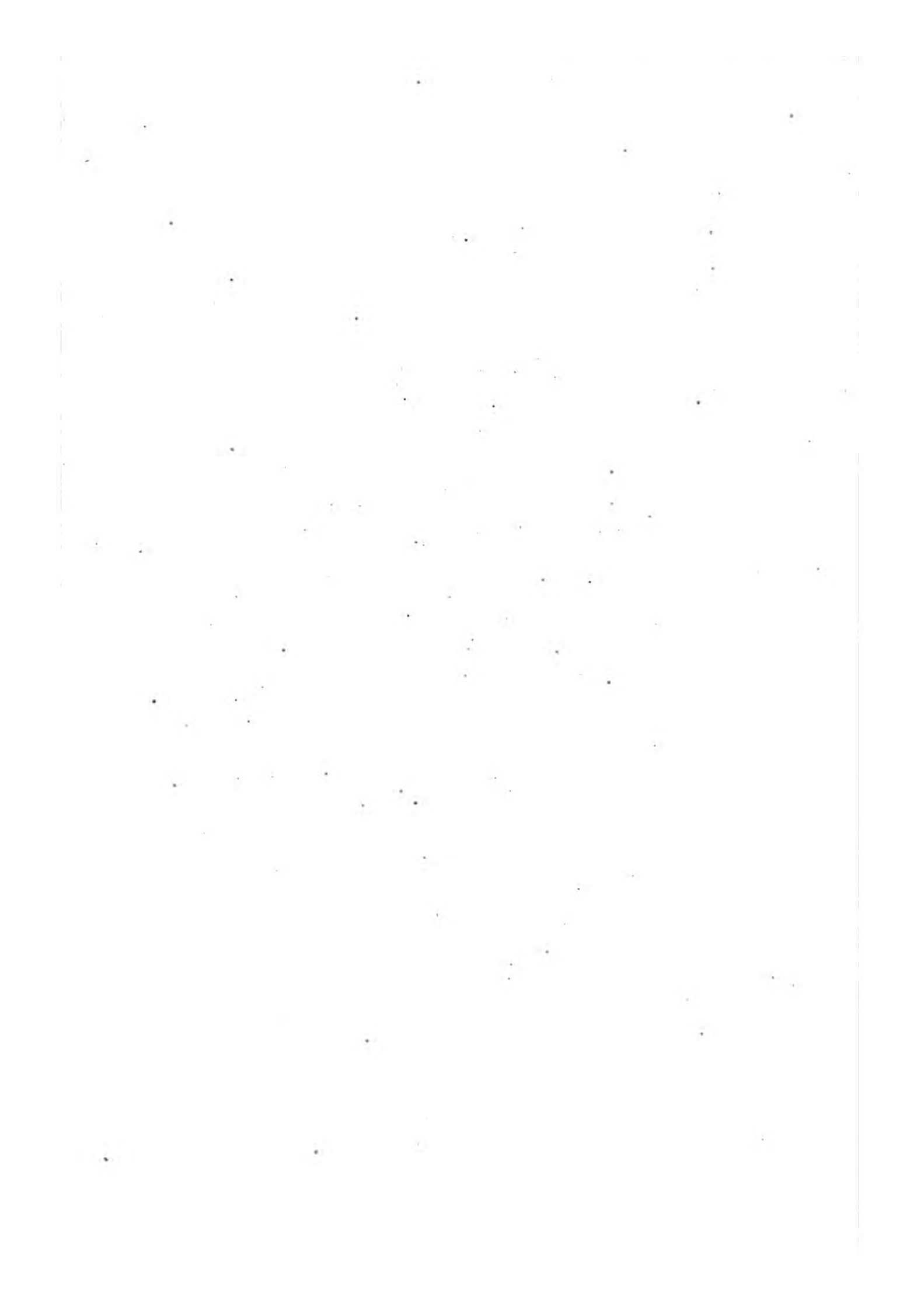


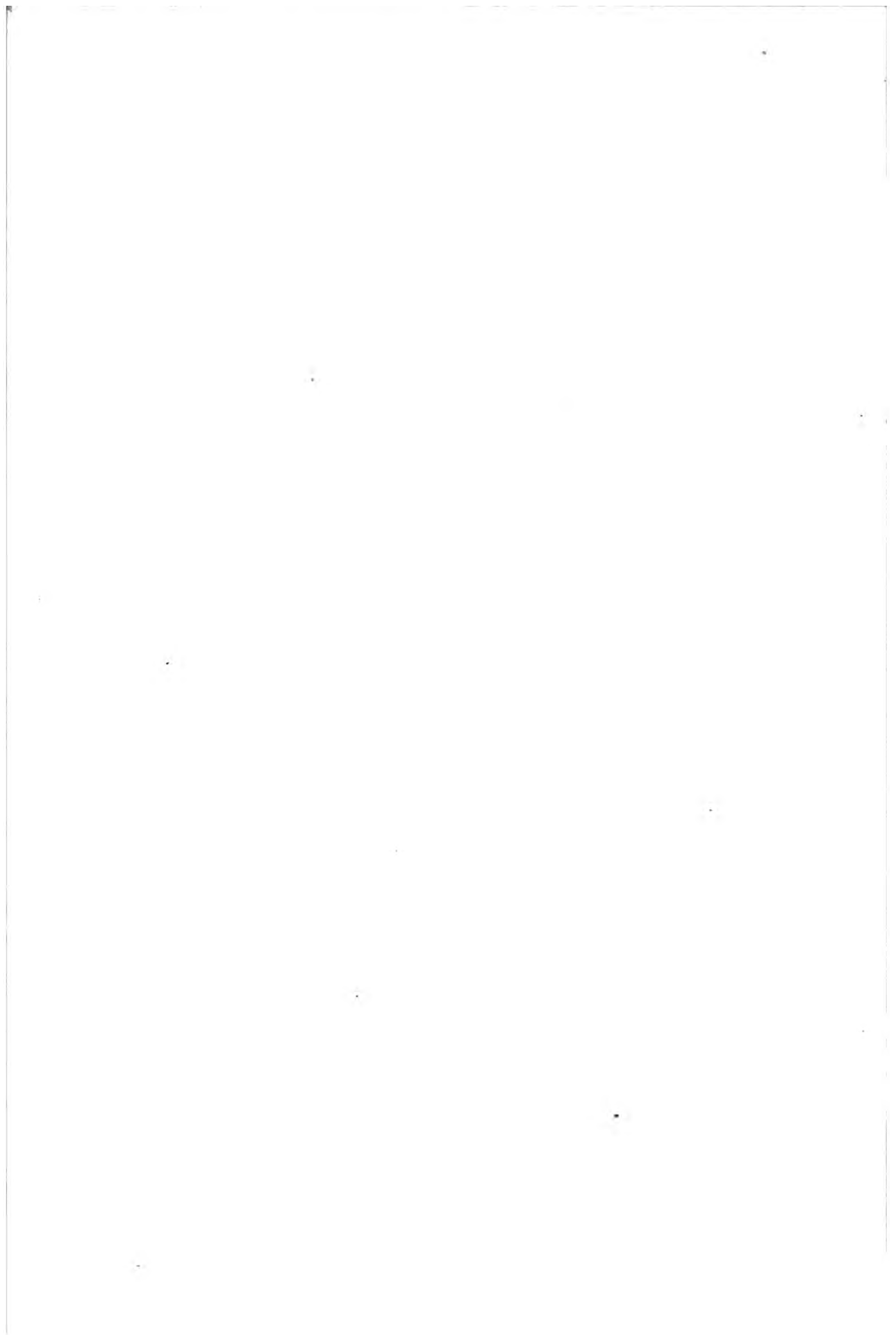
E et V

GII aug. 80

1 *SCYLLARE OURS* (*Scyllarus arctus*)
 2 *THÈNE ORIENTAL* (*Thelus orientalis*)

5 *IBACUS ANTARCTIQUE* (*Ibacus antarcticus*)
 4 *ERYON ARCTIFORME* (*Eryon arctiformis*)





DÉCAPODES MACROURES.

LOCUSTES.

GENRE LANGOUSTE. *Palinurus*. Fabricius.

Fig. 1. LANGOUSTE COMMUNE. *Palinurus vulgaris*. Latr. Réduit au tiers de la grandeur naturelle.

Fig. 1 a. Région antennaire.

a. Cadre buccal. — *b.* Épistome. — *c.* Tubercule auditif. — *d.* Article basilaire de l'antenne externe. — *e.* Base des antennes internes. — *f.* Second article de l'antenne externe. — *g.* OEil.

Fig. 1 b. Patte-mâchoire externe.

Fig. 1 c. Fausse patte abdominale de la quatrième paire.

Fig. 1 d. Fausse patte abdominale de la première paire

ASTACIENS.

GENRE PORCELLANE. *Porcellana*. Lamarck.

Fig. 2. PORCELLANE A LARGES PINCES. *Porcellana platycheles*. De grandeur naturelle et dépouillé de ses poils du côté droit.

Fig. 2 a. Portion antérieure du corps, vue en dessous et grossie.

a. Cadre buccal. — *b.* Patte-mâchoire externe droite. — *c.* Patte-mâchoire de la seconde paire. — *d.* Antenne interne. — *e.* Antenne externe.

Fig. 2 b. Antennes de la première paire, beaucoup grossie.

Fig. 2 c. Base de l'antenne externe, grossie davantage.

a. Épistome. — *b.* OEil. — *c.* Tubercule auditif. — *d.* Article basilaire de l'antenne externe.

Fig. 2 d. Patte-mâchoire de la première paire.

Fig. 2 e. Patte-mâchoire de la seconde paire.

Fig. 2 f. Appendice abdominale du mâle.

Fig. 2 g. Portion terminale de l'abdomen.

a. Sixième anneau. — *c.* Appendices du sixième anneau. — *b.* Septième segment.

(D'après nature.)



1. LANGOUSTE COMMUNE (Palinurus vulgaris.)

2. PORCELLANE A LARGE PINCE (Porcellana platycheles.)

DÉCAPODES MACROURES.

ASTACIENS. *Astacini*.GENRE GALATHÉE. *Galathea*. Fabricius.

Fig. 1. GALATHÉE STRIÉE. *Galathea strigosa*. Fabr. De grandeur naturelle.

Fig. 1 a. Antenne de la première paire, grossie.

a. Article basilaire terminé par de grosses épines. — b. Tige.

Fig. 1 b. Portion basilaire d'une antenne de la seconde paire, vue en dessous.

Fig. 1 c. Patte-mâchoire externe, grossie.

Fig. 1 d. Second article de cette patte-mâchoire, vu du côté supérieur pour montrer les dentelures de son bord interne.

Fig. 1 e. Fausse patte abdominale de la femelle.

Fig. 1 f. Fausse patte abdominale de la première paire chez le mâle.

Fig. 1 g. Fausse patte abdominale de la quatrième paire chez le mâle.

S.-GENRE GRIMOTHÉE. *Grimothea*. Leach.

Fig. 2. GRIMOTHÉE SOCIALE. *Grimothea gregaria*. Leach. Grossie au triple de la grandeur naturelle.

Fig. 2 a. Antenne de la première paire, grossie.

a. Article basilaire qui ici est claviforme, tan us que chez les Galathées proprement dites il est cylindrique, et terminé par des épines. — b. Tige.

Fig. 2 b. Patte-mâchoire externe; grossie.

a. Sixième article lamelleux et élargi vers le bout.

S.-GENRE ÆGLÉE. *Æglea*. Leach.

Fig. 3. ÆGLÉE LISSE. *Æglea lavis*. Leach. De grandeur naturelle, et l'abdomen replié dans sa position ordinaire.

Fig. 3 a. Région antennaire et front vu en dessous.

a. Rostre. — b. Yeux. — c. Antennes internes qui peuvent se replier sous le front comme chez les Brachyures. — d. Antennes externes. — e. Epistome.

Fig. 3 b. Extrémité postérieure de l'abdomen.

Fig. 3 c. Patte-mâchoire externe.

On peut voir par la comparaison de ces divers organes avec les mêmes parties chez les Galathées que les Æglées en diffèrent beaucoup et ne doivent pas être rangées dans la même tribu. (Voyez à ce sujet notre Histoire naturelle des Crustacés, t. 2, p. 258.)

GENRE MÉGALOPE. *Megalops*. Leach.

Fig. 4. MÉGALOPE MUTIQUE. *Megalops mutica*. Desmarest. Grossi au double.

Fig. 4 a. Antenne de la première paire, grossie davantage.

a. Article basilaire court et renflé comme chez les Brachyures.

b. Tige extrêmement courte.

Fig. 4 b. Antenne externe.

Fig. 4 c. Patte-mâchoire externe.

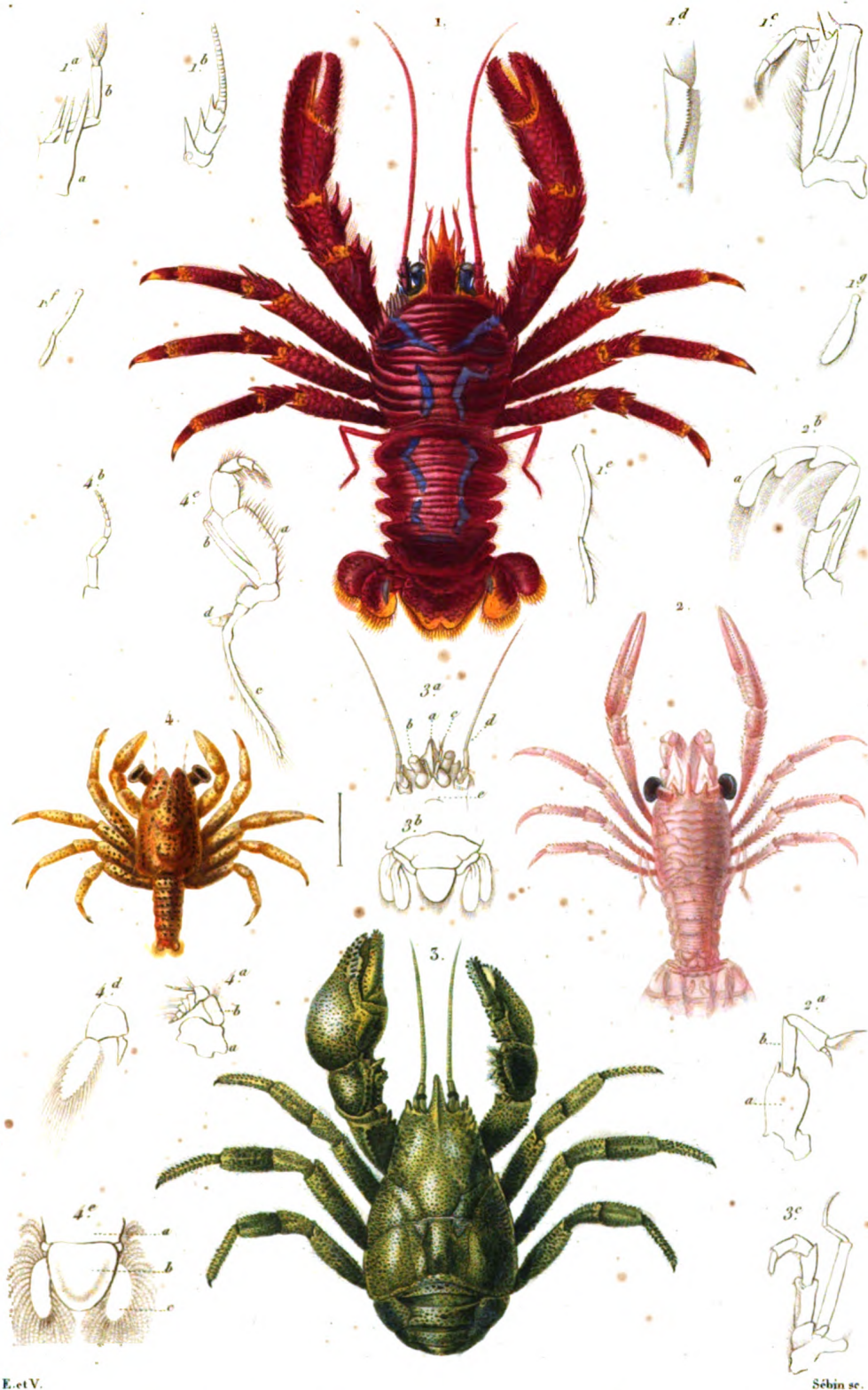
a. Tige externe dont le deuxième et le troisième article sont allongés comme chez beaucoup de Brachyures et d'Anomoures. — b. Palpe. — c. Fouet. — d. Branchie rudimentaire.

Fig. 4 d. Fausse-patte abdominale.

Fig. 4 e. Extrémité postérieure de l'abdomen.

a. Sixième anneau. — b. Lame caudale médiane formée par le septième anneau. — c. Lames latérales de la nageoire caudale formées par les appendices du sixième anneau. — On voit que cette nageoire, au lieu d'être composée de cinq feuillets comme chez les Macroures ordinaires, n'en présente que trois.

(Toutes ces figures sont faites d'après nature.)



E. et V.

1. GALATHÉE STRIÉE. (*Galathea strigosa.*)
 2. GRIMOTHÉE SOCIALE. (*Grimothea gregaria.*)

3. EGLÉE LISSE. (*Eglea laevis.*)
 4. MÉGALOPE MUTIQUE. (*Megalops mutica.*)

Sébin sc.



DÉCAPODES MACROURES.

ASTACIENS. *Astacini*.GENRE THALASSINE. *Thalassina*. Latreille.

Fig. 1. THALASSINE SCORPIONOÏDE. *Thalassina scorpionoides*. Latreille. Individu femelle, de grandeur naturelle.

Fig. 1 a. Portion antérieure du corps, vu en dessus.

a. Rostre. — *b.* Dentelures qui bordent le sillon oblique placé entre les régions stomacale et branchiale. — *c.* Dent médiane postérieure. — *d.* Dentelures situées près du bord postérieur de la carapace. — *e.* Premier anneau de l'abdomen. — *f.* Yeux.

Fig. 1 b. Base de l'antenne interne, grossie.

Fig. 1 c. Base de l'antenne externe.

Fig. 1 d. Patte-mâchoire externe.

Fig. 1 e. Patte-mâchoire de la seconde paire.

a. Branche interne. — *b.* Palpe ou branche moyenne. — *c.* Fouet ou branche externe donnant naissance à des filaments branchiaux.

Fig. 1 f. Fausse-patte abdominale.

Fig. 1 g. Nageoire caudale, dont les lames latérales sont linéaires.

GENRE AXIE. *Axia*. Leach.

Fig. 2. AXIE STIRHYNQUE. *Axia stirhynchus*. Leach. De grandeur naturelle.

Fig. 2 a. Extrémité antérieure du corps, vue en dessus et grossie.

a. Carapace. — *b.* Rostre. — *c.* Yeux. — *d.* Base des antennes internes. — *e.* Base des antennes externes.

Fig. 2 b. Base de l'antenne externe, grossie et vue en dessous.

a. Tubercule auditif. — *b.* Dernier article pédonculaire. — *c.* Tige terminale.

Fig. 2 c. Patte-mâchoire de la première paire.

a. Branche interne. — *b.* Palpe. — *c.* Fouet, devenu vésiculeux.

Fig. 2 d. Patte-mâchoire de la seconde paire.

Fig. 2 e. Patte-mâchoire de la troisième paire ou patte-mâchoire externe.

a. Branche interne. — *b.* Palpe. — *c.* Fouet. — *d.* Branchie.

Fig. 2 f. Nageoire caudale.

GENRE CALLIANASSE. *Callianassa*. Leach.

Fig. 3. CALLIANASSE SOUTERRAINE. *Callianassa subterranea*. Leach. De grandeur naturelle.

Fig. 3 a. Extrémité antérieure du corps, grossie et vue en dessus.

a. Carapace. — *b.* Pédoncules oculaires portant la cornée transparente sur leur face supérieure. — *c.* Antennes internes. — *d.* Antennes externes.

Fig. 3 b. Base de l'antenne externe.

Fig. 3 c. Mandibule.

Fig. 3 d. Patte-mâchoire de la première paire.

a. Branche interne. — *b.* Palpe. — *c.* Fouet.

Fig. 3 e. Patte-mâchoire externe.

(D'après nature.)

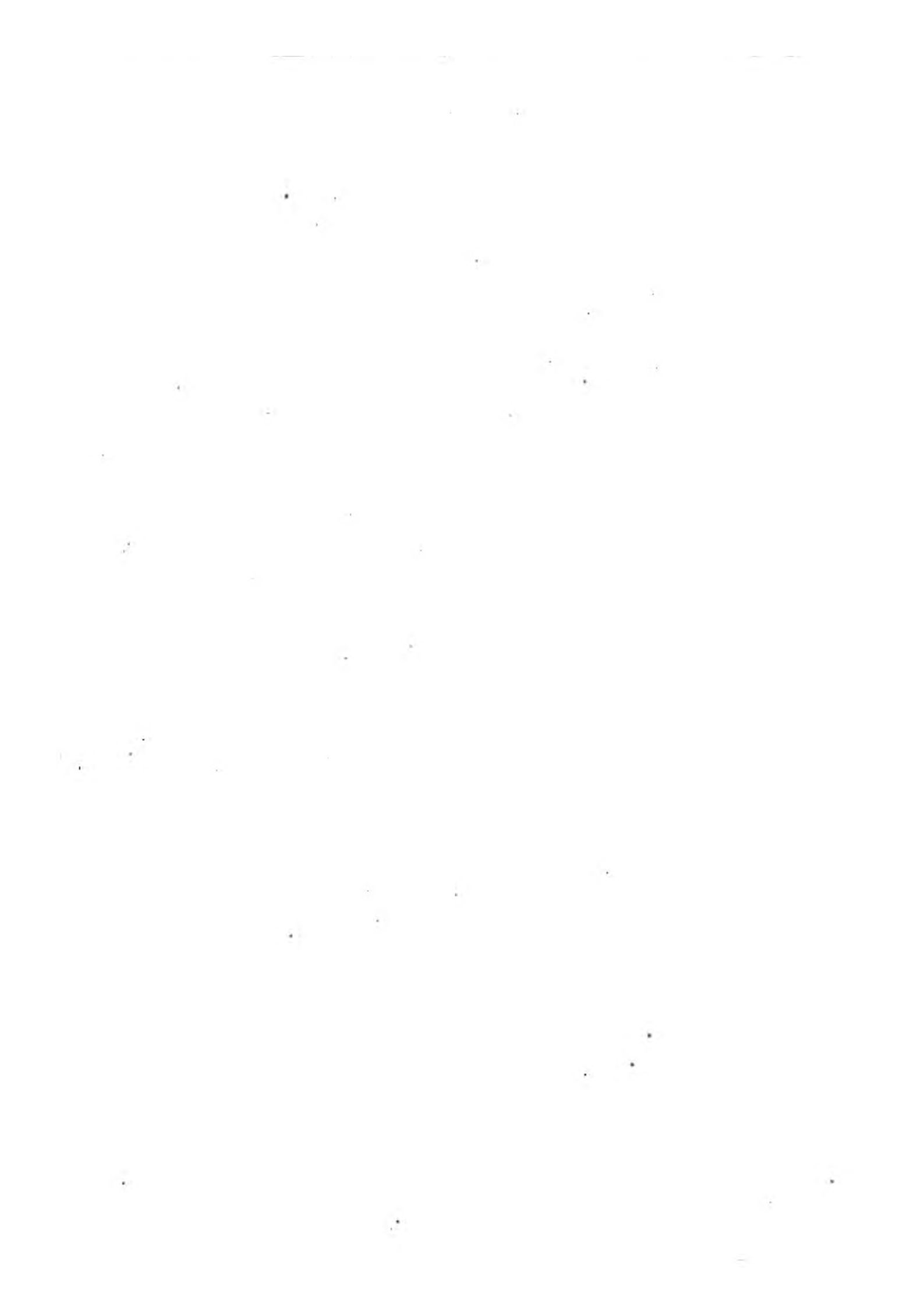


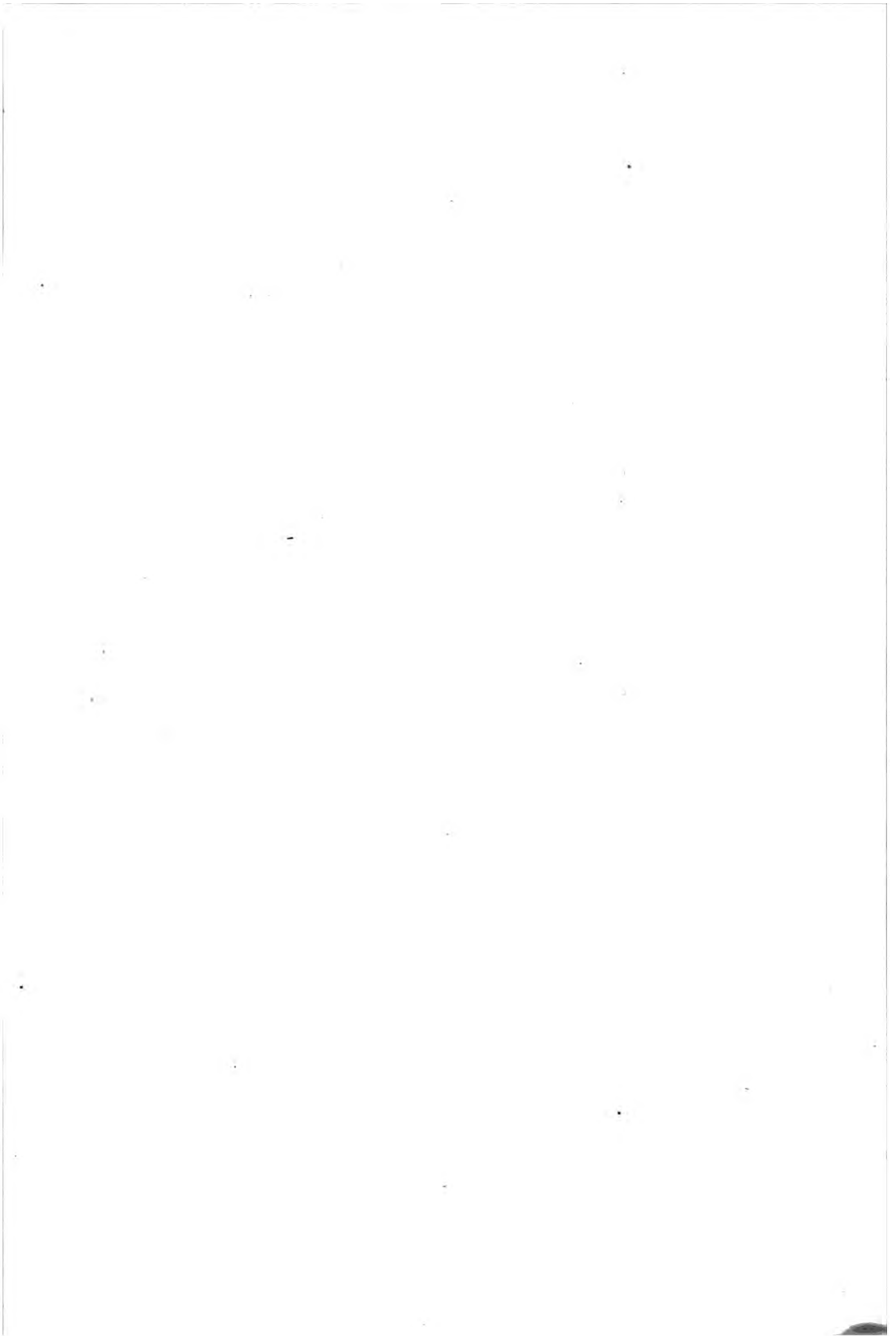
1. THALASSINE SCORPIONIDE. (Thalassinia scorpionoides.)

2. AXIE STIRRHYNQUE. (Axia stirrhynchus.)

3. CALLINASSE SOUTERRAINE. (Callinassa subterranea.)

Second table





DÉCAPODES MACROURES.

ASTACIENS.

GENRE GÉBIE. *Gebia*. Leach.

Fig. 1. GÉBIE RIVERAINE. *Gebia littoralis*. Desmarest. *Thalassina littoralis*. Risso. De grandeur naturelle.

Fig. 1. a. Carapace de la même, vue en dessus.

Fig. 1. b. Antenne interne, grossie.

Fig. 1. c. Base de l'antenne externe, grossie.

Fig. 1. d. Extrémité de la patte de la seconde paire.

Fig. 1. e. Fausse patte natatoire de l'abdomen.

Fig. 1. f. Appendices natatoires de la queue.

GENRE ECREVISSE. *Astacus*. Gronovius.

Fig. 2. ECREVISSE COMMUNE. *Astacus fluviatilis*. Fabricius. Vue en dessus et un peu réduite.

Fig. 2. a. Région antennaire, grossie.

Fig. 2. b. Base de l'antenne externe montrant l'écaille mobile (a) qui s'y fixe.

Fig. 2. c. Sternum et base des pattes.

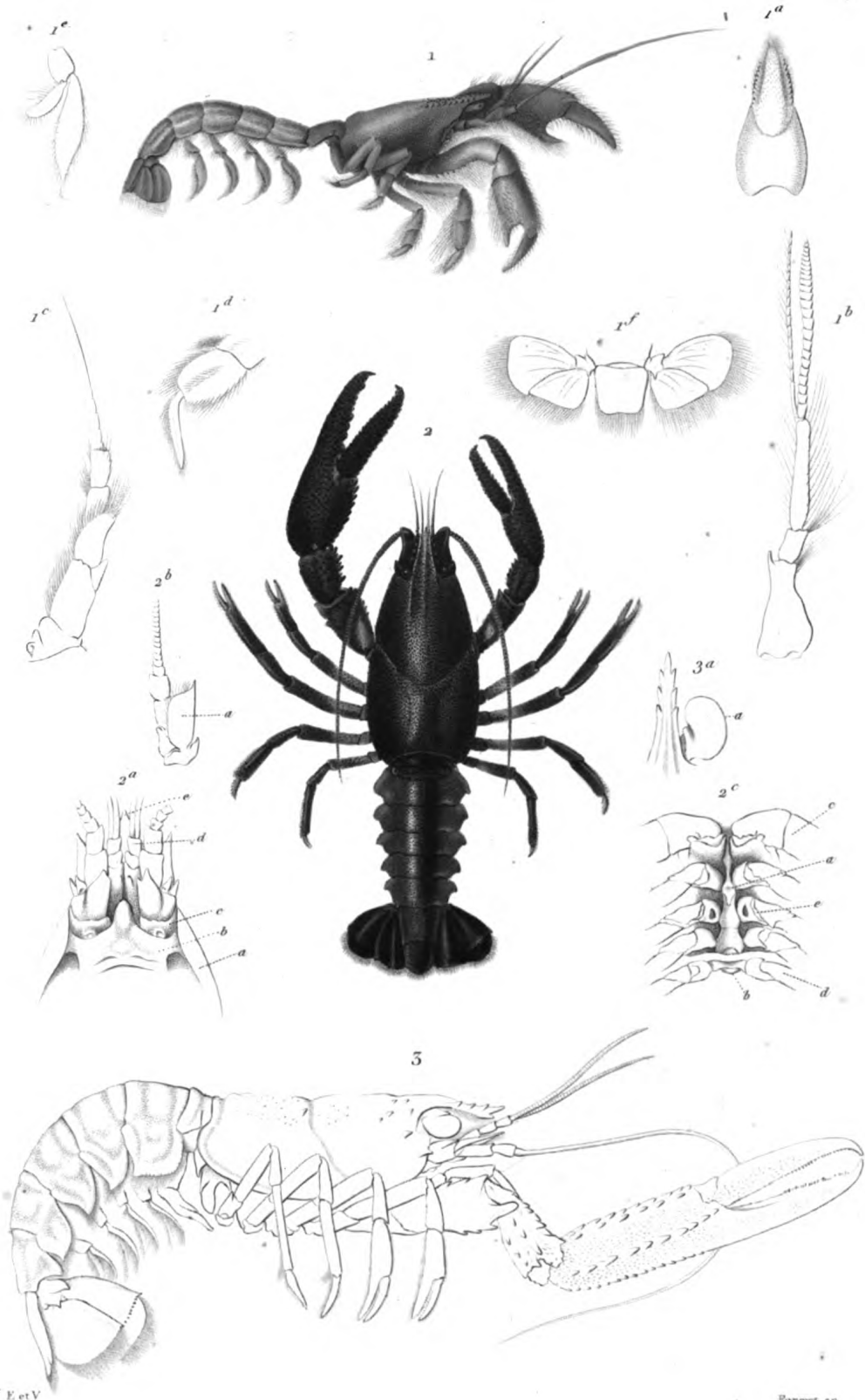
a. Plastron linéaire. — b. Sternum du dernier anneau thoracique, simplement articulé avec le plastron résultant de la soudure des anneaux précédents. — c. Base des pattes de la première paire. — d. Base des pattes de la cinquième paire. — e. Vulves.

S.-GENRE NEPHROPS. *Nephrops*. Leach.

Fig. 3. CROQUIS DU NÉPHROPS NORWÉGIEN. *Nephrops norvegicus*. Leach. Réduit de moitié.

Fig. 3. a. Rostre, vu en dessus et l'un des yeux (a).

(D'après nature.)



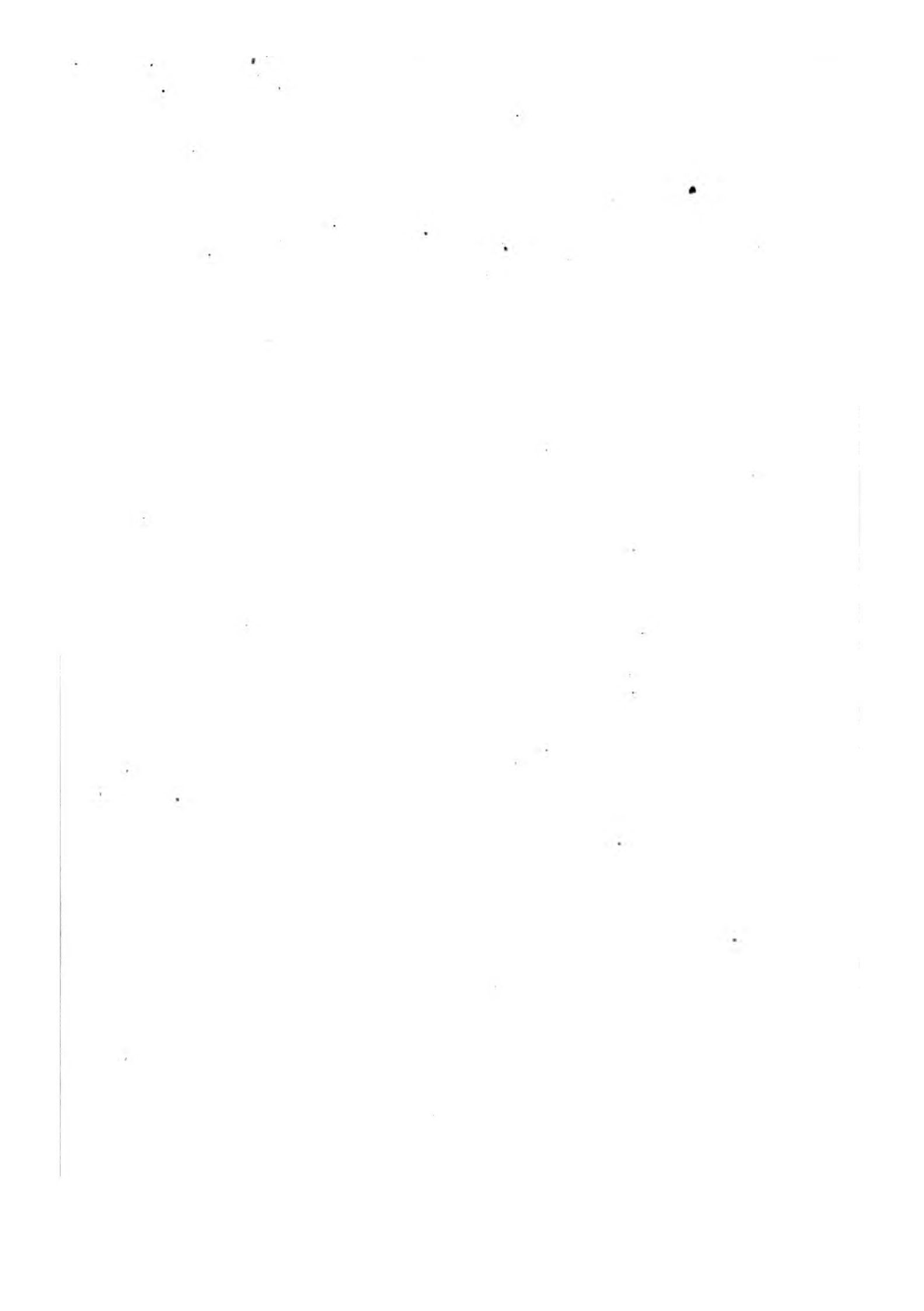
E et V

Forget sc.

1 GÉRIE RIVERAINE (*Gebi littoralis*)

2 ÉCREVISSE COMMUNE. (*Astacus fluviatilis*)

N. Rémond sculp.



DÉCAPODES MACROURES.

SALICOQUES.

GENRE PÉNÉE. *Penæus* Fabr.

Fig. 1. PÉNÉE CARAMOTE. Penæus caramota. Réduit d'un tiers.

Fig. 1 a. Antenne de la première paire grossie et vue de profil.

a. Appendice flabelliforme qui naît de l'article basilaire de ces antennes et se recourbe au-dessus du pédoncule oculaire correspondant.

Fig. 1 b. Mandibule grossie et vue en dessous.

Fig. 1 c. Patte-mâchoire de la première paire.

Fig. 1 d. Patte-mâchoire de la seconde paire.

Fig. 1 e. Patte-mâchoire de la troisième paire.

Fig. f. Patte thoracique de la première paire.

Dans ces quatre dernières figures *a.* Indique la tige principale ou branche interne.
— *b.* Le palpe ou branche moyenne. — *c.* Le fouet ou branche externe.

S-GENRE STÉNOPE. *Stenopus* Latr.

Fig. 2. STÉNOPE HISPIDE. Stenopus hispidus Latr. de grandeur naturelle.

Fig. 2 a. Base de l'antenne interne.

Fig. 2 b. Mandibule.

Fig. 2 c. Patte-mâchoire de la première paire.

Fig. 2 d. Patte-mâchoire de la deuxième paire.

Fig. 2 e. Patte-mâchoire externe.

Dans ces trois figures : — *a.* Indique la branche interne. — *b.* Le palpe. — *c.* Le fouet.

Fig. 2 f. Extrémité de l'une des pattes monodactyles.

(D'après nature.)



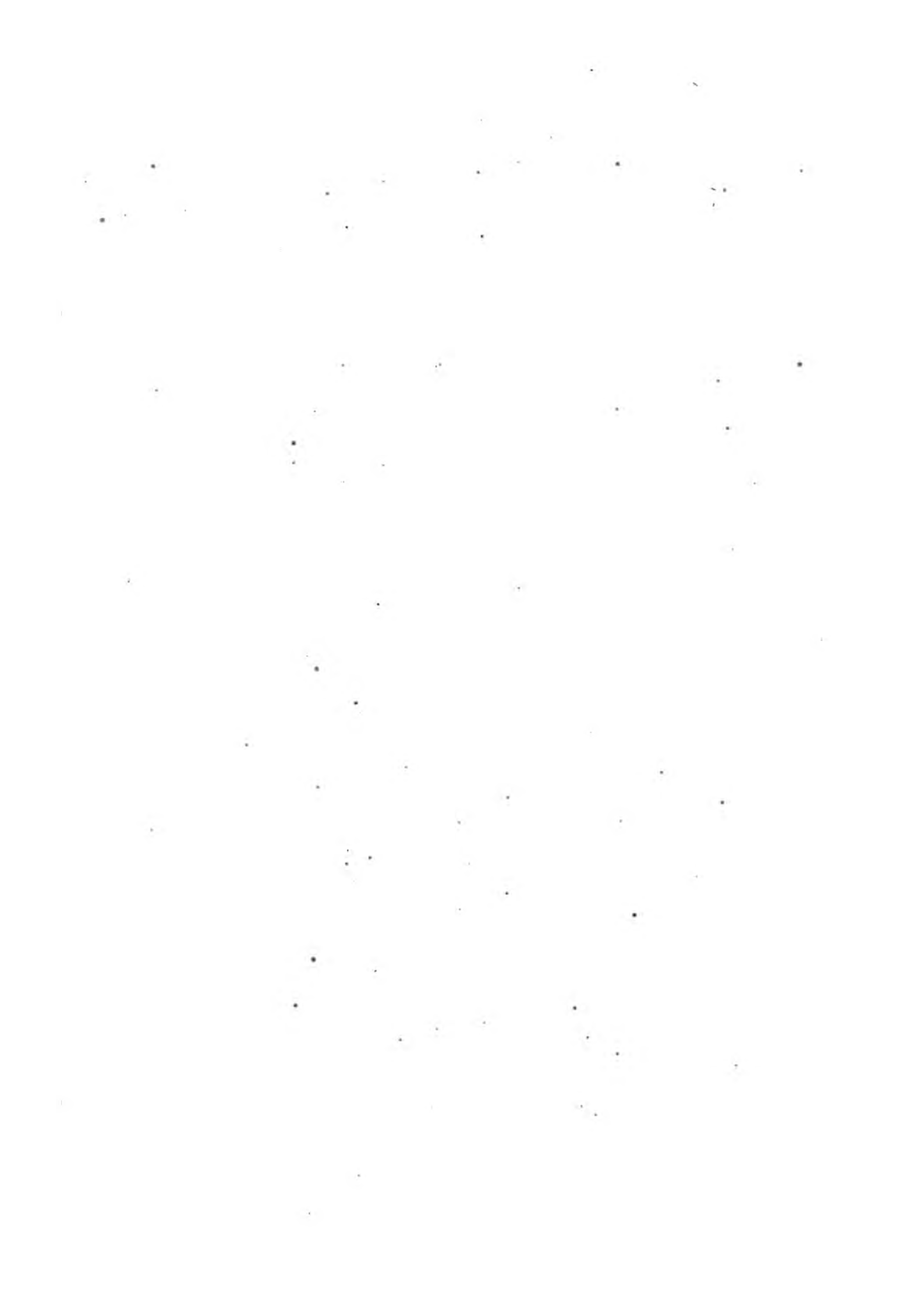
E. et V.

Graud sc.

1. *PENÉE CARAMOTE* (*Penaeus caramote*)

2. *STENOPE HISPIDE* (*Stenopus hispidus*)

Revised in v.



DECAPODES MACROURES.

ZANONIDAE.

GENRE ZANON. Zanon, Fabricius.

- Fig. 1. ZANON commun. Zanon vulgaris, Fabricius. De grandeur naturelle. (D'après le vivant.)
- Fig. 2. Mandibule.
- Fig. 3. ZANON boreal. Zanon borealis, Fabricius. De grandeur naturelle.
- Fig. 4. Rostre, vu de profil.
- Fig. 5. Mandibule.
- Fig. 6. Patte mâchoire externe.
- Fig. 7. Patte de la seconde paire.
- Fig. 8. Fausse patte abdominale.
- Fig. 9. ZANON cuirassé. Zanon calyptratus, Latr. (Zanon calyptratus, Latr. Olli. Bæton borealis, Risso. Zanon spinosus, Latr. De grandeur naturelle.)

GENRE ATYE. Aye, Leach.

- Fig. 4. ATYE épineuse. Aye spinosa, Leach. De grandeur naturelle.
- Fig. 5. Rostre et antennes, vues en dessous.
- Fig. 6. Mandibule.
- Fig. 7. Patte de la première paire.
- Fig. 8. Fausse patte de l'abdomen.
- Fig. 9. Nageoire caudale, vue en dessous.

(D'après nature.)

DÉCAPODES MACROURES.

SALICOQUES.

GENRE CRANGON. *Crangon*. Fabricius.

Fig. 1. CRANGON COMMUN. *Crangon vulgaris*. Fabricius. De grandeur naturelle. (D'après le vivant.)

Fig. 1 a. Mandibule.

Fig. 2. CRANGON BORÉAL. *Crangon boreas*. Fabr. De grandeur naturelle.

Fig. 2 a. Rostre, vu de profil.

Fig. 2 b. Mandibule.

Fig. 2 c. Patte mâchoire externe.

Fig. 2 d. Patte de la seconde paire.

Fig. 2 e. Fausse patte abdominale.

Fig. 3. CRANGON CUIRASSÉ. *Crangon catapraectus*. Latr. *Cancer catapraectus*. Olivi. *Egeon loricatus*. Risso. *Crangon spinosus*. Lamk. De grandeur naturelle.

GENRE ATYE. *Atya*. Leach.

Fig. 4. ATYE ÉPINEUSE. *Atya scabra*. Leach. De grandeur naturelle.

Fig. 4 a. Rostre et antennes, vues en dessous.

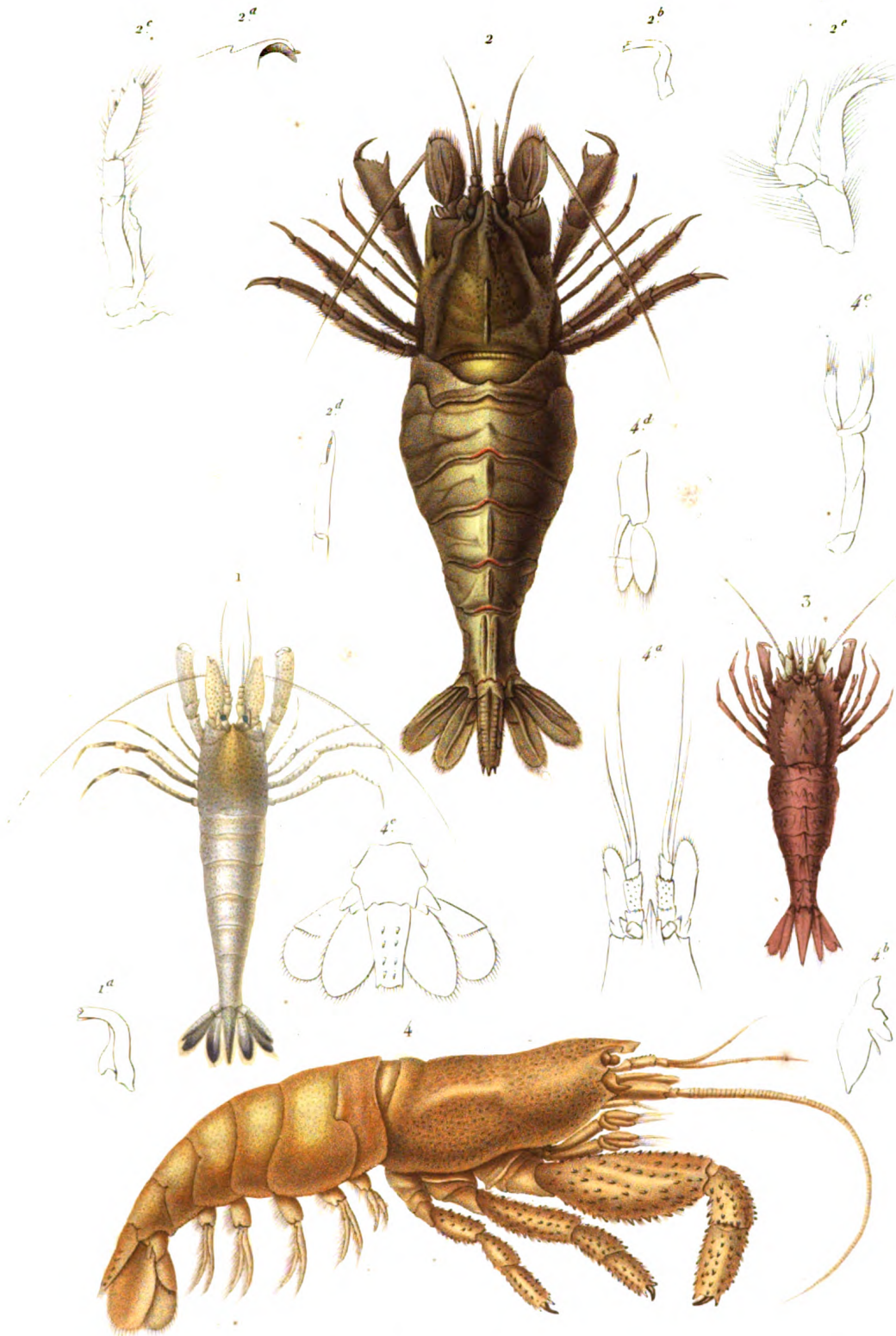
Fig. 4 b. Mandibule.

Fig. 4 c. Patte de la première paire.

Fig. 4 d. Fausse patte de l'abdomen.

Fig. 4 e. Nageoire caudale, vue en dessus.

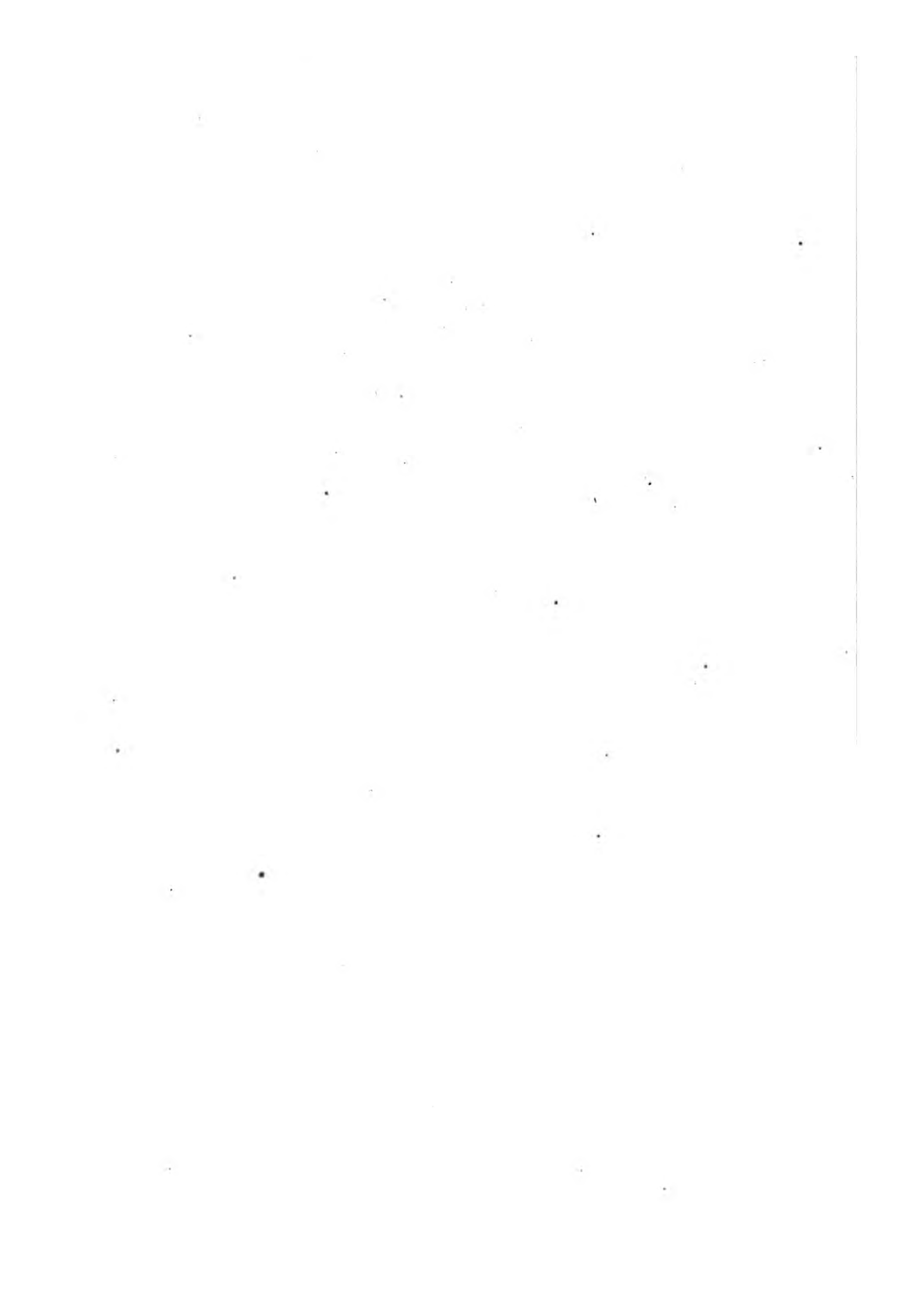
(D'après nature.)



F. et V.

Forget sc

- 1 CRANGON COMMUN. (Crangon vulgaris)
- 2 - - - - - BOREAL. (- - - boreas)
- 3 - - - - - CUIRASSÉ (- - - catapraetus)
- 4. ATYE ÉPINEUSE. (Atya scabra)



DÉCAPODES MACROURES.

SALICOQUES.

GENRE NIKA. *Nika*. Risso. *Processa*. Leach.

Fig. 1. NIKA COMMESTIBLE, *Nika edulis*. Risso, Latr., Edw. *Processa edulis*. Leach. De grandeur naturelle ; peint d'après le vivant.

Fig. 1 a. Patte antérieure du côté droit grossie.

Fig. 1 b. Patte antérieure du côté gauche.

Fig. 1 c. Patte de la seconde paire du côté droit.

Fig. 1 d. La même patte du côté gauche.

GENRE GNATHOPHYLLE. *Gnathophyllum*. Latr. *Drimo*. Risso.

Fig. 2. GNATHOPHYLLE ÉLÉGANT. *Gnathophyllum elegans*. *Drimo elegans*. Risso. Croquis d'après Risso. Hist. nat. de l'Europe mérid. Paris, t. 5, pl. 1, fig. 4.

Fig. 2 a. Portion céphalo-thoracique du corps, grossie et vue de profil.

Fig. 2 b. Portion antérieure du corps, vue en dessus et grossie.

Fig. 2 c. Patte-mâchoire externe.

GENRE PONTONIE. *Pontonia*. Latreille.

Fig. 3. PONTONIE MACROPHALME. *Pontonia macrophthalma*. Edw. Hist. nat. des Crust., t. 2, p. 359. De grandeur naturelle.

Fig. 3 a. Extrémité antérieure du corps, grossie et vue en dessus.

Fig. 3 b. Mandibule.

Fig. 3 c. Mâchoire de la première paire.

Fig. 3 d. Mâchoire de la seconde paire.

Fig. 3 e. Patte-mâchoire de la première paire.

Fig. 3 f. Patte-mâchoire de la seconde paire.

Fig. 3 g. Patte-mâchoire externe.

Fig. 3 h. Patte de la première paire.

Fig. 3 i. Patte de la troisième paire.

Fig. 3 j. Extrémité de la patte postérieure.

Fig. 3 k. Fausse patte abdominale de la première paire, portant des œufs (a) suspendus à ses poils.

Fig. 4. PONTONIE TYRRHÉNIENNE. *Pontonia tyrrhena*. Latreille. *Pontonia custos*. Croquis d'après la figure donnée par M. Guérin dans l'expédition scientifique de Morée.

Fig. 4 a. Patte-mâchoire externe, d'après le même.

(D'après nature, excepté les fig. 2, 4 et 4 a.)



E. Schmelz sc.
 1. *NIKA COMMESTIBLE*. (*Nika edulis*) 5. *PONTONIE MACROPHTHALME*. (*Pontonia macrophtalma*)
 2. *GNATHOPHYLLE ELEGANT*. (*Gnathophyllum elegans*) 4. ——— *TYRRHENIENNE*. (——— *tyrrhena*.)

N. Bonnard sculp

DÉCAPODES MACROURES.

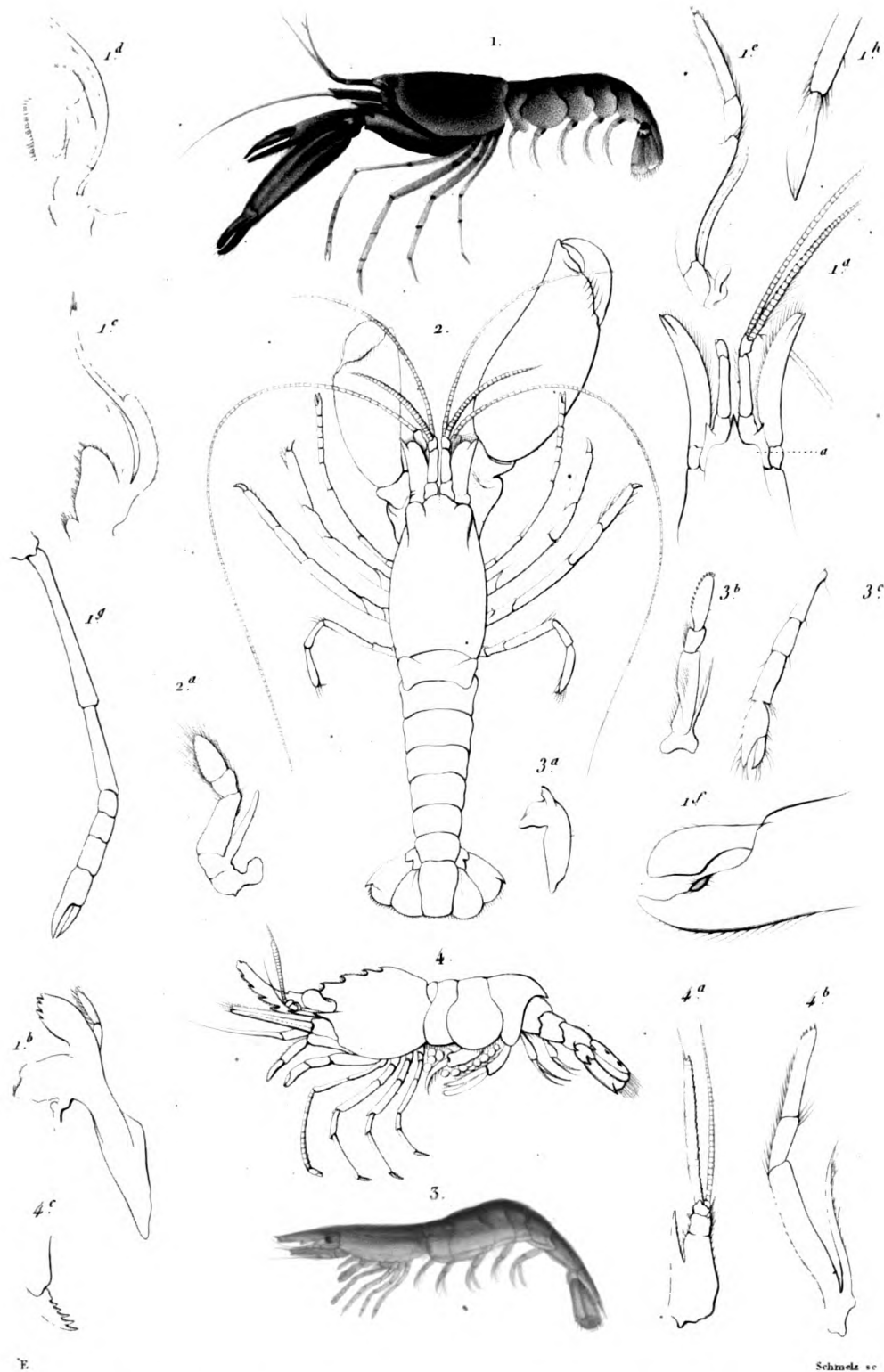
SALICOQUES.

GENRE ALPHÉE. *Alpheus*. Fabricius.

- Fig. 1.* ALPHÉE ROUGE. *Alpheus ruber*. Edw. Hist. nat. des Crust., t. 2, p. 351. Grossi deux fois et peint d'après le vivant.
- Fig. 1 a.* Extrémité antérieure du corps, grossie et vue en dessus pour montrer la voûte formée par la carapace au-dessus des yeux (*a*), le rostre et la disposition des antennes.
- Fig. 1 b.* Mandibule palpigère fortement grossie.
- Fig. 1 c.* Patte-mâchoire de la première paire.
- Fig. 1 d.* Patte-mâchoire de la seconde paire.
- Fig. 1 e.* Patte-mâchoire externe.
- Fig. 1 f.* Pince du côté gauche.
- Fig. 1 h.* Tarse d'une des pattes de la troisième paire.
- Fig. 2.* Croquis de l'ALPHÉE FRONTAL. *Alpheus frontalis*. Edw. op. cit. t. 2, p. 356. Grossi.
- Fig. 2 a.* Patte-mâchoire externe.

GENRE HIPPOLYTE. *Hippolyte*. Leach.

- Fig. 3.* HIPPOLYTE VERDATRE. *Hippolyte virescens*. Edw. *Alpheus viridis*. Otto. Un peu grossi et peint d'après le vivant.
- Fig. 3 a.* Mandibule dépourvu de palpe.
- Fig. 3 b.* Patte-mâchoire externe.
- Fig. 4.* Croquis de l'HIPPOLYTE BOSSU. *Hippolyte gibberosus*. Edw., op. cit., t. 2, p. 378.
- Fig. 4 a.* Antenne de la première paire.
- Fig. 4 b.* Patte-mâchoire externe.
- Fig. 4 c.* Tarse de l'une des pattes de la troisième paire.
- (D'après nature.)



1. ALPHEE ROUGE (Alpheus ruber)

3. HIPPOLYTE VERDATRE. (Hippolyte viridis.)

2. ——— FRONTALE (——— frontalis)

4. ——— BOSSU. (——— gibberosus)

DÉCAPODES MACROURES.

SALICOQUES.

GENRE PALEMON. *Palæmon*. Fabricius.

Fig. 1. PALÉMON SCIE. *Palæmon serratus*. De grandeur naturelle et peint d'après le vivant; il arrive souvent que ces Crustacés sont beaucoup moins colorés que ne l'était l'individu représenté ici (pour les détails sur les organes appendiculaires des Palémons, voyez la planche 4).

GENRE PANDALE. *Pandalus*. Leach. *Pontophilus*. Risso.

Fig. 2. Croquis du PANDALE NARVAL. *Pandalus narval*. Latr. De grandeur naturelle.

Fig. 2 a. Base de l'antenne de la première paire grossie.

Fig. 2 b. Mandibule.

Fig. 2 c. Patte-mâchoire externe.

Fig. 2 d. Fausse-patte abdominale.

GENRE LYSMATE. *Lysmata*. Risso.

Fig. 3. LYSMATE QUEUE SOYEUSE. *Lysmata seticaudata*. R. De grandeur naturelle et peint d'après le vivant, à Naples.

Fig. 3 a. Mandibule.

Fig. 3 b. Patte-mâchoire externe.

(D'après nature.)



Victor sc .

- 1. *PALEMON SCIE* (*Palemon serratus*)
- 2. *PANDALE NARVAL* . (*Pandalus narwal*)
- 5. *LYSMATE QUEIE SOIEUSE* . (*Lysmata seticaudata* .)



DÉCAPODES.

MACROURES.

SALICOQUES.

S.-GENRE ATHANAS. *Athanas*. Leach.

Fig. 1. ATHANAS LUISANT. *Athanas nitescens*. Leach. Croquis d'après la figure donnée par Leach et citée dans le texte.

S.-GENRE PASIPHAË. *Pasiphaea*. Savigny.

Fig. 2. PASIPHAË BRÉVIROSTRE. *Pasiphaea brevirostris*. Edw. Hist. des Crust., t. II, pag. 426. Grossi d'un tiers.

Fig. 2 a. Mandibule.

Fig. 2 b. Patte-mâchoire externe.

Fig. 2 c. Pincés.

Fig. 2 d. Patte de la quatrième paire.

Fig. 2 e. Extrémité de la patte postérieure.

SCHIZOPODES.

GENRE MYSIS. *Mysis*. Latreille.

Fig. 3. MYSIS SPINULEUX. *Mysis spinulosus*. Leach. Individu femelle, grossi au double.

GENRE CRYPTOPE. *Cryptopus*. Latr. *Cerataspis*. Gray.

Fig. 4. CRYPTOPE DE DEFRANCE. *Cryptopus Defranci*. Latr. *Cerataspis monstruosus*. Gray. Spicilegia zoologica. Edw. Hist. nat. des Crust., t. II, p. 139. Grossi au double.

Fig. 4 a. Antenne de la première paire ; celle de la seconde paire présente à sa base un appendice lamelleux, comme chez les Salicoques.

Fig. 4 b. Mandibule.

Fig. 4 c. Mâchoire de la première paire.

Fig. 4 d. Mâchoire de la seconde paire.

Fig. 4 e. Patte-mâchoire antérieure.

Fig. 4 f. Patte-mâchoire de la seconde paire.

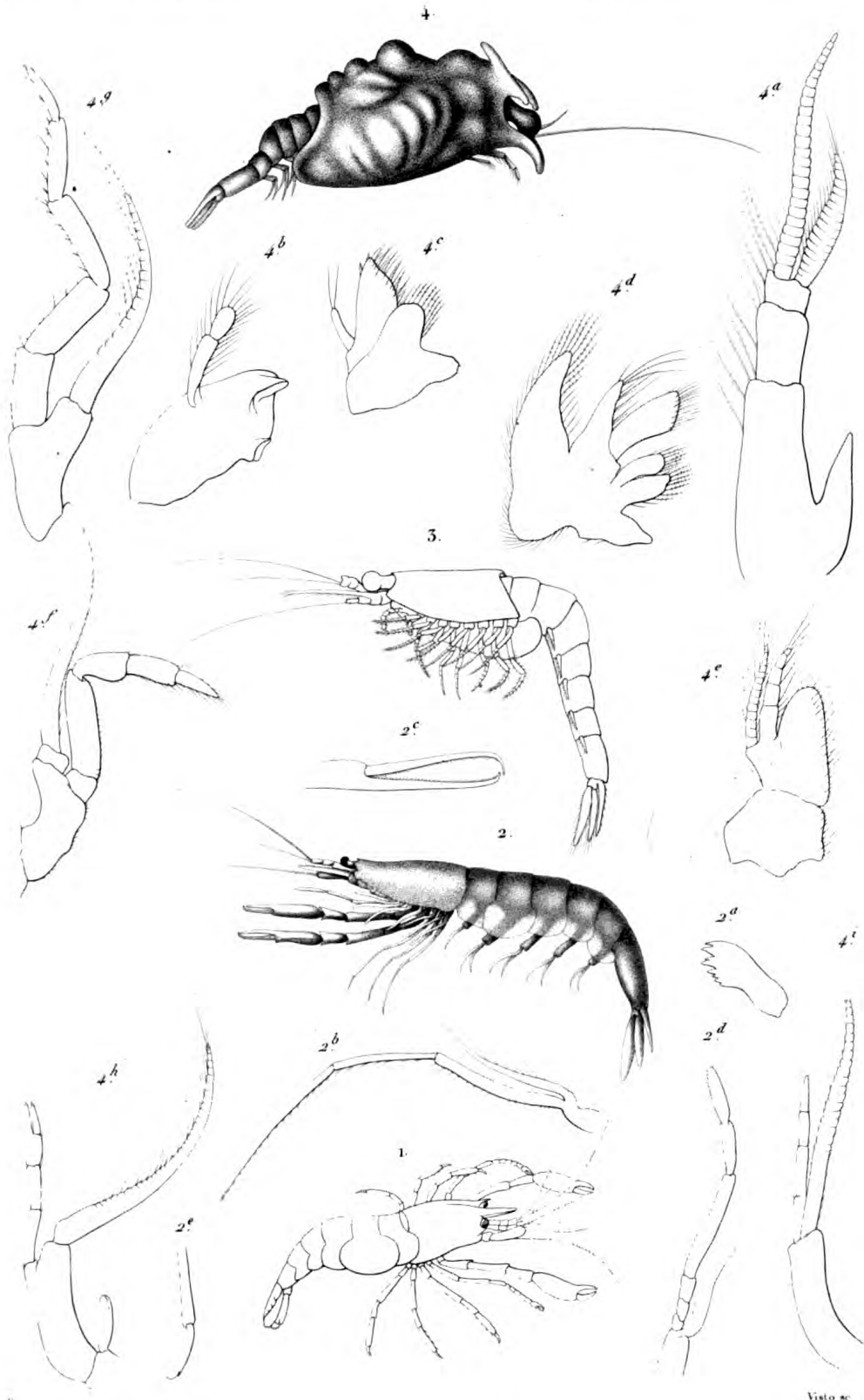
Fig. 4 g. Patte-mâchoire externe.

Fig. 4 h. Patte thoracique de la première paire. Celles de la seconde et de la troisième paires présentent la même structure.

Fig. 4 i. Patte de la quatrième paire, dont la conformation est semblable à celle de la cinquième paire.

Je me suis assuré que ce petit crustacé est pourvu de branchies fixées à la voûte des flancs comme chez les Salicoques, et je suis porté à croire que ce n'est pas un type générique, mais la larve de quelque Salicoque, probablement d'un Pénéé.

(D'après nature.)

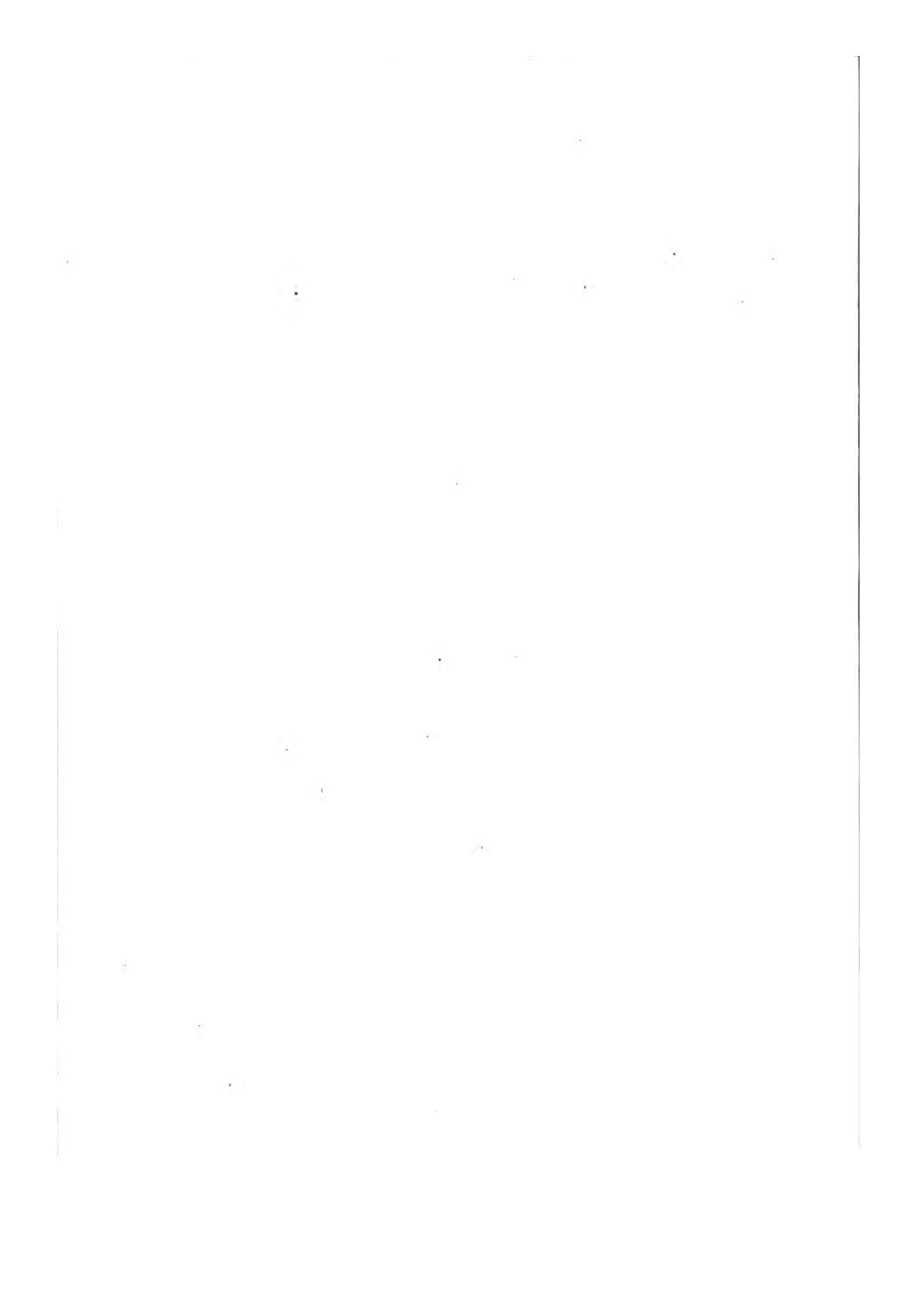


1. *ATHANAS LUISANT* (*Athanas nitescens*)

3. *MYSIS SPINULEUX* (*Mysis spinulosus*)

2. *PASIPHAË BREVIROSTRE* (*Pasiphaea brevirostris*)

4. *CRYPTOPE DEFRAINCK* (*Cryptopus Defrancei*)



STOMACH

STOMACH

STOMACH

STOMACH

STOMACH

STOMACH

STOMACH

STOMACH

STOMACH

STOMACH

STOMACH

STOMACH

STOMACH

STOMAPODES.

UNICUIRASSÉS.

GENRE SQUILLE. *Squilla*. Fabr.

S.-GENRE SQUILLES PROPRES. *Squilla*. Latr.

Fig. 1. SQUILLE MANTE. *Squilla mantis*. Rondelet. Réduit d'un tiers et peint d'après le vivant.

Fig. 1 a. Partie antérieure du corps vue de profil.

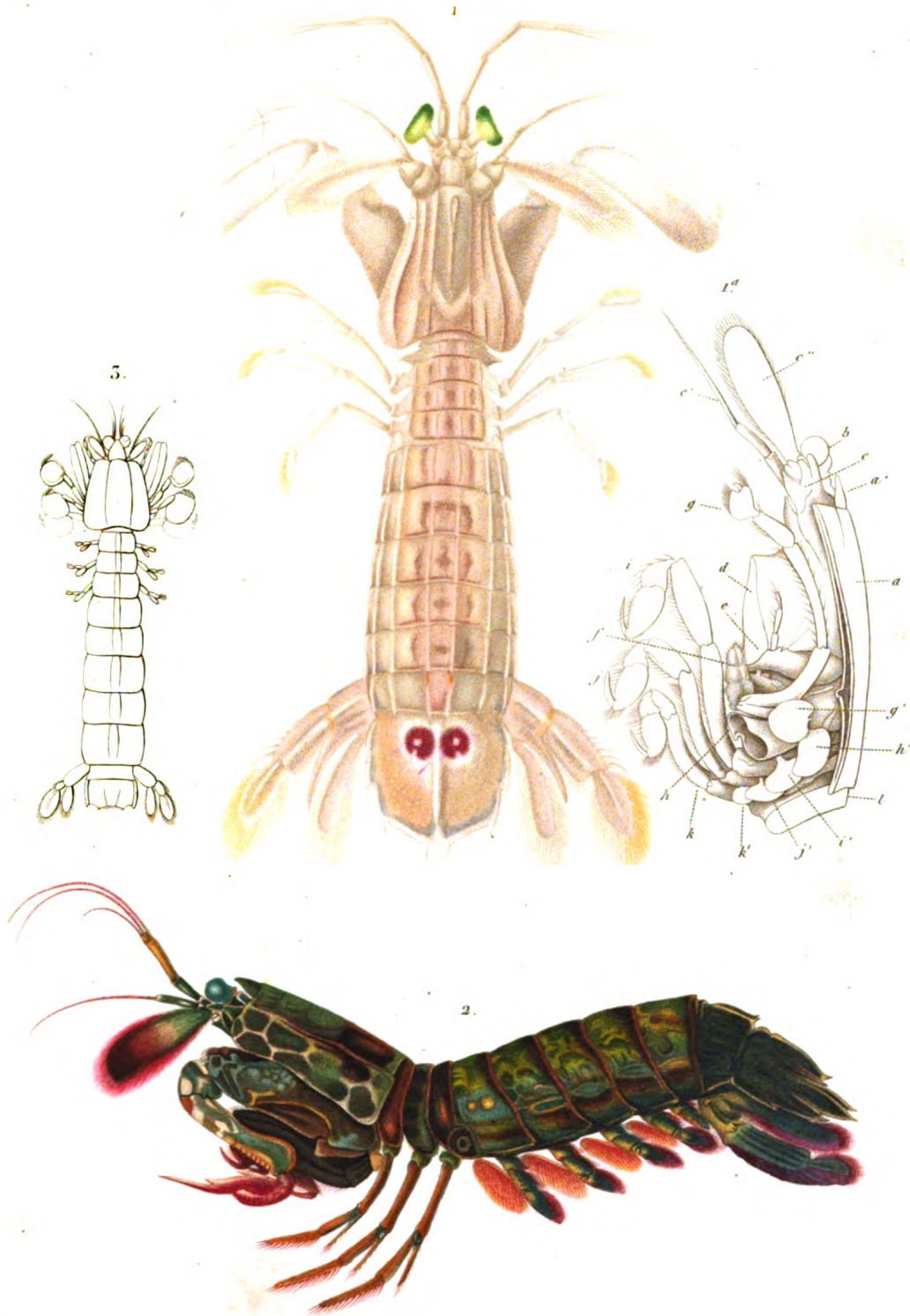
a. Carapace dont le lobe latéral a été coupé pour laisser voir la base des pattes. — *a'*. Plaque frontale — *b.* Yeux. — *c.* Antenne externe. — *c'* Sa tige mobile. — *c''*. Son appendice lamelleux. — *d.* Epistome. — *e.* Mandibule. — *f.* Mâchoire de la deuxième paire. — *g.* Patte-mâchoire de la première paire. — *g'*. Appendice foliacé fixé à sa base. — *h.* Base de la patte ravisseur. — *h'*. Appendice foliacé de cette patte. — *i, j, k.* Pattes-mâchoires des trois paires suivantes. — *i', j', k'*. Appendices foliacés correspondans. — *l.* Anneau thoracique. (Pour les autres appendices voyez la planche 4, fig. 3.)

S.-GENRE GONODACTYLE. *Gonodactylus*. Latr.

Fig. 2. GONODACTYLE SCYLLARE. *Gonodactylus scyllarus*. Latr. Réduit de moitié et vu de profil.

S.-GENRE CORONIDE. *Coronis*. Latr.

Fig. 3. Croquis du CORONIDE SCOLOPENDRE. *Coronis scolopendra*. Latr. D'après la figure qu'en a donnée M. Guérin dans son Iconographie.

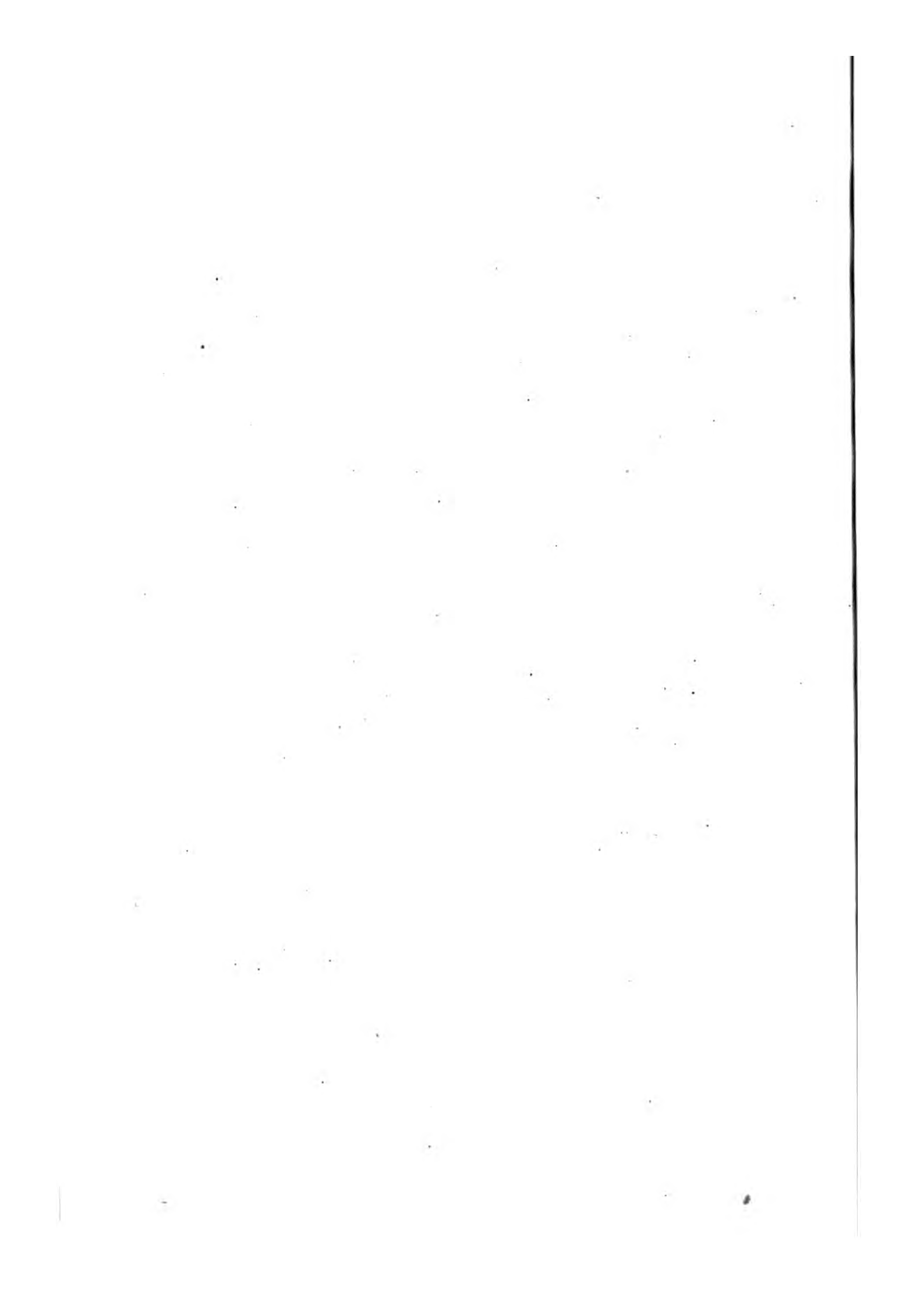


E

Sébin sc

- 1. SQUILLE MANTE. (Squilla mantis.)
- 2. GONODACTYLE SCYLLAIRE (Gonodactylus scyllarus)
- 3. CORONIDE SCOLOPENDRE (Coronis scolopendra.)





STOMAPODES

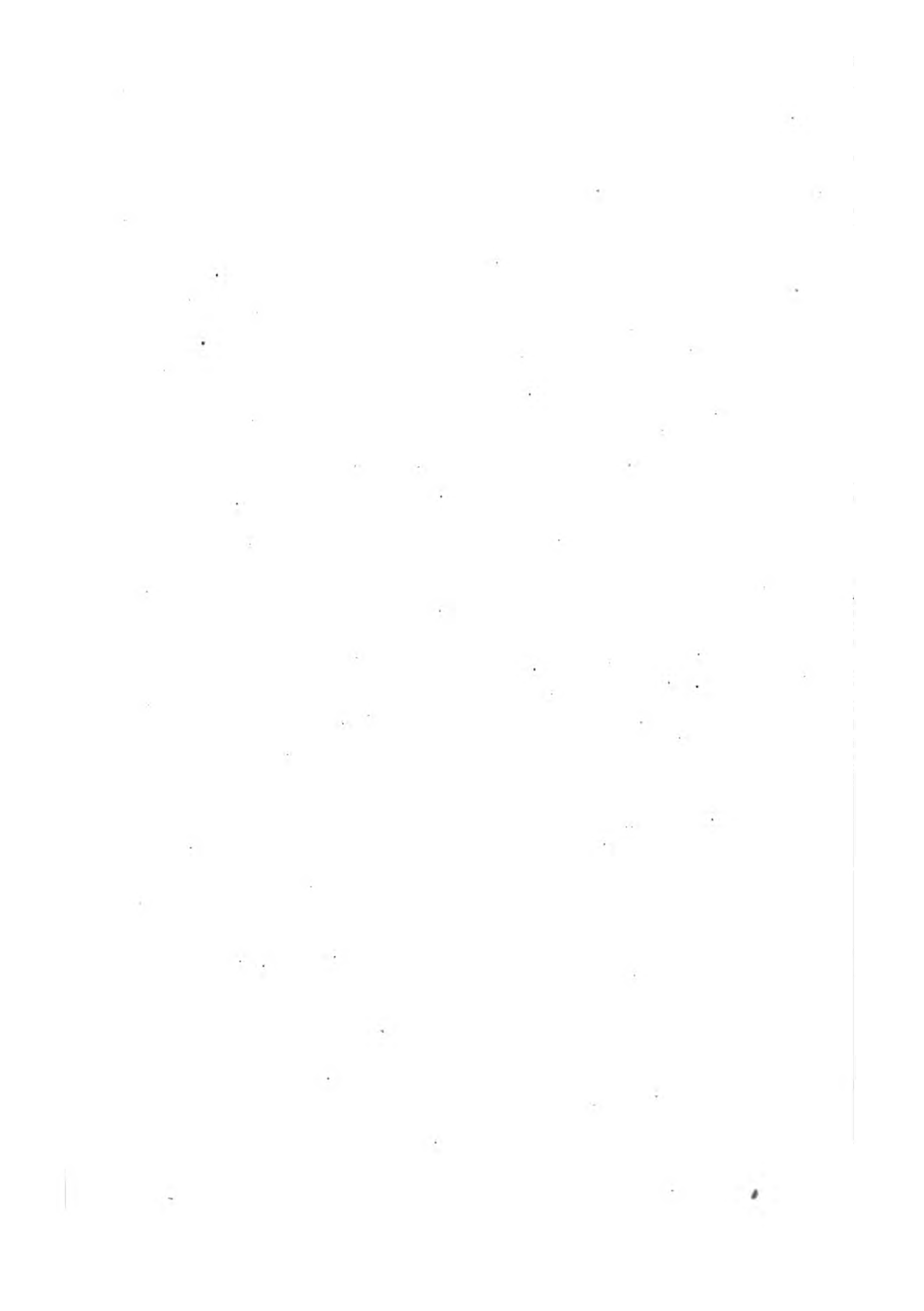
EMICURASSER

ANATOMIE DES SQUELÈTES

Pl. I. SYSTÈME ARTERIEL DE LA SÉRIE MANTO. (SÉRIE MANTO) EN DESSIN.

A. Céphalo-thorax. — B. Abdomen. — C. Les artères affèrent en dessin sur figure d'ordres afférentes. — A. Artère ophtalmique dont les artères accessoires se sont jetés sur les branches. — C. Artères accessoires de cette région la terminaison de cette artère est visible par l'extension (A) mais de cette part on n'en a pu voir (en C) de façon à en faire apparaître le trajet. — A. Artères des parties inférieures. — Artères abdominales latérales donnant des branches aux muscles dorsaux, au foie, etc. et se rejoignant en dessous pour former les artères-paires correspondantes. — Artères abdominales supérieures terminant le canal œsophagien. — Branches latérales de cette artère. — A. Artères. — B. Muscles gastriques postérieurs. — C. Les artères portant l'attention et envoyant des lobes ventraux (V) entre les muscles des ventres. — A. Artères. — B. Muscles dorsaux de l'abdomen, par ailleurs ont été indiqués. — A. Muscles dorsaux. — B. Muscles ventraux.

D'après un dessin appartenant à un travail inédit sur la circulation dans les séphales. par M. Alfred Edwards.



STOMAPODES.

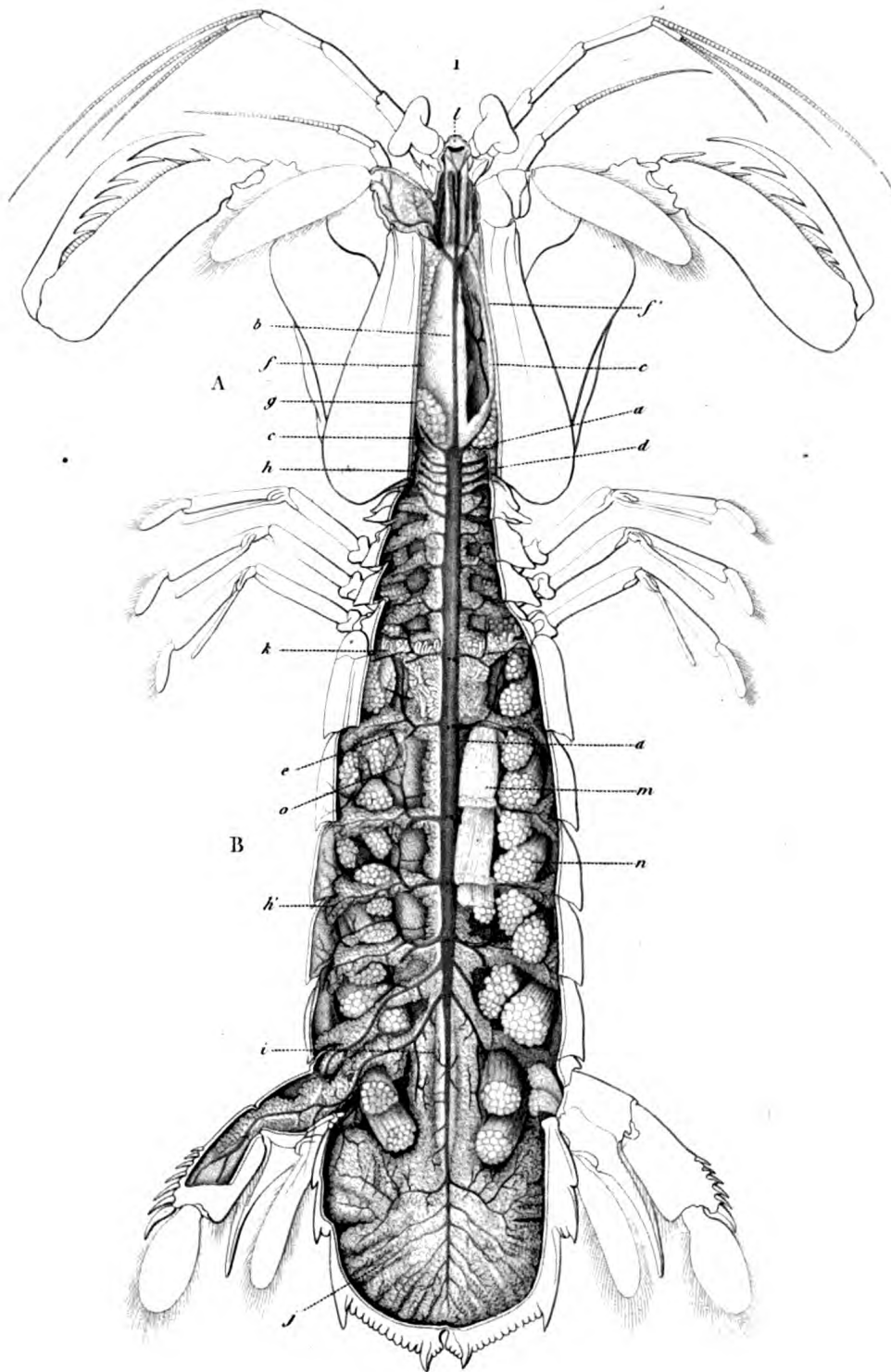
UNICUIRASSÉS.

ANATOMIE DES SQUILLES.

Fig. 1. SYSTÈME ARTÉRIEL DE LA SQUILLE MANTE. Injecté en rouge et vu en dessus.

A. Céphalo-thorax. — B. Abdomen. — *a.* Cœur offrant en dessus cinq paires d'orifices afférentes. — *b.* Artère ophthalmique dont les artères antennaires ne sont ici que des branches. — *c.* Artères gastriques; du côté gauche la terminaison de cette artère est cachée par l'estomac (*f.*), mais du côté droit ce viscère a été ouvert (en *f'*) de façon à en laisser apercevoir le trajet. — *d.* Artères des pattes mâchoires. — *e.* Artères abdominales latérales donnant des branches aux muscles dorsaux, au foie, etc., et se recourbant en dessous pour gagner les fausses-pattes correspondantes. — *i.* Artère abdominale supérieure terminant le cœur en arrière. — *j.* Branches hépatiques de cette artère. — *f.* Estomac. — *g.* Muscles gastriques postérieures. — *h.* Foie entourant l'intestin et envoyant des lobes rameux (*h'*) entre les muscles des membres. — *k.* Testicules. — *m.* Muscles dorsaux de l'abdomen, qui ailleurs ont été enlevés. — *n.* Muscles des membres. — *o.* Muscles ventraux.

(D'après un dessin appartenant à un travail inédit sur la circulation dans les Squilles, par M. Milne Edwards.)

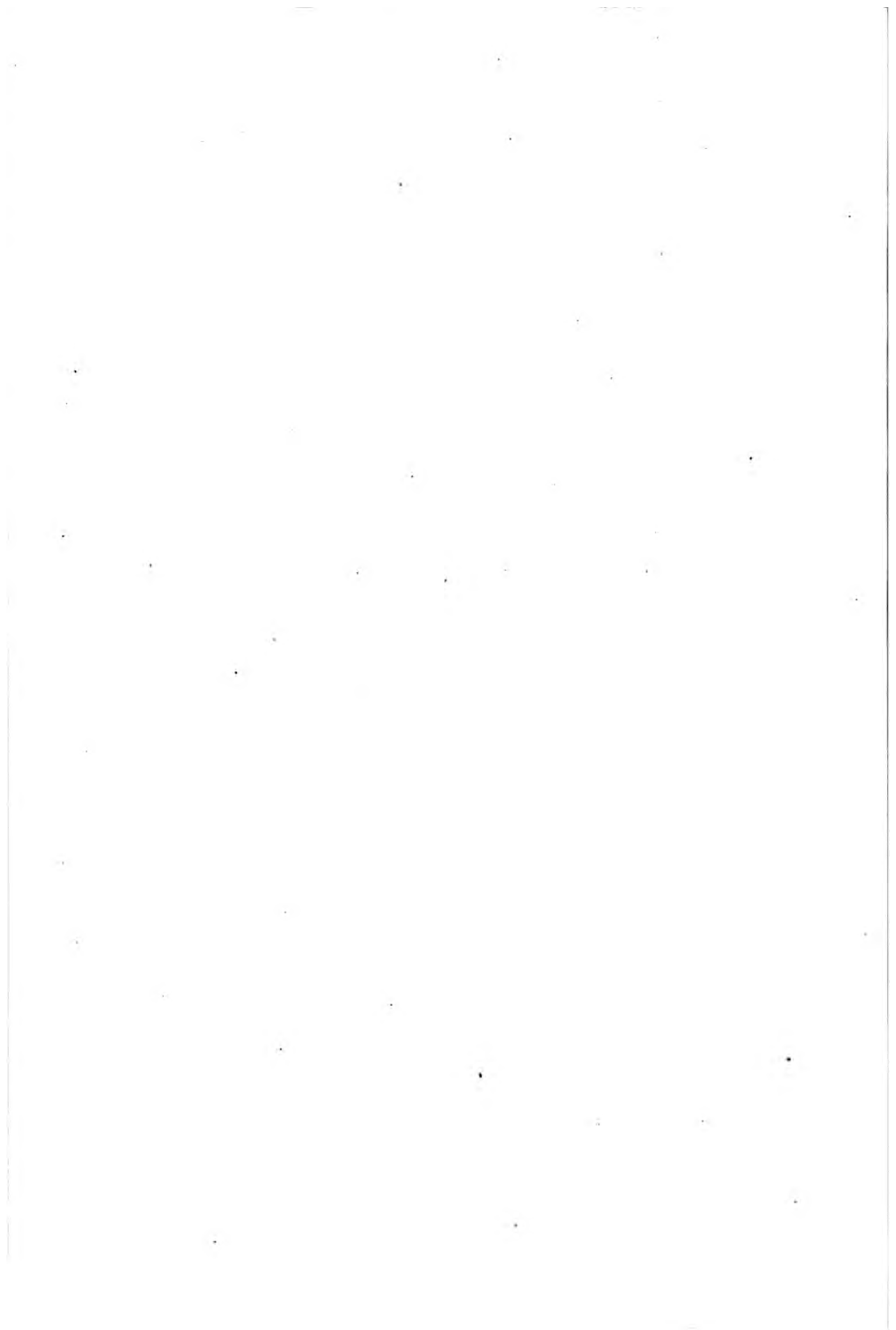


2

Viate sc

ANATOMIE DES SQUILLES

N. Remond unip



STOMATOPODES

COEUR ASSÉS

ANATOMIE DES SQUILLES

Suite de l'étude de la circulation dans le squille

Fig. 1. Artères de la face inférieure du corps.

a. Artères abdominales latérales, b. Artères abdominales médianes, c. Artères abdominales ventrales, d. Artères abdominales dorsales, e. Artères abdominales latérales, f. Artères abdominales médianes, g. Artères abdominales ventrales, h. Artères abdominales dorsales, i. Artères abdominales latérales, j. Artères abdominales médianes, k. Artères abdominales ventrales, l. Artères abdominales dorsales.

Fig. 2. L'une des pattes isolée et vue par sa face interne pour montrer la distribution des artères qui y sont contenues du canal branchio-cardiaque.

a. Artère branchio-cardiaque, b. Artère branchio-cardiaque, c. Artère branchio-cardiaque, d. Artère branchio-cardiaque, e. Artère branchio-cardiaque, f. Artère branchio-cardiaque, g. Artère branchio-cardiaque, h. Artère branchio-cardiaque, i. Artère branchio-cardiaque, j. Artère branchio-cardiaque, k. Artère branchio-cardiaque, l. Artère branchio-cardiaque.

Fig. 3. Le squelette injecté comme les précédents et on en a vu une partie dans l'ovaire, l'intestin et le foie en partie supérieure pour montrer le grand sinus veineux qui occupe la portion inférieure du corps.

a. Coeur coupé en milieu, b. Coeur coupé en milieu, c. Coeur coupé en milieu, d. Coeur coupé en milieu, e. Coeur coupé en milieu, f. Coeur coupé en milieu, g. Coeur coupé en milieu, h. Coeur coupé en milieu, i. Coeur coupé en milieu, j. Coeur coupé en milieu, k. Coeur coupé en milieu, l. Coeur coupé en milieu.

Fig. 4. Une squille injectée par les vaisseaux dérivés des branchies pour montrer la disposition des canaux branchio-cardiaques (a) et du péristomie (b).

Toutes ces figures sont tirées d'un travail inédit sur la circulation dans les squilles par M. Marie Bérard.

STOMAPODES.

UNICUIRASSÉS.

ANATOMIE DES SQUILLES.

Suite de L'APPAREIL DE LA CIRCULATION DANS LA SQUILLE MANTE.

Fig. 1. Artères de la face inférieure du corps.

a. Artère abdominale inférieure longant la face inférieure du système nerveux. —
b. Portion terminale des artères abdominales transversales représentées en *e* dans la
 planche précédente. — *c.* Pédoncule d'une fausse patte abdominale tronquée pour
 laisser voir le mode de distribution des artères dans la fausse patte suivante. — *d.*
 Fausse patte de la première paire. — *e.* Branchies. — *f.* anus.

Fig. 1 a. L'une des fausses pattes isolée et vue par sa face antérieure
 pour montrer la distribution des artères que s'y rendent et le trajet
 du canal branchio-cardiaque.

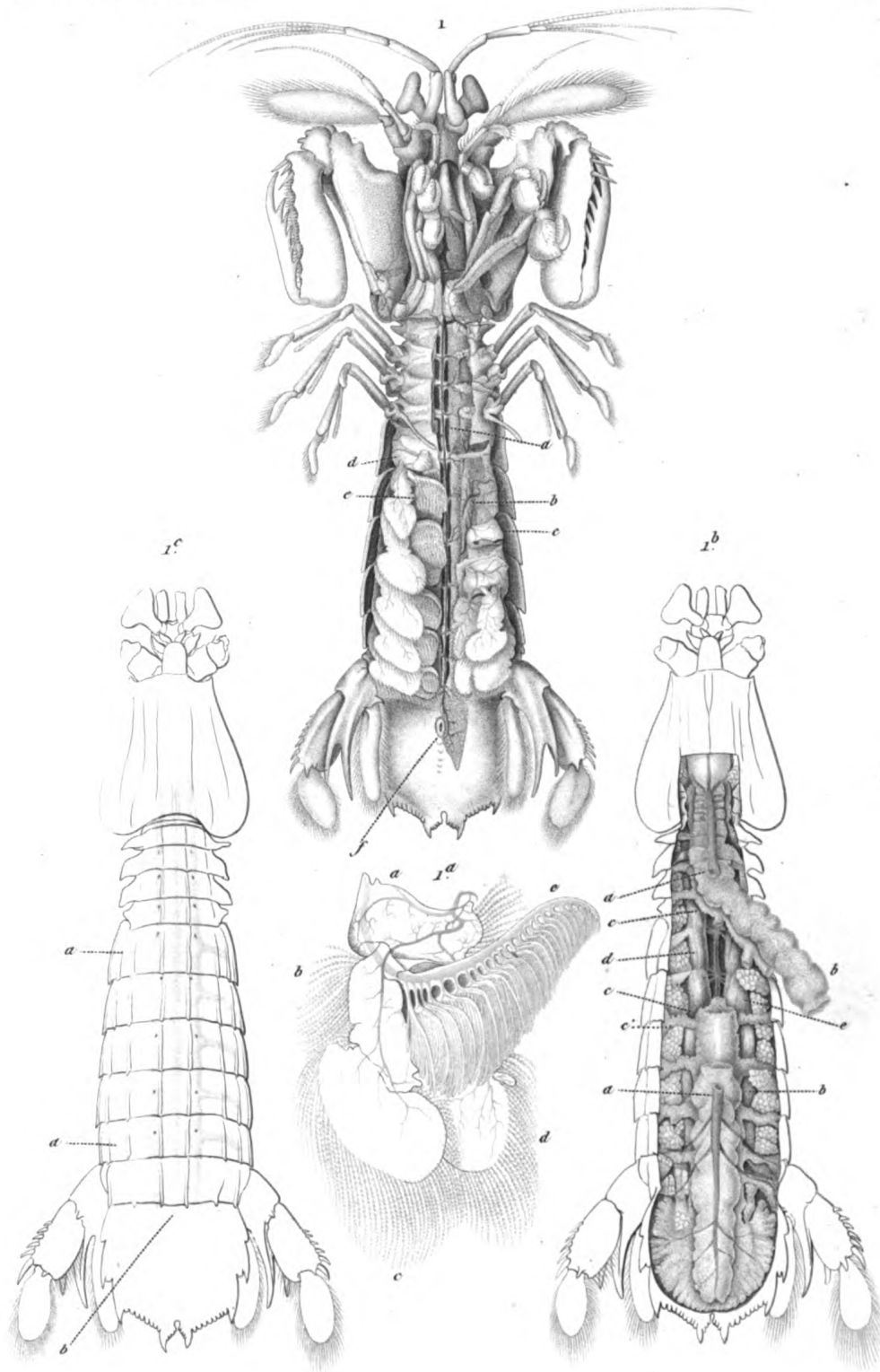
a. Article basilaire. — *b.* Rame externe. — *c.* Article terminale de cette rame —
d. Article terminal de la rame interne. — *e.* Branchie.

Fig. 1 b. Une Squille injectée comme les précédentes et ouverte en des-
 sus, mais ayant l'ovaire, l'intestin et le foie en partie rejetés de côté
 pour montrer le grand sinus veineux qui occupe la portion médiane
 et inférieure du corps.

a, a. Cœur coupé au milieu. — *b, b.* Ovaire. — *c.* Foie et intestin. — *c'* Lobules
 du foie. — *d.* Sinus veineux logeant le cordon ganglionnaire. — *e.* Muscles laté-
 raux formant de chaque côté les parois de ce sinus.

Fig. 1 c. Une Squille injectée par les vaisseaux déférens des branchies pour
 montrer la disposition des canaux branchio-cardiaques (*a*) et du sinus
 péricardique (*b*).

(Toutes ces figures sont tirées d'un travail inédit sur la circulation
 dans les Squilles, par M. Milne Edwards).

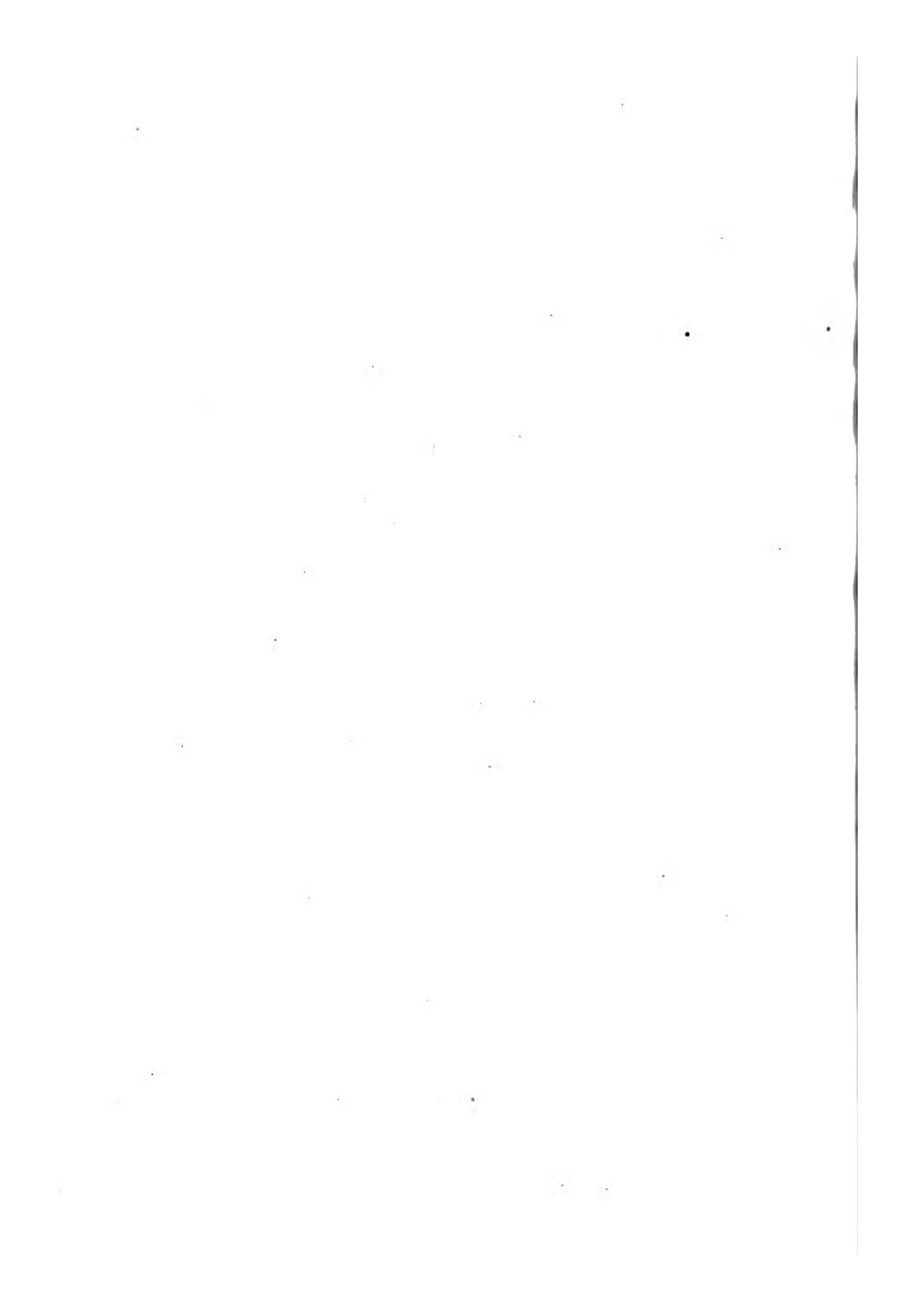


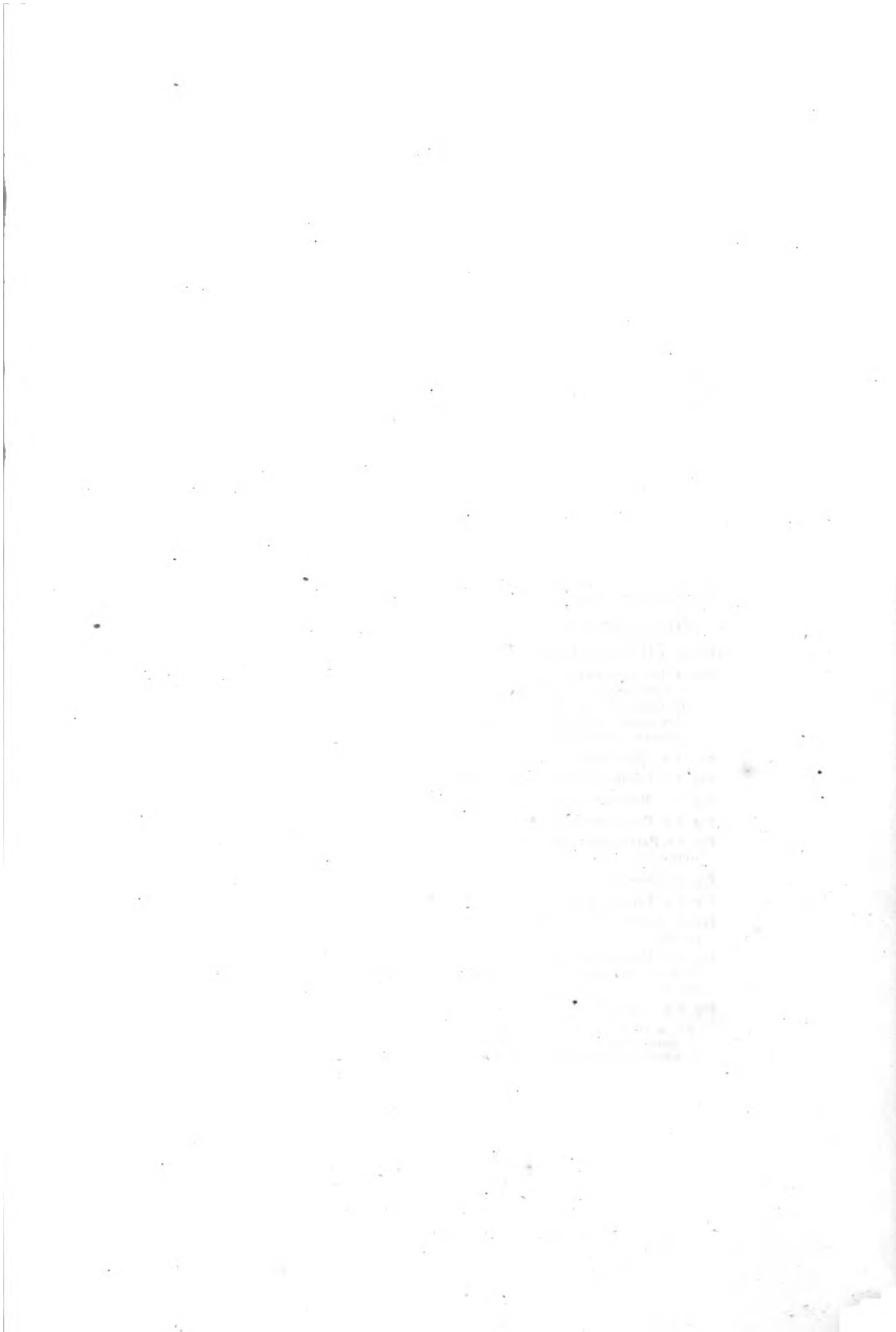
E.

Visto sc

ANATOMIE DES SQUILLES.

N Remond imp





STOMAPODES.

UNICUIRASSÉS.

GENRE ERICHTHE. *Erichthus*. Latreille.

Fig. 1. ERICHTHE VITRÉ. *Erichthus vitreus*. De grandeur naturelle.

Fig. 1 a. Portion de la tête, vue en dessous.

a. Portion des premiers anneaux céphaliques donnant insertion aux yeux (b), aux antennes internes (c), et aux antennes externes (d).

Fig. 1 b. Fausse patte abdominale, portant une branchie rudimentaire.

Fig. 1 c. Patte mâchoire de la première paire, portant à sa base une vésicule déprimée (a).

Fig. 1 c'. Patte ravisseuse, représentant la patte-mâchoire de la seconde paire.

Fig. 1 d. Patte-mâchoire de la troisième paire.

Fig. 1 e. Patte thoracique de la dernière paire.

GENRE ALIME. *Alima*. Leach.

Fig. 2. ALIME LATICAUDE. *Alima laticauda*. Edw. Hist. nat. des Crustacés, tome 2, page 507. Grossi à-peu-près trois fois, et vu en dessus.

Fig. 3. ALIME GRÈLE. *Alima gracilis*. Vue de profil.

Fig. 3 a. Portion antérieure du corps, vue en dessous.

BICUIRASSÉS.

GENRE PHYLLOSOME. *Phyllosoma*. Leach.

Fig. 4. PHYLLOSOME LONGIPÈDE. *Phyllosoma longipes*. Edw.

Cette espèce nouvelle appartient à la division des Phyllosomes ordinaires (Edw.) et se distingue par la longueur plus considérable des pattes de la dernière paire qui, chez les autres espèces du même groupe, sont rudimentaires.

Fig. 4 a. Mandibule.

Fig. 4 b. Mâchoire de la première partie.

Fig. 4 c. Mâchoire de la seconde partie.

Fig. 4 d. Patte-mâchoire externe.

Fig. 4 e. Patte-mâchoire de la deuxième paire, portant à sa base une vésicule (a).

Fig. 4 f. Base de l'une des pattes suivantes.

Fig. 4 g. Fausse pattes de la nageoire caudale.

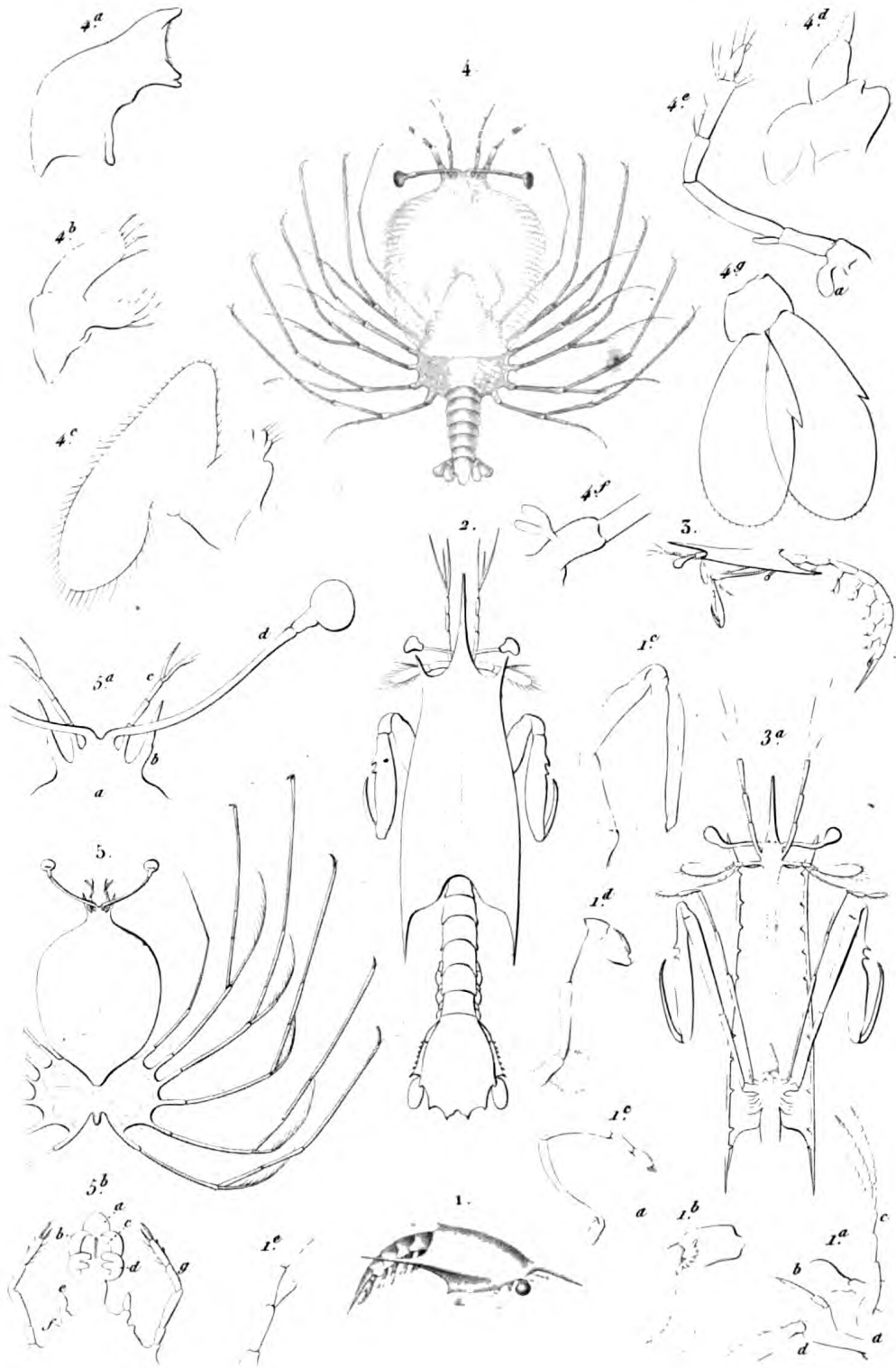
Fig. 5. PHYLLOSOME STILICORNE. *Phyllosoma stilicornis*. Edw. op. cit., p. 483.

Fig. 5 a. Extrémité antérieure du bouclier céphalique (a), portant les yeux (d), les antennes internes (c) et les rudiments d'antennes externes (b).

Fig. 5 b. Appareil buccal du même.

a. Lèvre supérieure. — b. Mandibule. — c. Lèvre inférieure. — d. Mâchoires de la première paire. — e, f. Rudiments des deux paires d'appendices suivantes. — g. Pattes-mâchoires représentant les pattes antérieures des Edriophthales.

(D'après nature.)

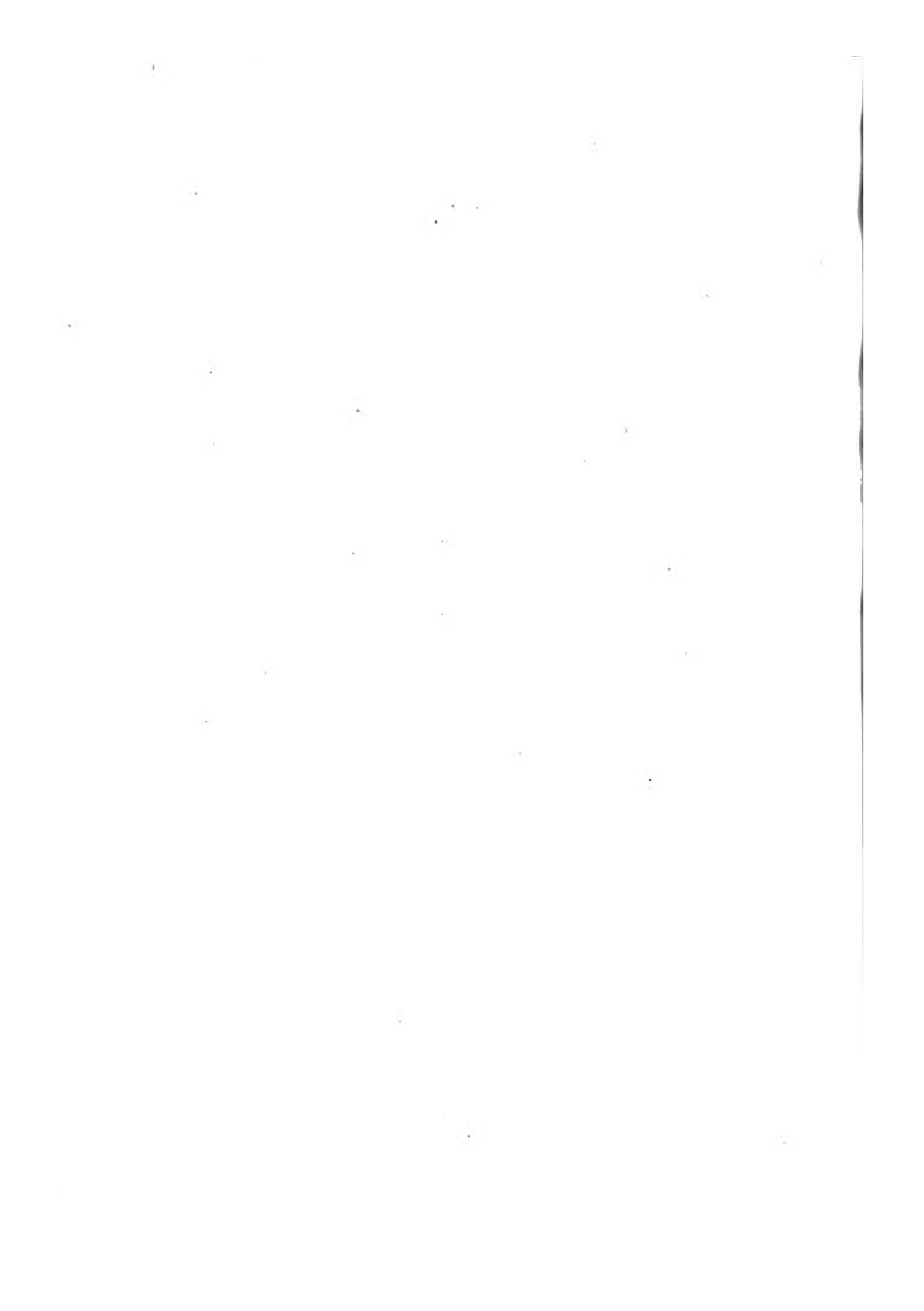


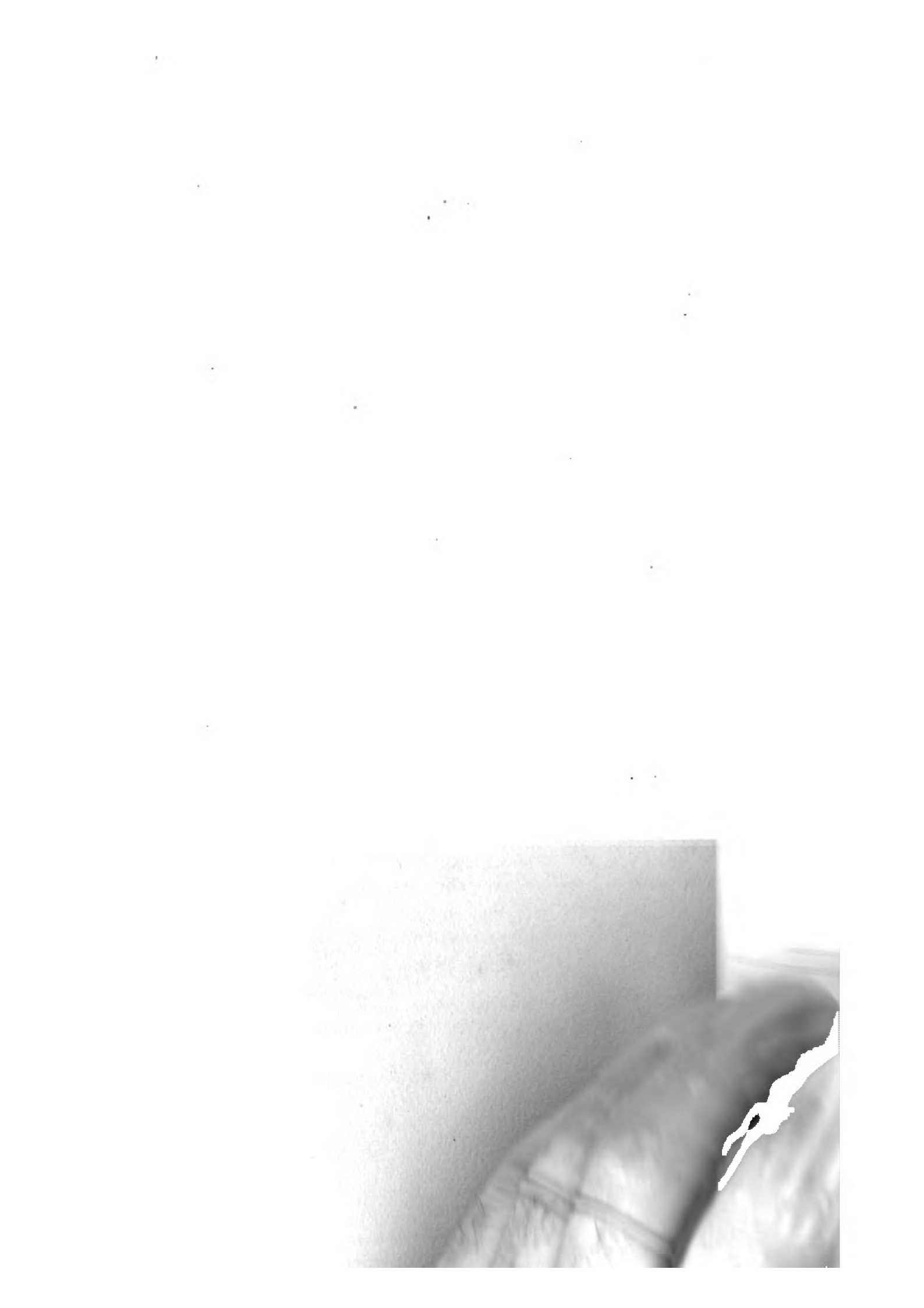
E.

Schmeltz sc.

- 1. ERICTHE VITRÉ. (Ericthus vitreus.)
- 2. ALIME LATICAUDE. (Alima laticauda.)
- 3. ——— GRÉLE (——— gracilis.)
- 4. PHYLLOSOME LONGIPEDE. (Phyllosoma longipes.)
- 5. ——— STYLICORNE (——— stylicornis.)

N. Rémond imp.







2^b



2^d

2^h



3^c



3^d



Forget ^{sc}

AMPHIPODES.

UROPTÈRES.

GENRE HYPÉRIE. *Hyperia*. Latr.

Fig. 1. HYPÉRIE DE LATREILLE. *Hyperia Latreillii*. Edw. (Ann. des Sc. Nat., t. 20). *Hiella Orbignii*. Strauss. Vu en dessus de grandeur naturelle.

Fig. 1 a. La même, vue de côté et grossie.

Fig. 1 b. Tête, vue de face.

a. Front. — *b.* Antenne de la première paire du côté droit. — *c.* Insertion de l'autre antenne antérieure. — *d.* Antenne de la seconde paire. — *e.* Article basilaire de l'antenne de la seconde paire du côté gauche. — *f.* Labre. — *g.* Palpes des mandibules. — *h.* Pattes-mâchoires.

Fig. 1 c. Mandibule très grossie.

Fig. 1 d. Mâchoire de la première paire.

Fig. 1 e. Mâchoire de la seconde paire.

Fig. 1 f. Pattes-mâchoires.

Fig. 1 g. Patte de la seconde paire.

a. Patte proprement dite. — *b.* Fouet vésiculaire. — *c.* Épimère.

Fig. 1 h. Portion postérieure de l'abdomen.

GENRE DACTYLOCÈRE. *Dactylocera*. Latr.

Fig. 2. DACTYLOCÈRE DE NICE. *Dactylocera Nicænsis*. Edw. (Ann. des Sc. Nat., t. XX.) De grandeur naturelle.

Cette espèce ne me paraît pas différer de celle désignée par M. Risso sous le nom de *Phrosina semilunata*, et citée par M. Latreille comme type de son genre *Dactylocère*; cependant elle ne présente pas les caractères assignés par notre auteur à ce même genre.

Fig. 2 a. Le même grossi, et vu de profil.

Fig. 2 b. Croquis de la tête, grossie et vue de face.

a. Cornes frontales représentant des antennes supérieures. — *b.* Antennes de la seconde paire.

Fig. 2 c. Antenne, grossie.

Fig. 2 d. Pattes-mâchoires.

Fig. 2 f. Mâchoire de la première paire.

Fig. 2 g. Mandibules.

Fig. 2 h. Portion postérieure de l'abdomen.

a. Troisième anneau. — *b.* Quatrième anneau. — *c.* Cinquième et sixième anneaux réunis. — *d.* Septième segment.

GENRE PHRONIME. *Phronima*. Latr.

Fig. 3. PHRONIME SÉDENTAIRE. *Phronima sedentaria*. Latr. Grossi, vu de profil.

a. Antenne. — *b.* Vésicules respiratoires.

Fig. 3 a. Le même renfermé dans le corps d'un Beroé.

Fig. 3 b. Antenne grossie.

Fig. 3 c. Mâchoire de la première paire.

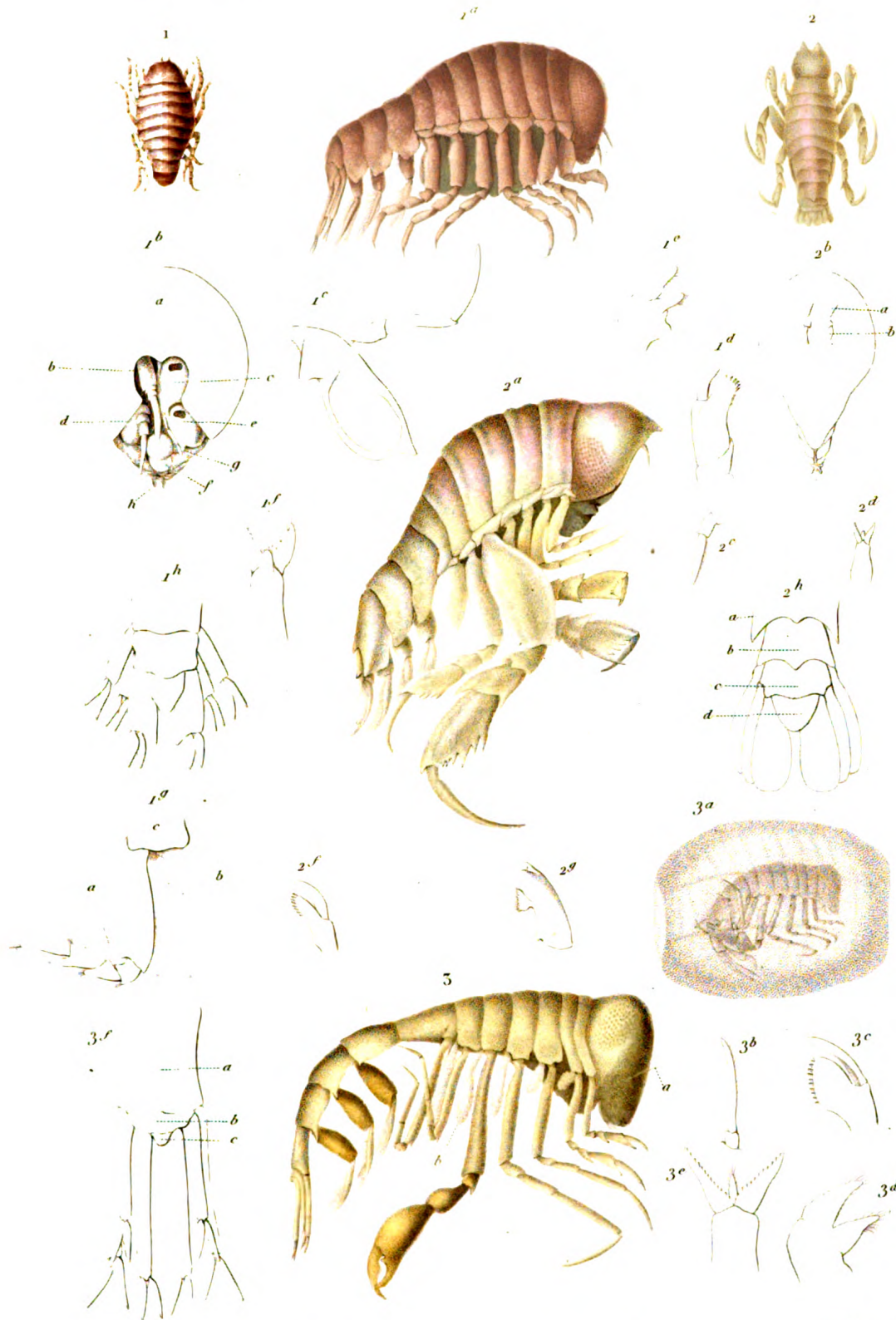
Fig. 3 d. Mâchoire de la seconde paire.

Fig. 3 e. Pattes-mâchoires.

Fig. 3 f. Extrémité postérieure de l'abdomen.

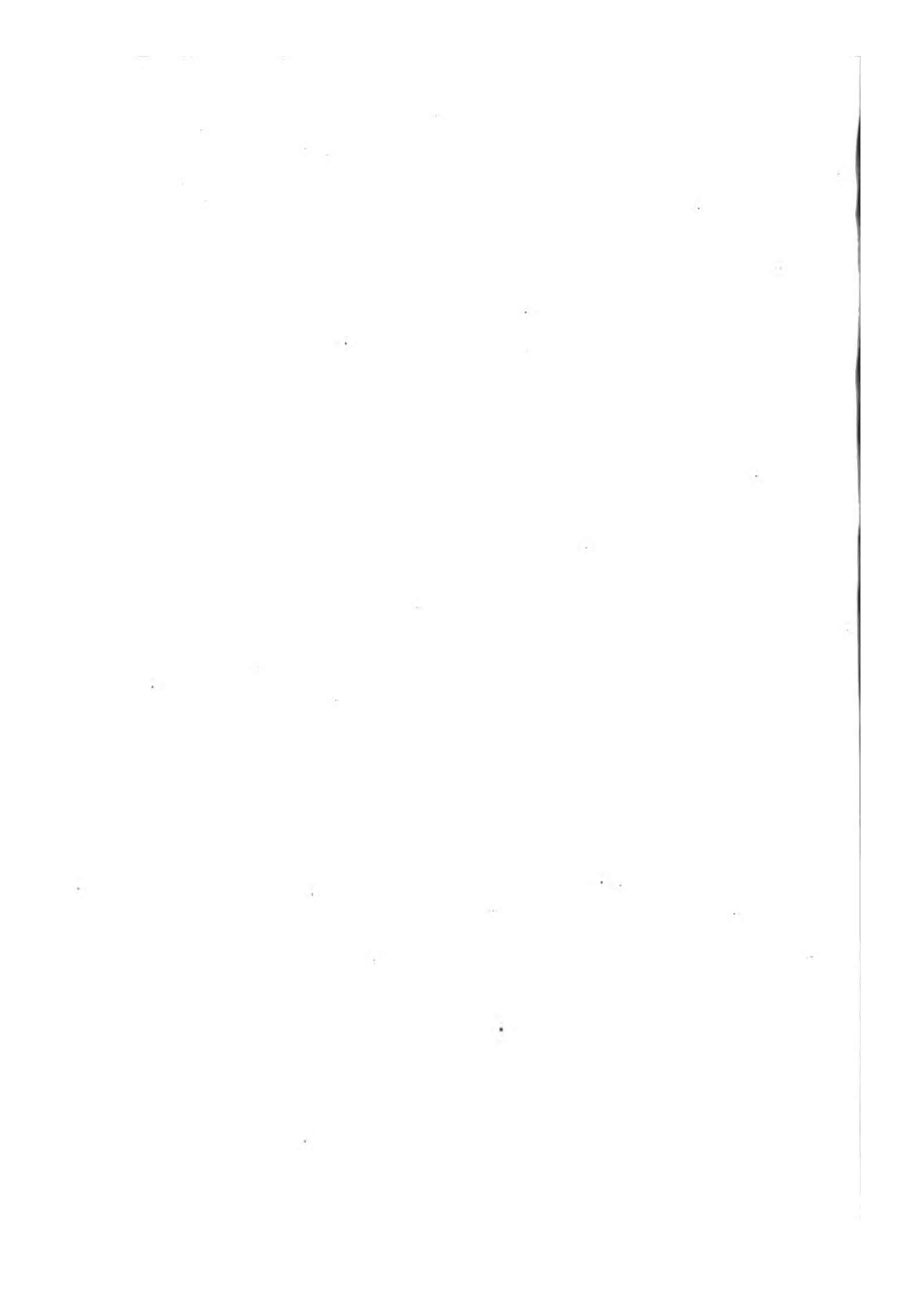
a. Quatrième anneau. — *b.* Cinquième et sixième anneaux réunis. — *c.* Septième segment.

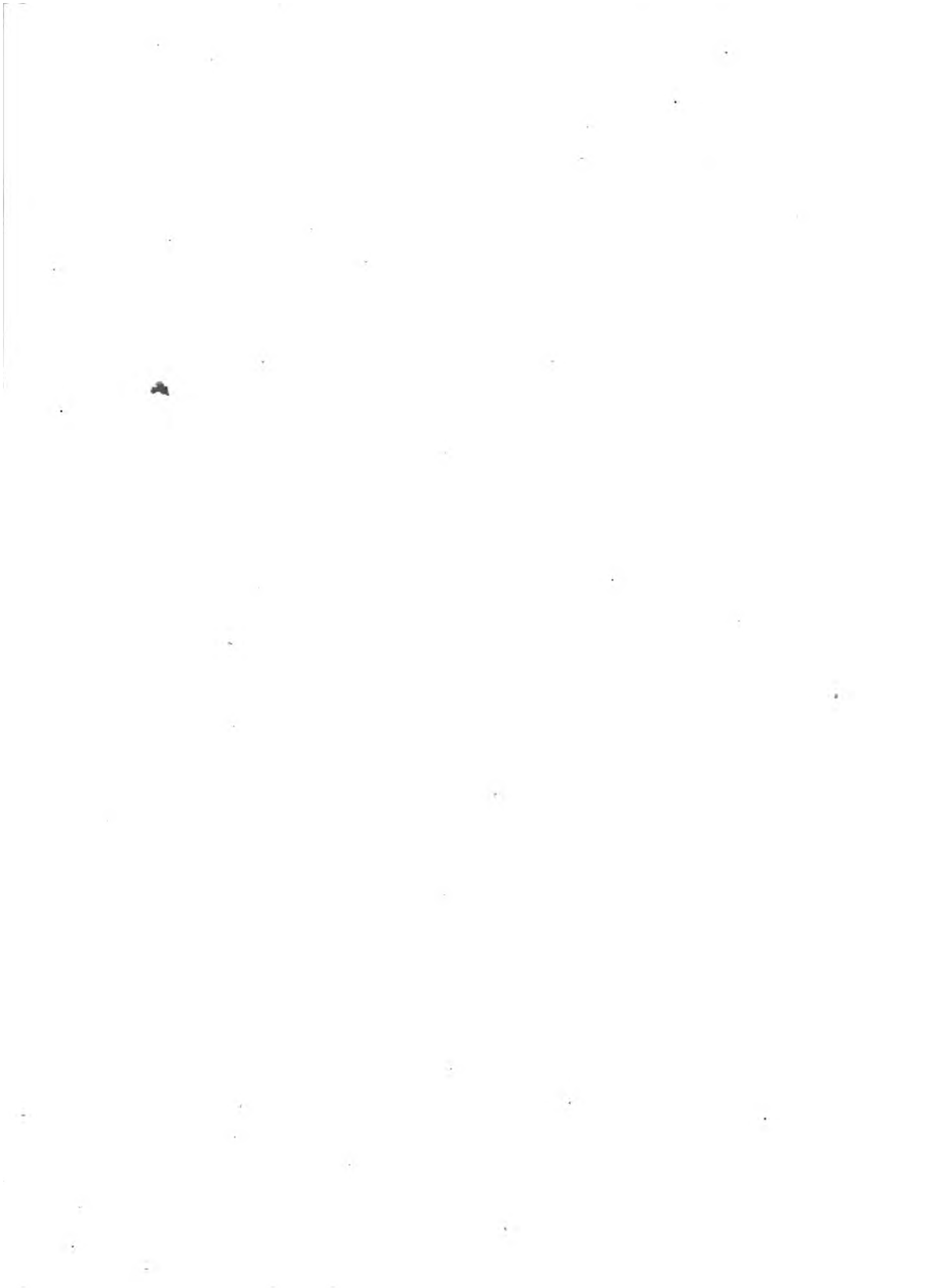
(D'après nature.)



1. *HYPERIE DE LATREILLE* (*Hyperia Latreilli*)
 2. *DACTYLOCERE DE NICE* (*Dactylocera Nicaensis*)
 3. *PHRONIME SÉDENTAIRE* (*Phronima sedentaria*)

Forget sc.





AMPHIPODES.

CREVETTINES.

GENRE JONE. *Jone*. Latreille.

Fig. 1. JONE THORACIQUE. *Jone thoracicus*. Latr. Individu mâle grossi environ seize fois.

Fig. 1 a. La femelle, vue en dessus et grossie seulement quatre fois.

Fig. 1 b. La même, vue en dessous.

Fig. 1 c. Portion de la tête, vue en dessous pour montrer les deux paires d'antennes, les mandibules, la lèvre inférieure, etc.

Fig. 1 d. Antenne externe grossie davantage.

Fig. 1 e. Patte-mâchoire.

Fig. 1 f. Patte de la première paire portant une vésicule flabelliforme et un appendice operculaire.

Il suffit de comparer ces figures d'une part avec celles des Talitres et des autres Amphipodes proprement dites, et de l'autre part avec celles des Cymothoés, etc. (pl. 65), pour se convaincre que ce n'est pas ici la place naturelle du genre *Jone*; dans la classification adoptée dans mon Histoire Naturelle des Crustacés, ces parasites sont rangés dans une division particulière de l'ordre des Isopodes à la suite des Cymothoadiens.

GENRE TALITRE. *Talitrus*. Latreille.

Fig. 2. TALITRE SAUTEUSE. *Talitrus saltator*. Edw. *Talitrus locusta*. Latr. *Squilla saltatrix*. Klein. De grandeur naturelle.

Fig. 2 a. La même grossie et peint d'après le vivant.

GENRE ORCHESTIE. *Orchestia*. Leach.

Fig. 3. Croquis de l'ORCHESTIE LITTORALE. *Orchestia littorea*. Leach. Grossie.

Fig. 2 b. Antenne supérieure de l'Orchestie littorale beaucoup grossie.

Fig. 2 c. Labre.

Fig. 2 d. Mandibule.

Fig. 2 e. Mâchoire de la première paire.

Fig. 2 f. Lèvre inférieure.

Fig. 2 g. Mâchoire de la seconde paire.

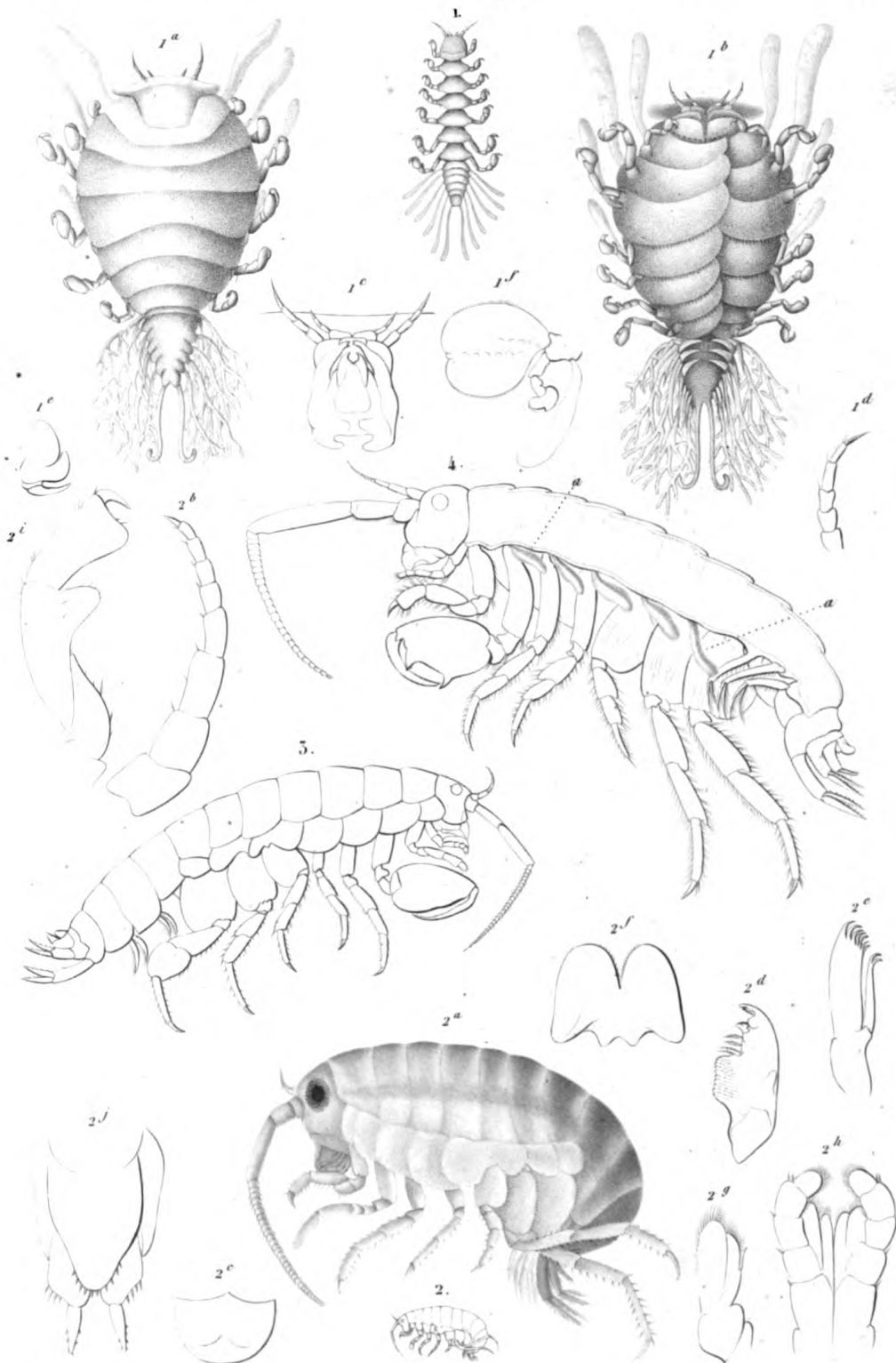
Fig. 2 h. Patte-mâchoire.

Fig. 2 i. Patte de la première paire.

Fig. 2 j. Extrémité postérieure de l'abdomen vu en dessus.

Fig. 4. Croquis de l'ORCHESTIE QUOYIEN. *Orchestia Quoyiana*. Edw. Fendu longitudinalement pour montrer la face interne des pattes, et les vésicules branchiales (*a, a*) fixées à leur base.

(D'après nature.)

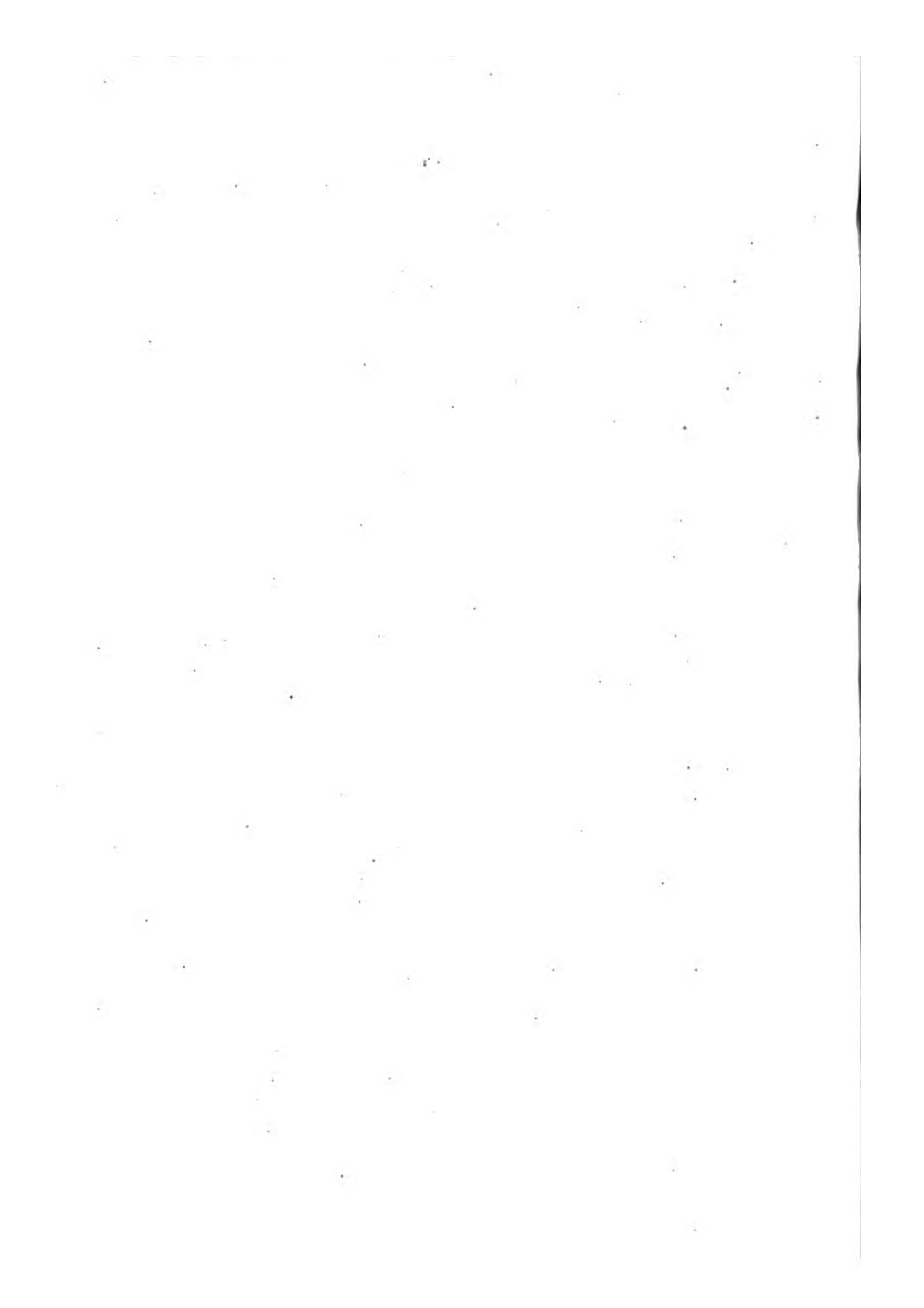


E.

Victor sc.

- 1. *JONE THORACIQUE*. (*Jone thoracicus* .)
- 2. *TALITRE SAUTEUSE*. (*Talitrus saltator* .)
- 3. *ORCHESTIE LITTORALE*. (*Orchestia littorea* .)

J. Remond imp.



AMPHIPODES.

GENRE CREVETTE. *Gammarus*. Fabr.

S.-GENRE CREVETTE proprement dite. *Gammarus*. Latr.

Fig. 1. CREVETTES DES RUISSEAUX. *Gammarus pulex*. Grossie environ huit fois.

Fig. 2. Tête de la CREVETTE LOCUSTE. *G. locusta*. Vue de profil et grossie davantage.

a. Bord postérieur de la tête. — b. Portion de l'antenne supérieure. — c. Portion de l'une des antennes de la seconde paire. — d. Mandibule. — e. Son palpe. — f. Lèvre inférieure. — g. Mâchoire de la première paire. — h. Mâchoire de la deuxième paire. — i. Patte-mâchoire. — j. Son palpe.

Fig. 2 a. La bouche de la même, vue en dessous.

a. Base des antennes de la deuxième paire. — b. Thorax. — c. Pattes-mâchoires. — d. Palpes-mandibulaires.

Fig. 2 b. Labre du même.

Fig. 2 c. Mandibule.

Fig. 2 d. Mâchoire de la première paire.

Fig. 2 e. Mâchoire de la deuxième paire.

Fig. 2 f. Lèvre inférieure.

Fig. 2 g. Portion basilaire de l'une des pattes thoraciques de la troisième paire.

a. L'anne épimérienne. — b. Patte. — c. Appendice analogue au fouet transformé en vésicule branchiale. — d. Appendice analogue au palpe, transformé en filet ovigère.

Fig. 3. CREVETTE DE DUGÈS. *Gammarus Dugesii*. Edw. Grossie.

Cette espèce offre un exemple de la forme des mains de la deuxième paire, qui est caractéristique du genre *Melita* de Leach. Genre qui ne paraît pas devoir être adopté.

Fig. 4. CREVETTE BRÉVICAUDE. *Gammarus brevicaudatus*. Edw. Grossie.

Individu mâle. Ici la main de la deuxième paire offre les particularités de forme propres au genre *Mœra* de Leach.

Fig. 4 a. Patte de la seconde paire chez la femelle, conformée de la même manière que chez les Crevettes ordinaires.

Fig. 4 b. Appendices caudaux de la dernière paire.

S.-GENRE MÉLITE. *Melita*. Leach.

Fig. 5. MÉLITE PALMÉE. *Melita palmata*. Leach. D'après Leach.

(Ce genre, comme nous venons de le dire, ne paraît pas être admissible).

S.-GENRE AMPHITHOE. *Amphithoe*. Leach.

Fig. 6. AMPHITHOE DE MARION. *Amphithoe Marionis*. Edw. Grossie.

S.-GENRE LEUCOTHOE. *Leucothoe*. Leach.

Fig. 7. LEUCOTHOE FURINA. *Leucothoe furina*.¹ *Lycesta furina*. Savigny. Grossie. Croquis fait d'après la figure publiée par M. Savigny, dans le grand ouvrage sur l'Égypte.

Fig. 7 a. Pattes-mâchoires.

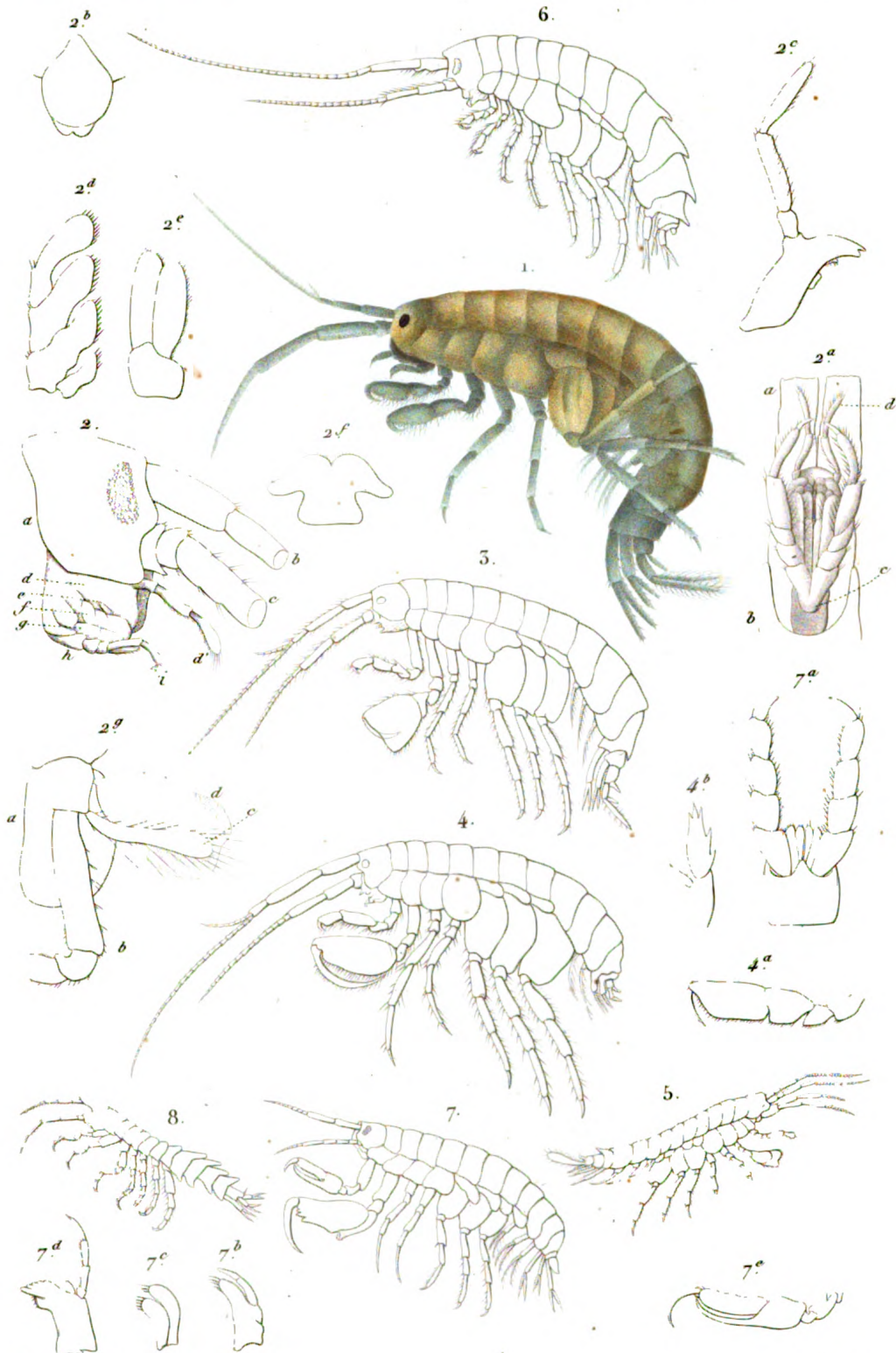
Fig. 7 b et 7 c. Mâchoires.

Fig. 7 d. Mandibule.

S.-GENRE ATYLE. *Atylus*. Leach.

Fig. 8. ATYLE CARÉNÉ. *Atylus carinatus*. Leach. Croquis d'après la figure donnée par Leach.

Toutes les figures, à l'exception de celles portant les numéros 5, 7 et 8, ont été faites d'après nature.

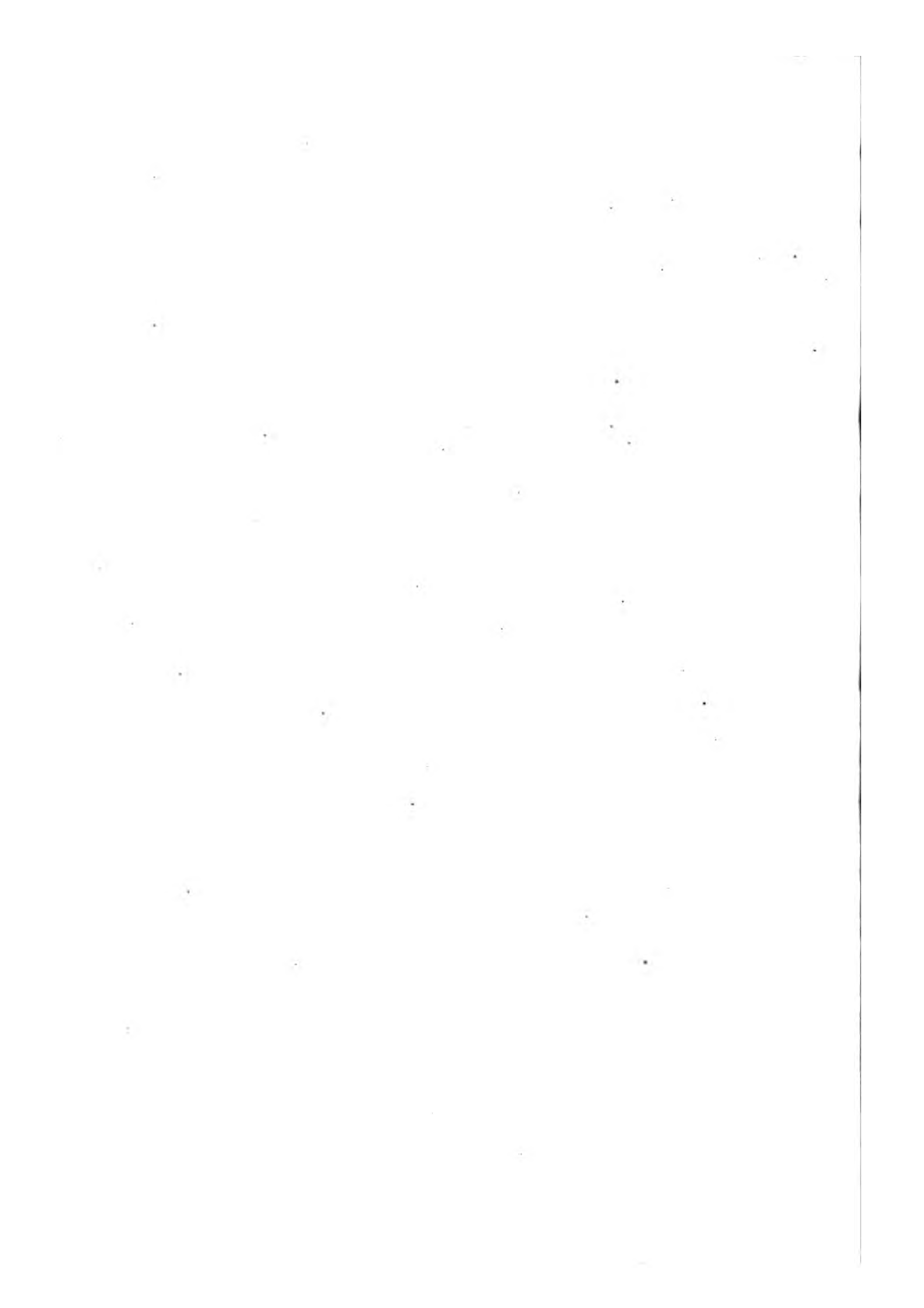


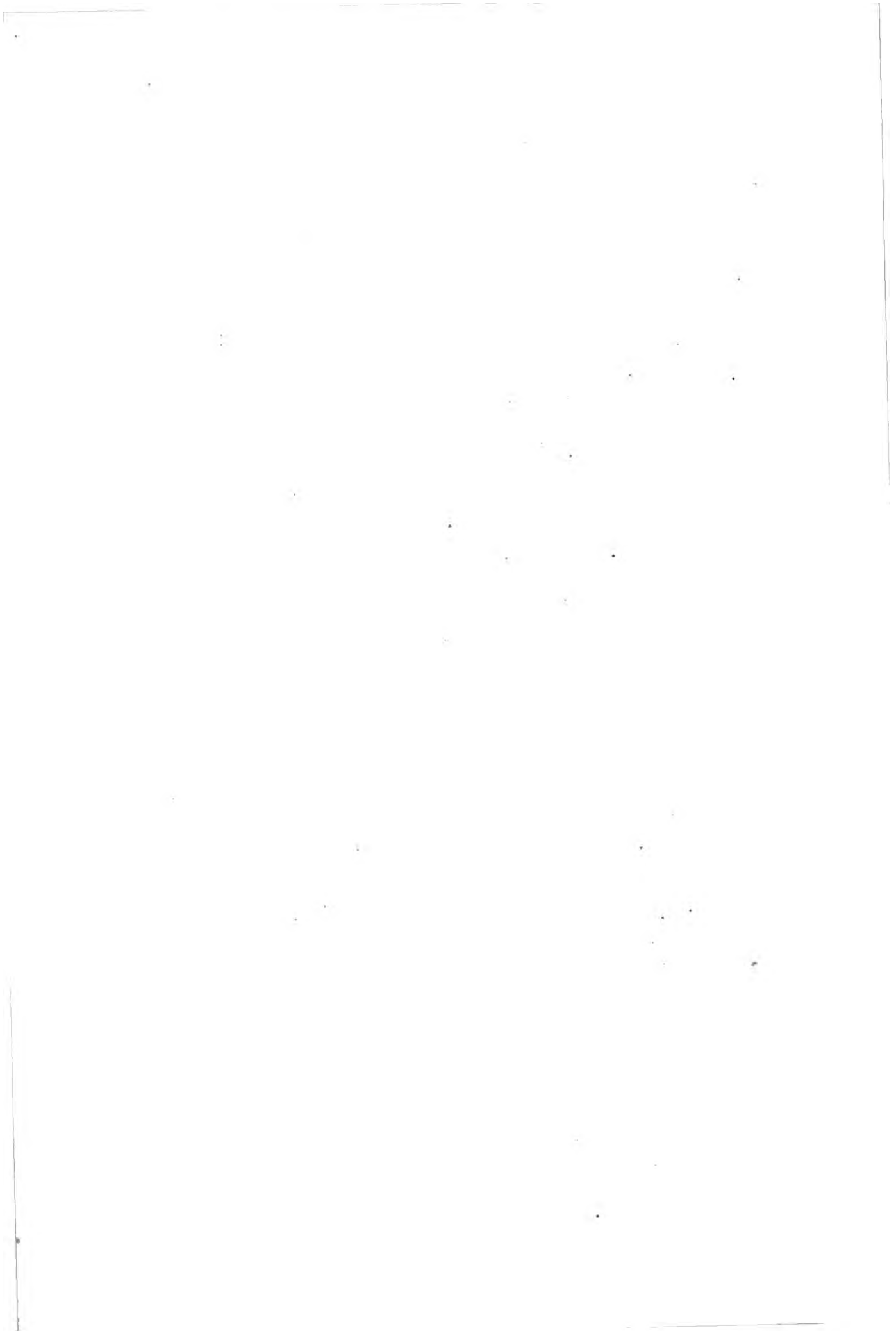
E

Visto sc.

- | | |
|---|--|
| 1. CREVETTE DES RUISSEAUX (Gammarus fluviatilis) | 5. MÉLITE PALMÉE (Melitus palmatus) |
| 3. ——— DE DUGÈS. (C. — — — Dugesii) | 6. AMPHITÔÉ DE MARION. (Amphitoe Marionis) |
| 4. ——— BREVICAUDE (G. — — brevicaudatus) | 7. LEUCOTHÔÉ FURINA (Leucothoe furina.) |
| 8. ATYLU CARINÉ (Atylus carinatus) | |

A Remond imp.





AMPHIPODES.

CREVETTINES.

GENRE COROPHIE. *Corophium*. Latr.

Fig. 1. COROPHIE LONGICORNE. *Corophium longicorne*. Latr. Individu mâle, vu de profil et grossi cinq fois.

Fig. 1 a. Mandibule.

Fig. 1 b. Mâchoire antérieure.

Fig. 1 c. Mâchoire de la seconde paire.

Fig. 1 d. Patte-mâchoire.

Fig. 1 e. Patte de la première paire.

Fig. 1 f. Patte de la seconde paire.

Fig. 1 g. Patte de la quatrième paire chez la femelle.

a. Patte proprement dite. — b. Palpe flabelliforme. — c. Fouet vésiculeux.

Fig. 1 h. Patte du mâle, dépourvu du palpe.

a. Patte proprement dite. — b. Fouet vésiculeux.

Fig. 1 i. Fausse-patte abdominale de la seconde paire.

Fig. 1 j. Portion postérieure de l'abdomen.

a. Quatrième anneau. — b. Ses appendices. — c. Cinquième anneau. — d. Sixième anneau. — e. Septième segment.

GENRE JASSE. *Jassa*. Leach.

Fig. 2. JASSE PÉLAGIQUE. *Jassa pelagica*. Leach. Grossie et dessinée d'après l'individu décrit par Leach et conservée dans le Muséum Britannique à Londres.

Fig. 3. JASSE MIGNONNE. *Jassa pulchella*. Leach. Grossie; dessinée d'après l'individu décrit par Leach et conservé dans le Muséum Britannique.

GENRE PODOCÈRE. *Podocerus*. Leach.

Fig. 4. PODOCÈRE VARIÉ. *Podocerus variegatus*. Leach. Grossi; d'après l'individu décrit par Leach et conservé dans le Muséum Britannique.

GENRE CERAPODE. *Cerapus*. Say.

Fig. 5. CROQUIS DU CERAPODE TUBULAIRE. *Cerapus tubularis*. Say. Renfermé dans sa gaine.

Fig. 5 a. Portion antérieure du même, grossi.

Fig. 5 b. Le même retiré de sa gaine, et vu de profil.

Fig. 5 c. Patte de la seconde paire.

Fig. 5 d. Extrémité postérieure de l'abdomen.

(Les figures 5, 5 a, 5 b, 5 c et 5 d, sont copiées d'après la planche publiée par M. Say dans le Journal de l'Acad. de Philadelphie; toutes les autres figures sont faites d'après nature.)



1 *COROPHIE LONGICORNE* (*Corophium longicorne*)

3 *JASSE MIGNONNE* (*Jassa pulchella*)

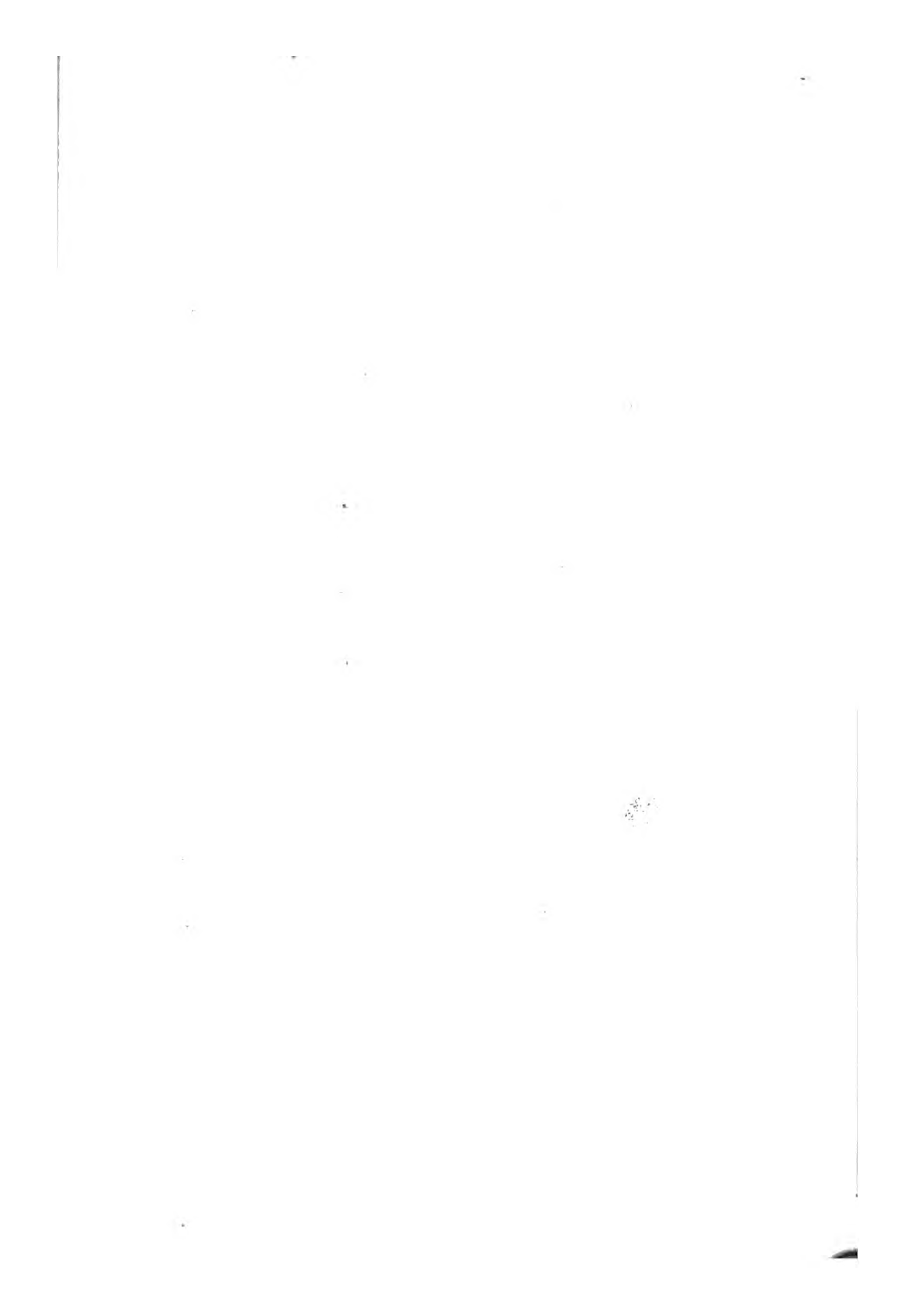
2 *JASSE PELAGIQUE* (*Jassa pelagica*)

4 *PODOCERE VARIE* (*Podocerus variegatus*)

5 *CERAPODE TUBULAIRE* (*Cerapus tubularis*)

E

Lebrun sc.



AMPHIPODES.

GENRE APSEUDE. *Apseudes*. Leach.

Fig. 1. APSEUDE TALPIFORME. *Apseudes talpa*. Leach. *Cancer gummurus talpa*. Montagu.

Grossi et dessiné d'après l'individu, décrit par Montagu, et conservé dans la collection du Musée Britannique à Londres, mais mal figuré par ce naturaliste.

Fig. 1 a. Le même, déformé par la dessiccation et tel que Montagu l'a figuré.

GENRE RHOE. *Rhoea*. Edw. (Ann. des Sc. Nat., t. 13, et Hist. des Crust., t. 3, p. 140).

Fig. 2. RHOE DE LATREILLE. *Rhoea Latreilli*. Edw., vu de profil et beaucoup grossi.

GENRE ANCÉE. *Anceus*. Risso.

Fig. 3. ANCÉE RAPACE. *Anceus rapax*. Edw. Hist. des Crust. T. 3, p. 196; vu en dessus et grossi.

Fig. 3 a. Patte-mâchoire.

Fig. 3 b. Fausse patte abdominale.

GENRE PRANIZE. *Praniza*. Leach.

Fig. 4. PRANIZE BLEUATRE. *Praniza caeruleata*. Desmarest. Individu mâle, considérablement grossi.

Fig. 4 a. Individu femelle, vu de profil et grossi à-peu-près trois fois.

Fig. 4 b. Le même, vu de dos et grossi davantage.

Fig. 4 c. Lèvre supérieure, mandibules et mâchoires rudimentaires.

Fig. 4 d. Appendices qui paraissent représenter les mâchoires de la seconde paire, et les pattes-mâchoires antérieures.

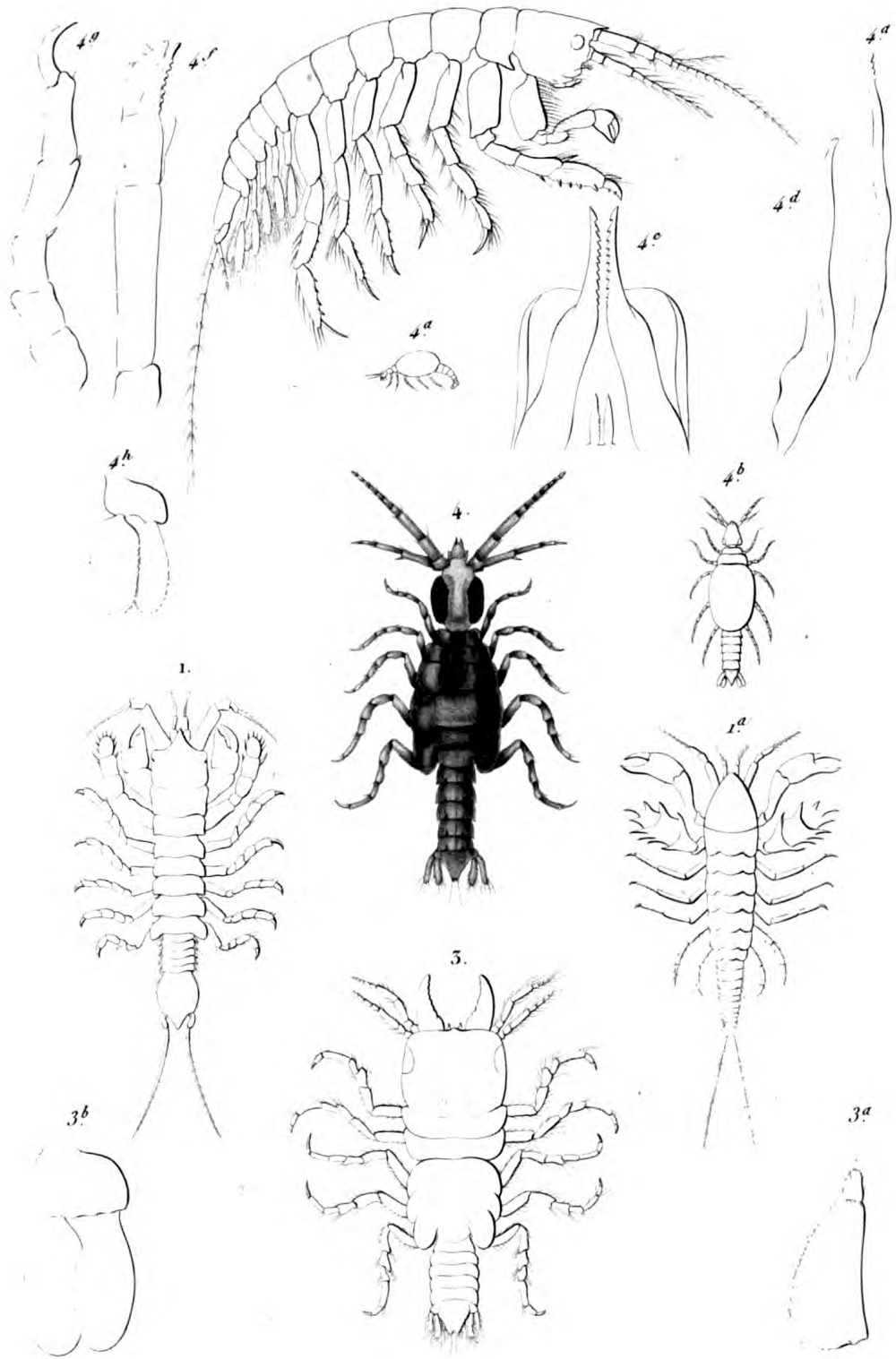
Fig. 4 e, f. Appendices représentant les pattes-mâchoires de la seconde paire.

Fig. 4 g. Pattes céphaliques ou pattes-mâchoires externes.

Fig. 4 h. Fausse patte abdominale.

(D'après nature.)

2.

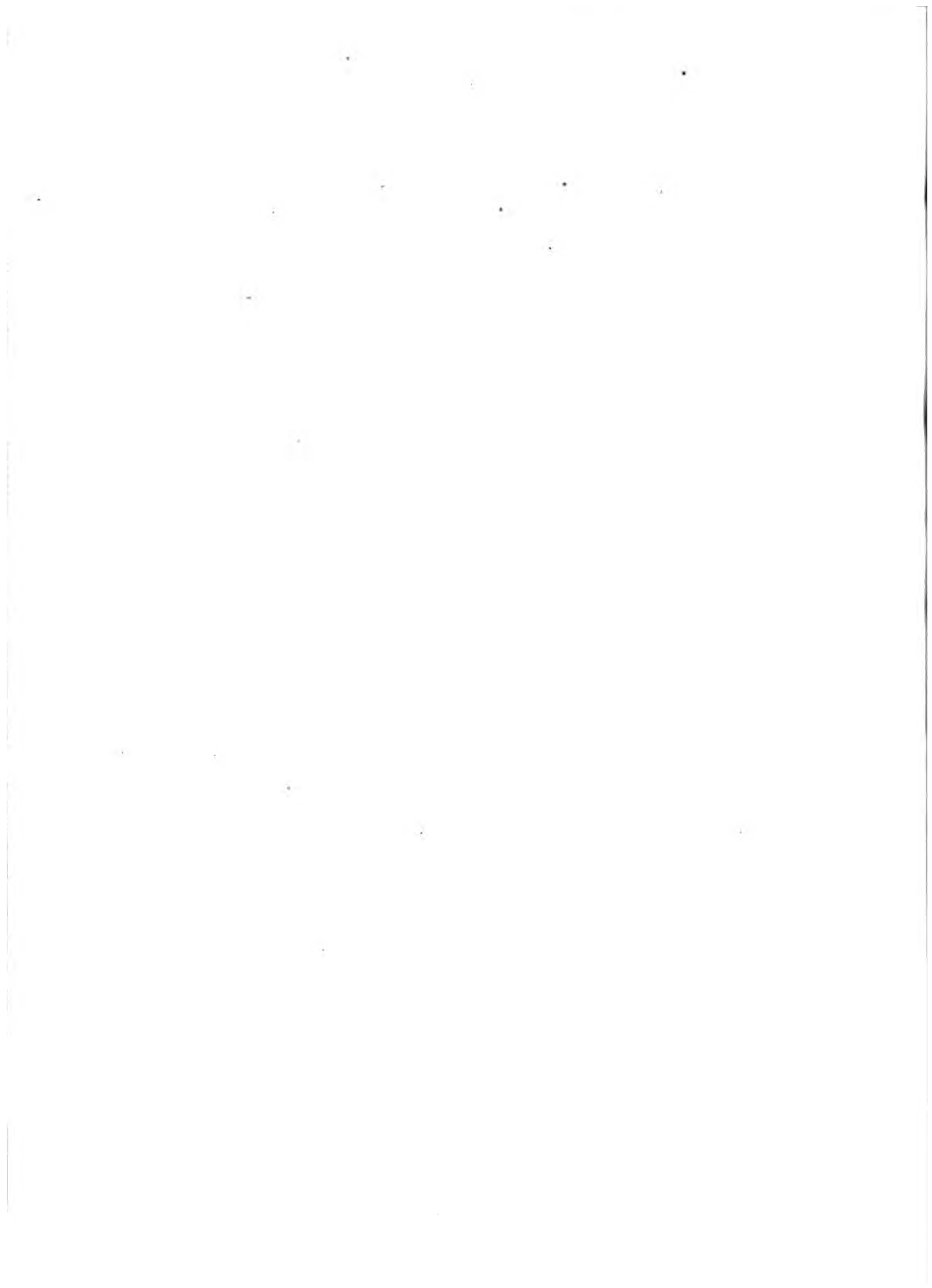


E.

Schmelz sc

- 1. APSEUDE TAUPE. (Apsœdes talpa.)
- 2. RHOË DE LATREILLE. (Rhoëa Latreilli.)
- 3. ANCÉE RAPACE. (Ancœus rapax.)
- 4. PRÂNIZE BLEUÂTRE (Prâniza œœrulata)

N. Léonard imp.



AMPHIPODES.

DÉCEMPÈDES.

GENRE TYPHIS. *Typhis*. Risso.

Fig. 1. TYPHIS OVOÏDE. *Typhis ovoïdes*. Risso. Vu de profil et grossi environ cinq fois.

Fig. 1 a. Le même, vu en dessus.

Fig. 1 b. Le même, vu en dessous, pour montrer la manière dont ses pattes operculaires recouvrent toute la région sternale.

Fig. 1 c. Antenne de la première paire.

Fig. 1 d. Antenne externe.

Fig. 1 e. Patte de la première paire.

Fig. 1 f. Patte de la quatrième paire.

Fig. 1 g. Patte de la cinquième paire dont l'article basilaire constitue une des valves qui se voient dans la fig. 1 b.

Fig. 1 h. Patte de la sixième paire.

Fig. 1 i. Patte de la septième paire dont tous les articles sont rudimentaires à l'exception du premier qui est operculiforme.

Fig. 1 j. Fausse patte abdominale de la première paire.

Cette espèce est caractérisée principalement par la conformation des antennes et des pattes de la septième paire.

Fig. 2. TYPHIS FÉROCE. *Typhis ferus*. Edw. Ann. des Sc. Nat. 1^{re} série, t. 20, pag. 395. Grossi au double.

Fig. 2 a. Antenne externe.

Fig. 2 b. Antenne de la seconde paire.

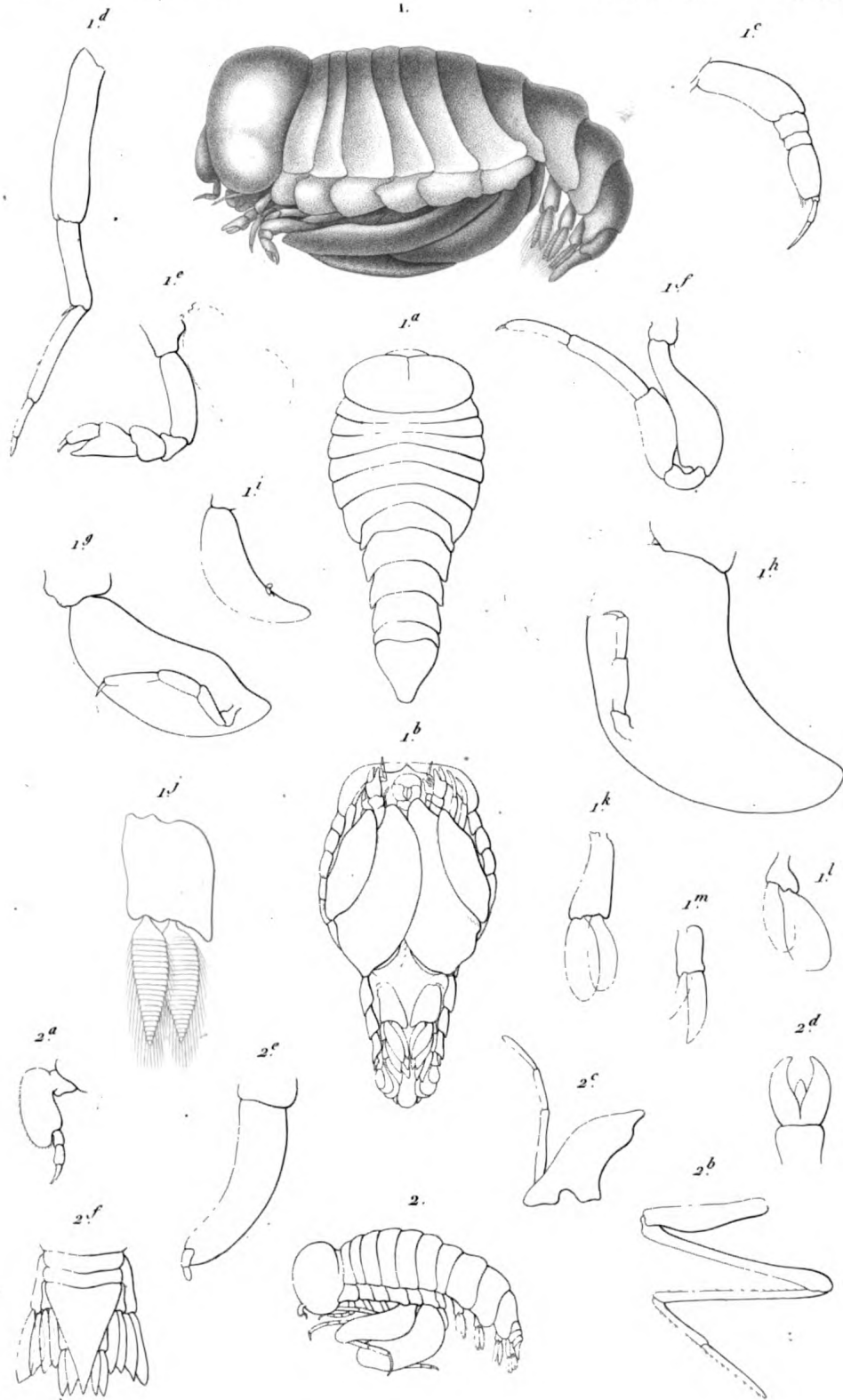
Fig. 2 c. Mandibule.

Fig. 2 d. Pattes-mâchoires.

Fig. 2 f. Portion terminale de l'abdomen, vue en dessus.

Fig. 2 k, 2 l, 2 m. Appendices abdominaux des trois dernières paires.

(D'après nature.)



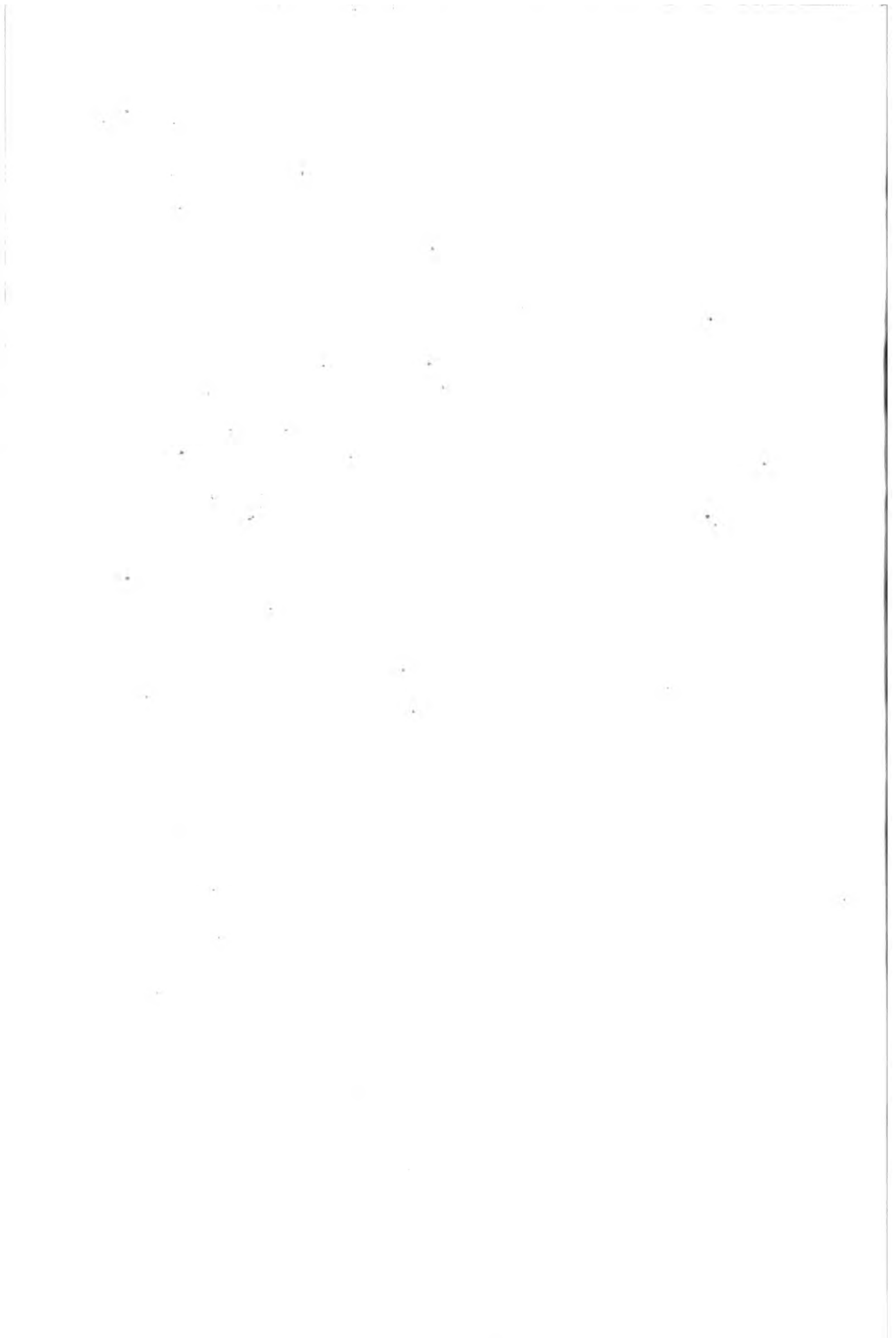
E.

Visto ac

1 TYPHIS OVOÏDE (*Thyphis ovoïdes*.)

2. — — FEROCÉ (— ferus.)

N. Rémond sculp.



LÆMODIPODES.

FILIFORMES.

GENRE CHEVROLLE. *Caprella*. Lamarck.

- Fig. 1.* CHEVROLLE LINÉAIRE. *Caprella linearis*. Individu mâle, grossi.
Fig. 1 a. La femelle, pour montrer la poche ovifère.
Fig. 1 b. La même, de grandeur naturelle.
Fig. 1 c. Lèvre supérieure.
Fig. 1 d. Mandibule.
Fig. 1 e. Lèvre inférieure.
Fig. 1 f. Mâchoire de la première paire.
Fig. 1 g. Mâchoire de la deuxième partie.
Fig. 1 h. Pattes-mâchoires.
Fig. 1 i. Portion postérieure du corps, vue en dessus pour montrer l'abdomen.

GENRE LEPTOMÈRE. *Leptomera*. Latr. *Proto*. Leach.

- Fig. 2.* LEPTOMÈRE VENTRU. *Leptomera ventricosa*. *Squilla ventricosa*. Muller, Zool. Dan. (d'après ce dernier auteur).

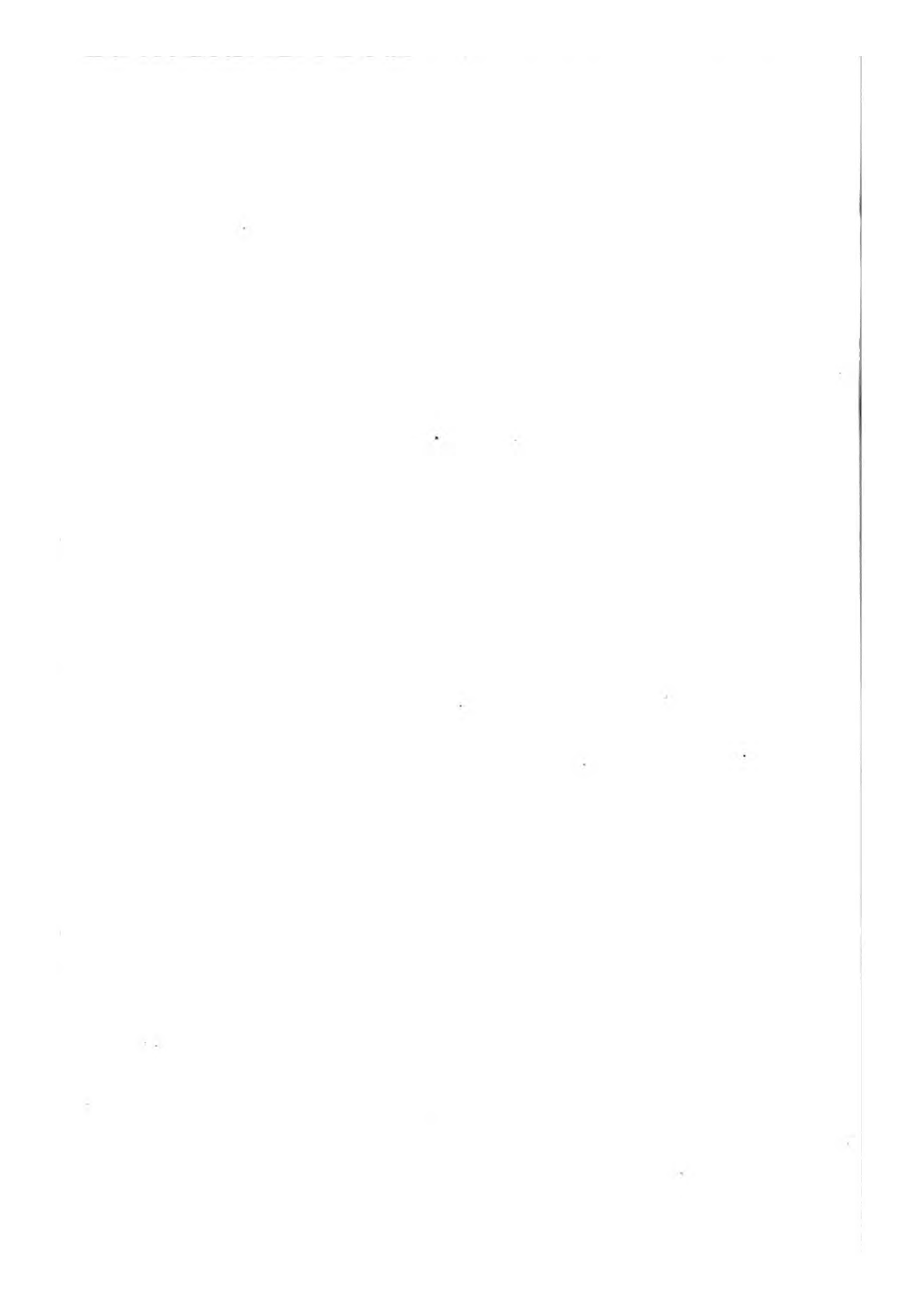
OVALES.

GENRE CYAME. *Cyamus*. Latr.

- Fig. 3.* CYAME OVALE. *Cyamus ovalis*. Roussel de Vauzème. Annales des Sciences naturelles, 2^e série, t. 1. — Edw. Histoire des Crustacés, tome 3, page 113. Individu mâle, vu en dessus et grossi à-peu-près trois fois.
Fig. 3 a. Tête du même, vue de profil.
Fig. 3 b. Mandibule.
Fig. 3 c. Lèvre inférieure.
Fig. 3 d et 3 e. Mâchoire des deux paires.
Fig. 3 f. Pattes-mâchoires.
Fig. 3 g. Lèvre supérieure.
Fig. 3 h et 3 i. Appendices respiratoires qui naissent des parties latérales des deux segmens apodes du thorax.
Fig. 3 k. Extrémité postérieure du corps, vue en dessous.

a, a. Dernier anneau thoracique. — *b, b.* Base des pattes postérieures. — *c.* Abdomen. — *d, e.* Appendices rudimentaires de l'abdomen.

(D'après nature, à l'exception de la *fig. 2* et des *fig. 3 b* à *3 g*, qui sont tirées de l'ouvrage de M. Savigny, sur la théorie de la bouche).



LETTRE DE MOTIVATION

Je soussigné, M. [Nom], [Adresse], [Code Postal], [Ville], [Département], [Région], [France],

atteste que M. [Nom], [Adresse], [Code Postal], [Ville], [Département], [Région], [France],

est titulaire d'un contrat de travail à durée indéterminée en tant que [Métier],

au sein de la société [Nom de la Société], [Adresse], [Code Postal], [Ville], [Département], [Région], [France].

Le présent contrat est régi par le statut des cadres de la fonction publique d'Etat.

LETTRE DE MOTIVATION

Je soussigné, M. [Nom], [Adresse], [Code Postal], [Ville], [Département], [Région], [France],

atteste que M. [Nom], [Adresse], [Code Postal], [Ville], [Département], [Région], [France],

est titulaire d'un contrat de travail à durée indéterminée en tant que [Métier],

au sein de la société [Nom de la Société], [Adresse], [Code Postal], [Ville], [Département], [Région], [France].

Le présent contrat est régi par le statut des cadres de la fonction publique d'Etat.

Je soussigné, M. [Nom], [Adresse], [Code Postal], [Ville], [Département], [Région], [France],

atteste que M. [Nom], [Adresse], [Code Postal], [Ville], [Département], [Région], [France],

est titulaire d'un contrat de travail à durée indéterminée en tant que [Métier],

au sein de la société [Nom de la Société], [Adresse], [Code Postal], [Ville], [Département], [Région], [France].

Le présent contrat est régi par le statut des cadres de la fonction publique d'Etat.

ISOPODES.

CYMOTHOADÉS.

GENRE BOPYRE. *Bopyrus*.

Fig. 1. BOPYRE DES CREVETTES. Bopyrus crangorum. Vu de dos et grossi ; femelle.

Fig. 1 a. Le même, vu en dessous.

a. Antennes rudimentaires. — b. Pattes mâchoires. — c, d. Appendices lamelleux de la base des pattes. — e. Fausses pattes abdominales transformées en branchies.

Fig. 1 b. Un individu mâle grossi davantage.

Fig. 1 c. Patte mâchoire externe.

Fig. 1 d. Une des pattes.

GENRE SÉROLE. *Serolis*. Leach.

Fig. 2. SÉROLE DE GAUDICHAUD. Serolis Gaudichaudii. Aud. et Milne Edw. (De grandeur naturelle.)

Fig. 2 a. Un individu femelle, vu en dessous et grossi.

a. Pattes de la première paire. — b. Lames fixées à la base des pattes et constituant une poche incubatrice. — c. Fausses pattes abdominales des trois premières paires. — d. Fausses pattes de la quatrième paire.

Fig. 2 b. La même dont on a enlevé les pattes, les pièces de la bouche d'un côté et les fausses pattes du même côté.

a. Antennes externes. — b. Mandibules. — c. Pattes mâchoires. — d. Cavité articulaire des organes buccaux ; — e. Cavité articulaire de la patte antérieure. — f. Celle des pattes de la cinquième paire. — g. Celles des pattes de la septième paire. — i. Celles des fausses pattes. — h. Dernier anneau de l'abdomen. — l. Fausses pattes de l'antépénultième paire. — m. Appendices abdominaux de la sixième paire.

Fig. 2 c. Mandibules.

Fig. 2 d. Patte mâchoire.

Fig. 2 e. Patte de la première paire.

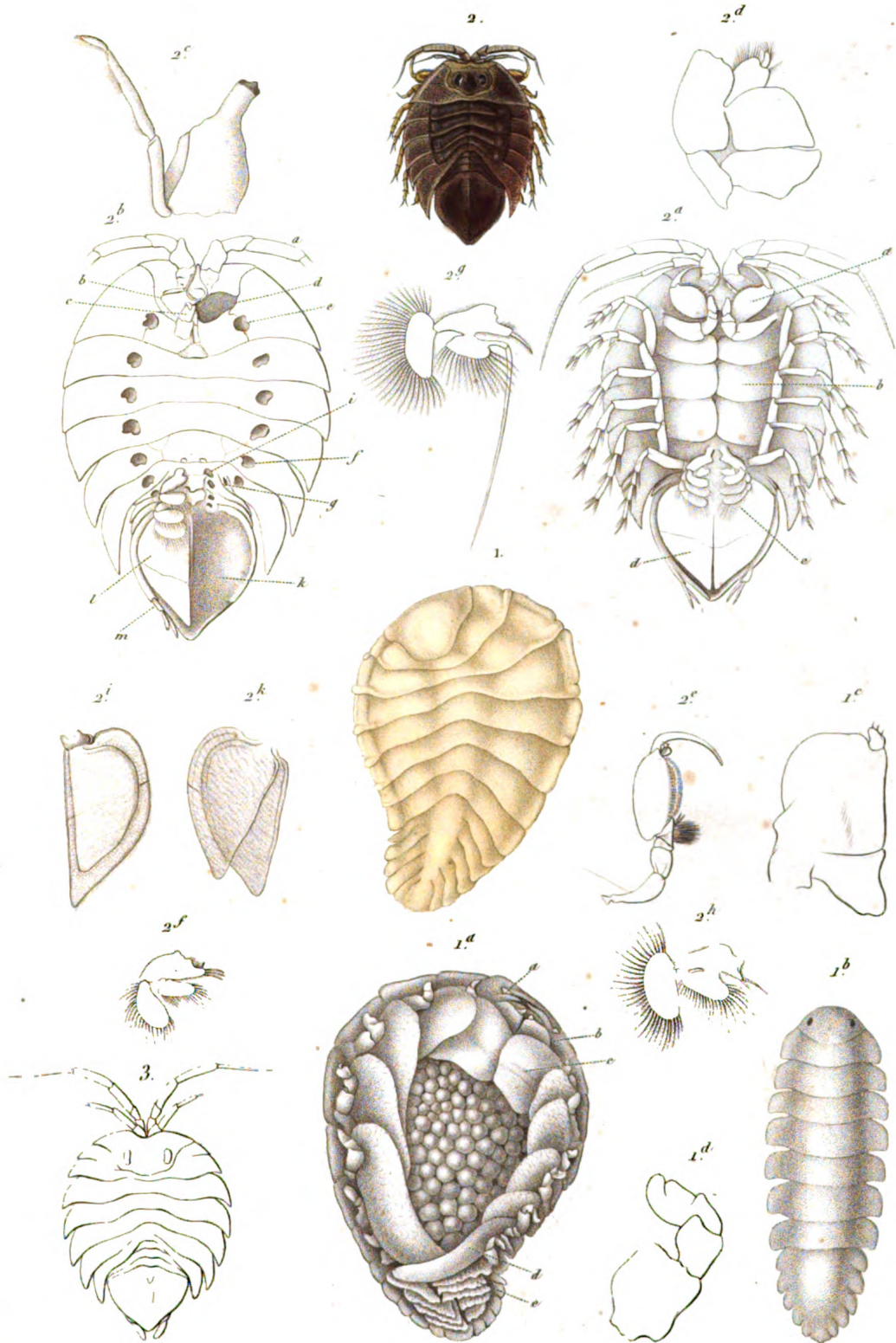
Fig. 2 f, 2 g, 2 h. Fausses pattes abdominales des trois premières paires chez le mâle.

Fig. 2 i. Fausses pattes de la quatrième paire dont la lame interne est branchiale.

Fig. 2 k. Fausses pattes de la cinquième paire transformées en branchies.

Fig. 3. SÉROLE DE FABRICIUS. Serolis Fabricii. Aud. et M. Edw.

(D'après nature.)

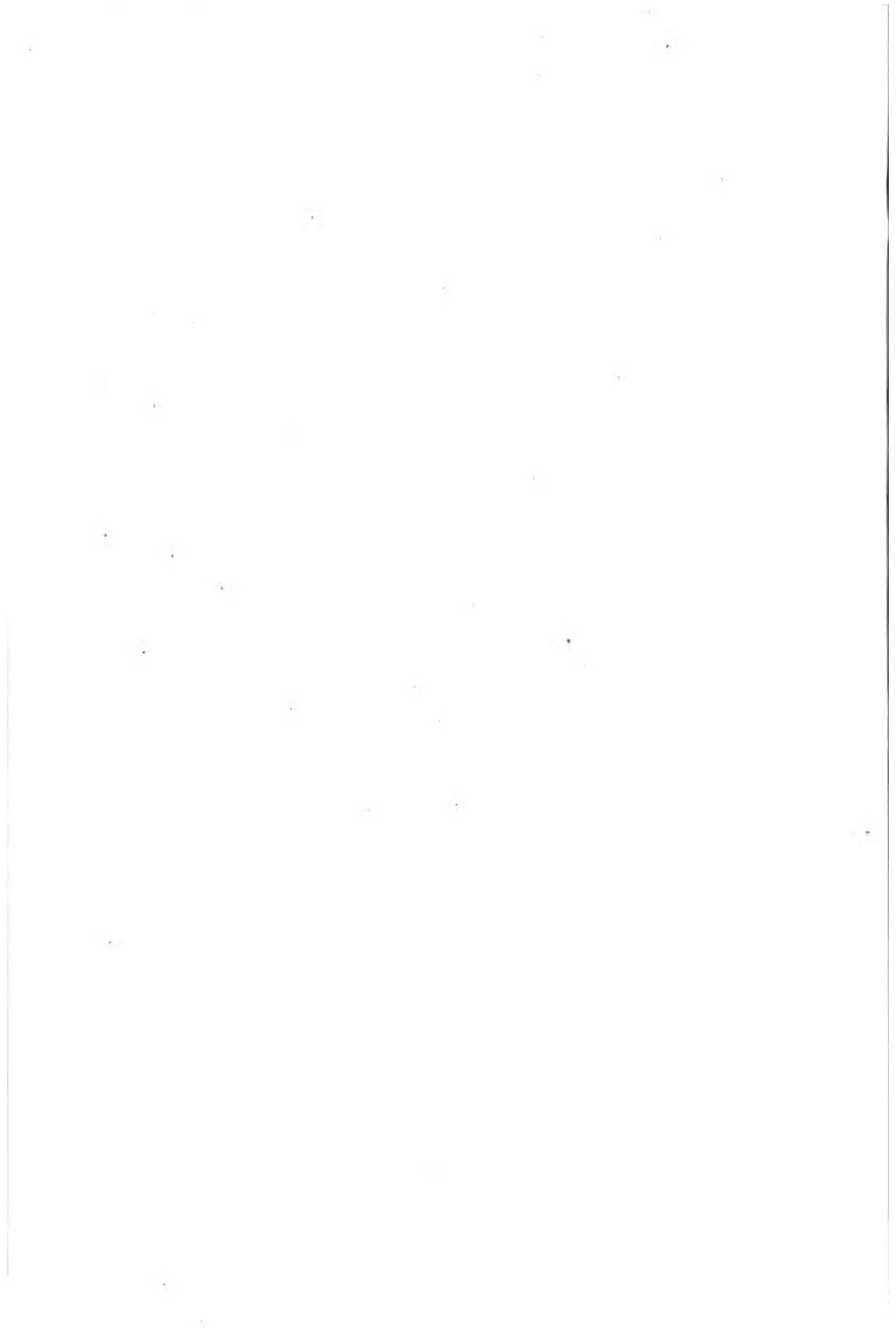


E.

Forget sc

1 BOPYRE DES CHEVRETTES. (Bopyrus erangorum.)
 2 SEROLE DE GAUDICHAUD. (Serolis Gaudichaudii)

N. Reimond inv.



СЕРЫЕ ИХТИОФИЛЫ

СЕРЫЕ ИХТИОФИЛЫ

СЕРЫЕ ИХТИОФИЛЫ

СЕРЫЕ ИХТИОФИЛЫ

СЕРЫЕ ИХТИОФИЛЫ

СЕРЫЕ ИХТИОФИЛЫ

СЕРЫЕ ИХТИОФИЛЫ

СЕРЫЕ ИХТИОФИЛЫ

СЕРЫЕ ИХТИОФИЛЫ

СЕРЫЕ ИХТИОФИЛЫ

СЕРЫЕ ИХТИОФИЛЫ

СЕРЫЕ ИХТИОФИЛЫ

СЕРЫЕ ИХТИОФИЛЫ

СЕРЫЕ ИХТИОФИЛЫ

СЕРЫЕ ИХТИОФИЛЫ

СЕРЫЕ ИХТИОФИЛЫ

СЕРЫЕ ИХТИОФИЛЫ

СЕРЫЕ ИХТИОФИЛЫ

СЕРЫЕ ИХТИОФИЛЫ

СЕРЫЕ ИХТИОФИЛЫ

СЕРЫЕ ИХТИОФИЛЫ

СЕРЫЕ ИХТИОФИЛЫ

СЕРЫЕ ИХТИОФИЛЫ

СЕРЫЕ ИХТИОФИЛЫ

СЕРЫЕ ИХТИОФИЛЫ

СЕРЫЕ ИХТИОФИЛЫ

СЕРЫЕ ИХТИОФИЛЫ

СЕРЫЕ ИХТИОФИЛЫ

СЕРЫЕ ИХТИОФИЛЫ

СЕРЫЕ ИХТИОФИЛЫ

СЕРЫЕ ИХТИОФИЛЫ

СЕРЫЕ ИХТИОФИЛЫ

СЕРЫЕ ИХТИОФИЛЫ

СЕРЫЕ ИХТИОФИЛЫ

ISOPODES.

CYMOTHOADÉS.

GENRE CYMOTHOÉ. *Cymothoa*. Fabricius.

Fig. 1. CYMOTHOÉ OESTRE. *Cymothoa œstrum*. Fabr. De grandeur naturelle.

Fig. 1 a. La tête vue en dessous.

a. Pattes mâchoires. — *b.* Mâchoires de la première paire. — *c.* Palpes mandibulaires. — *d.* Labre. — *e.* Front recourbé en dessous entre la base des antennes.

Fig. 1 b. Pattes de la quatrième paire.

Fig. 1 c. Pattes de la septième paire.

Fig. 2. CYMOTHOÉ DE BANKS. *Cymothoa Banksii*. Leach. C'est à tort que j'ai désigné cette espèce sous le nom de *Cymothoa trigonocephala* dans les Annales des Sciences naturelles. 2^e série, t. 3, pl. 14, fig. 1.

Fig. 2 a. Le même individu, vu en dessous, pour montrer la disposition des pattes et des lames qui, chez la femelle, constituent sous le thorax une sorte de poche incubatrice.

Fig. 2 b. La tête vue en dessous.

a. Patte mâchoire. — *a'*. Base de la patte mâchoire du côté opposé, qui a été tronquée pour faire voir les parties qu'elle recouvre. — *b.* Mâchoire de la seconde paire. — *d.* Mandibule. — *f.* Antennes externes. — *g.* Antennes internes.

Fig. 2 c. La même tête, dont on a enlevé les pattes mâchoires et les mâchoires de la seconde paire, pour montrer les parties situées plus profondément.

c. Mâchoire de la première paire. — *c'*. Trou articulaire de cette mâchoire du côté opposé. — *d'*. Palpe mandibulaire. — *e.* Labre.

Fig. 2 d. Patte mâchoire.

Fig. 2 e. Mâchoires de la deuxième paire.

Fig. 2 f. Mâchoires de la première paire.

Fig. 2 g. Mandibule.

Fig. 2 h. Fausse patte abdominale de la première paire.

GENRE ICHTHYOPHILE. *Ichthyophilus*. Latreille.S.-GENRE OLENCIRE. *Olencira*. Leach.

Fig. 3. OLENCIRES DE LAMARCK. *Olencira Lamarckii*. Leach. Croquis fait d'après l'individu décrit par Leach et conservé dans la collection du Musée Britannique de Londres.

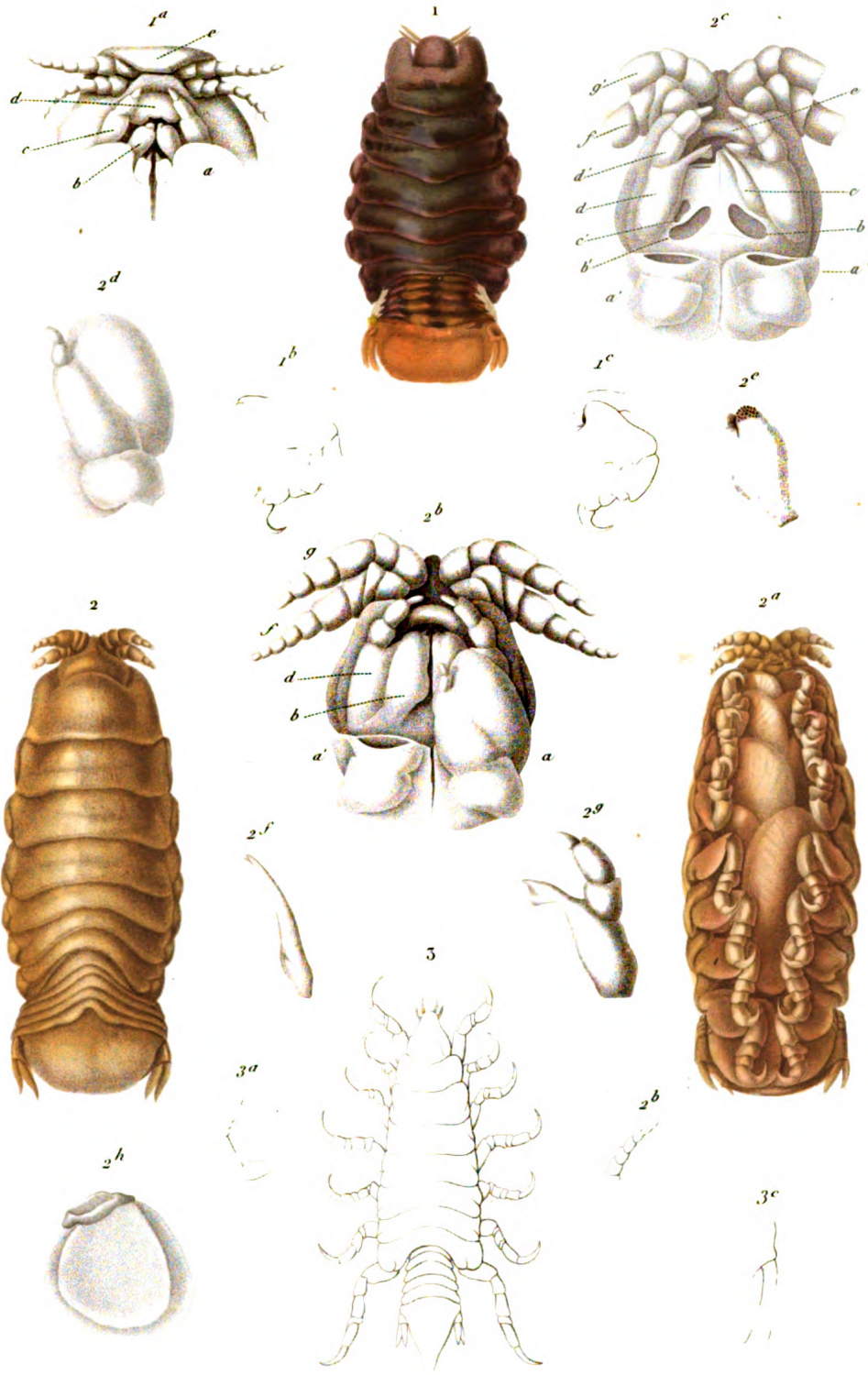
Fig. 3 a. Antenne de la première paire.

Fig. 3 b. Antenne de la seconde paire.

Fig. 3 c. Fausse patte de la dernière paire.

On voit par ces figures que les Olencires se rapprochent des Cymothoés bien plus que des Livonèces et des Nérociles, avec lesquels Latreille les réunit dans son genre Ichthyophile; aussi cette dernière division générique ne peut-elle être conservée.

(D'après nature.)



E.

Viatore

1. *CYMOTHOE ŒSTRE.* (Cymothoa œstrum.)
 2. ——— *DE BANKS* (——— Banksii.)
 3. *OLENCIRE DE LAMARCK* (Olencira Lamarckii.)



ISOPODES.

CYMOTHOADÉS.

GENRE CANOLIRE. *Canolira*. Latreille.S.-GENRE ANILOCRE. *Anilocra*. Leach.Fig. 1. ANILOCRE DE LA MÉDITERRANÉE. *Anilocra mediterranea*. Leach. De grandeur naturelle.

Fig. 1 a. Croquis du même, vu de profil, pour montrer la disposition des pièces épimériennes du thorax et la manière dont les anneaux de l'abdomen se terminent latéralement.

Fig. 1 b. La tête, grossie et vue en dessous.

a. Chaperon formé par le front qui se replie en dessous et en arrière entre la base des antennes. — b. Antennes de la première paire. — c. Antennes de la seconde paire. — d. Labre. — e. Palpes des mandibules. — f. Mâchoires de la seconde paire. — g. Pattes mâchoires.

S.-GENRE CANOLIRE proprement dit. *Canolira*. Leach.Fig. 2. Croquis du CANOLIRE RISSONNIEN. *Canolira Rissoana*. Leach. Vu de profil; d'après l'individu décrit par Leach et conservé dans la collection du Musée Britannique.

Fig. 2 a. Abdomen du même, vu en dessous.

GENRE ICHTHYOPHILE. *Ichthyophilus*. Latreille.S.-GENRE LIVONÈCE *Livoneca*. Leach.Fig. 3. LIVONÈCE DE DESMAREST. *Livoneca Desmarestii*. Leach. De grandeur naturelle.

Fig. 3 a. La même espèce, grossie et vue de profil.

Fig. 3 b. La tête, vue en dessous, pour montrer la manière dont le front s'avance horizontalement, sans former un chaperon, comme chez les Anilocres, et la disposition des pattes mâchoires.

Fig. 3 c. L'une des fausses pattes de la dernière paire, ou appendices de la nageoire caudale.

Fig. 3 d. Patte de la septième paire.

Fig. 3 e. Patte de la première paire.

Fig. 4. LIVONÈCE DE REDMANN. *Livoneca Redmanni*. Leach. Croquis du corps vu de profil, d'après l'individu décrit par Leach et conservé dans la collection du Musée Britannique.

Fig. 4 a. Le dernier article de l'abdomen.

On remarquera que d'un côté c'est la lame externe de l'appendice latéral qui est la plus longue, tandis que du côté opposé c'est au contraire cette lame externe qui est plus courte que la lame interne; le caractère tiré de ces différences ne vaut par conséquent rien.

S.-GENRE NÉROCILE. *Nerocila*. Leach.Fig. 5. NÉROCILE A DEUX RAIES. *Nirocela bivittata*. Edw. *Cymothoa bivittata*. Risso; Desmarest.

Fig. 5 a. Le même, grossi et vu de profil, pour montrer la disposition spiniforme des pièces épimériennes du thorax, et les pièces également spiniformes qui naissent sous les angles latéraux des deux premiers anneaux de l'abdomen, caractère qui est propre au genre Nérocile.

Fig. 5 b. La tête, vue en dessous.

Fig. 5 c. Mandibule, grossie.

Fig. 5 d. Mâchoire de la deuxième paire.

Fig. 5 e. Mâchoire de la première paire.

Fig. 5 f. Patte mâchoire.

Fig. 5 g. Patte de la première paire.

Fig. 5 h. Patte de la septième paire.

Fig. 5 i. Fausse patte abdominale de la première paire.

Fig. 5 k. Fausse patte de la seconde paire chez le mâle.

Fig. 5 l. Fausse patte de la cinquième paire.

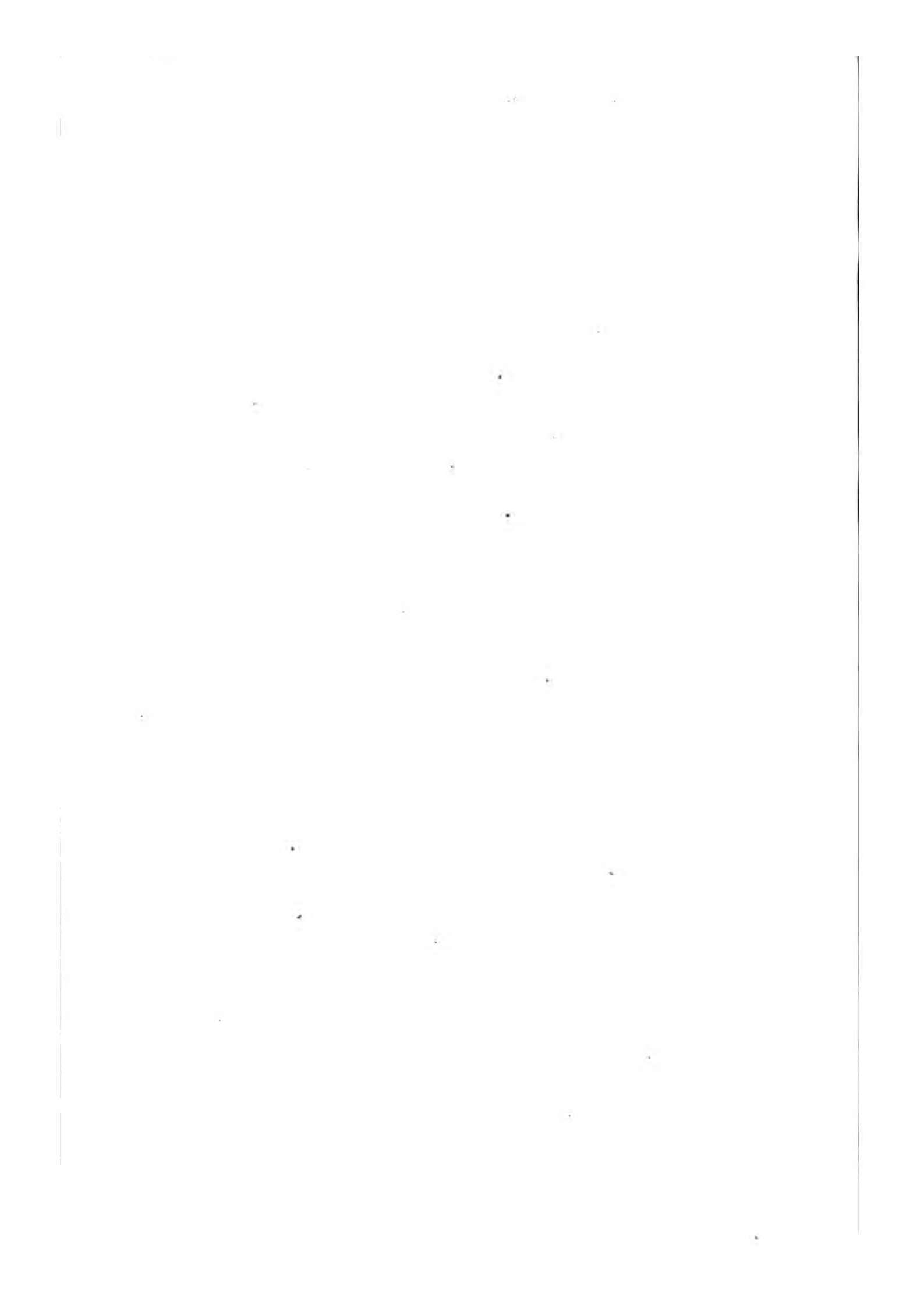
Fig. 5 m. Appendice latéral de la nageoire caudale, ou fausse patte de la sixième paire. (D'après nature.)



E.

Visto sc.

- 1 ANILOCRE DE LA MEDITERRANÉE (Anilocra Mediterranea)
- 2 LIVONECE DE DESMAREST. (Livoneca Desmaresti.)
- 3 NEROCILE A DEUX RAIES (Nerocila bivittata.)



100-11172-111
100-11172-112
100-11172-113
100-11172-114
100-11172-115
100-11172-116
100-11172-117
100-11172-118
100-11172-119
100-11172-120

100-11172-121
100-11172-122
100-11172-123
100-11172-124
100-11172-125
100-11172-126
100-11172-127
100-11172-128
100-11172-129
100-11172-130

ISOPODES.

CYMOTHOADÉS.

GENRE ÆGA. *Æga*. Leach.

- Fig. 1. ÆGA ENTAILLÉE. *Æga emarginata*. Leach. De grandeur naturelle.
 Fig. 1 a. Face supérieure de la tête grossie, pour montrer la disposition des antennes et des yeux.
 Fig. 1 b. Mandibule grossie.
 Fig. 1 c. Mâchoire de la première paire.
 Fig. 1 d. Mâchoire de la seconde paire.
 Fig. 1 e. Patte mâchoire.
 Fig. 1 f. Patte de la première paire.
 Fig. 1 g. Patte de la septième paire.
 Fig. 1 h. Fausse patte de la dernière paire.
 Fig. 2. ÆGA BICARÉNÉE. *Æga bicarenata*. Leach.

GENRE ROCINÈLE. *Rocinela*. Leach.

- Fig. 3. ROCINÈLE OPHTHALMIQUE. *Rocinela ophthalmica*. Leach. De grandeur naturelle.
 Fig. 3 a. Antenne de la première paire.
 Fig. 3 b. Antenne de la seconde paire.
 Fig. 3 c. Mandibule.
 Fig. 3 d. Mâchoire de la première paire.
 Fig. 3 e. Mâchoire de la seconde paire.
 Fig. 3 f. Patte mâchoire.
 Fig. 3 g. Fausse patte de la dernière paire.

GENRE NELOCIRE. *Nelocira*. Leach. *Eurydice*. Edw.

- Fig. 4. Croquis du NÉLOCIRE DE SWAINSON. *Nelocira Swainsonii*. Leach. (D'après Desmarest, Consid. sur les Crust.).

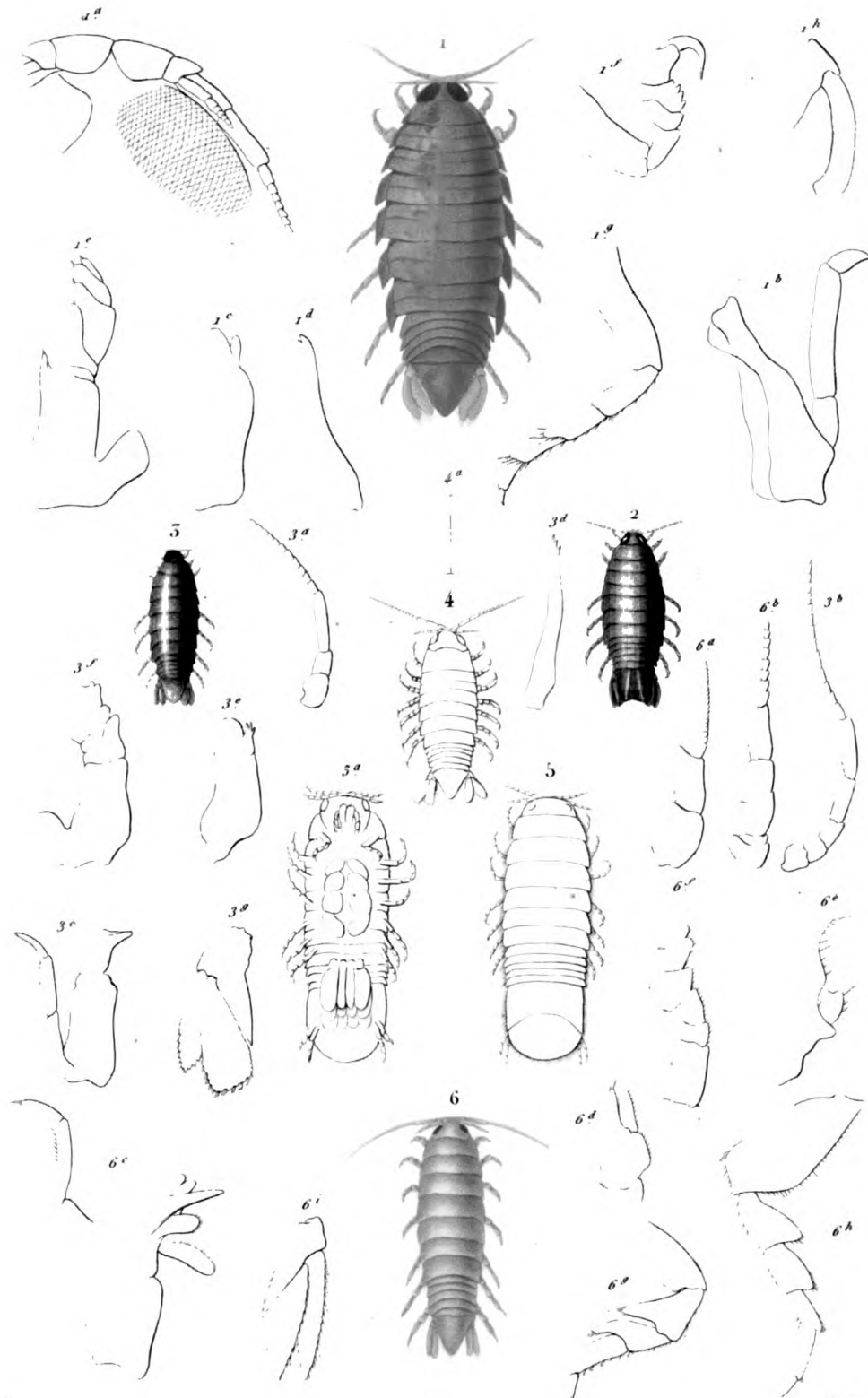
GENRE LIMNORIE. *Limnoria*. Leach.

- Fig. 5. Croquis de la LIMNORIE PERFORANTE. *Limnoria terebrans*. Leach. grossi beaucoup, d'après M Goldstream; Edinb. New. Philosoph. Journ., vol. 16, pl. 6.

- Fig. 5 a. Croquis de la face inférieure du corps de la même.

GENRE CIROLANE. *Cirolana*. Leach.

- Fig. 6. CIROLANE A PATTES ÉPINEUSES. *Cirolana hirtipes*. Edw. Hist. nat. des Crustacés, t. 3, p. 236; de grandeur naturelle.
 Fig. 6 a. Antenne de la première paire, beaucoup grossie.
 Fig. 6 b. Antenne de la seconde paire.
 Fig. 6 c. Mandibules. — a. Appendice mobile.
 Fig. 6 d. Mâchoire de la première paire.
 Fig. 6 e. Mâchoire de la seconde paire.
 Fig. 6 f. Patte mâchoire.
 Fig. 6 g. Patte de la première paire.
 Fig. 6 h. Patte de la septième paire.
 Fig. 6 i. Fausse patte de la dernière paire. (D'après nature.)



E

Forget sc

- | | | | |
|--|---------------------------------|--|-------------------------------|
| 1. <i>ÆGA</i> ENTAILÉE | (<i>Æga emarginata</i>) | 4. <i>NELOCIRE</i> DE SWAINSON | (<i>Nelocira Swainsoni</i>) |
| 2. <i>BICARENÉE</i> | (<i>bicarenata</i>) | 5. <i>LIMNORIE</i> PERFORANTE | (<i>Limnoria terebrans</i>) |
| 3. <i>ROCINELE</i> OPHTHALMIQUE | (<i>Rocinela ophthalmica</i>) | 6. <i>CIROLANE</i> A PATTES ÉPINEUSES | (<i>Cirolana hirtipes</i>) |

ISOPODES.

SPHÉROMIDES.

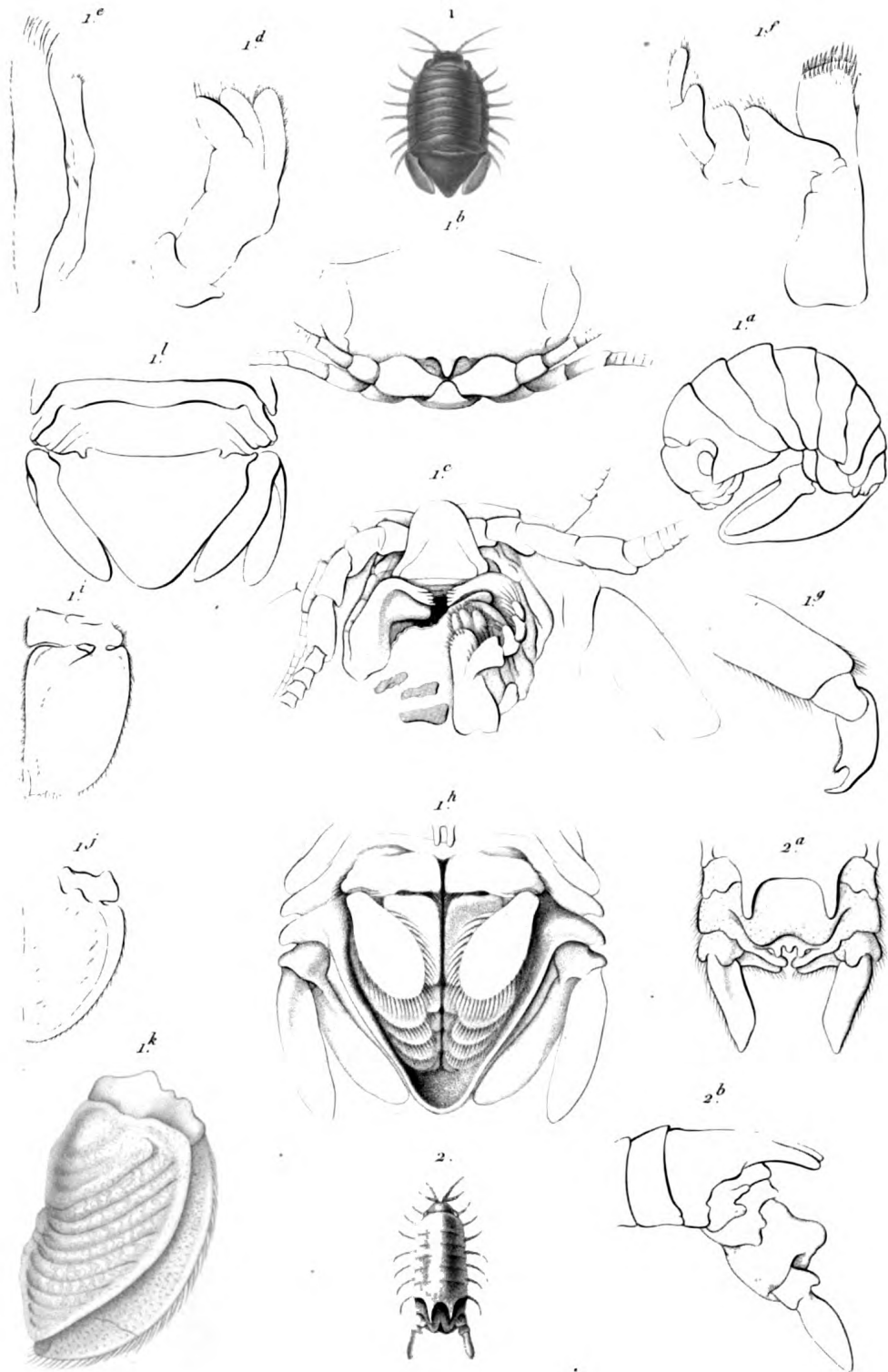
GENRE SPHÉROME. *Spheroma*. Latreille.

- Fig. 1.* SPHÉROME GÉANT. *Spheroma gigas*. De grandeur naturelle.
Fig. 1 a. Un sphérome enroulé sur lui-même.
Fig. 1 b. Tête du Sphérome géant, vue par devant.
Fig. 1 c. Tête du même, vue en dessous; d'un côté les mâchoires sont en place, mais du côté opposé on les a enlevées pour montrer la mandibule.
Fig. 1 d et 1 e. Mâchoires de la première et de la deuxième paire.
Fig. 1 f. Patte-mâchoire.
Fig. 1 g. Extrémité d'une patte thoracique.
Fig. 1 h. Abdomen, vu en dessous.
Fig. 1 i. Fausse patte abdominale de la deuxième paire.
Fig. 1 j. Fausse patte abdominale de la quatrième paire.
Fig. 1 k. Fausse patte abdominale de la cinquième paire, vue par sa face postérieure.
Fig. 1 l. Abdomen, vu en dessus.

S.-GENRE NESÉE. *Næsea*. Leach.

- Fig. 2.* NESÉE BIDENTÉE. *Næsea bidentata*. Leach. Grossie deux fois.
Fig. 2 a. Abdomen, vu en dessus.
Fig. 2 b. Abdomen et portion postérieure du thorax, vu de profil.

(D'après nature.)



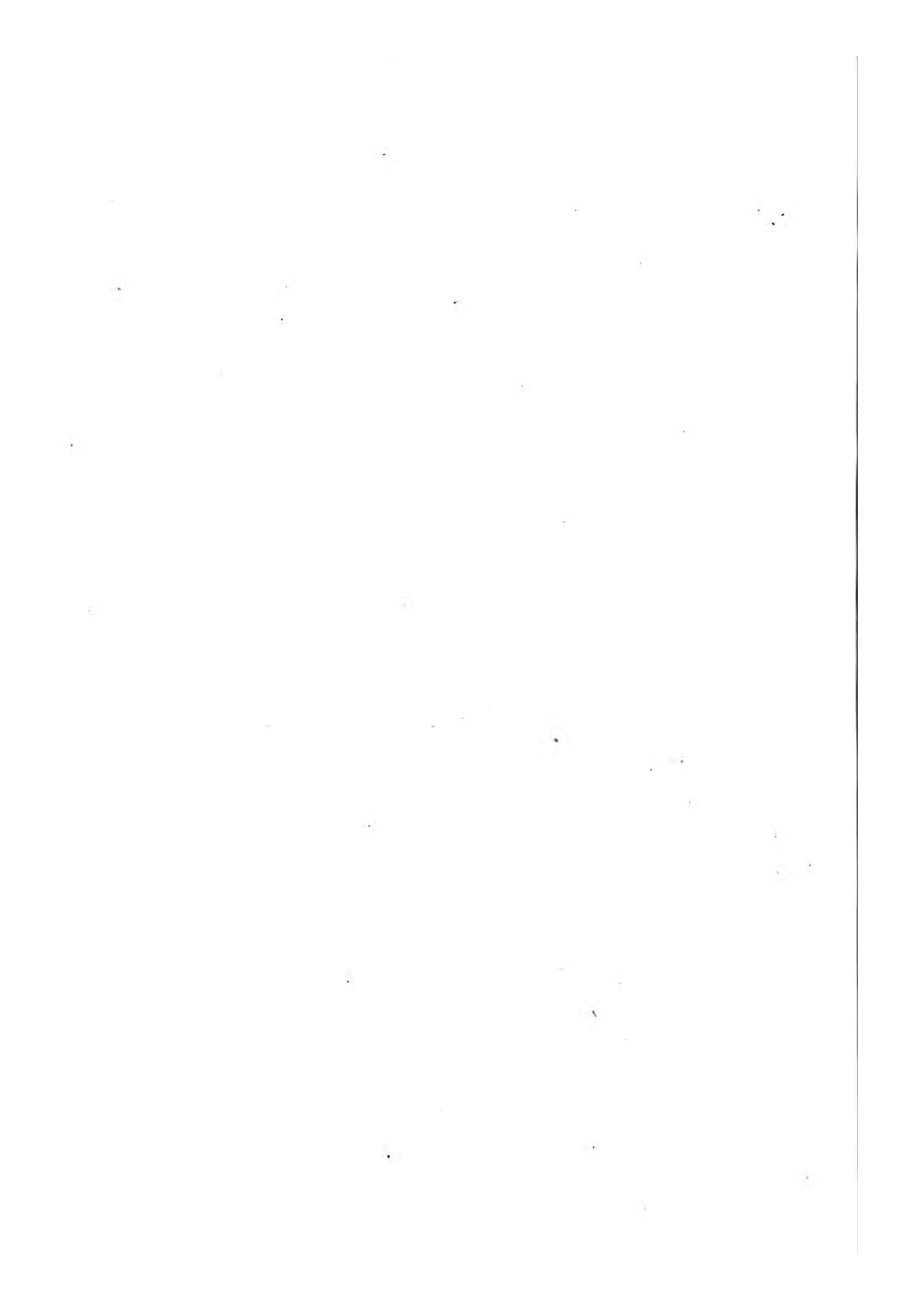
R.

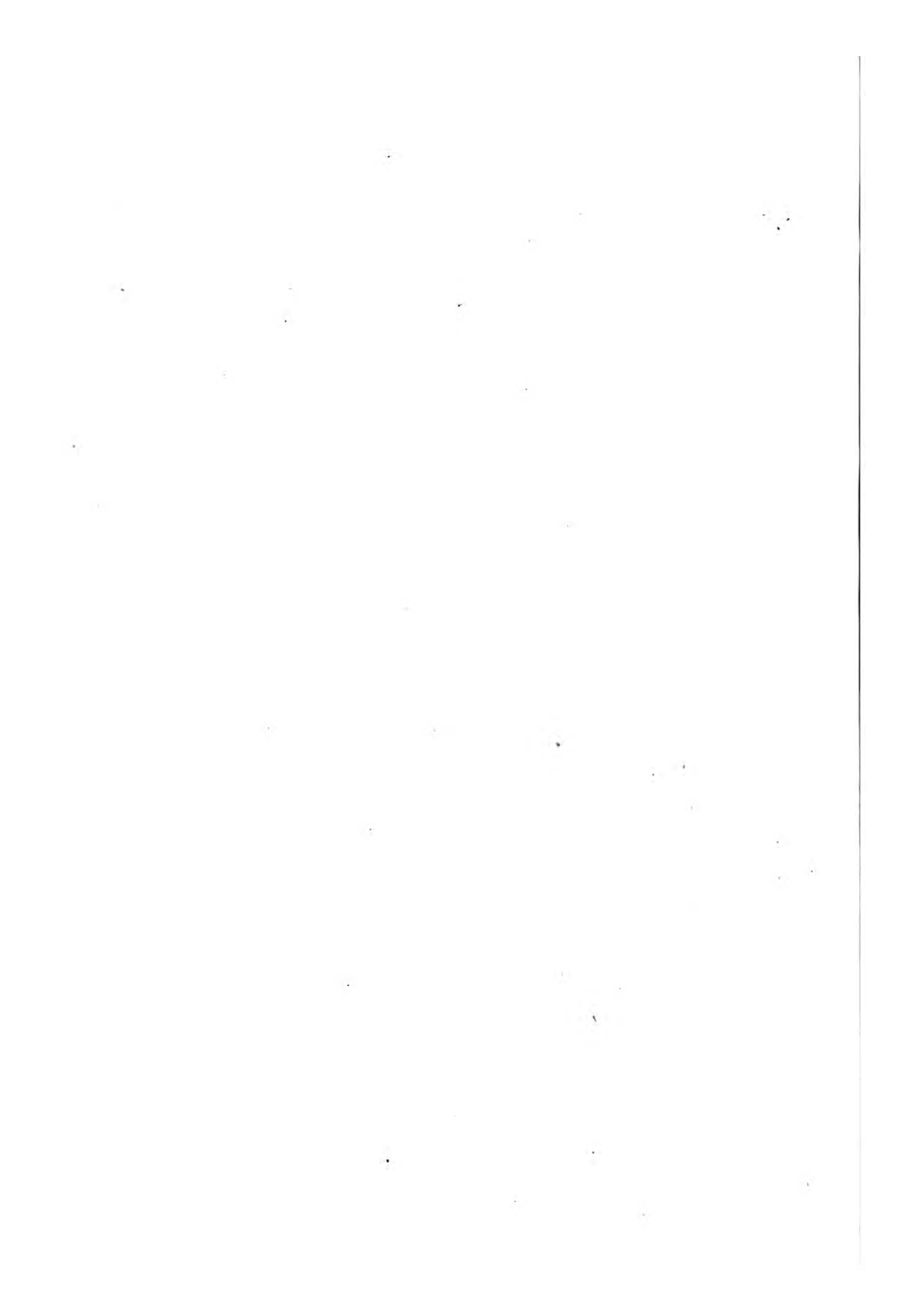
Schmelz sc

1 SPHEROME GEANT (Sphæroma gigas)

2 NESEE BIDENTEE (Nesea bidentata)

V. Semard imp.





CRUSTACÉS ISOPODES.

IDOTEIDES.

GENRE IDOTÉE. *Idotea*. Fabricius.

Fig. 1. IDOTÉE HECTIQUE. *Idotea hectica*, Latr. De grandeur naturelle.

Fig. 1 a. Tête, vue en dessous et grossie.

a. Base des antennes de la deuxième paire. — b. Antennes de la première paire. — c. Epistome. — d. Labre. — e. Mandibules. — f. Pattes-mâchoires, dont l'une est abaissée pour laisser voir les mâchoires, etc. — g. g. Base des pattes de la première paire.

Fig. 1 b. Antenne interne, grossie.

Fig. 1 c. Antenne externe.

Fig. 1 d. Mandibule.

Fig. 1 e. Surface triturale de la mandibule, garnie d'un onolet mobile. (a)

Fig. 1 f. Mâchoire de la première paire.

Fig. 1 g. Mâchoire de la deuxième paire.

Fig. 1 h. Patte-mâchoire.

Fig. 1 i. Patte de la septième paire.

Fig. 1 k. Abdomen, vu en dessous.

a. Dernier anneau thoracique. — b. Premier anneau de l'abdomen. — c. Dernier anneau. — d. Appendices de cet anneau recouvrant les autres fausses pattes et constituant un appareil operculaire branchiale.

Fig. 1 l. Appendices sexuels mâles (a) et fausses pattes de la première paire (b).

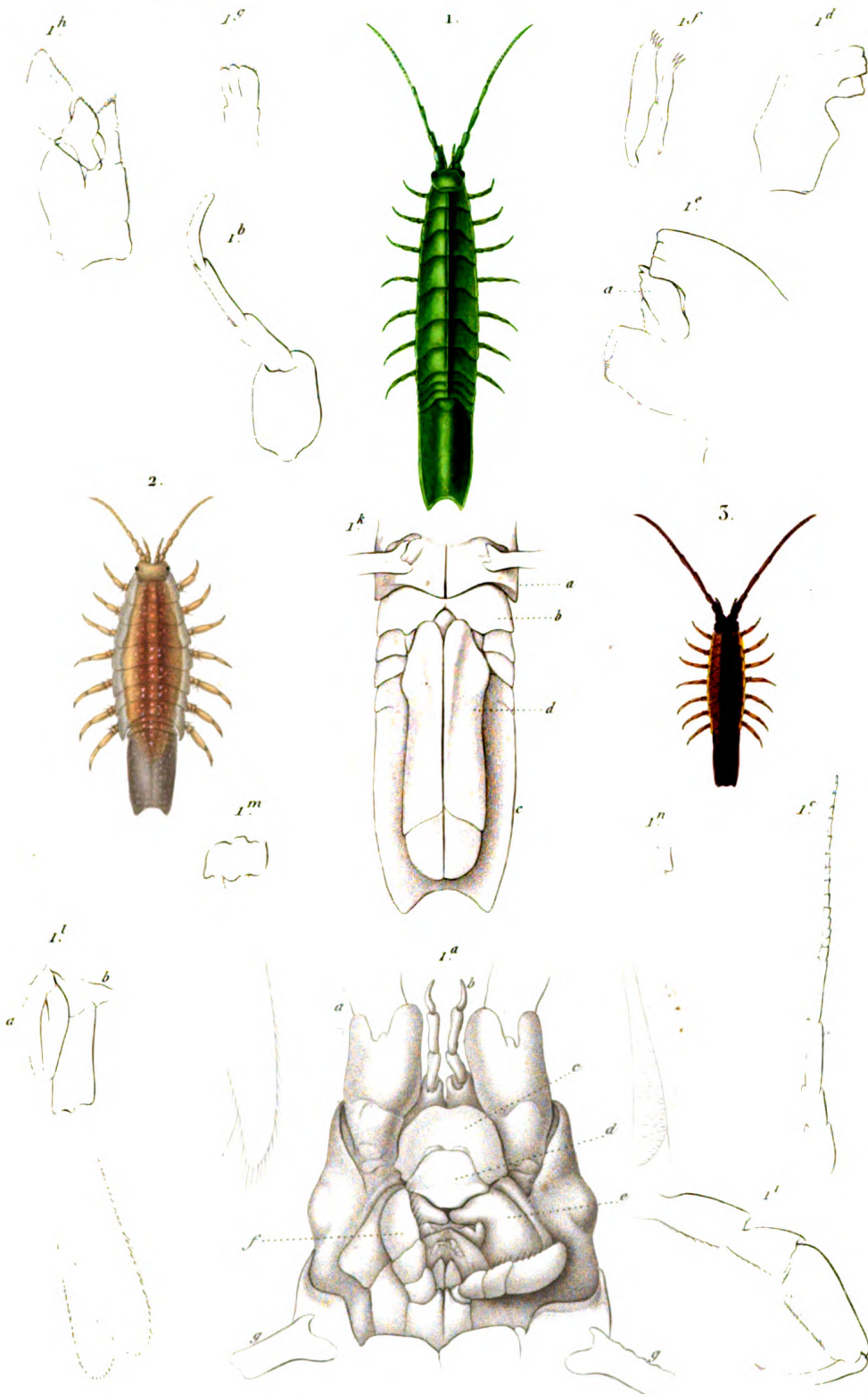
Fig. 1 m, 1 n. Fausses pattes abdominales de la quatrième et de la cinquième paires dont les lames terminales sont tout-à-fait membraneuses et ne servent qu'à la respiration.

Fig. 2. IDOTÉE ÉCHANCRÉE. *Idotea emarginata*. De grandeur naturelle.

Fig. 3. IDOTÉE LINÉAIRE. *Idotea linearis*, Latr. *Stenosoma linearis*. Leach. De grandeur naturelle.

Cette espèce forme le type du sous-genre *Stenosoma*, proposé par Leach et adopté par Latreille, dans le texte de cet ouvrage, mais cette division, qui ne repose que sur la longueur des antennes, ne peut être conservée.

(D'après nature.)



E

Forget sc

1. IDOTÉE HECTIQUE. (Idotea hectica.)
 2. ——— ECLANCRÉE. (——— emarginata)
 3. ——— LINÉAIRE. (——— linearis)

V Remond imp



ISOPODES.

ASELOTES.

S.-GENRE JÆRA. *Jæra*. Leach.

Fig. 1. JÆRA DE KRÖYER. Jæra Krøyeri. Milne Edwards (Hist. nat. des Crust., t. 3). Grossi au double.

Fig. 1 a. Antenne de la première paire.

Fig. 1 b. Antenne de la deuxième paire.

Fig. 1 c. Mandibule.

Fig. 1 d et 1 e. Mâchoires de la première et de la deuxième paires.

Fig. 1 f. Pattes-mâchoires.

Fig. 1 g. Lèvre supérieure.

Fig. 1 h. Patte thoracique.

Fig. 1 i. Abdomen, vu en dessus.

Fig. 1 j. Opercule représentant les fausses-pattes abdominales de la première paire.

Fig. 1 k et 1 l. Fausses pattes branchiales.

IDOTEIDES.

S.-GENRE ARCTURE. *Arcturus*. Latreille.

Fig. 2. ARCTURE DE BAFFIN. Arcturus Baffini. Westwood. *Idotea Baffini.* Sabine; *Arcturus tuberculatus*, Latreille. De grandeur naturelle.

Dans l'individu figuré ici la tigette terminale des antennes externes manquait, et on l'a représentée d'après la figure donnée par M. Sabine.

Fig. 2 a. Le même, vu de profil.

Fig. 2 b. La tête, beaucoup grossie et vue en dessous pour montrer l'appareil buccal. La patte antérieure a été coupée d'un côté pour faire voir la base des pattes-mâchoires.

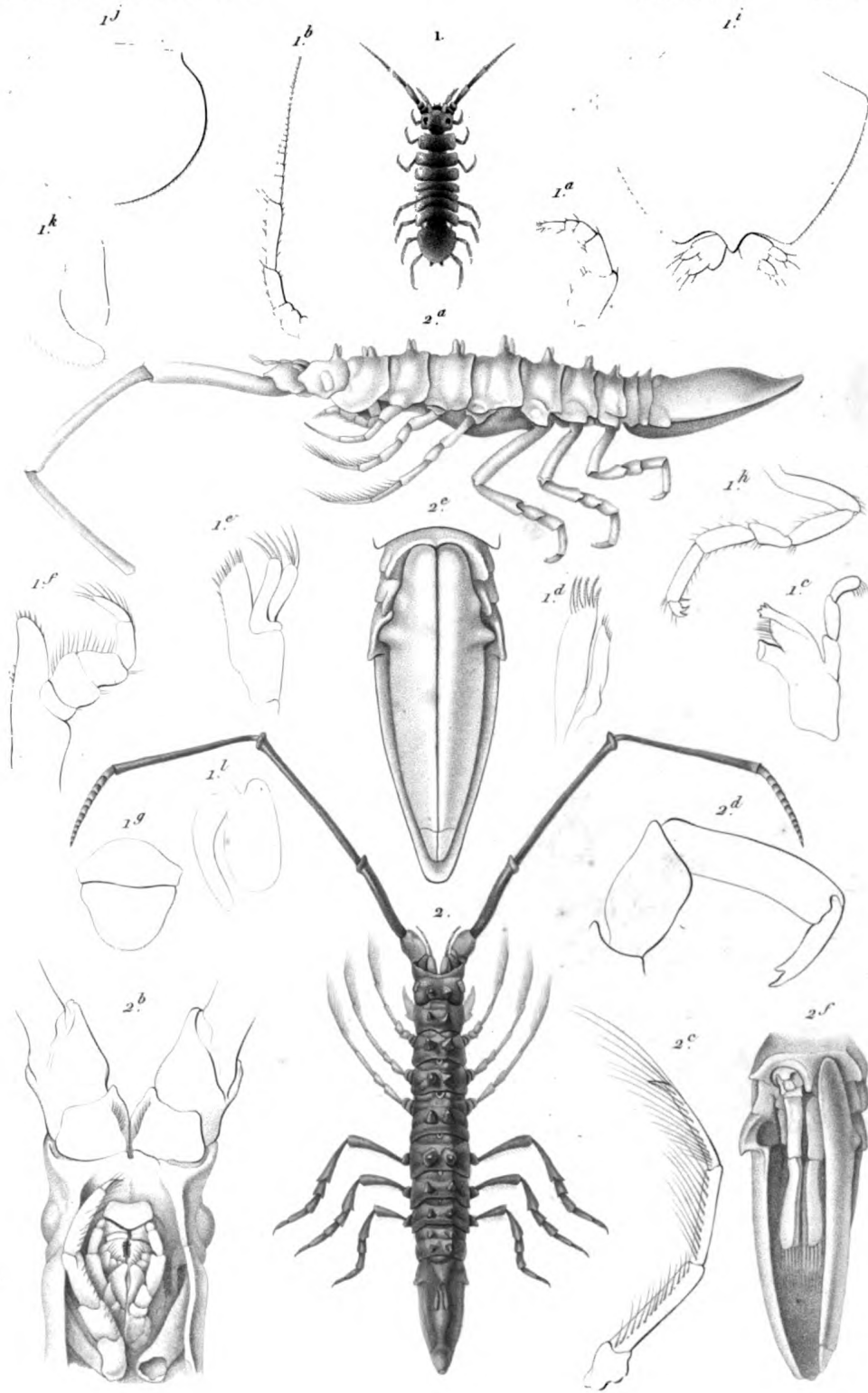
Fig. 2 c. Patte de la deuxième paire.

Fig. 2 d. Patte de la cinquième paire.

Fig. 2 e. Abdomen, vu en dessous; les opercules étant rapprochés.

Fig. 2 f. La même partie dont on a enlevé l'un des opercules.

(D'après nature.)



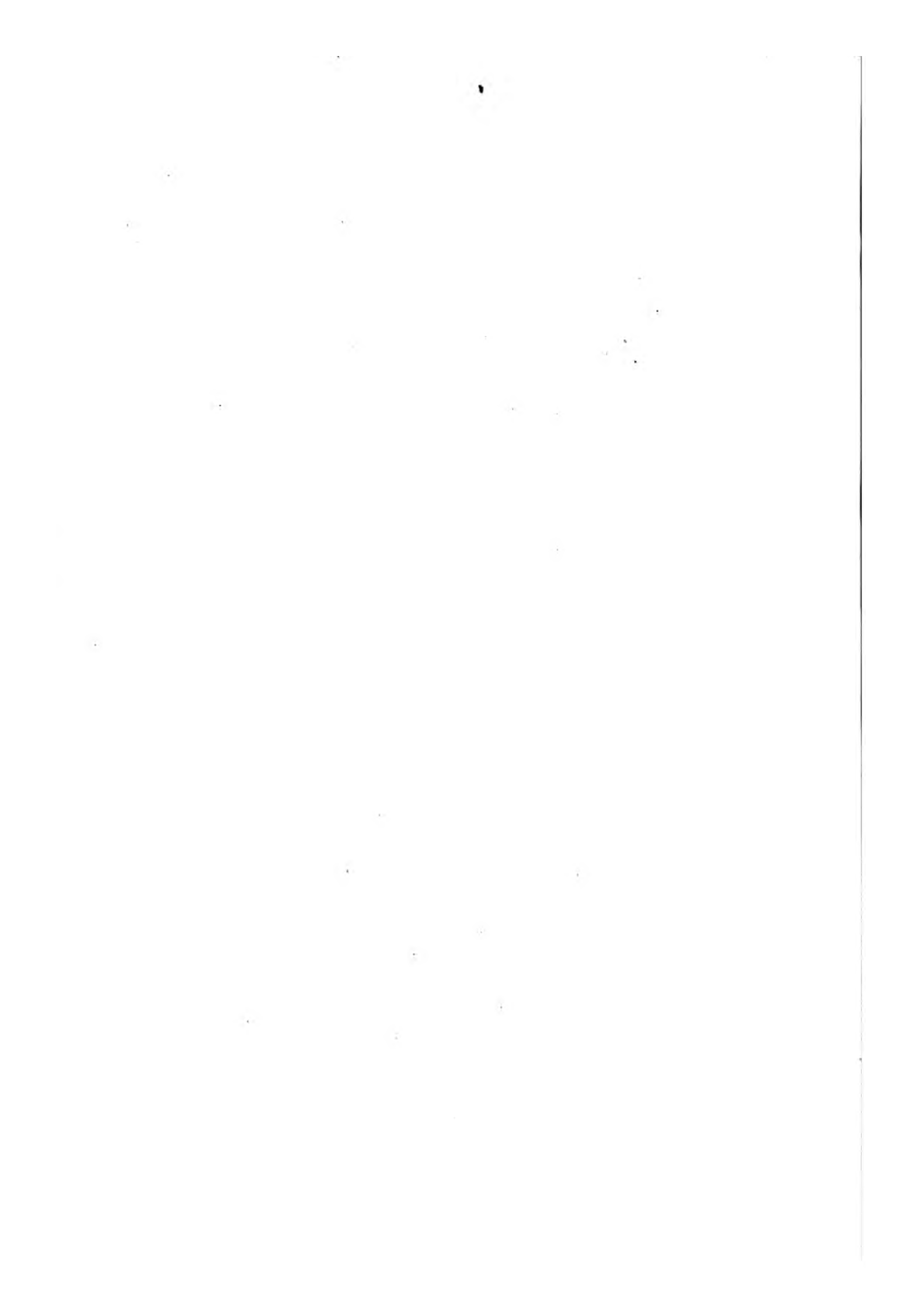
E

Schmeltz sc

1 JARA DE KRÖYER (Jara Krøyeri.)

2 ARCTURE DE BAFFIN (Arcturus Baffini)

N Remond imp.



ISOPODES.

ASELLOTES.

GENRE ASELE. *Asellus*. Geoffroy.

Fig. 1. ASELE VULGAIRE. Asellus vulgaris. Latreille.

Fig. 1 a. Patte-mâchoire.

CLOPORTIDES.

GENRE TYLOS. *Tylos*. Latreille.

Fig. 2. TYLOS DE LATREILLE. Tylos Latreillii. Audouin. Grossi environ quatre fois.

Fig. 2 a. Patte-mâchoire.

Fig. 2 b. Abdomen, vu en dessous.

Fig. 2 c. La même partie ; les lamelles latérales étant reployées pour mettre à découvert l'appareil respiratoire.

a. Base des pattes postérieures. — *b.* Fausses pattes abdominales constituant l'appareil respiratoire. — *c, d.* Les lames latérales.

Fig. 2 d. L'une des fausses pattes branchiales de la première paire.

Fig. 2 e. Portion de la même, grossie davantage pour mieux montrer les stigmates qui s'y trouvent.

GENRE LYGIE. *Lygia*.

Fig. 3. LYGIE OCÉANIQUE. Lygia oceanica. Grossie environ quatre fois.

Fig. 3 a. Tête, vue de face.

a. Front. — *b.* Yeux. — *c.* Base des antennes externes. — *d.* Antennes internes. — *e.* Labre. — *f.* Mandibules.

Fig. 3 b. Abdomen, vu en dessous.

a. Dernier anneau thoracique. — *b.* Premier anneau abdominal. — *c.* Fausses pattes branchiales. — *d.* Appendices abdominaux de la dernière paire.

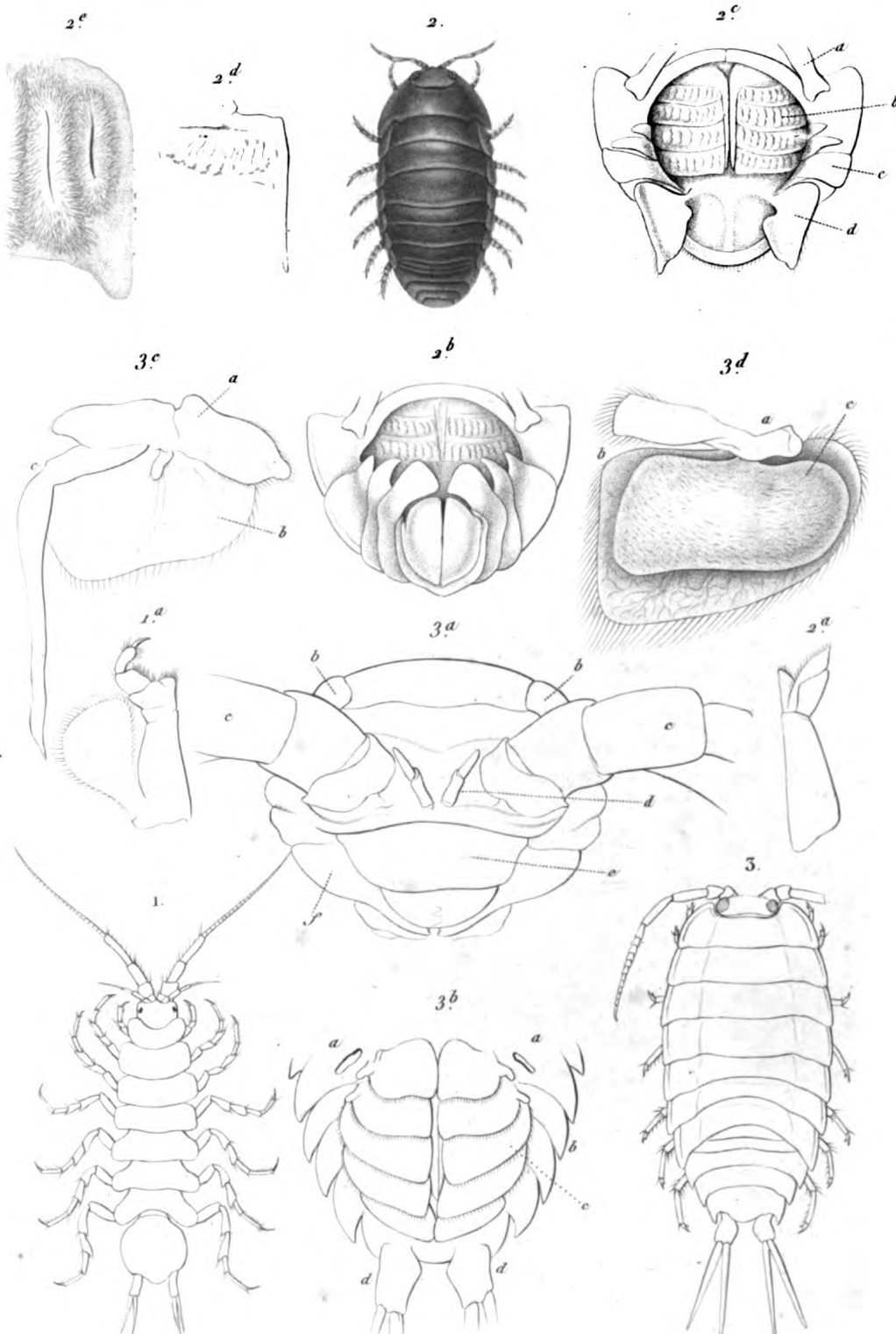
Fig. 3 c. Fausse patte abdominale de la première paire du mâle.

a. Article basilaire. — *b.* Appendice foliacé. — *c.* Appendice styloforme.

Fig. 3 d. Fausse patte abdominale de la quatrième paire.

a. Article basilaire. — *b.* Lame externe. — *c.* Appendice vésiculaire représentant interne et constituant une branchie.

(D'après nature, excepté les fig. 2, 2 a, 2 b et 2 c, qui sont tirées des planches de crustacés publiées par M. Savigny dans le grand ouvrage sur l'Égypte.)

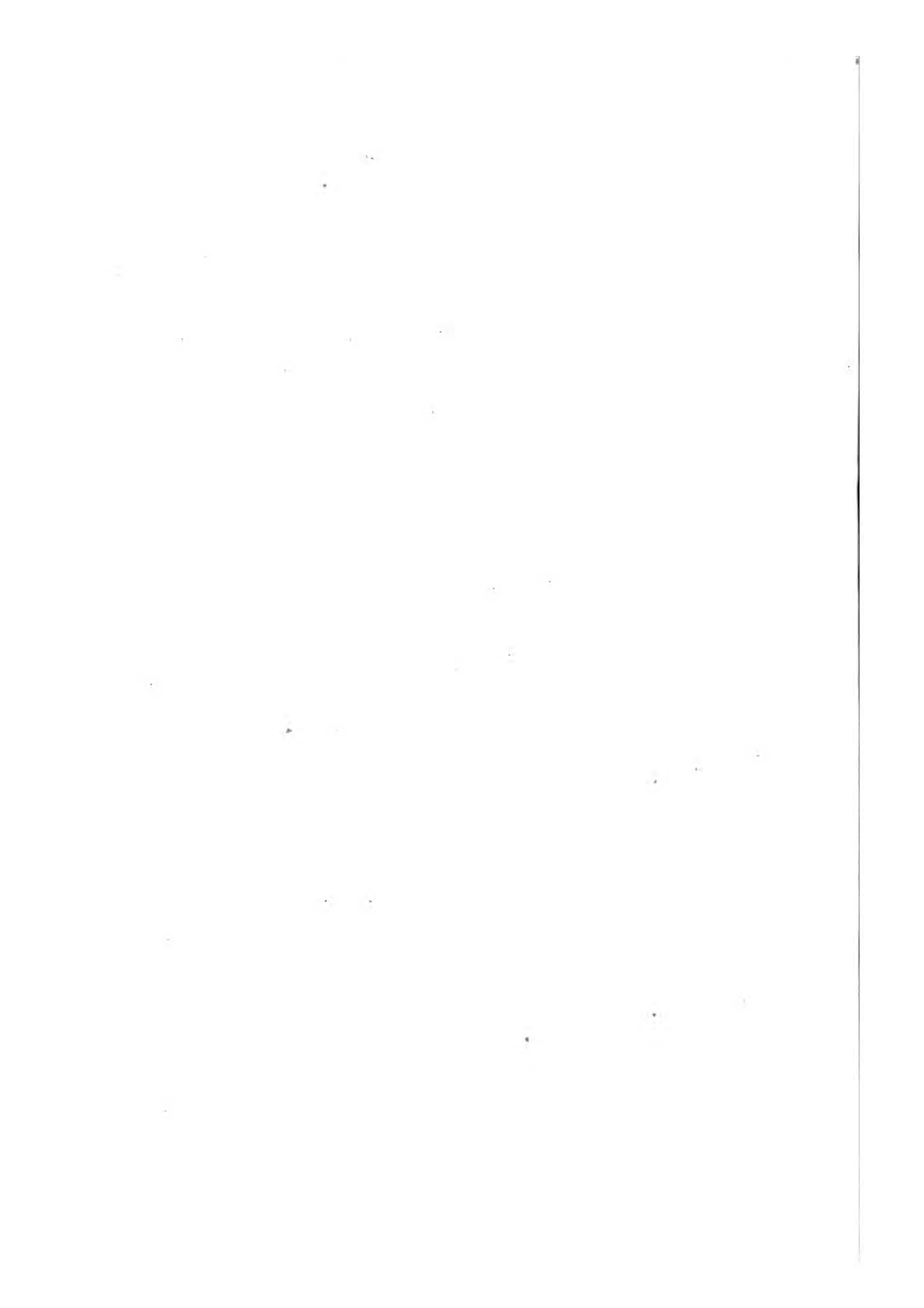


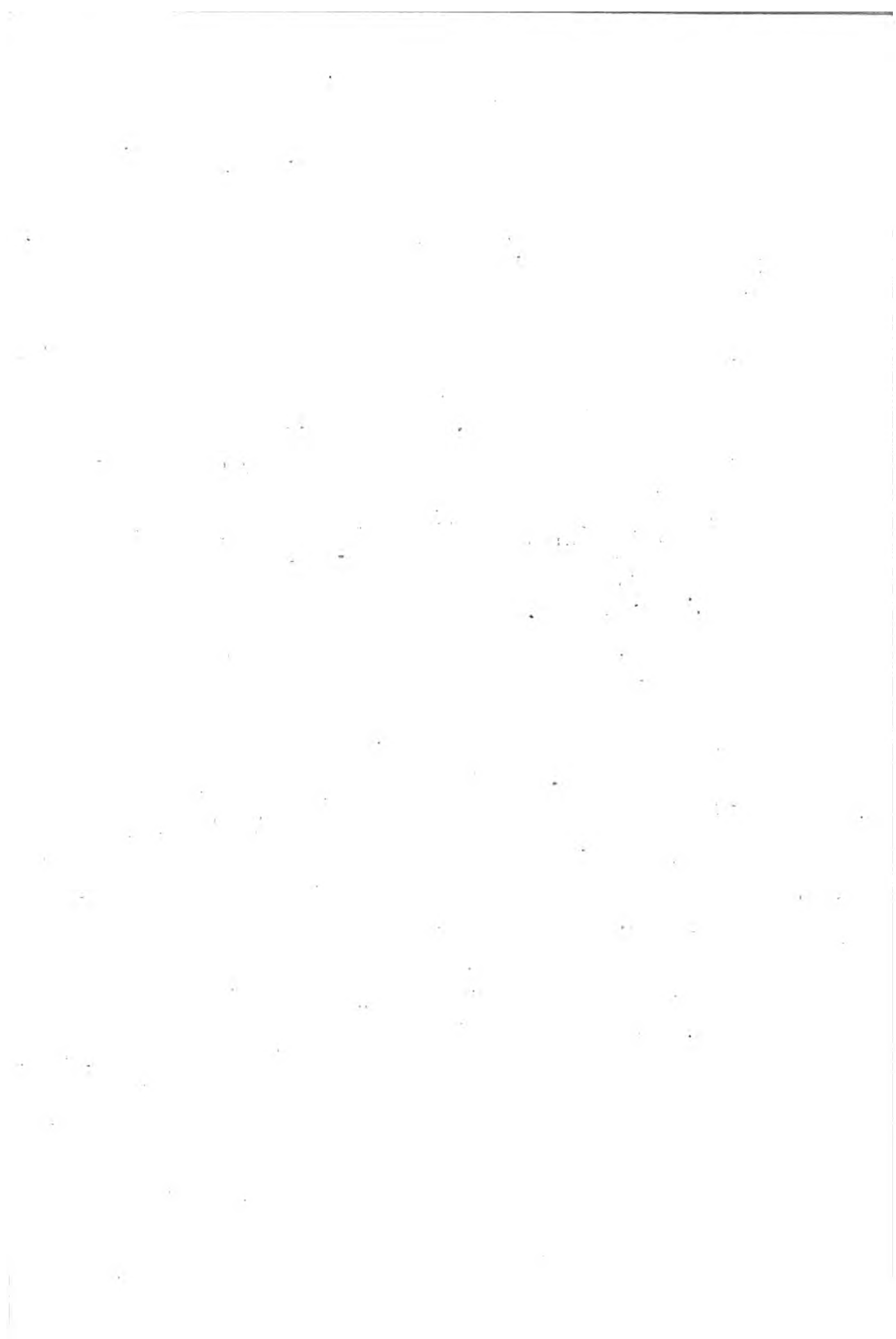
E

Forget sc

- 1. ASELE VULGAIRE. (*Asellus vulgaris*)
- 2. TYLOS DE LATREILLE. (*Tylos Latreillii*)
- 3. LYGIE OCCANIQUE. (*Lygia oceanica*)

N. Rémond imp.





ISOPODES.

CLOPORTIDÉS.

GENRE PORCELLION. *Porcellio*. Latr. *Oniscus*. Fabr.; CURV.

Fig. 1. PORCELLION RUDE. *Porcellio scaber*. Latr. Grossi environ deux fois.

Fig. 1 a. La tête, grossie davantage et vue en dessus.

aa. Premier anneau du thorax. — *b.* Face supérieure de la tête. — *c.* Lobe frontal médian. — *d.* Lobes frontaux latéraux. — *e.* Antennes de la seconde paire. — *f.* Yeux.

Fig. 1 b. La tête, vue en dessous.

aa. Premier anneau thoracique, dont on a détaché les pattes. — *b.* Pattes mâchoires. — *c.* Mandibules. — *d.* Labre. — *e.* Antennes de la première paire. — *f.* Antennes de la seconde paire.

Fig. 1 c. Une des antennes de la première paire, beaucoup grossie.

Fig. 1 d. Mandibule.

Fig. 1 e. Mâchoire de la première paire.

Fig. 1 f. Mâchoire de la seconde paire.

Fig. 1 g. Petite mâchoire. *colla*

Fig. 1 h. Patte antérieure.

Fig. 1 i. Patte de la dernière paire.

Fig. 1 k. Abdomen, vu en dessous.

Fig. 1 l. Lame externe des premières fausses pattes de la femelle, vue au microscope, pour montrer le petit arbuscule respiratoire renfermé dans son intérieur et recevant l'air par les trous situés sous son bord inférieur (Voyez l'Hist. nat. des Crustacés par M. Milne Edwards, t. III, p. 161).

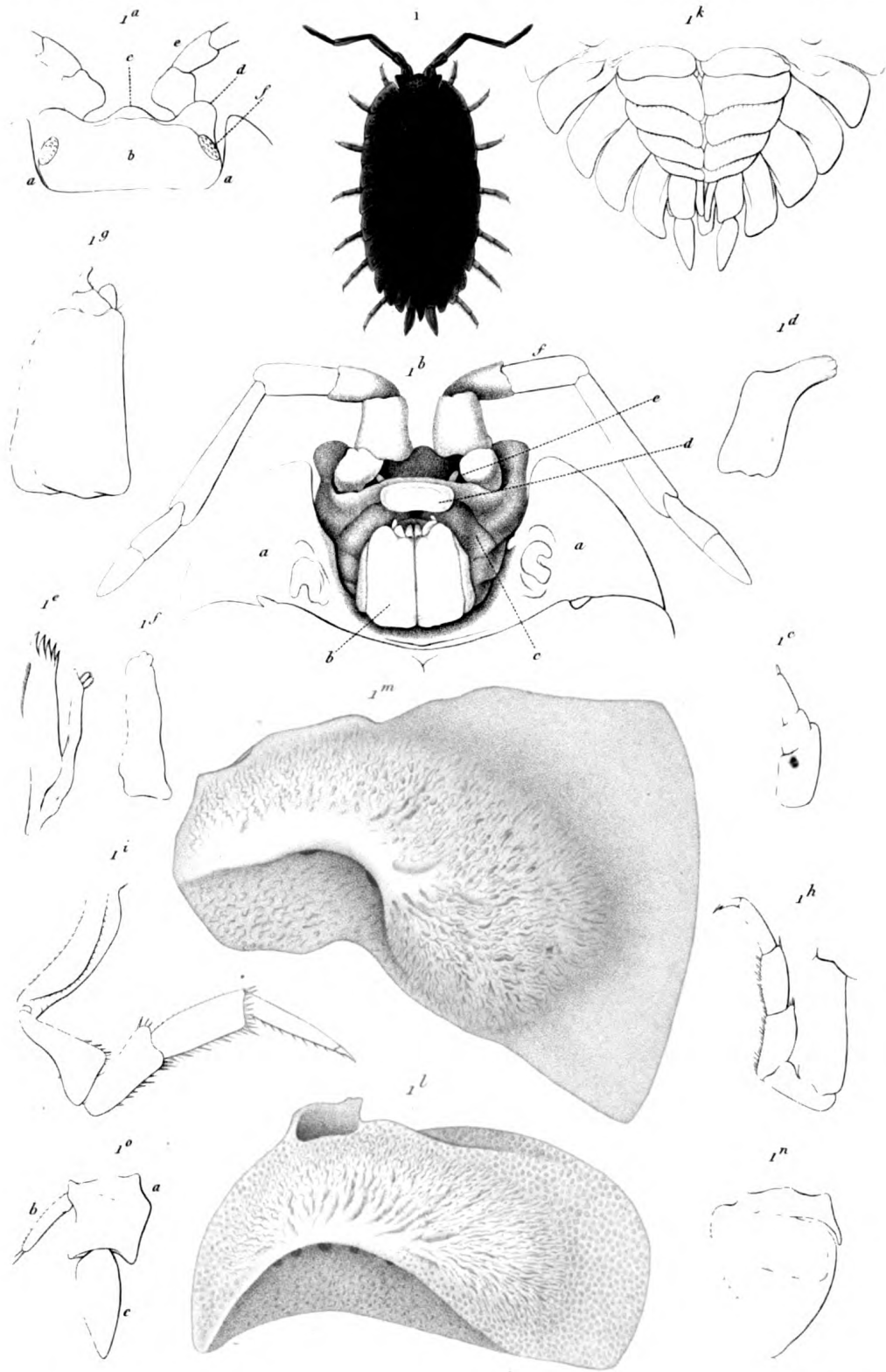
Fig. 1 m. Lame semblable appartenant aux fausses pattes de la seconde paire.

Fig. 1 n. Fausses pattes de la cinquième paire.

Fig. 1 o. Fausses pattes de la sixième paire, ou appendices caudaux.

a. Article basilaire. — *b.* Lame terminale interne qui dans sa position naturelle se trouve cachée sous le dernier segment de l'abdomen. — *c.* Lame terminale externe.

(D'après nature.)

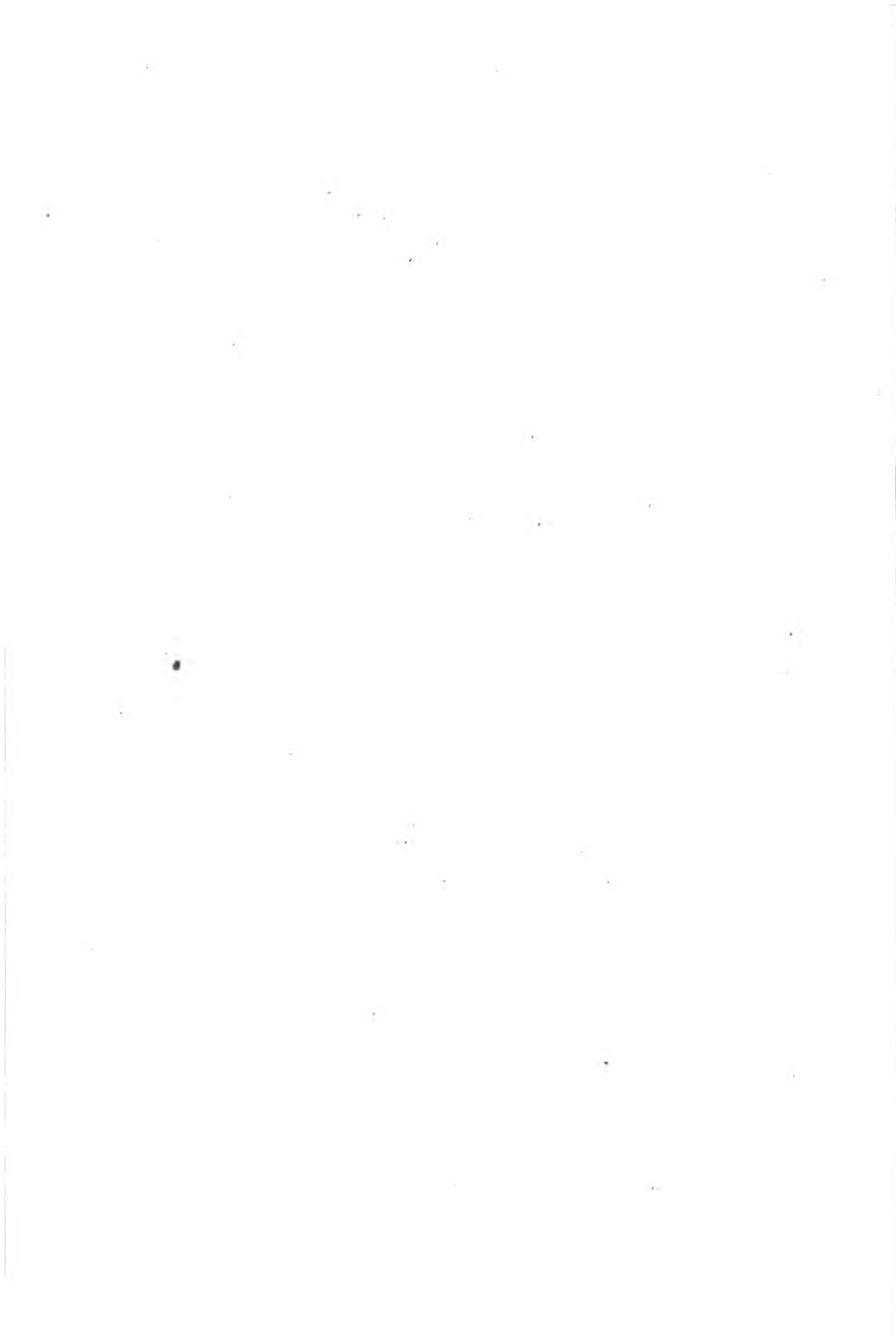


E.

Lebrun sc

1. PORCELLION RUPE (Porcello scaber)

N. Senechal unip



ISOPODES.

CLOPORTIDES.

GENRE PORCELLION. *Porcellio*. Latreille.

Suite des détails du PORCELLION RUDE (Voyez planche 71).

Fig. 1. Appendices abdominaux de la première paire chez le mâle.

a. Verge membraneuse logée dans l'espèce de gaine formée par les appendices internes de ces fausses pattes.

Fig. 1 a. Fausses pattes de la seconde paire chez le mâle.

Fig. 2. Appendices abdominaux de la première paire chez le mâle du PORCELLION LISSE. *Porcellio laevis*. Latr. On voit au-dessus de la base de la verge la terminaison des deux canaux déférens.

GENRE CLOPORTE. *Oniscus*. Lin.

Fig. 3. CLOPORTE DES MURAILLES. *Oniscus murarius*. Cuvier. Grossi de moitié.

GENRE ARMADILLE. *Armadillo*. Latreille.

Fig. 4. ARMADILLE DES BOUTIQUES. *Armadillo officinalis*. Duméril. Représenté de profil et de grandeur naturelle.

Fig. 4 a. Croquis du même, ayant le corps étendu et vu de dos.

Fig. 4 b. La tête, vue par sa face antérieure.

Fig. 4 c. La tête, vue en dessous.

Fig. 4 d. Antenne interne.

Fig. 4 e. Mandibule, vue par sa face interne.

Fig. 4 f. Mandibule vue par sa face externe.

Fig. 4 g. Patte mâchoire.

Fig. 4 h. Patte de la première paire.

Fig. 4 i. Abdomen, vu en dessous.

a. Bordure entourant la fosse branchiale où sont logées les fausses pattes branchiales (b). — c. Dernier segment de l'abdomen. — d. Article basilair des dernières fausses pattes. — e. Appendice interne de ces fausses pattes.

Fig. 4. j. Portion terminale de l'abdomen, vue en dessus.

a. Dernier segment. — b. Article basilair de l'une des dernières fausses pattes. — c. Appendice externe de la même.

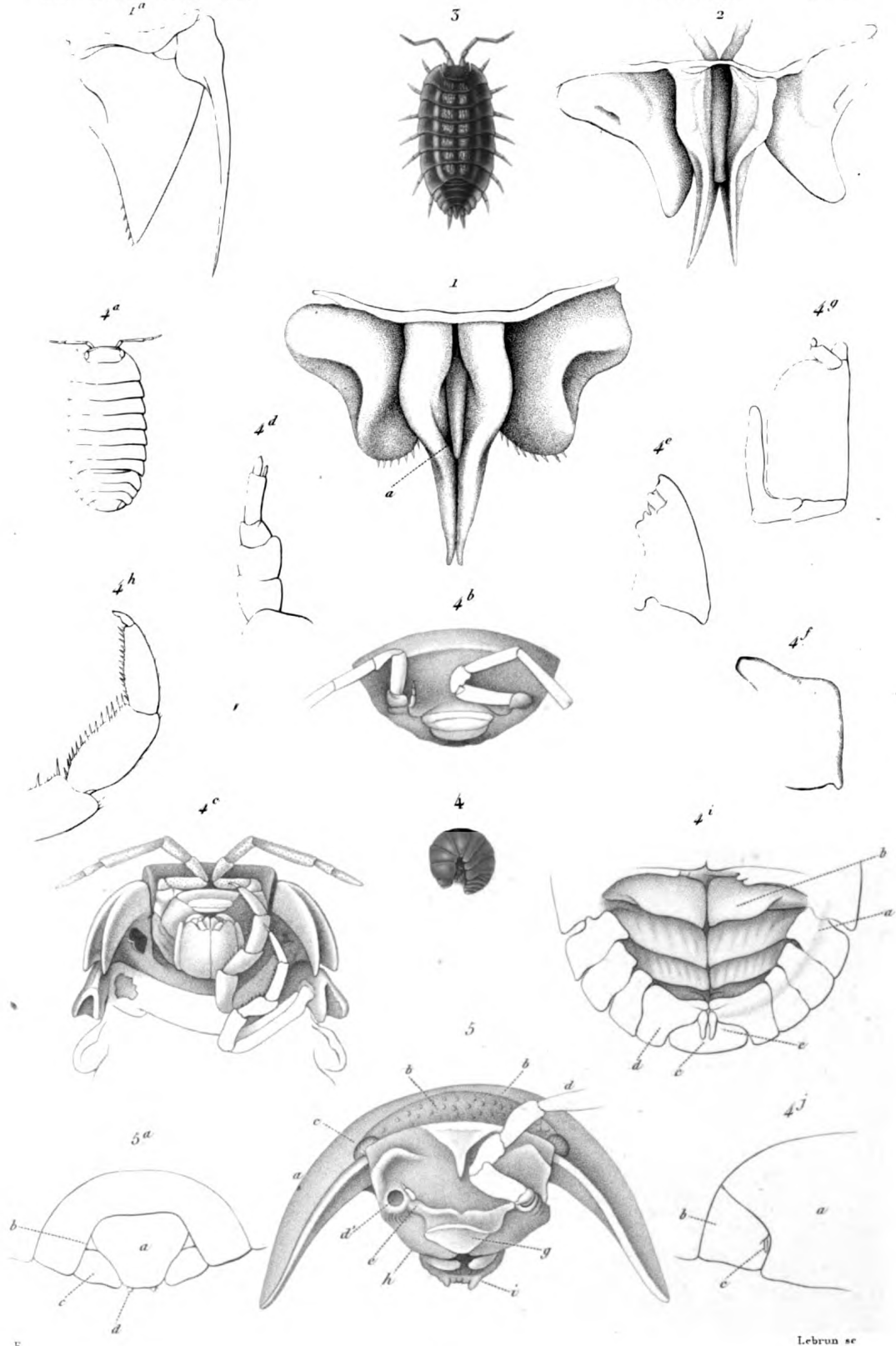
Fig. 5. Tête de l'ARMADILLE COMMUNE (*Armadillo vulgaris*. Latreille. *Armadillidium vulgare*. Edw. Hist. des Crust. t. III, p. 183). Beaucoup grossie et vue par sa face antérieure.

a. Premier anneau du thorax. — b. Face supérieure de la tête. — c. Yeux. — d. Antenne externe. — d'. Trou servant à l'articulation de l'autre antenne externe. — e. Antenne de la première paire. — g. Labre. — h. Mandibules. — i. Pattes mâchoires.

Fig. 5 a. Extrémité de l'abdomen du même.

a. Dernier segment. — b. Article basilair des dernières fausses pattes. — c. Appendice externe de ces fausses pattes. — d. Portion de l'appendice interne dépassant le dernier segment.

Les figures 5 et 5 a, comparées aux figures 4 b et 4 g font connaître les principaux caractères qui distinguent, des Armadilles proprement dites, le genre Armadillidie de M. Brandt. (D'après nature.)



3 CLOPORTE DES MURAILLES (Oniscus murarius.)

4 ARMADILLE DES BOUTIQUES (Armadillo officinalis)

V. Amour 1892



BRANCHIOPODES.

LOPHYROPES CARCINOIDES.

GENRE NEBALIE. *Nebalia*. Leach.

Fig. 1. NÉBALIE DE GEOFFROY. *Nebalia Geoffroy*. Edw. De grandeur naturelle.

Fig. 1 a. Le même grossi et dépouillé de sa carapace d'un côté.

a. Prolongement rostriforme. — *b.* OEil. — *c.* Antenne de la première paire. — *d.* Antenne de la seconde paire, constituant, ainsi que la précédente, un organe de natation. — *e.* Pattes thoraciques foliacées et branchiales; on en compte huit paires, et entre ces organes et les antennes on voit l'appareil buccal. — *f.* Pattes abdominales natatoires.

Fig. 1 b. Mandibule garni d'un palpe très développé.

Fig. 1 c. Patte-mâchoire de la seconde paire.

Fig. 1 d. Patte-mâchoire antérieure garnie d'un appendice filiforme, qui remonte sur les côtés du thorax, ainsi qu'on le voit dans la *Fig. 1 a.*

Fig. 1 e. Patte thoracique.

a. Tige interne. — *b.* Lobe terminal représentant le palpe ou tige moyenne des membres chez les crustacés ordinaires. — *c.* Appendice subvésiculaire et branchial représentant le fouet.

GENRE CYCLOPE. *Cyclops*. Muller.

Fig. 2. CYCLOPE COMMUN. *Cyclops vulgaris*, Leach. *Cyclops quadricornis*, Muller. Grossi.

Fig. 2 a. Antennes de la seconde paire.

Fig. 2 b. Mandibules.

Fig. 2 c, 2 d. Mâchoires.

Fig. 2 e. Patte-mâchoire.

Fig. 2 f. Patte thoracique.

S.-GENRE PONTIE. *Pontia*. Edw.

Fig. 3. PONTIE ATLANTIQUE. *Pontia atlantica*. Edw. Femelle grossie et vue en dessus.

Fig. 3 a. La même, vue de profil.

Fig. 3 b. Antenne supérieure droite du mâle.

Fig. 3 c. Antennes de la seconde paire.

Fig. 3 d. Rostre.

Fig. 3 e. Mandibule garni d'un palpe très développé.

Fig. 3 f, 3 g. Mâchoires.

Fig. 3 h. Patte-mâchoire.

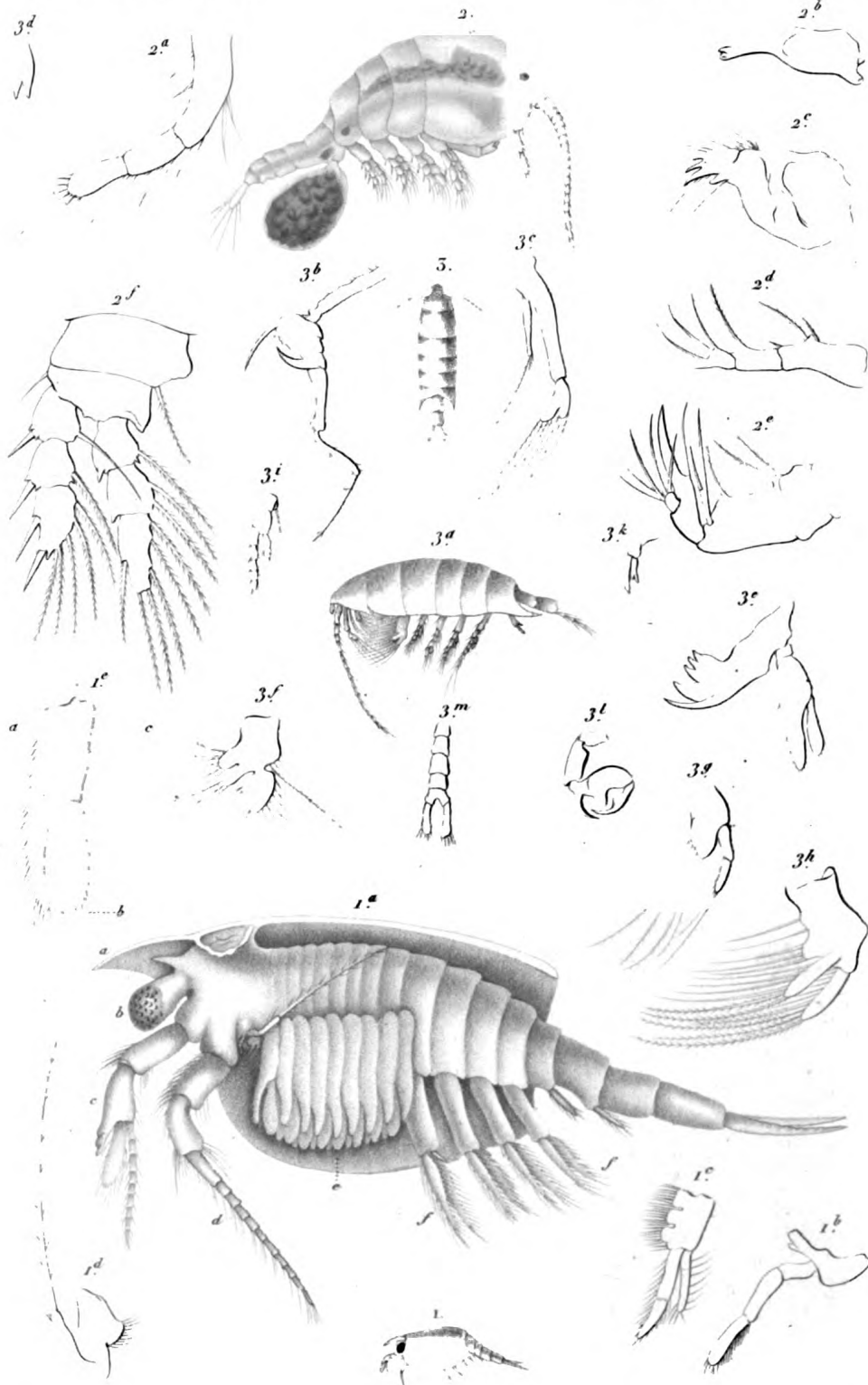
Fig. 3 i. Patte thoracique, moins grossie.

Fig. 3 k. Patte thoracique de la cinquième paire.

Fig. 3 l. Patte thoracique postérieure du côté droit chez le mâle.

Fig. 3 m. Abdomen du mâle.

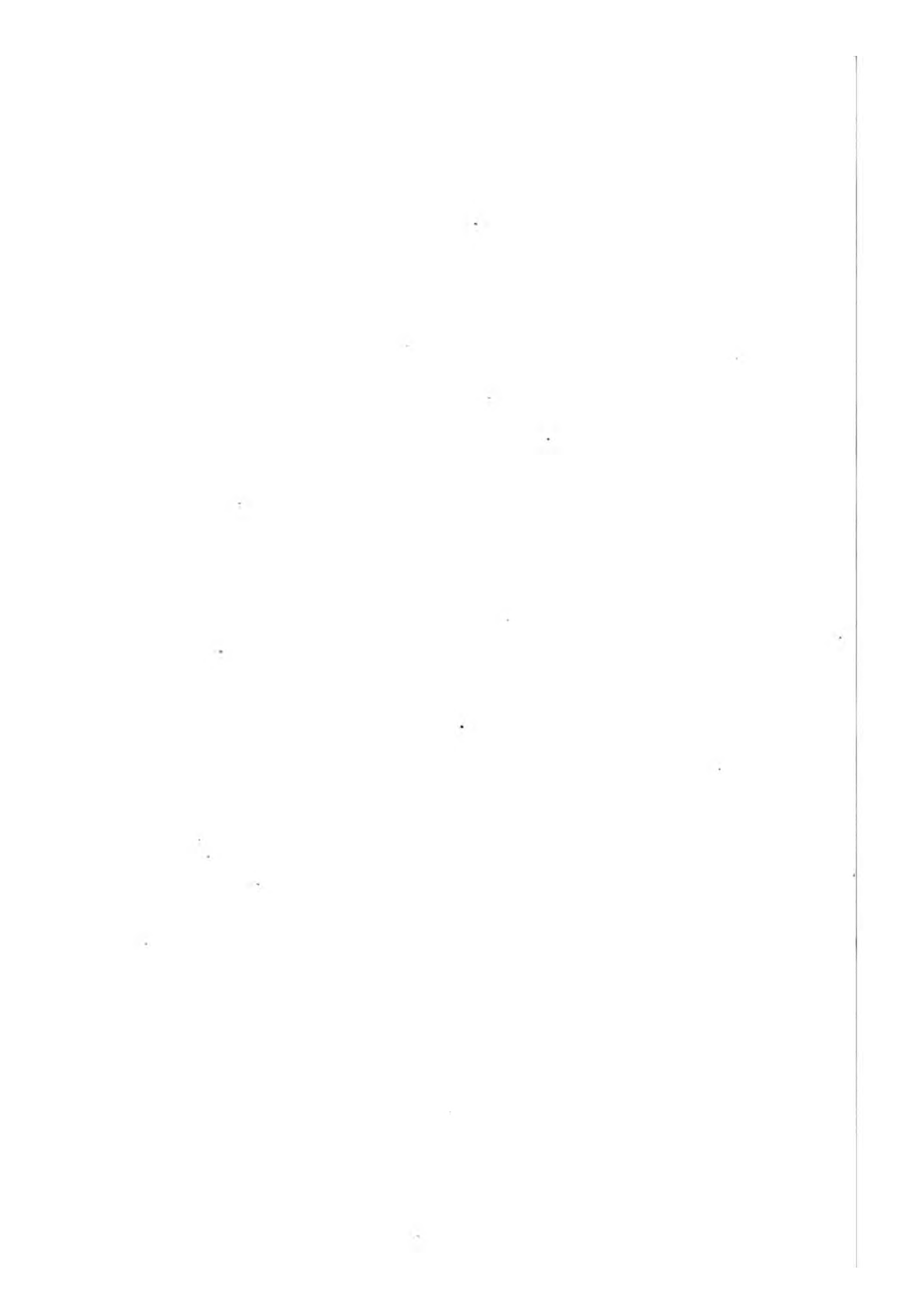
(D'après nature.)



E.

Schmela sc

- 1. NEBALIE DE GEOFFROY. (*Nebalia Geoffroyi*)
- 2. CYCLOPS COMMUN. (*Cyclops vulgaris*)
- 5. PONTIE ATLANTIQUE. (*Pontia atlantica*)



ENTOMOSTRACÉS.

BRANCHIOPODES.

OSTRACODES.

GENRE CYPRIS. *Cypris*. Müller.

Fig. 1. CYPRIS BRUN. *Cypris fusca*. Straus. De grandeur naturelle.

Fig. 1 a. Le même, grossi.

a, a. Valves. — *b.* OEil. — *c.* Antennes. — *d.* Pieds de la première paire (ou antennes inférieures). — *e.* Pieds de la seconde paire. — *f.* Queue.

Fig. 1 b. Le même, grossi davantage, et dépouillé de ses valves, dont le contour seulement est tracé en *a, a.*

b. Portion pédonculaire de la membrane qui double les valves. — *c.* L'œil. — *d.* Les antennes. — *e.* Pattes de la première paire (ou antennes inférieures). — *f.* Labre. — *f'*. Mandibule. — *g.* Son palpe. — *h.* Mâchoires de la première paire. — *i.* Mâchoires de la deuxième paire. — *j.* Appendice flabelliforme des mâchoires de la première paire (branchie, Straus). — *k.* Pattes de la seconde paire (S.). — *l.* Pattes de la troisième paire. — *m.* Queue. — *n.* Insertion de l'organe cylindrique que M. Straus considère comme un testicule. — *o.* Ovaires, dont une portion a été coupée.

Fig. 1 c. Le même avec l'ovaire (*o*) et l'organe cylindrique (*p*) dont il vient d'être question (testicule?) en place.

Fig. 1 d. Mandibule.

a. Corps. — *b.* Palpe. — *c.* Appendice flabelliforme.

Fig. 1 e. Mâchoire de la première paire.

a. Article basilaire. — *b.* Articles terminaux. — *c.* Appendice flabelliforme (branchie, Straus).

Fig. 1 f. Mâchoire de la deuxième paire.

Fig. 1 g. Antenne inférieure, ou patte de la première paire.

Fig. 1 h. et **1 i.** Pattes des deux dernières paires.

CLADOCÈRES.

GENRE DAPHNIE. *Daphnia*. Müller.

Fig. 2. DAPHNIE PUCE. *Daphnia pulex*. De grandeur naturelle.

Fig. 2 a. La même, grossie.

a. Test. — *b.* Grandes antennes. — *c.* L'œil. — *d.* Le bec portant les petites antennes.

Fig. 2 b. La même dépouillée de ses valves.

a. Base de la grande antenne. — *c.* L'œil. — *d.* Le cerveau. — *e.* Le bec. — *f.* Mandibules. — *g.* Muscles des mandibules. — *h.* Bords du test. — *i, i, i, i.* Anneaux du thorax. — *j.* Sixième anneau dont le bord supérieur est garni de mamelons. — *k.* Septième anneau. — *l.* Appendices terminaux entre lesquels s'ouvre l'anus. — *m 1, m 5.* Les cinq paires de pattes. — *n.* L'œsophage. — *o.* L'intestin. — *p.* L'ovaire. — *q.* Le cœur.

Fig. 2 c. Tête de la même, grossie davantage.

a. L'œil. — *b.* Le cerveau. — *c.* Ganglion du nerf optique. — *d.* Ganglions adjacents à la tache noire de la pointe inférieure du cerveau. — *e.* Insertion de la grande antenne. — *f.* Petites antennes. — *g.* Labre. — *h.* Mandibule. — *i.* Mâchoire. — *j.* Lobule postérieur du labre. — *k.* Muscles de la mandibule. — *l.* OEsophage. — *m.* Estomac. — *n.* Cœcum. — *o, p.* Muscle élévateur des grandes antennes. — *q.* Muscles fléchisseurs des mêmes. — *r.* Muscle élévateur du labre.

Fig. 2 d. Mandibule.

Fig. 2 e. Mâchoire.

Fig. 2 f. Patte de la première paire.

Fig. 2 g. Patte de la seconde paire.

Fig. 2 h, 2 i. Pattes de la troisième et quatrième paire.

a. Base de la patte. — *b, b.* Les muscles. — *c.* Rame. — *d.* Poils (filets branchiaux, Straus).

Fig. 2 k. Membres de la cinquième paire, et portion du quatrième segment.

a. Premier article. — *b.* Troisième article muni d'un appendice. — *c.* Quatrième article. — *d.* Espèce de queue du quatrième segment.

(Ces figures sont tirées des deux mémoires de M. Straus sur les Daphnies et les Cypris insérés dans les mémoires du Muséum, t. V, et VII.)



Visto sc.

- 1. CYPRIS BRUCH (Cypris fusea.)
- 2. DAPHNIE PUCE. (Daphnia pulex)

J. Remond imp

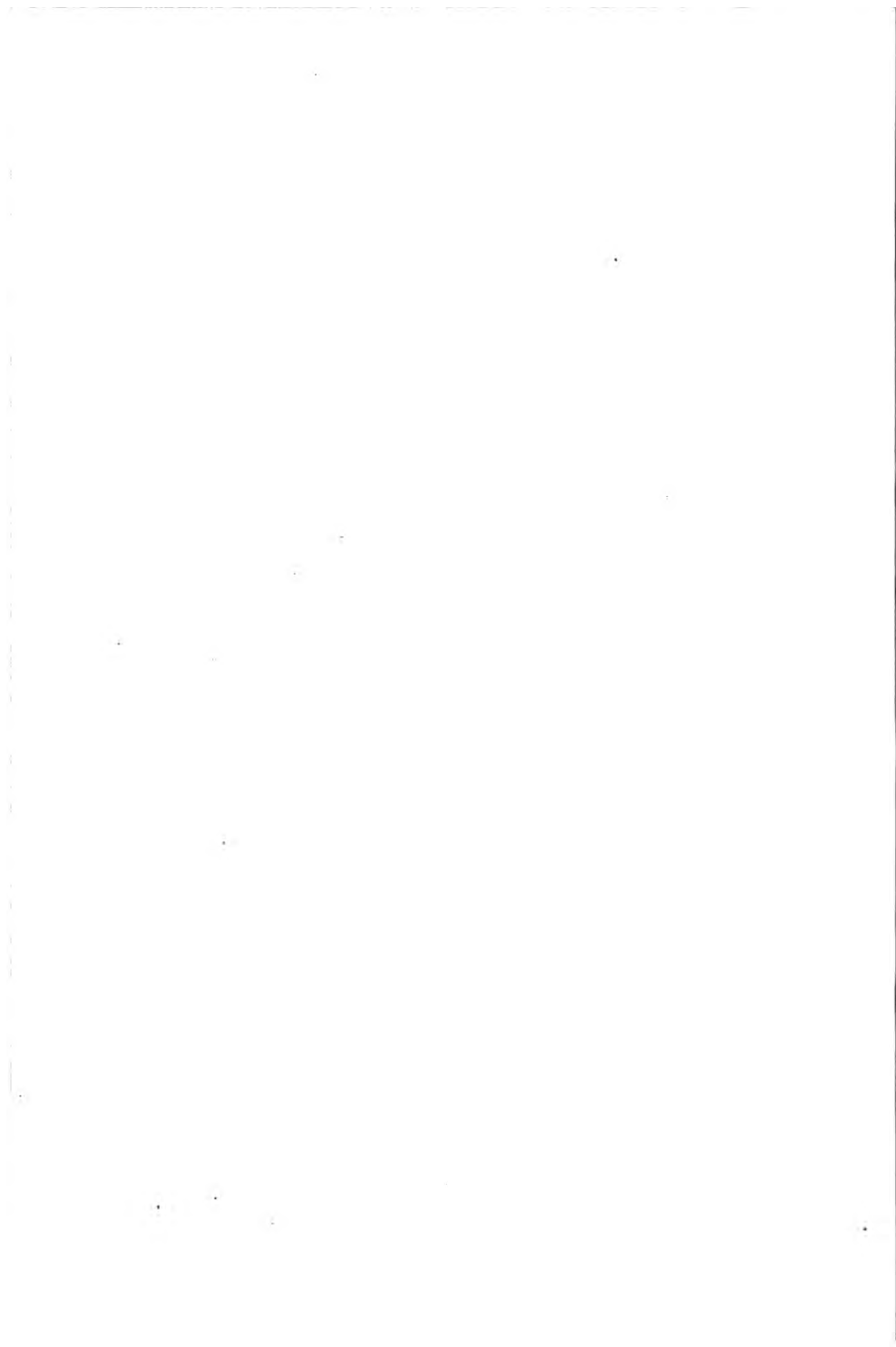


TABLE III

TABLE III (continued)

| Run | Temperature (°C) | Time (min) | Conversion (%) | Number-average molecular weight (M _n) | Weight-average molecular weight (M _w) | Polydispersity (M _w /M _n) |
|-----|------------------|------------|----------------|---|---|--|
| 1 | 100 | 10 | 10 | 1000 | 1500 | 1.5 |
| 2 | 100 | 20 | 20 | 2000 | 3000 | 1.5 |
| 3 | 100 | 30 | 30 | 3000 | 4500 | 1.5 |
| 4 | 100 | 40 | 40 | 4000 | 6000 | 1.5 |
| 5 | 100 | 50 | 50 | 5000 | 7500 | 1.5 |
| 6 | 100 | 60 | 60 | 6000 | 9000 | 1.5 |
| 7 | 100 | 70 | 70 | 7000 | 10500 | 1.5 |
| 8 | 100 | 80 | 80 | 8000 | 12000 | 1.5 |
| 9 | 100 | 90 | 90 | 9000 | 13500 | 1.5 |
| 10 | 100 | 100 | 100 | 10000 | 15000 | 1.5 |

ENTOMOSTRACÉS.

BRANCHIOPODES, PHYLLOPES.

CÉRATOPHTHALMES.

GENRE LIMNADIE. *Limnadia*. Ad. Brongniart.

Fig. 1. LIMNADIE D'HERMANN. *Limnadia hermanni*. Ad. Brong. *Daphnia gigas*, Hermann. De grandeur naturelle.

Fig. 1 a. Le même dont on a enlevé un des valves pour mettre à nu le corps; le tout beaucoup grossi.

a, *a*. Valve gauche en place. — *a' a'*. Bord dorsal par lequel cette valve adhèrait à l'autre. — *b*. Pédoncule par lequel le corps adhère aux valves. — *c*. Oeil. — *d*. Tubercule frontal. — *e*. Crête labiale. — *f*. Antennes externes, derrière la base desquelles on voit une partie de l'une des antennes internes. — *g*. Pattes branchiales. — *h*. Filets ovifères. — *i*. Appendices de la queue.

Fig. 1 b. Mandibule.

Fig. 1 c. Mâchoire.

Fig. 1 d. Patte thoracique.

GENRE BRANCHIPE. *Branchipus*. Latreille. *Chirocephalus*.

B. Prevost.

Fig. 2. BRANCHIPE DES ÉTANGS. *Branchipus stagnalis*. Lot. Grossi environ quatre fois, d'après un individu vivant trouvé aux environs de Fontainebleau.

Fig. 2 a. Patte thoracique de la première paire. Grossi davantage.

Fig. 2 b. Patte de l'une des dernières paires.

Fig. 3. Portion antérieure du corps du BRANCHIPE ÉPINEUX. B. *Spinosus*. Edw., Hist. des Crust., t. III, p. 367.

Fig. 3 a. Tête et portion du thorax vues en dessous.

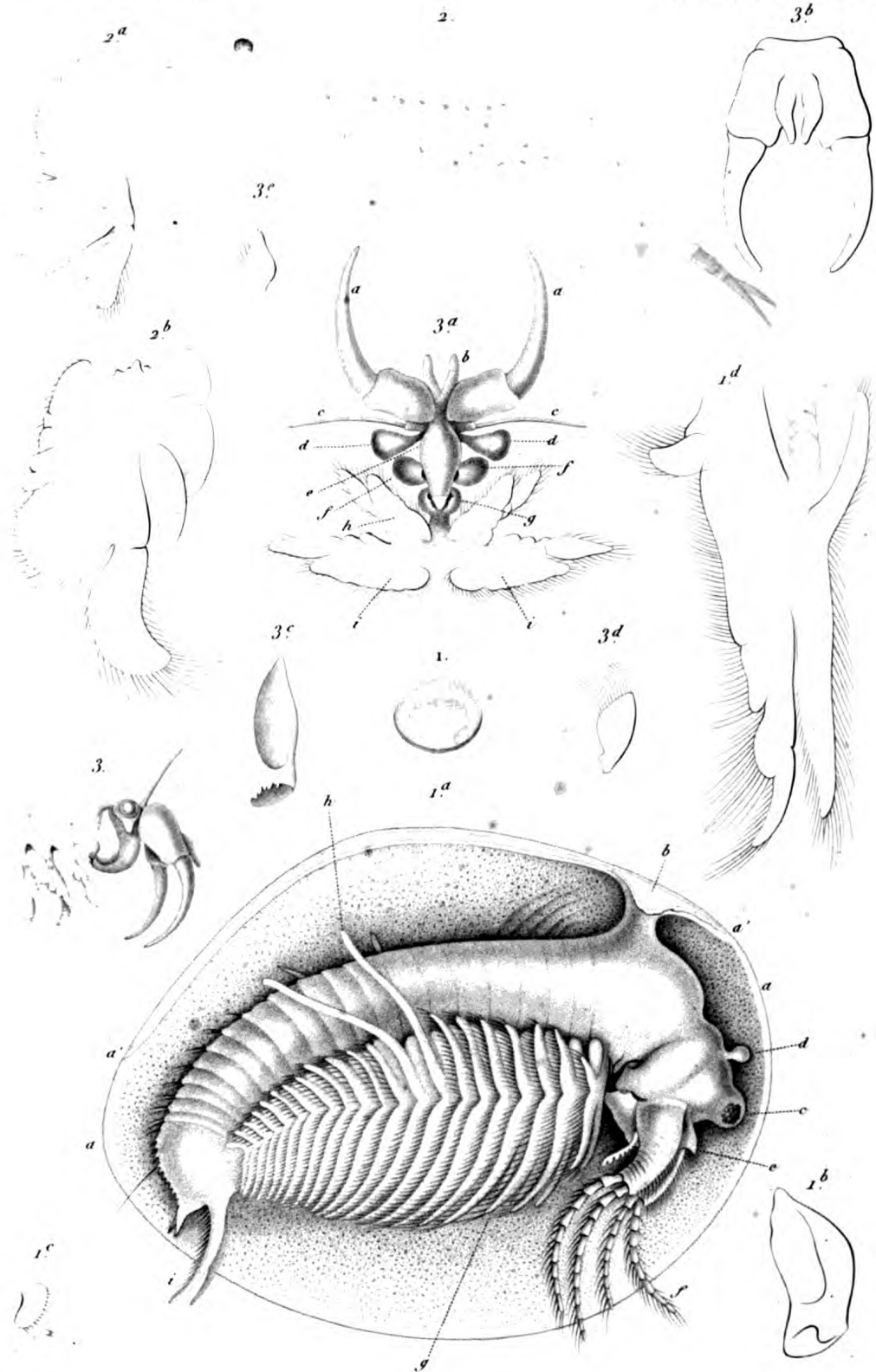
a. Antennes inférieures transformées en cornes. — *b*. Appendices styliformes de ces organes. — *c*. Antennes supérieures. — *d*. Yeux. — *e*. Labre. — *f*. Mandibules. — *g*. Mâchoires. — *h*. Pattes de la première paire. — *i*. Pattes de la deuxième paire.

Fig. 3 b. Antennes inférieures vues par devant.

Fig. 3 c. Mandibules.

Fig. 3 d et 3 e. Mâchoire.

(D'après nature.)



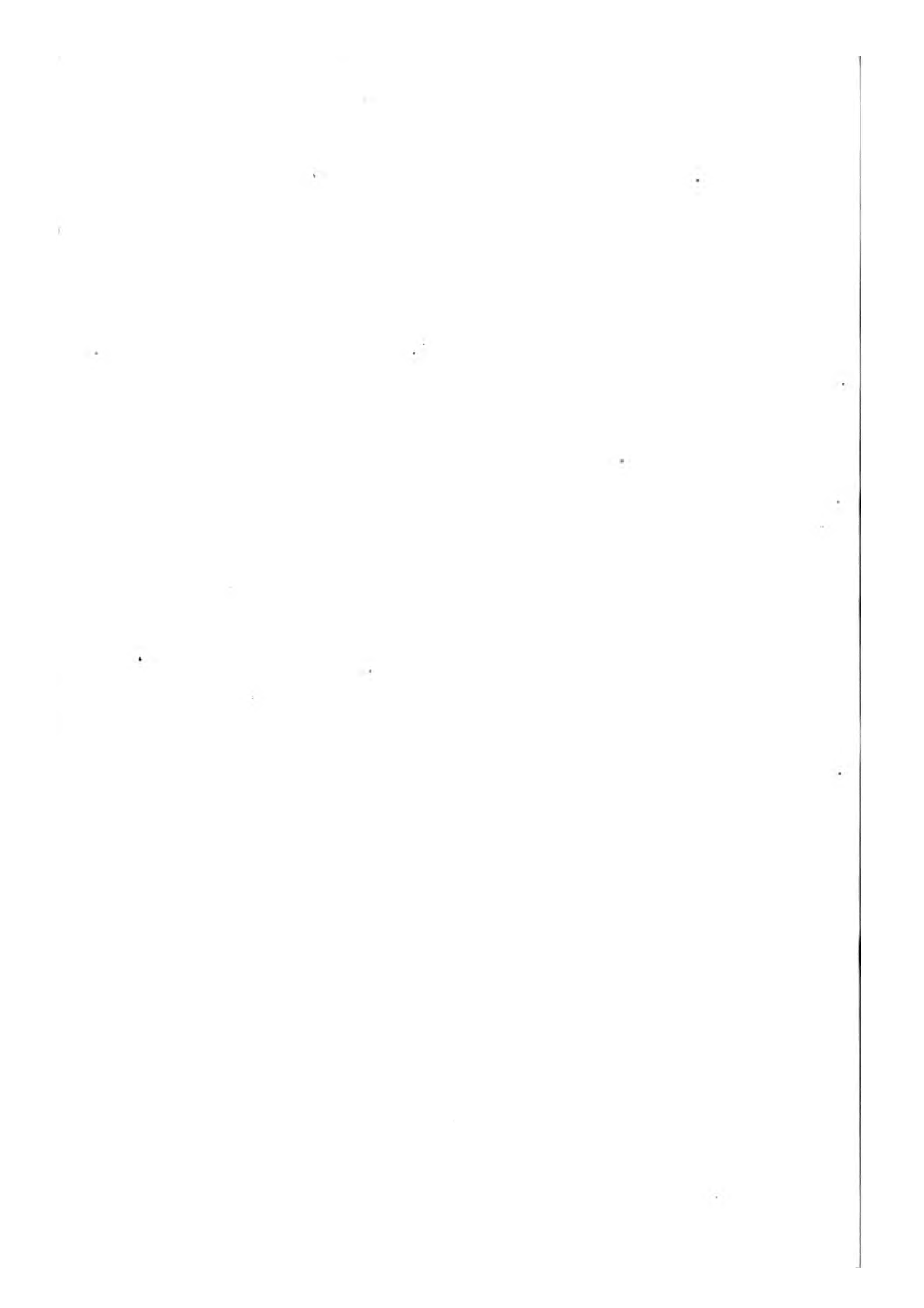
E.

Schmeiz sc

1. LIMNADIE D'HERMANNY. (Limnadia Hermannii)

2. BRANCHIPE DES ÉTANGS. (Branchipus stagnalis)

V. Renard imp.



1870
1871
1872
1873
1874
1875
1876
1877
1878
1879
1880
1881
1882
1883
1884
1885
1886
1887
1888
1889
1890
1891
1892
1893
1894
1895
1896
1897
1898
1899
1900

ENTOMOSTRACÉS.

BRANCHIOPODES, PHYLLOPES.

ASPIDIPHORES.

GENRE APUS. *Apus*. Scopoli.

Fig. 1. APUS ALLONGÉ. *Apus productus*. De grandeur naturelle.

Fig. 1 a. Le même grossi et vu en dessous.

a. Chaperon formé par la portion antérieure de la carapace. — *b.* Lèvre supérieure. — *c.* Antennes. — *d.* Mandibules. — *e.* Pattes rameuses. — *f.* Pattes branchiales antérieures. — *g.* Patte ovifères. — *h.* Pattes branchiales postérieures. — *i.* Anus. — *j.* Lame caudale.

Fig. 1 b. Mandibule.

Fig. 1 c. Lèvre inférieure.

Fig. 1 d. Mâchoire de la première paire.

Fig. 1 e. Mâchoire de la seconde paire.

Fig. 1 f. Pattes rameuses.

a. Article basilaire. — *b.* Appendices terminaux. — *c.* Palpe rudimentaire. — *d.* Vésicule membraneuse représentant le fouet.

Fig. 1 g. Patte thoracique de la cinquième paire.

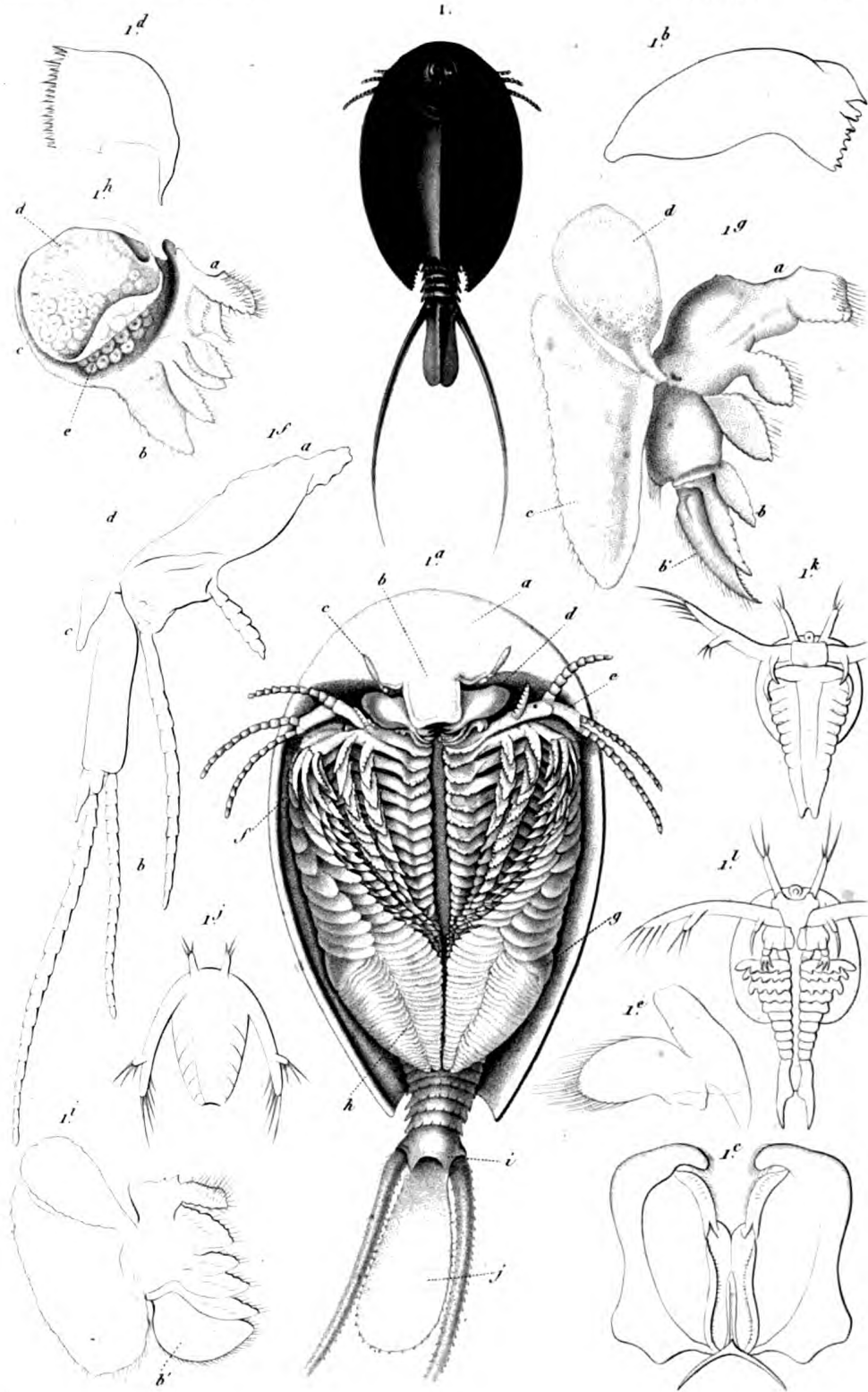
Fig. 1 h. Patte de la onzième paire transformée en capsule ovifère (e les œufs.)

Fig. 1 i. Patte de la quatorzième paire.

Dans ces figures, les diverses parties portent les mêmes lettres que dans la *fig. 1 f.*

Fig. 1 j, k, l. Larves d'*Apus* à divers degrés de leur développement, d'après M. Zaddach (*De apodis cancriformis anatome et historia evolutionis*; Bonnæ, 1841).

(D'après nature, excepté les *fig. 1 d, 1 k et 1 l.*)

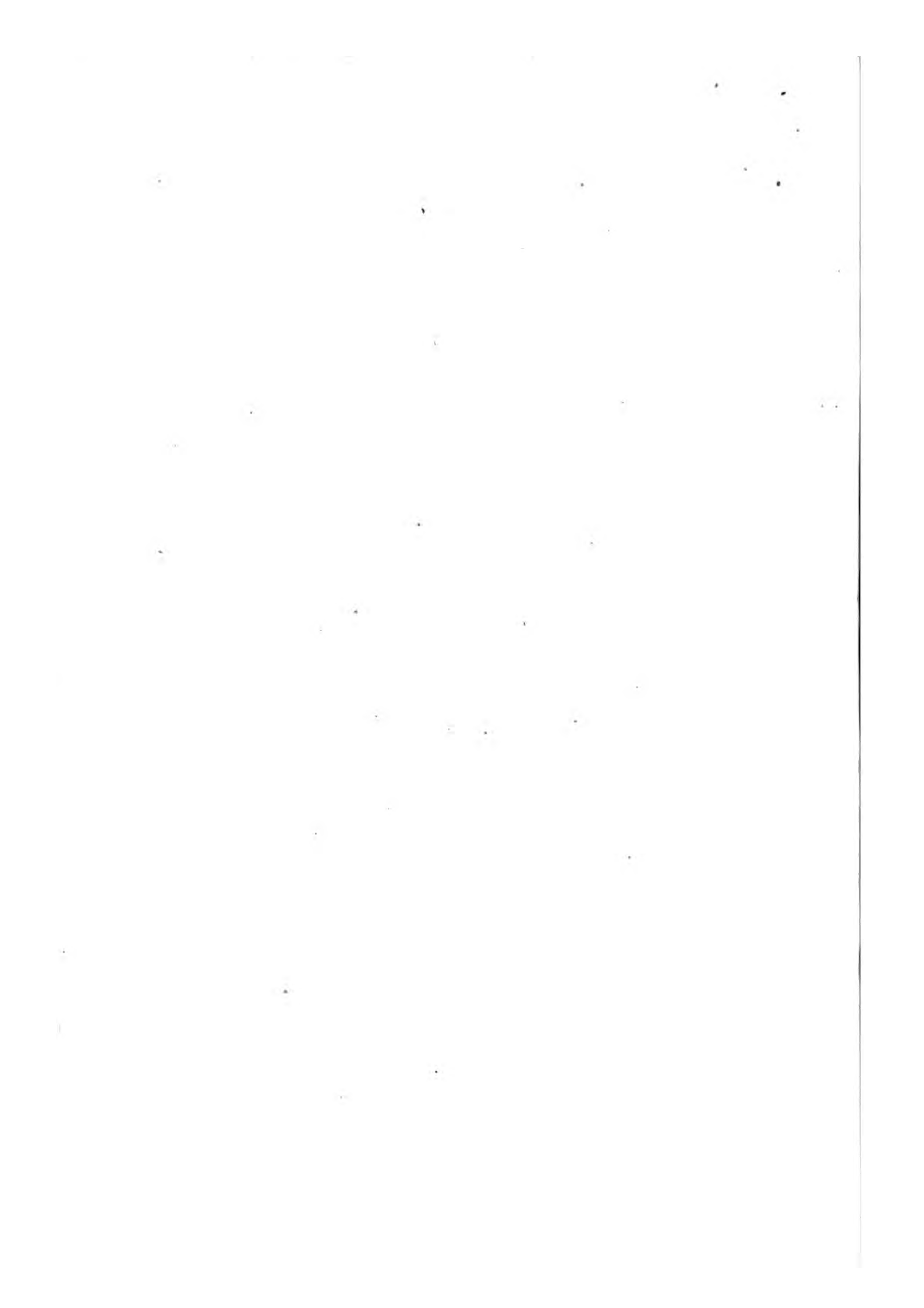


E.

Schmeltz sc.

1. APUS ALLONGÉ. (*Apus productus*)

N. Rémond imp.



ENTOMOSTRACÉS.

PÆCILOPODES.

FAMILLE DES ZYPHOSURES.

GENRE LIMULE. *Limulus*. Fabricius.

Fig. 1. LIMULE DES MOLUQUES. *Limulus moluccanus*. Réduit au quart de la grandeur naturelle.

Fig. 2. LIMULE A QUEUE RONDE. *Limulus rotundicaudata*. Latr. Réduit au quart et vu en dessous.

a. Carapace ou bouclier céphalo-thoracique. — *b.* Bouclier abdominal. — *c.* pièce caudale coupée près de sa base. — *d.* Appendices considérés par Latreille comme des antennules. — *e.* Pattes. — *f.* Fausses pattes abdominales de la première paire, soudées ensemble de façon à constituer une grande lame operculaire. — *g.* Branchies fixées aux fausses pattes suivantes. — *h.* anus.

Fig. 2 a. Patte de la première paire.

a. Tige mobile. — *b.* Article basilaire faisant les fonctions d'une mâchoire.

Fig. 2 b. Base de la pénultième patte.

a. Portion de la tige mobile. — *b.* Portion basilaire ou mandibulaire.

Fig. 2 c. Patte postérieure, vue par sa face antérieure.

a. Tige mobile. — *b.* Article basilaire faisant office de mâchoire. — *c.* Appendice flabelliforme.

Fig. 2 d. Portion basilaire de la même, vue par sa face postérieure.

Fig. 2 e. L'un des appendices céphalo-thoraciques de la septième paire, situés entre la base des pattes postérieures.

Fig. 2 f. Lame operculaire formée par les fausses pattes abdominales de la première paire; vue par sa face postérieure.

a. Muscles d'attache. — *b.* Orifices des organes de la génération femelle.

Fig. 2 g. Moitié droite de la grande lame impaire, formée par les fausses pattes de la deuxième paire et portant de chaque côté les organes branchiaux.

a. Point d'attache du membre. — *b.* Rame terminale. — *c.* Branchies.

Fig. 2 h. Jeunes Limules au moment où ils sont près de sortir de l'œuf.

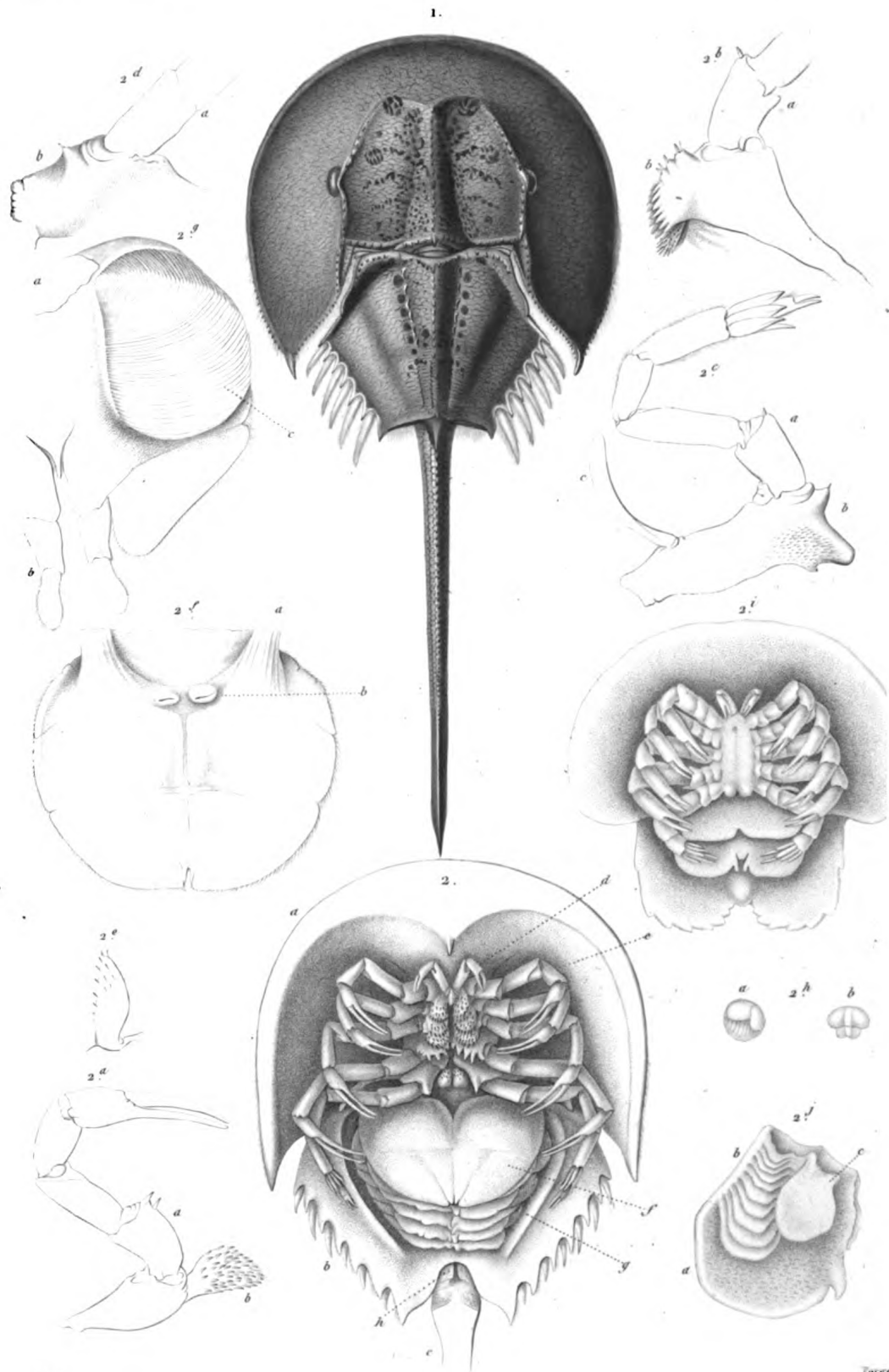
a. Un individu vu de côté et encore renfermé dans les membranes de l'œuf. — *b.* Un individu dépouillé de ses enveloppes et vu en dessus.

Fig. 2 i. Le même grossi et vu en dessous.

On remarquera qu'à cette période du développement la queue n'existe pas encore.

Fig. 2 j. Appendices abdominaux de la deuxième et de la troisième paires.

a. Lame membraneuse représentant l'une des fausses pattes de la deuxième paire, et portant à sa face postérieure un petit nombre de lamelles branchiales (*b*). — Les fausses pattes de la troisième paire (*c*) sont encore rudimentaires et ne présentent pas de replis branchiaux.

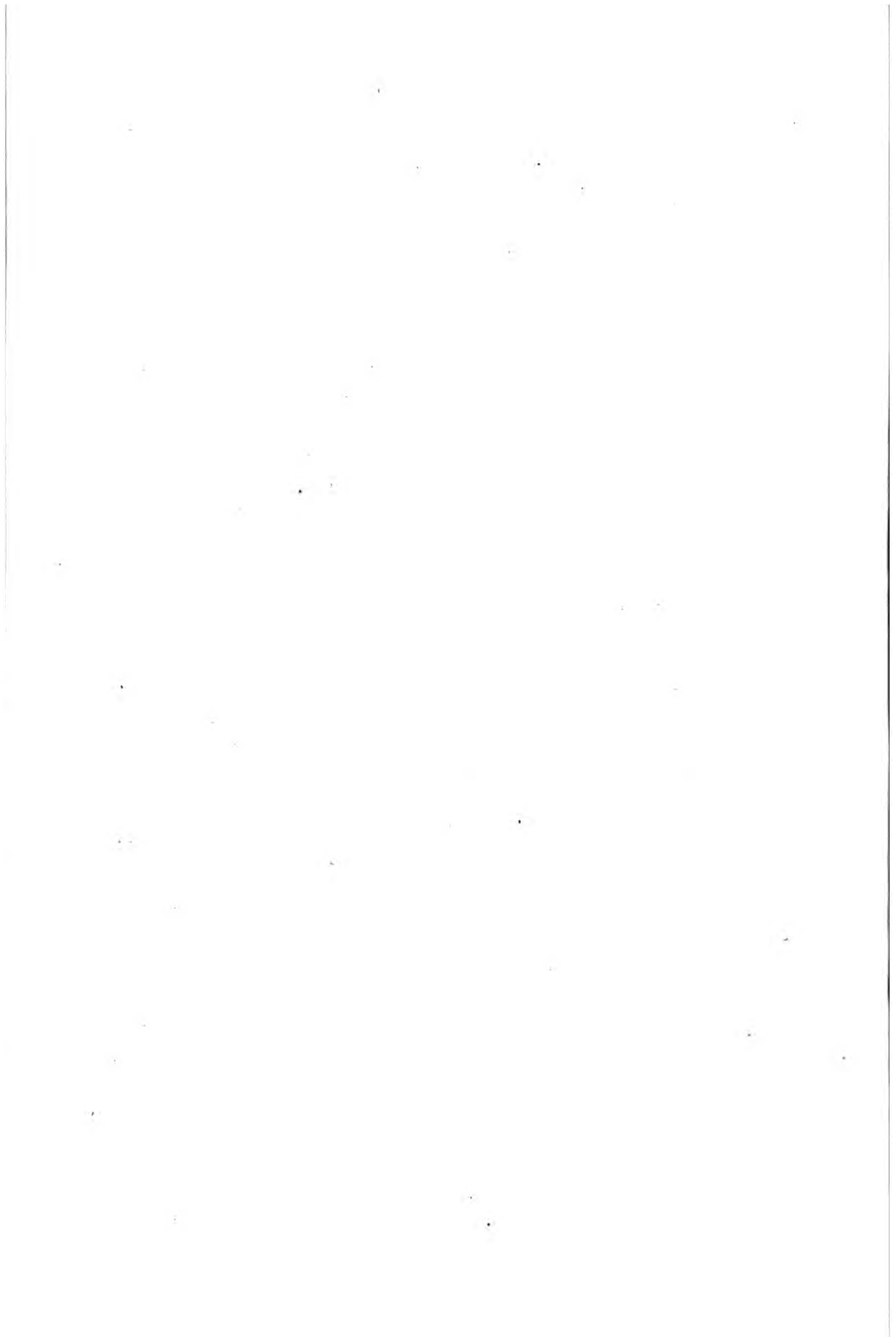


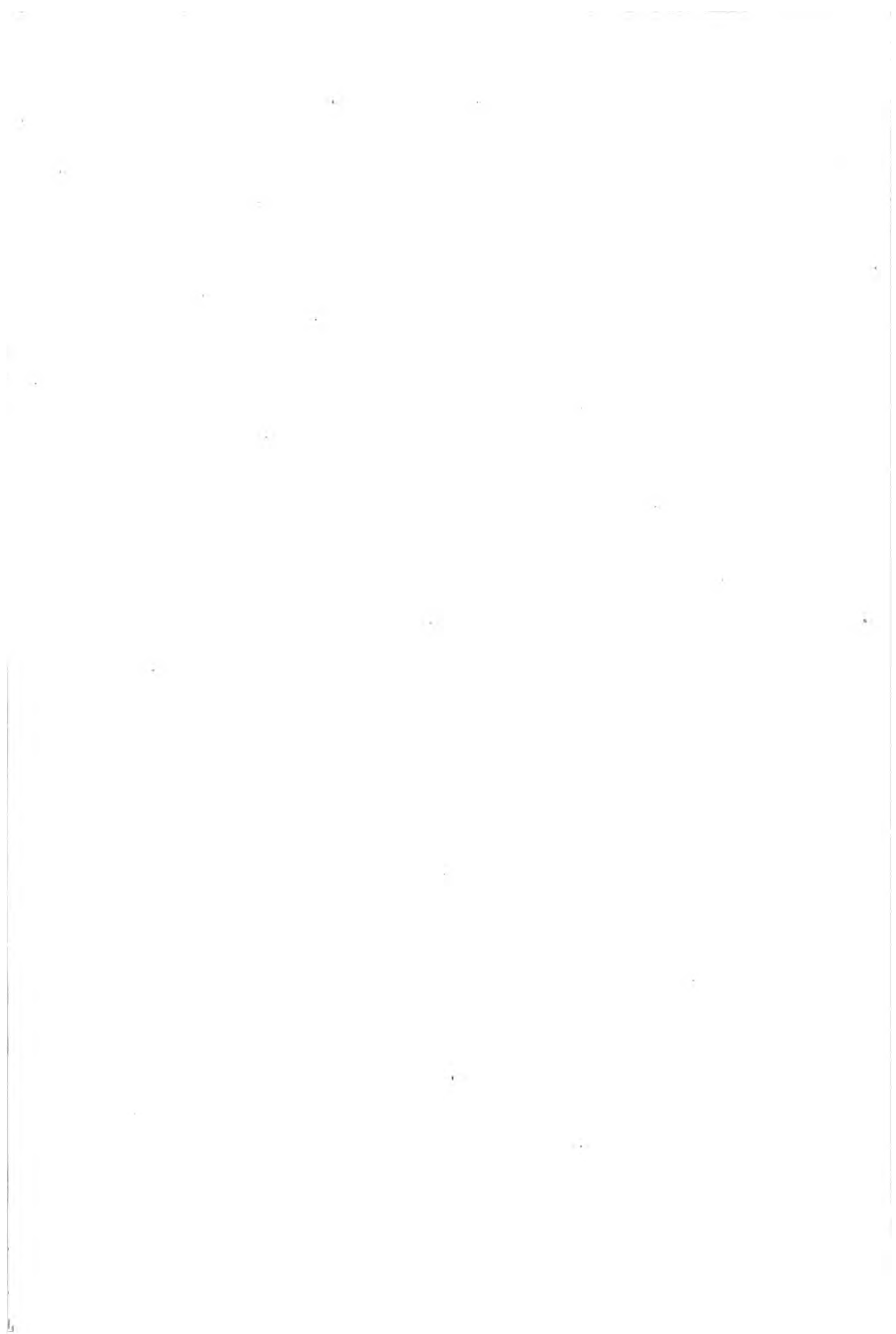
F. et V.

Target sc.

1. LIMULE DES MOLUQUES (*Limulus moluccanus*.)

Limulus moluccanus





ENTOMOSTRACÉS PÆCILOPODES.

SIPHONOSTOMES.

GENRE CALIGE. *Caligus*. Muller.

Fig. 1. CALIGE DE NORDMANN. *Caligus Nordmanni* Edw. Grossi au triple. (femelle).

a. Bouclier céphalo-thoracique (test. Latr.). — *b.* Pattes thoraciques de la troisième paire. — *c.* Pattes de la quatrième paire naissant du pénultième anneau thoracique. — *d.* Dernier anneau du thorax. — *e.* Abdomen. — *f.* Tubes ovifères (Stylets Latr.).

Fig. 1 a. Le même grossi davantage et vu en dessous.

A. Bouclier céphalo-thoracique. — *b.* Antennes. — *c.* Pattes mâchoires de la première paire. — *c'*. Epine placée en dehors de leur base. — *d.* Appendices rudimentaires qui paraissent représenter les mâchoires antérieures. — *e.* Base des mandibules styliformes. — *f.* Suçoir formé par le labre et la lèvre inférieure. — *g.* Appendices qui paraissent représenter les mâchoires postérieures. — *h.* Pattes mâchoires de la seconde paire. — *i.* Pattes mâchoires de la troisième paire. — *j.* Fourche sternale. — *k.* Pattes thoraciques de la première paire. — *l.* Pattes de la seconde paire. — *m.* Pattes de la troisième paire. — *n.* Pattes de la quatrième paire. — *o.* Dernier anneau du thorax. — *o'* Vulves. — *p.* Tubes ovifères. — *q.* Abdomen. — *r.* Appendices de l'abdomen ou lamelles caudales.

Fig. 1 b. Bouche grossie davantage.

a. Labre formant le suçoir (*b*) et renfermant les mandibules styliformes. — *c, d.* Appendices représentant les deux paires de mâchoires.

Fig. 1 c. Mandibule extrait du suçoir.

Fig. 1 d. Son extrémité grossie davantage.

Fig. 1 e. Extrémité de la mandibule styliforme du côté opposé.

Fig. 1 f. Mâchoire de la première paire.

Fig. 1 g. Ongle terminale de la patte mâchoire de la seconde paire.

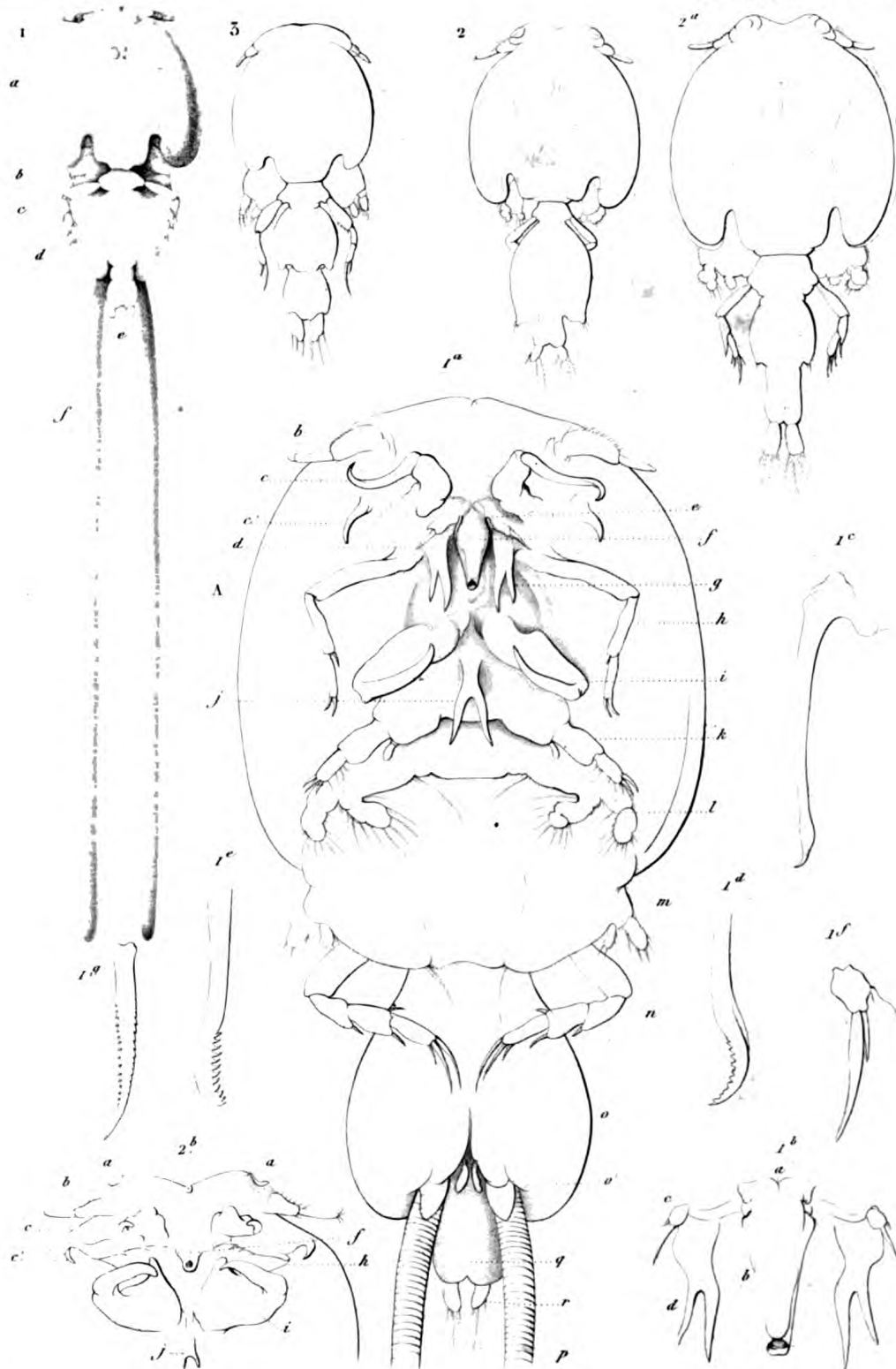
Fig. 2. CALIGE MINIME. *Caligus minutus*; femelle.

Fig. 2 a. Le mâle.

Fig. 2 b. Extrémité antérieure du corps vue en dessous pour montrer les ventouses frontales (*a*); Les autres parties sont désignées par les mêmes lettres que dans la Fig. 1 a.

Fig. 3. CALIGE DE LA MORUE. *Caligus Molvæ* Latr. *Risculus Molvæ* Leach; grossi et dessiné d'après l'individu décrit par Leach et conservé dans la collection du Musée Britannique; on peut voir par cette figure que le genre *Risculus* de Leach a été établi d'après un *Caligus* mâle, tandis que les caractères assignés par ce naturaliste au genre *Caligus* lui ont été fourni par des individus de l'autre sexe.

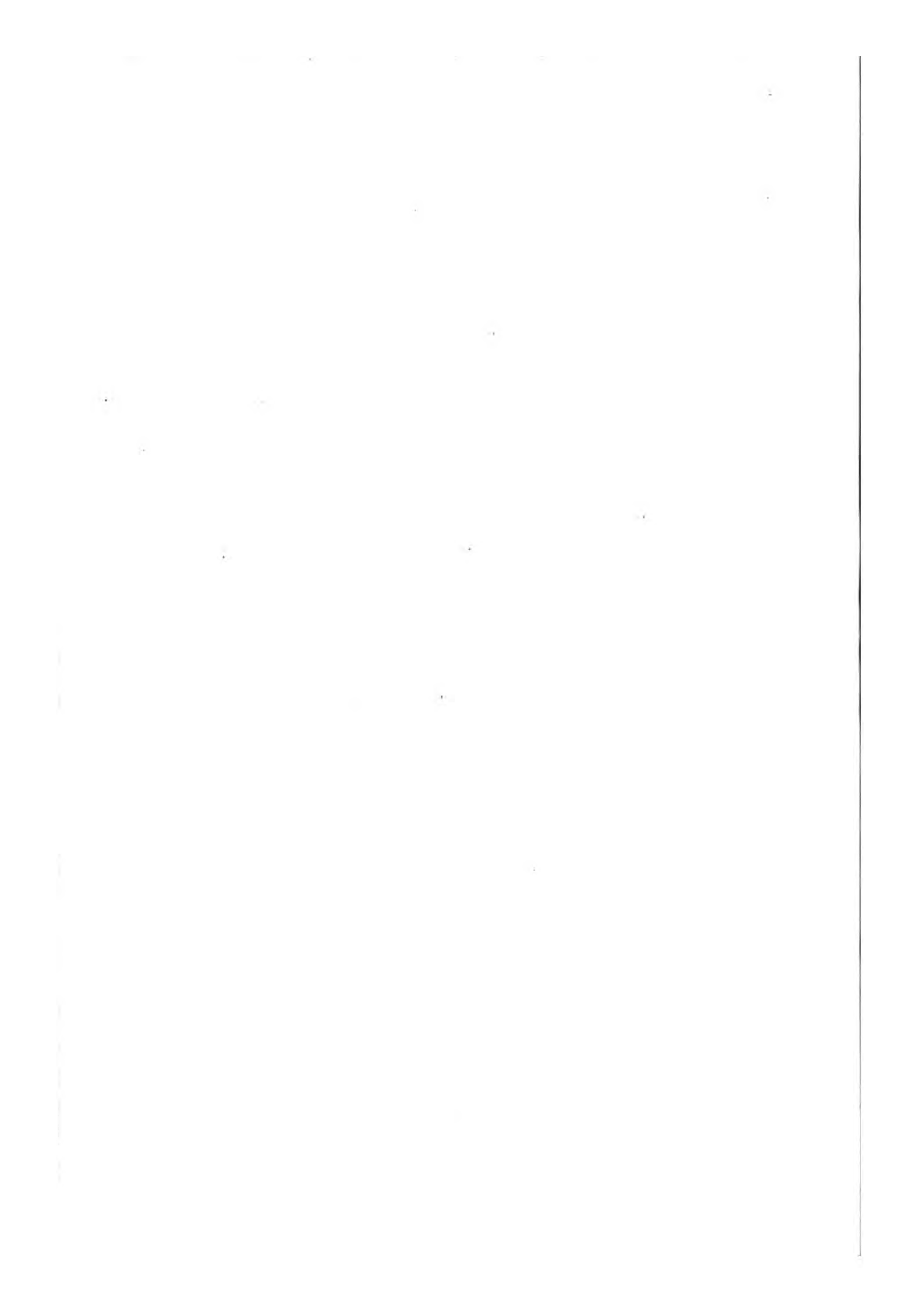
(D'après nature.)



~E

Schultz. sc

- 1. CALIGE DE NORDMANN. (Caligus Nordmanni.)
- 2. CALIGE MINIME. (Caligus minutus.)
- 3. CALIGE DE LA MORUE. (Caligus molva.)



ENTOMOSTRACÉS PÆCILOPODES.

SIPHONOSTOMES.

CALIGIDES.

GENRE ARGULE. *Argulus*. Muller.

Fig. 1. ARGULE FOLIACÉ. *Argulus foliaceus*. Jeune, grossi environ six fois et vu en dessus.

Fig. 1 a. Portion antérieure du corps, vue en dessous pour montrer les antennes, la bouche, les pattes-mâchoires dont la paire intermédiaire constitue des ventouses, et les pattes natatoires de la première paire.

GENRE PANDARE. *Pandarus*. Leach.

Fig. 2. PANDARE DE CRANCH. *Pandarus Cranchii*. Leach. Grossi environ deux fois et vu en dessus.

Fig. 2 a. Croquis du même, grossi davantage pour montrer la disposition des prolongemens lamelleux du thorax.

Fig. 2 b. Pattes thoraciques de la première paire.

Fig. 2 c. Pattes thoraciques de la deuxième paire.

Fig. 2 d. L'une des pattes thoraciques de la dernière paire.

GENRE NOGAGUE. *Nogagus*. Leach. *Pterygopoda*. Latr.

Fig. 3. NOGAGUE DE LATREILLE. *Nogagus Latreillii*. Leach. Grossi environ huit fois d'après l'individu décrit par Leach, et conservé dans le Musée Britannique de Londres.

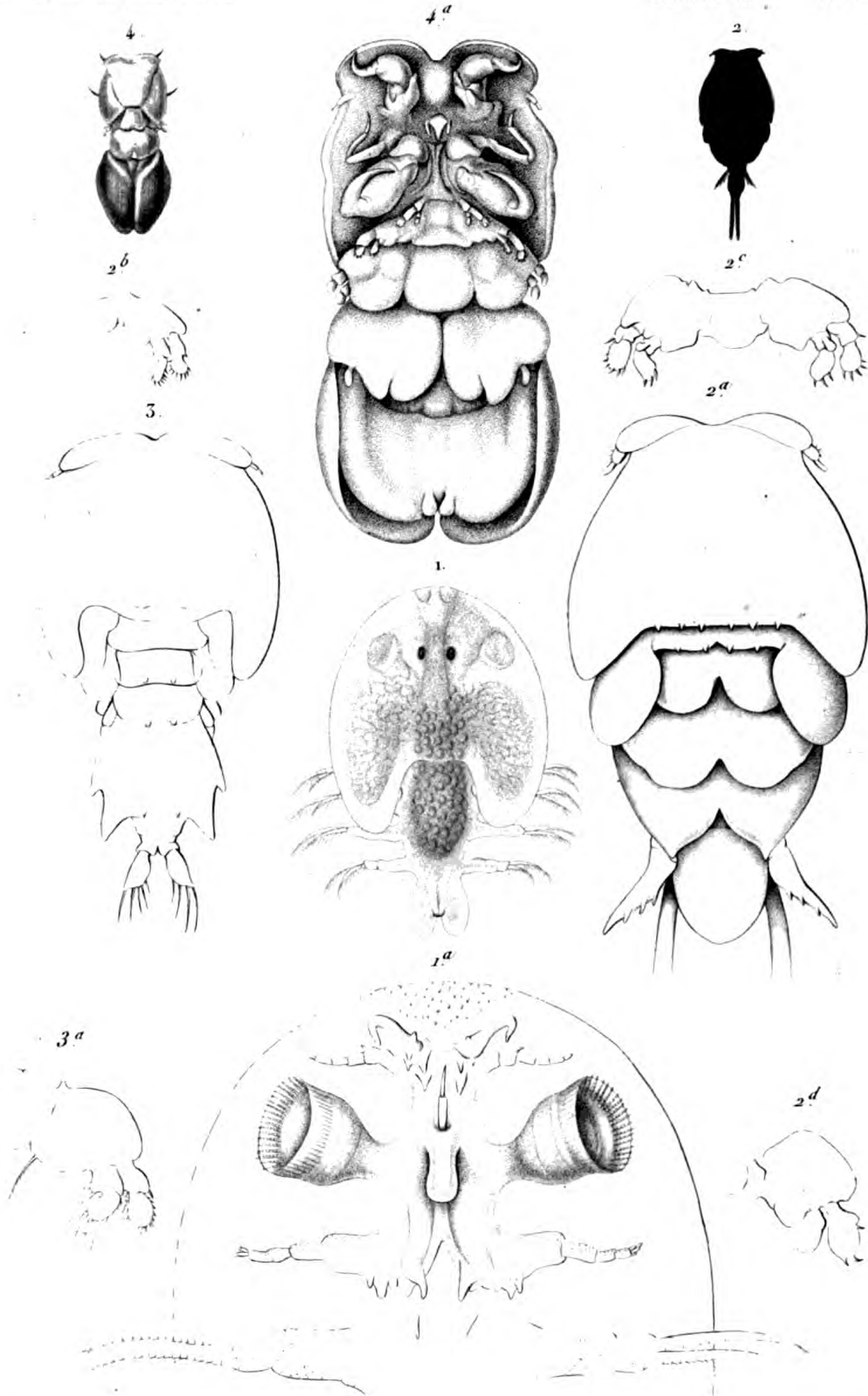
Fig. 3 a. L'une des pattes thoraciques.

GENRE CECROPS. *Cecrops*. Latreille.

Fig. 4. CÉCROPS DE LATREILLE. *Cecrops Latreillii*. Leach. Grossi de moitié.

Fig. 4 a. Le même, grossi davantage et vu en dessous.

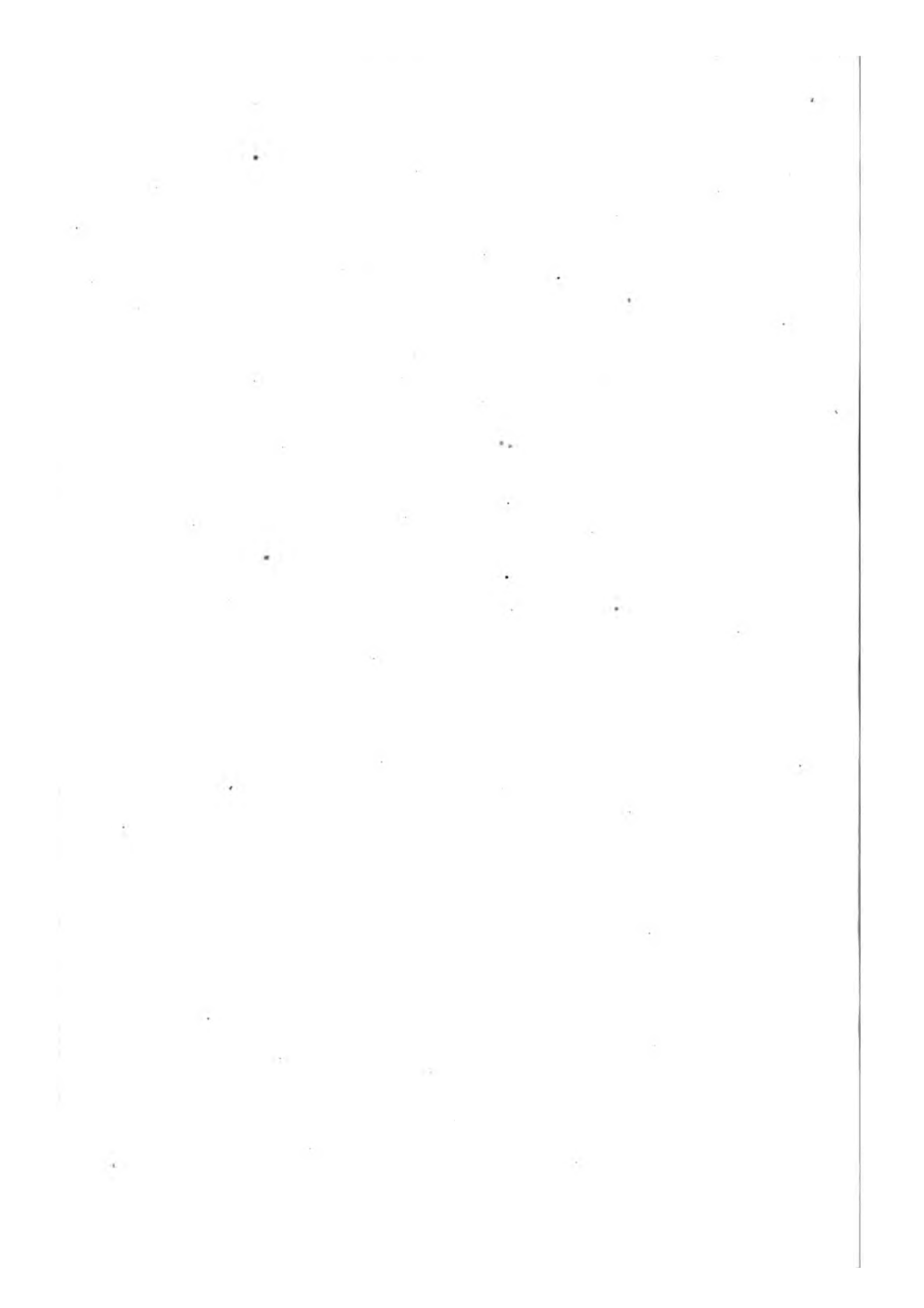
(D'après nature.)

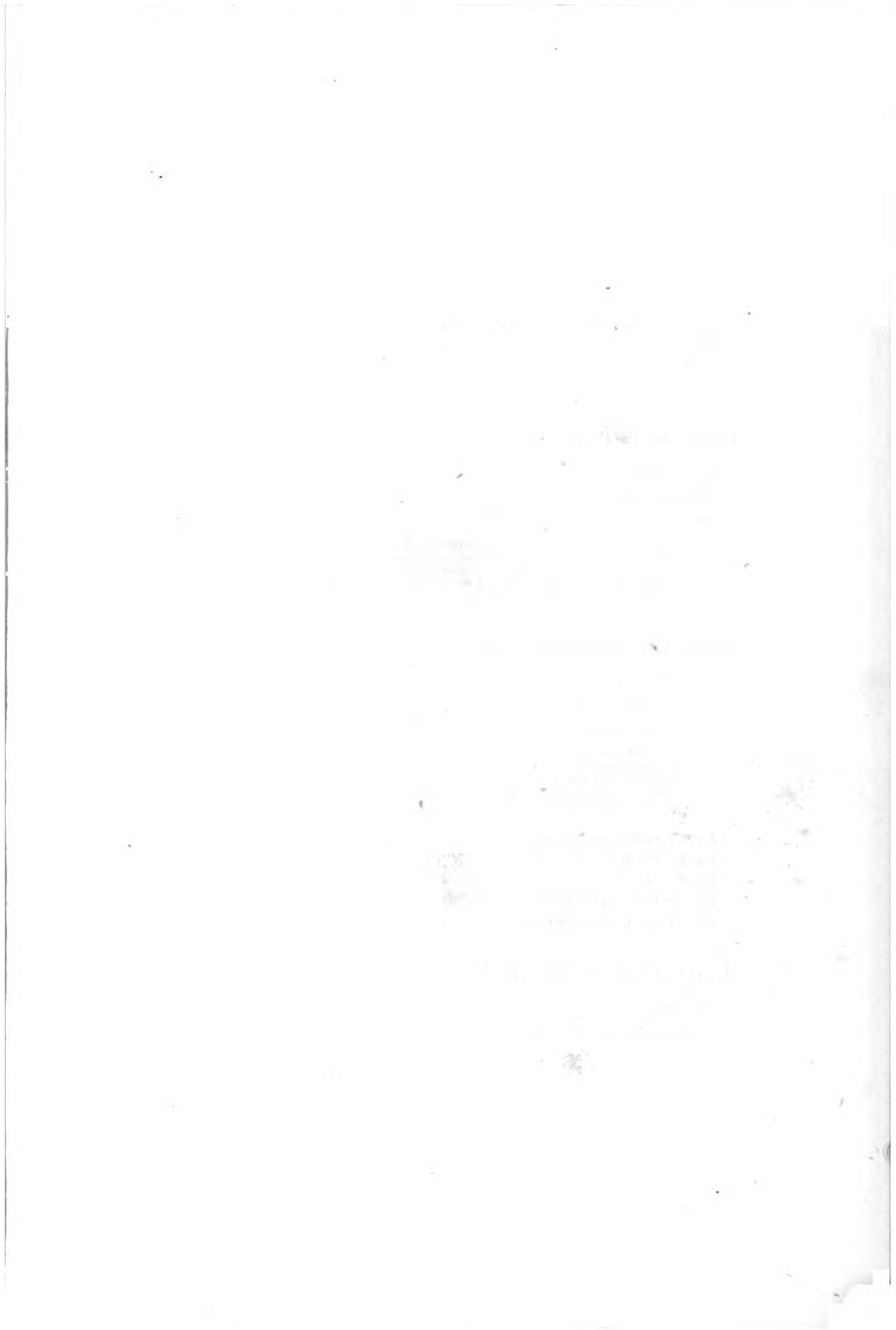


E

- 1. ARGULE FOLLACÉ (Argulus foliaceus)
- 2. PANDARE DE CRANCH. (Pandarus Cranchii)
- 3. NOGAGUE DE LATREILLE (Nogagus Latreilli)
- 4. CECROPS DE LATREILLE. (Cecrops Latreilli.)

Forget sc





ENTOMOSTRACÉS.

POECILIOPODES, SIPHONOSTOMES.

GENRE NICOTHOÉ. *Nicthoe*. Audouin et Edwards.

Fig. 1. NICOTHOÉ DU HOMARD. *Nicthoe astaci*. Aud. et Edw. Individu femelle, grossi environ vingt fois.

Fig. 1 a. Portion antérieure du corps, vue en dessous.

a, a. Tête. — *b*. Yeux. — *c, c*. Antennes. — *d*. Suçoir. — *e*. Pattes-mâchoires de la première paire. — *f*. Pattes-mâchoires de la seconde paire. — *g*. Pattes-mâchoires de la troisième paire. — *i*. Pattes thoraciques de la première paire. — *k*. Pattes thoraciques de la quatrième paire. — *l*. Bord antérieur des grands prolongemens latéraux du corps. — *m*. Repli de la peau.

GENRE DICHELESTION. *Dichelestium*. Hermann.

Fig. 2. DICHELESTION DE L'ESTURGEON. *Dichelestium Sturionis*. Herm. Individu femelle, grossi à-peu-près deux fois.

Fig. 2 a. Portion antérieure du corps, vue en dessous.

a. Antennes. — *b*. Suçoir. — *c*. Mâchoires. — *d*. Pattes-mâchoires antérieures (antennes intermédiaires, Latreille). — *e*. Pattes-mâchoires de la seconde paire. — *f*. Pattes-mâchoires de la troisième paire. — *g*. Pattes thoraciques de la première paire. — *h*. Pattes thoraciques de la seconde paire. — *i*. Tubercules représentant les pattes thoraciques de la troisième paire.

Fig. 2 b. Suçoir (*a*) dont on a fait sortir l'une des mandibules (*b*).

Fig. 2 c. Mâchoire de la première paire.

Fig. 2 d. Mâchoire de la deuxième paire.

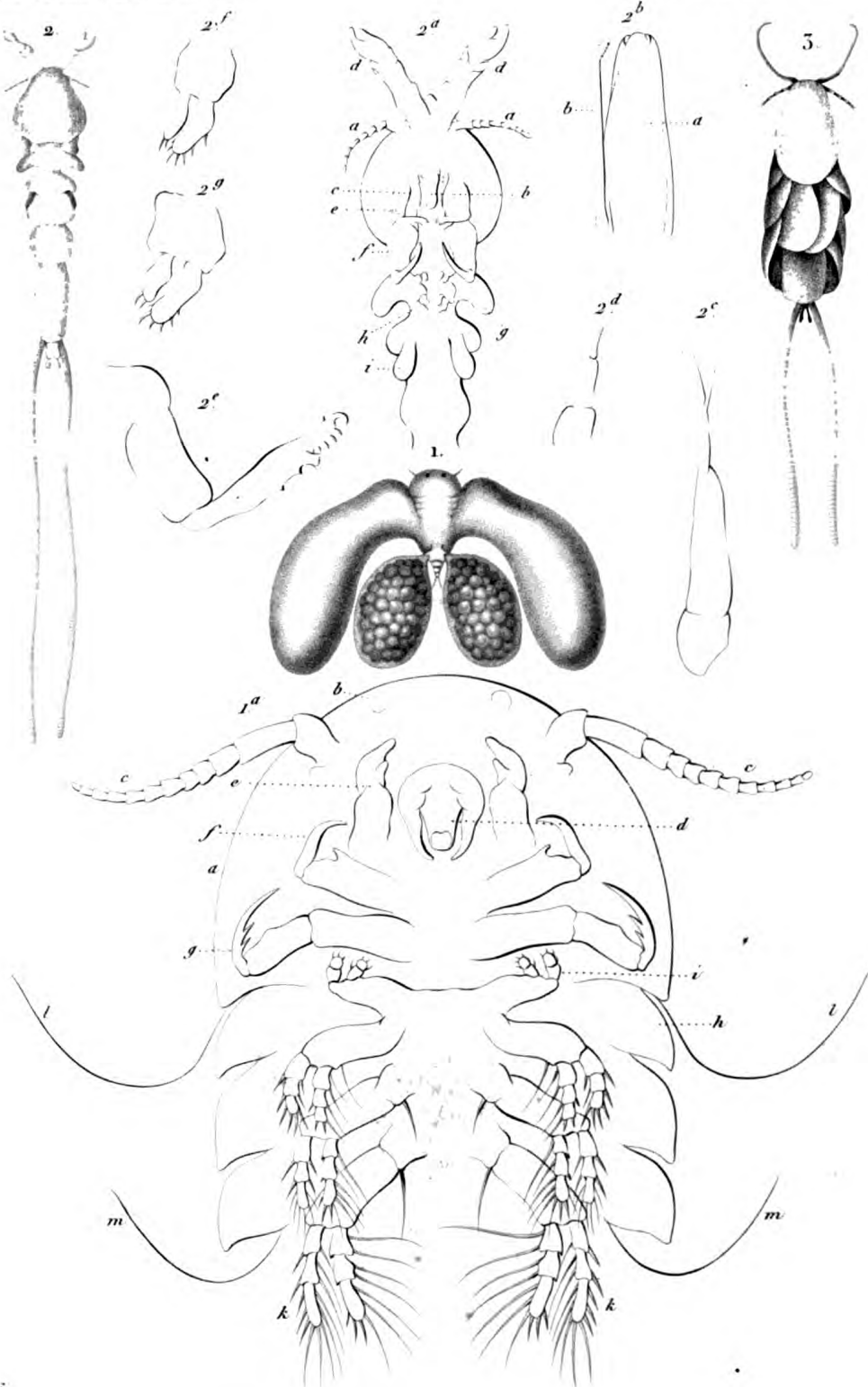
Fig. 2 e. Patte-mâchoire de la deuxième paire.

Fig. 2 f, 2 g. Pattes thoraciques des deux premières paires.

GENRE ANTHOSOME. *Anthosoma*. Leach.

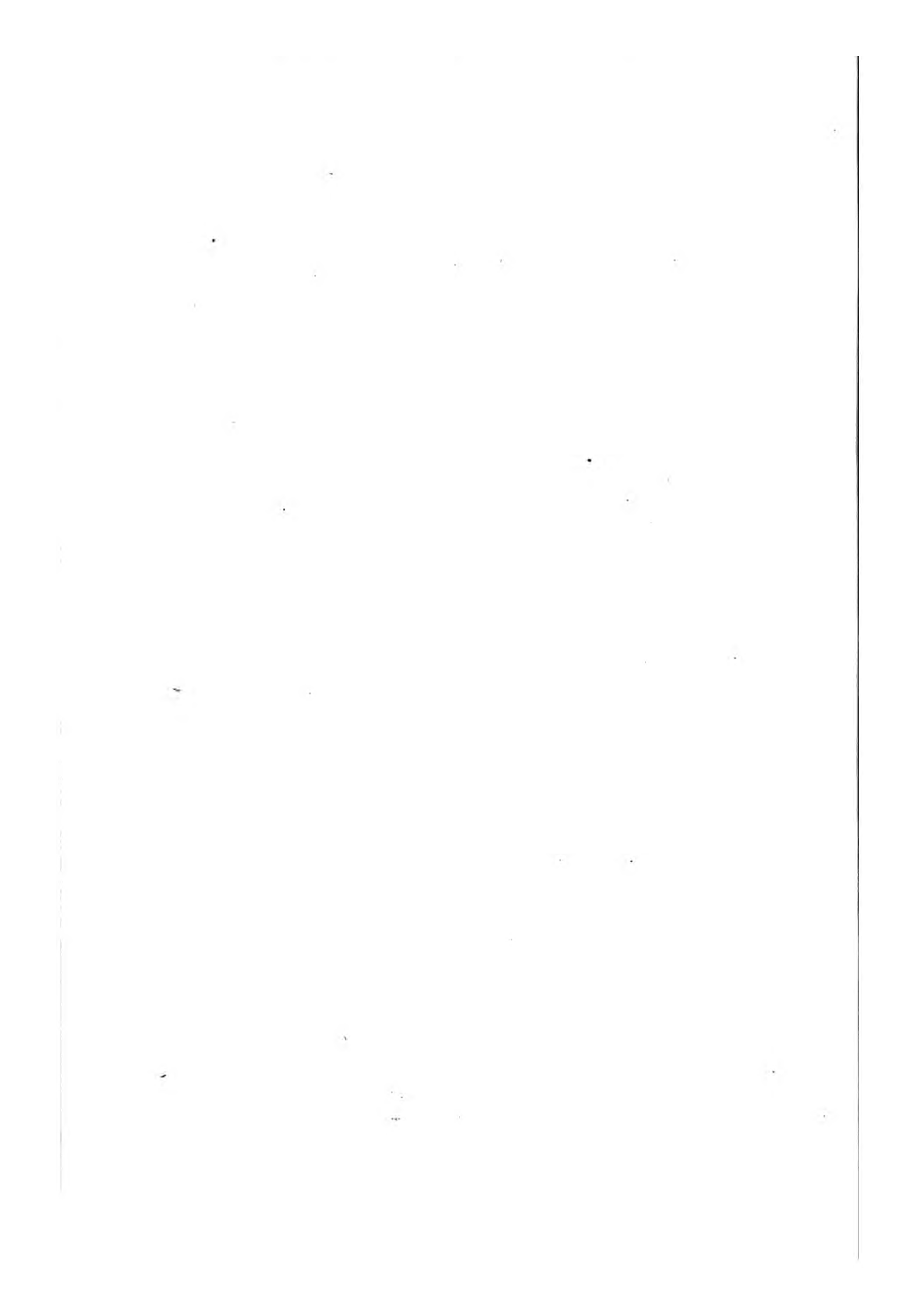
Fig. 3. ANTHOSOME DE SMITH. *Anthosoma Smithii*. Leach. Individu femelle grossi environ quatre fois.

(D'après nature.)



E

- | | |
|---------------------------------|----------------------------------|
| 1. NICOTHOË DU HOMARD. | (<i>Nicothoe astact</i>) |
| 2. DICHELESTION DE L'ESTURGEON. | (<i>Dichelestim sturionis</i>) |
| 3. ANTHOSOME DE SMITH. | (<i>Anthosoma Smithi</i>) |



TRILOBITES.

GENRE CALYMÈNE. *Calymene*. Brongniart.

Fig. 1. CALYMÈNE DE BLUMENBACH. Calymene Blumenbachii. Brongniart.

D'après un individu de moyenne taille.

Fig. 1 a. Le même enroulé, et vu de face.

Fig. 1 b. Le même enroulé, et vu de face.

GENRE ASAPHE. *Asaphus*. Brongn.

Fig. 2. ASAPHE DE BUCH. Asaphus Buchii. Br.

Fig. 3 a. ASAPHE CAUDIGÈRE. *Asaphus caudatus.* Br.

Fig. 3 a. La tête du même, d'après un individu mieux conserve.

GENRE OGYGIE. *Ogygia*. Brongn.

Fig. 4. OGYGIE DE GUETTARD. Ogygia Guettardi. Br.

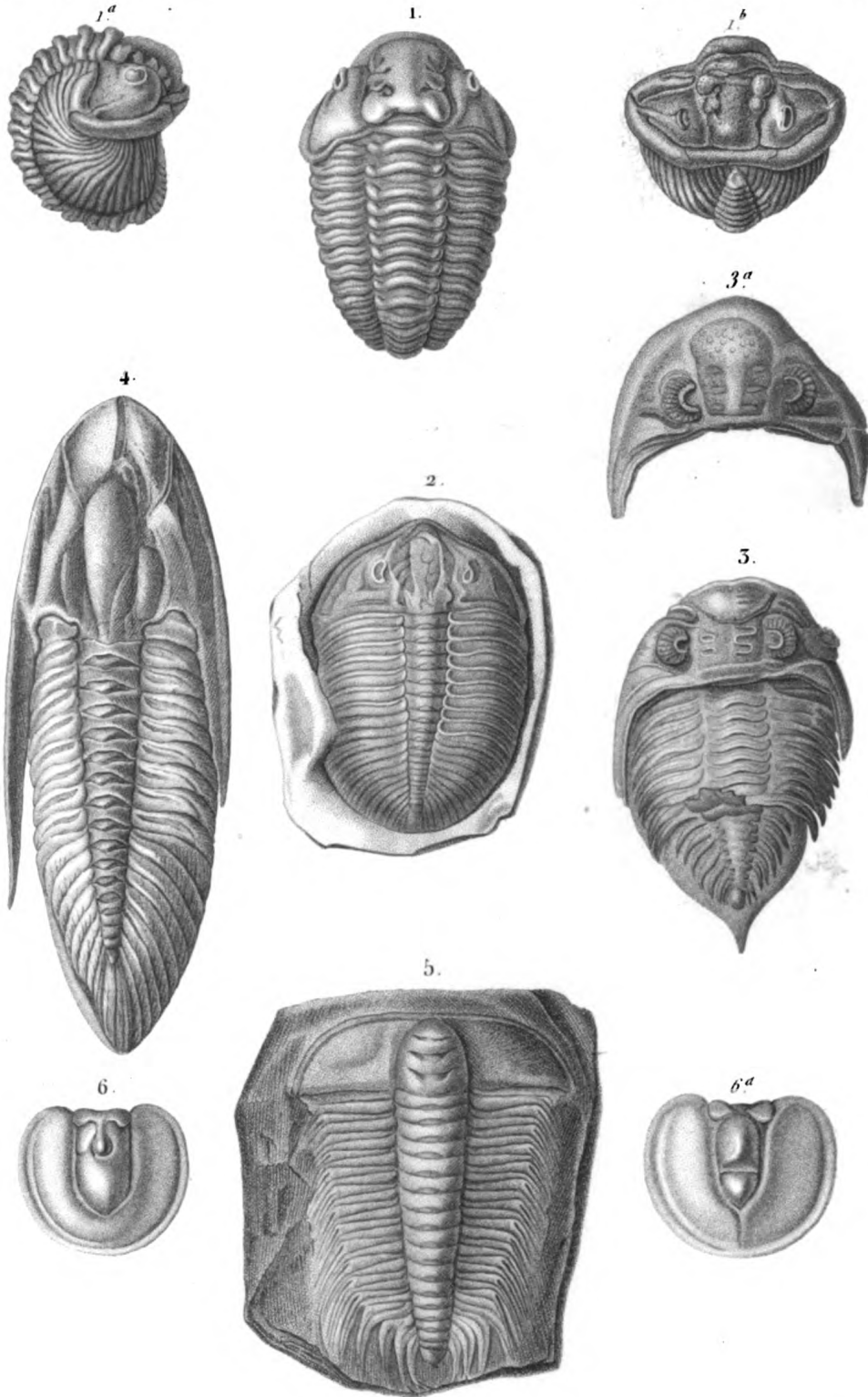
GENRE PARADOXIDE. *Paradoxides*. Br.

Fig. 5. PARADOXIDE SPINULEUX. Paradoxides spinulosus. Br.

GENRE AGNOSTE. *Agnostus*. Br.

Fig. 6 et 6 a. AGNOSTE PISIFORME. *Agnostes pisiformis.* Br.

(D'après M. Brongniart, Crustacés fossiles.)



Vis. sc.

1. CALYMENE DE BLUMENBACH (Calymene Blumenbachii) 4. OGYGIE DE GUETTARD (Ogygia Guettard)
 2. ASAPHUS DE BUCH (Asaphus Buchii) 5. PARADOXIDE SPINULEUX (Paradoxides spinulosus)
 3. — — CAUDIGERE (— — caudatus) 6. AGOSTE PISIFORME (Aegonostus pisiformis)

